

50376
1980

186-3 UNIVERSITE des SCIENCES et TECHNIQUES de LILLE

INSTITUT de BIOLOGIE MARITIME et REGIONALE de WIMEREUX

50376
1980
186-2

THESE DE TROISIEME CYCLE biologie de la reproduction et du développement



Martine HEDIN- BOUGARD

HYDROBIOLOGIE LITTORALE : PHYCOPLANCTON (Région de Dunkerque - Mer du Nord) “figures”



Présentée le 26 Novembre 1980 devant la Commission d'Examen

MM. M. DURCHON président
A. RICHARD rapporteur
J.R. GRALL †
G. JACQUES examinateurs
M. BODARD



LISTE DES FIGURES

- Fig. 1 - Emplacement de la zone d'étude.
- Fig. 2 - Rose des courants dans la passe de Dunkerque ($51^{\circ}03'N$ - $2^{\circ}08'E$).
- Fig. 3 - Champs de courant au voisinage de la digue de l'avant-port ouest de Dunkerque (coeff. 95, P.M.+2). (D'après BONNEFILLE et coll., 1979).
- Fig. 4 - Circulation générale dans le sud de la Mer du Nord. (D'après NIHOUL et RONDAY, 1976).
- Fig. 5 - Rejets estimés de l'Aa. D'après le cahier de charges d'ouverture des vannes. (Document I.S.T.P.M.).
- Fig. 6 - Profil du fond au niveau de la radiale à Gravelines (1976-77).
- Fig. 7 - Température de l'air à Dunkerque-Sémaphore. (Moyenne par décade des maxima et des minima journaliers).
- Fig. 8 - Précipitations par décade dans la région de Dunkerque. (Dunkerque-Sémaphore (1974-75), Gravelines (1976-77-78)).
- Fig. 9 - Nébulosité moyenne par décade à Dunkerque-Sémaphore. (Relevée à 6h., 12h., 18h.).
- Fig. 10 - Position des stations de prélèvement à Gravelines et à Dunkerque.
- Fig. 11 - Position des stations de prélèvement C, M et L en fonction du courant de marée. (Exemple du 18 Novembre 1976 - coeff. 67).
- Fig. 12.1 - Température à Gravelines.
- Fig. 12.2 - Température dans le port de Dunkerque (station E). (D'après les données de BRYLINSKI, 1979).
- Fig. 13.1 - Variations spatiales de la température ($^{\circ}C$) en été.
- Fig. 13.2 - Variations spatiales de la température ($^{\circ}C$) en automne et en hiver.
- Fig. 13.3 - Distribution de la température ($^{\circ}C$) le long de la radiale à Gravelines.
- Fig. 14 - Salinité à Gravelines.
- Fig. 15 - Courant de dérive dû au vent (hypothèse du 9 Mai 1975).
- Fig. 16.1 - Variations spatiales de la salinité (%).
- Fig. 16.2 - Distribution de la salinité (%) au niveau de la radiale à Gravelines.
- Fig. 17 - Salinité dans le port de Dunkerque (station E). (D'après les données de BRYLINSKI, 1979).
- Fig. 18 - Densité à Gravelines.

- Fig. 19 - Densité dans le port de Dunkerque (station E). (D'après les données de BRYLINSKI, 1979).
- Fig. 20 - Variations de la densité(σ_t) au niveau de la radiale à Gravelines.
- Fig. 21 - Matières en suspension à Gravelines et dans le port de Dunkerque.
- Fig. 22.1 - Relation matières en suspension - coefficient de marée à Gravelines en 1975 et 1976-77.
- Fig. 22.2 - Quantité de matières en suspension en fonction du coefficient de marée et du vent pendant la période qui précède la campagne (Gravelines 1975 et 1976-77).
- Fig. 23.1 - Distribution spatiale de la quantité de matières en suspension (mg/l).
- Fig. 23.2 - Variations des matières en suspension(mg/l) au niveau de la radiale à Gravelines.
- Fig. 24 - Transparence de l'eau à Gravelines et dans le port de Dunkerque.
- Fig. 25 - Distribution de la turbidité à Gravelines le 9-10 Mai 1975.
- Fig. 26 - Profondeur de compensation estimée à Gravelines.
- Fig. 27 - Variation de la constante F, entrant dans le calcul du coefficient d'atténuation, en fonction de la distance à la côte, dans le sud de la mer du Nord. (D'après MOMMAERTS et HÖNIG, 1971).
- Fig. 28 - Variations de la production primaire *in situ* dans le port de Dunkerque en 1976, en fonction de la profondeur (d'après BROUARDEL et JOSEPH, 1978).
- Fig. 29 - pH dans la région de Dunkerque .
- Fig. 30 - Variations spatiales du pH.
- Fig. 31 - Oxygène dissous à Gravelines .
- Fig. 32 - Variations spatiales du taux d'oxygène dissous(% de saturation).
- Fig. 33*- Localisation des arrivées d'effluents en Mer du Nord (d'après I.C.E.S., 1974; in TOPPING, 1976) .
- Fig. 34.1 - Ammoniac à Gravelines .
- Fig. 34.2 - Nitrites à Gravelines .
- Fig. 34.3 - Nitrates à Gravelines .
- Fig. 34.4 - Azote total à Gravelines .
- Fig. 35.1 - Phostates à Gravelines .
- Fig. 35.2 - Silicates à Gravelines .
- Fig. 36 - Variations de l'ammoniac($\mu\text{atg N-NH}_4^+/l$) au niveau de la radiale à Gravelines .
- Fig. 37 - Distribution spatiale des nitrites($\mu\text{atg N-NO}_2^-/l$) .
- Fig. 38 - Distribution spatiale des nitrates($\mu\text{atg N-NO}_3^-/l$) .
- Fig. 39 - Distribution spatiale des phostates($\mu\text{atg P-PO}_4^{3-}/l$) .
- Fig. 40 - Distribution spatiale des silicates($\mu\text{atg Si-SiO}_3^-/l$) .

- Fig. 41 - Variations des sels nutritifs au niveau de la radiale à Gravelines le 19 Avril 1978.
- Fig. 42 - Variations des sels nutritifs azotés dans le port de Dunkerque (station E) et dans le milieu littoral (R.N.O., st. 2). (D'après BRYLINSKI, 1979).
- Fig. 43 - Variations des phosphates et des silicates dans le port de Dunkerque (station E) et dans le milieu littoral (R.N.O., st. 2) (d'après BRYLINSKI, 1979).
- Fig. 44 - Répartition des constituants du microplancton à Gravelines (nombre de cellules)
- Fig. 45 - Répartition des différents constituants du microplancton à Gravelines (pourcentage de dominance/nombre total de cellules du microplancton).
- Fig. 46 - Répartition des constituants du microplancton dans le port de Dunkerque (Station E) (nombre de cellules).
- Fig. 47 - Répartition des différents constituants du microplancton dans le port de Dunkerque (station E) (pourcentage de dominance/nombre total de cellules du microplancton).
- Fig. 48 - Dominance des Diatomées (% du nombre total de cellules de microplancton). Gravelines - Moyenne des campagnes 1974-75.
- Fig. 49 - Dominance des Dinoflagellés (% du nombre total de cellules de microplancton). Gravelines - Moyenne des campagnes 1974-75.
- Fig. 50 - Situation des études de référence.
- Fig. 51 - *Paralia sulcata* à Gravelines.
- Fig. 52 - Quantité de cellules de *Paralia sulcata* en fonction de la turbidité à Gravelines.
- Fig. 53 - Distribution spatiale de *Paralia sulcata* (% de dominance) [Gravelines, 2.02.1975, 5 m].
- Fig. 54 - Genre *Thalassiosira* à Gravelines.
- Fig. 55 - Variations des cellules du genre *Thalassiosira* à Gravelines.
- Fig. 56 - Variations de cellules du genre *Thalassiosira* dans le port de Dunkerque.
- Fig. 57 - *Skeletonema costatum* à Gravelines.
- Fig. 58 - *Skeletonema costatum* dans le port de Dunkerque.
- Fig. 59 - Distribution spatiale de *Skeletonema costatum* (% de dominance). [Gravelines, 9-10.05.1975, 5 m].
- Fig. 60 - Genre *Biddulphia* à Gravelines.
- Fig. 61 - *Cerataulina pelagica* à Gravelines.
- Fig. 62 - *Cerataulina pelagica* dans le port de Dunkerque.

- Fig. 63 - Variations des cellules du genre *Chaetoceros* à Gravelines.
- Fig. 64 - Variations des cellules du genre *Chaetoceros* dans le port de Dunkerque.
- Fig. 65 - Distribution spatiale de *Chaetoceros curvisetum* + *Chaetoceros debile* (% de dominance) [Gravelines, 30.08.1975, 5 m].
- Fig. 66 - Répartition de deux espèces dominantes à Gravelines le 19.03.1977. (% de dominance/nombre total de cellules).
- Fig. 67 - *Leptocylindrus danicus* à Gravelines.
- Fig. 68 - *Leptocylindrus danicus* dans le port de Dunkerque.
- Fig. 69 - Variations des cellules du genre *Rhizosolenia* à Gravelines.
- Fig. 70 - Variations des cellules du genre *Rhizosolenia* dans le port de Dunkerque.
- Fig. 71 - Genre *Rhizosolenia* à Gravelines.
- Fig. 72 - Distribution de *Rhizosolenia delicatula* (nbre de μ/cm^3) à Gravelines.
- Fig. 73 - Distribution de *Rhizosolenia stolterfothii* (nbre de μ/cm^3) à Gravelines le 18 Juillet 1978.
- Fig. 74 - "Fragilaria" à Gravelines.
- Fig. 75 - "Fragilaria" dans le port de Dunkerque.
- Fig. 76 - Quantité de cellules de "Fragilaria" en fonction de la turbidité à Gravelines.
- Fig. 77 - Genre *Raphoneis* à Gravelines.
- Fig. 78 - Abondance de *Raphoneis amphiceros* en fonction de la turbidité à Gravelines.
- Fig. 79 - *Asterionella japonica* à Gravelines.
- Fig. 80 - *Asterionella japonica* dans le port de Dunkerque.
- Fig. 81 - Distribution spatiale d'*Asterionella japonica* (nbre μ/cm^3) à Gravelines en 1978.
- Fig. 82 - Genre *Navicula* à Gravelines.
- Fig. 83 - *Thalassionema nitzschioïdes* à Gravelines.
- Fig. 84 - *Thalassionema nitzschioïdes* dans le port de Dunkerque.
- Fig. 85 - Variations des cellules du genre *Nitzschia* à Gravelines.
- Fig. 86 - Variations des cellules du genre *Nitzschia* dans le port de Dunkerque.
- Fig. 87 - Distribution spatiale de *Nitzschia closterium* (% de dominance) à Gravelines le 2.02.1975 (à 5 m).
- Fig. 88 - Distribution spatiale des matières en suspension (mg/l) à Gravelines le 2.02.1975 (à 5 m).

- Fig. 89 - Genre *Gymnodinium* à Gravelines.
- Fig. 90 - Genre *Gymnodinium* dans le port de Dunkerque.
- Fig. 91 - Distribution spatiale du genre *Gymnodinium* (% de dominance).
[Gravelines, 9-10.05.1975, 5 m].
- Fig. 92 - Genre *Peridinium* à Gravelines.
- Fig. 93 - Genre *Peridinium* dans le port de Dunkerque.
- Fig. 94 - Genre *Prorocentrum* à Gravelines.
- Fig. 95 - Genre *Prorocentrum* dans le port de Dunkerque.
- Fig. 96 - Variations du nombre de cellules de *Prorocentrum micans* dans le port de Dunkerque en fonction de la profondeur.
- Fig. 97 - *Heterocapsa triquetra* dans le port de Dunkerque.
- Fig. 98 - Genre *Scenedesmus* à Gravelines.
- Fig. 99 - Genre *Scenedesmus* dans le port de Dunkerque.
- Fig. 100 - Répartition du genre *Scenedesmus* et de la salinité à Gravelines le 17.01.1977.
- Fig. 101 - Chlorophycées à Gravelines.
- Fig. 102 - Chlorophycée sp2 dans le port de Dunkerque.
- Fig. 103 - *Phaeocystis* sp. à Gravelines.
- Fig. 104 - Phéopigments dans les eaux de l'Aa en 1978.
- Fig. 105 - Variations du zooplancton (nombre total d'individus) à Gravelines (moyenne par campagne). (Données communiquées par ARNAL, LEFEVRE et TOULARASTEL).
- Fig. 106 - Variations des pigments photosynthétiques à Gravelines en 1974-75.
- Fig. 107 - Variations du microplancton à Gravelines en 1975.
- Fig. 108 - Variations de l'indice pigmentaire à Graveline en 1975.
- Fig. 109 - Variations des pigments photosynthétiques à Gravelines en 1976-77.
- Fig. 110 - Variations du microplancton à Gravelines en 1976-77.
- Fig. 111 - Variations de l'indice pigmentaire à Gravelines en 1976-77
- Fig. 112 - Variations des pigments photosynthétiques à Gravelines en 1978 : chlorophylle a.
- Fig. 113 - Variations des pigments photosynthétiques à Gravelines en 1978 : phéopigments.
- Fig. 114 - Variations du microplancton à Gravelines en 1978.
- Fig. 115* - Allure des diagrammes rang-fréquence au cours d'une succession écologique dans le plancton. (D'après FRONTIER, 1977).
- Fig. 116 - Diagrammes rang-fréquence à Gravelines en 1974-75. (Moyenne de toutes les stations).
- Fig. 117 - Variations de l'indice de diversité (H) et de l'équitabilité (E) à Gravelines en 1975.

- Fig. 118 - Variations de l'indice de diversité (H) et de l'équitabilité (E) à Gravelines en 1976-77.
- Fig. 119 - Diagrammes rang-fréquence à Gravelines en 1976-77. (Moyenne des stations C1, M1, L1 et C2, M3, L2).
- Fig. 120 - Diagrammes rang-fréquence à Gravelines en 1978. [Moyenne des stations C, M et L (ou HZ)].
- Fig. 121 - Variations de l'indice de diversité (H) et de l'équitabilité (E) à Gravelines en 1978.
- Fig. 122 - Variations du rapport cellules vivantes/cellules mortes à Gravelines en 1978.
- Fig. 123 - Succession des populations de Diatomées à Gravelines en 1975. Espèces principales.
- Fig. 124 - Succession des populations de Diatomées à Gravelines en 1976-77. Espèces principales.
- Fig. 125 - Succession des populations de Diatomées à Gravelines en 1978. Espèces principales.
- Fig. 126 - Variations spatiales de la chlorophylle a ($\mu\text{g/l}$) à Gravelines.
- Fig. 127 - Distribution de la chlorophylle a ($\mu\text{g/l}$) au niveau de la radiale à Gravelines en 1978.
- Fig. 128 - Distribution du microplancton (nbre c/ cm^3) au niveau de la radiale à Gravelines en 1978.
- Fig. 129 - Distribution des phéopigments ($\mu\text{g/l}$) au niveau de la radiale à Gravelines en 1976-77.
- Fig. 130 - Distribution des phéopigments ($\mu\text{g/l}$) au niveau de la radiale à Gravelines en 1978.
- Fig. 131 - Distribution de la salinité, des matières en suspension et des phéopigments le 18 Juillet 1978 à Gravelines.
- Fig. 132 - Evolution du phytoplancton au point M au cours d'un cycle de marée - 20 Septembre 1976 - coeff. 58.
(P.M. 10 H 49 B.M. 17 H 46)
 23 H 18
- Fig. 133 - Evolution de quelques paramètres hydrologiques au point M au cours d'un cycle de marée - 20 Septembre 1976.
- Fig. 134 - Evolution du phytoplancton au point M au cours d'un cycle de marée - 18 Octobre 1976 - coeff. 46.
(P.M. 7 H 49 B.M. 14 H 49)
 20 H 32

- Fig. 135 - Variations des pigments photosynthétiques dans le milieu littoral en face de Dunkerque (R.N.O.).
- Fig. 136 - Variations de la chlorophylle a dans le port de Dunkerque (station E). (D'après les résultats de BRYLINSKI, 1979).
- Fig. 137 - Variations du microplancton dans le port de Dunkerque (station E).
- Fig. 138 - Variations de l'indice pigmentaire dans le port de Dunkerque (station E). (D'après les résultats de BRYLINSKI, 1979).
- Fig. 139 - Variations saisonnières de la population de Copépodes (Harpacticoïdes benthiques exceptés) dans le port de Dunkerque. (D'après BRYLINSKI, 1979).
- Fig. 140 - Succession des espèces dominantes du microplancton dans le port de Dunkerque (station E). (Pourcentage de dominance/ nombre total de cellules du microplancton). Moyenne des trois niveaux.
- Fig. 141 - Variations de l'indice de diversité (H) et de l'équitabilité (E) dans le port de Dunkerque (station E).
- Fig. 142 - Hydrobiologie des zones littorales de Dunkerque et de Gravelines, 1978 . Points-paramètres hydrobiologiques dans le plan I-II de l'analyse en composantes principales.
- Fig. 143 - Hydrobiologie des zones littorales de Dunkerque et de Gravelines, 1978 . Points-stations dans le plan I-II de l'analyse en composantes principales.
- Fig. 144 - Hydrobiologie des zones littorales de Dunkerque et de Gravelines, 1978 . Points-paramètres hydrobiologiques dans le plan I-III de l'analyse en composantes principales.
- Fig. 145 - Hydrobiologie des zones littorales de Dunkerque et de Gravelines, 1978 . Points - stations dans le plan I - III de l'analyse en composantes principales.
- Fig. 146 - Analyse des correspondances de la matrice effectifs des principales espèces phytoplanctoniques - paramètres hydrologiques. Plan des axes I et II.
- Fig. 147 - Analyse des correspondances de la matrice effectifs des principales espèces phytoplanctoniques - paramètres hydrologiques. Plan des axes I et III.
- Fig. 148 - Analyse des correspondances de la matrice effectifs des principales espèces phytoplanctoniques - paramètres hydrologiques. Plan des axes II et IV.

ANNEXE II

- Fig. I - Variations de la température de l'eau à Dunkerque (R.N.O.).
- Fig. II - Variations de la salinité à Dunkerque (R.N.O.).
- Fig. III. 1 - Variations de la densité à Dunkerque (R.N.O.) de Novembre 1975 à Mars 1978.
- Fig. III. 2 - Variations de la densité à Dunkerque (R.N.O.) en 1978.
- Fig. IV. 1 - Profondeur de disparition du disque de Secchi à Dunkerque (R.N.O.) en 1975 et 1976.
- Fig. IV. 2 - Profondeur de disparition du disque de Secchi à Dunkerque (R.N.O.) en 1978.
- Fig. V - Variations des matières en suspension à Dunkerque (R.N.O.) en 1978 - niveau de sub-surface.
- Fig. VI - Variations du pH à Dunkerque (R.N.O.).
- Fig. VII. 1 - Variations de l'oxygène dissous à Dunkerque (R.N.O.) en 1975-76-77 (valeurs moyennes par campagne).
- Fig. VII. 2 - Variations de l'oxygène dissous à Dunkerque (R.N.O.) d'Octobre 1977 à Décembre 1978.
- Fig. VIII - Variations de l'ammoniac à Dunkerque (R.N.O.).
- Fig. IX - Variations des nitrites à Dunkerque (R.N.O.).
- Fig. X - Variations des nitrates à Dunkerque (R.N.O.).
- Fig. XI - Variations des phosphates à Dunkerque (R.N.O.).
- Fig. XII - Variations des silicates à Dunkerque (R.N.O.).

*: Ces figures sont incluses dans le 1^{er} tome.

ABREVIATIONS UTILISEES DANS LES FIGURES 116, 119 et 120

ASJ	<i>Asterionella japonica</i>
BIA	<i>Biddulphia aurita</i>
CEP	<i>Cerataulina pelagica</i>
CHC	<i>Chaetoceros curvisetum + Ch. debile</i>
CHS	<i>Chaetoceros sociale</i>
CHT	<i>Chaetoceros tortissimum</i>
CL1	Chlorophycée sp1
CYC	Genre <i>Cyclotella</i>
FRA	" <i>Fragilaria</i> "
GYM	Genre <i>Gymnodinium</i>
LEP	<i>Leptocylindrus danicus</i>
MEL	Genre <i>Melosira</i>
NAV	Genre <i>Navicula</i>
NIC	<i>Nitzschia closterium</i>
NID	<i>Nitzschia delicatissima + N. seriata</i> en 1974-75 <i>Nitzschia delicatissima</i> en 1976-77 et 1978
NIS	<i>Nitzschia seriata</i>
NV1	<i>Navicula</i> sp1
PAR	<i>Paralia sulcata</i>
RHA	<i>Rhaphoneis amphiceros</i>
RDE	<i>Rhizosolenia delicatula</i>
RSE	<i>Rhizosolenia pungens + Rh. setigera</i>
RSH	<i>Rhizosolenia shrubsolei</i>
RST	<i>Rhizosolenia stolterfothii</i>
SKC	<i>Skeletonema costatum</i>
STM	<i>Stauroneis membranacea</i>
TAN	<i>Thalassionema nitzschioïdes</i>
THD	<i>Thalassiosira decipiens</i>
THL	<i>Thalassiosira levanderi</i>
THN	<i>Thalassiosira nordenskioldii</i>
THR	<i>Thalassiosira rotula</i>

Fig. 1 - Emplacement de la zone d'étude.

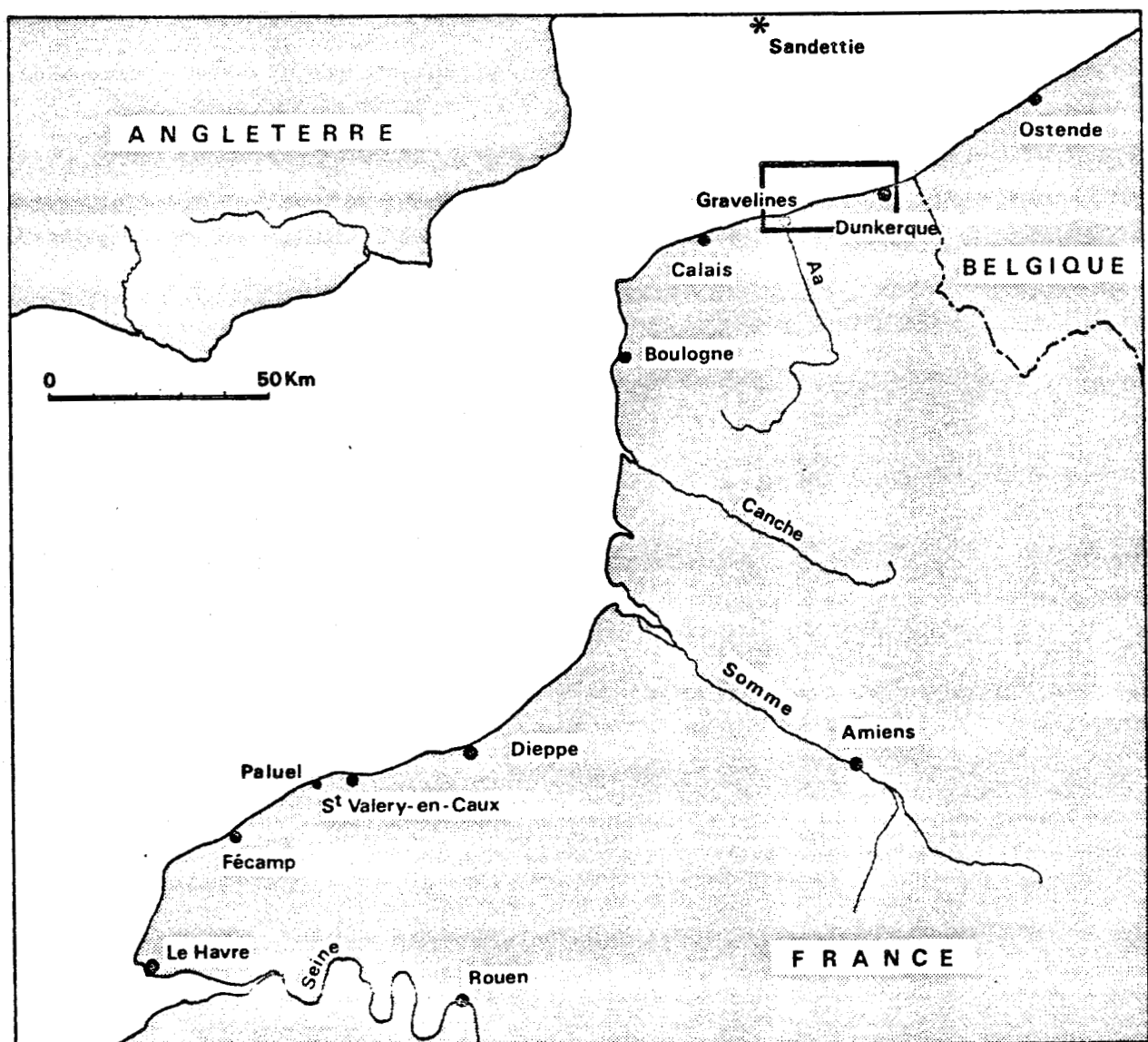


Fig. 2 - Rose des courants dans la passe de Dunkerque.
($51^{\circ} 03' N$ - $2^{\circ} 08' E$)

(a) VIVE EAU
(b) MORTE EAU

1 Noeud

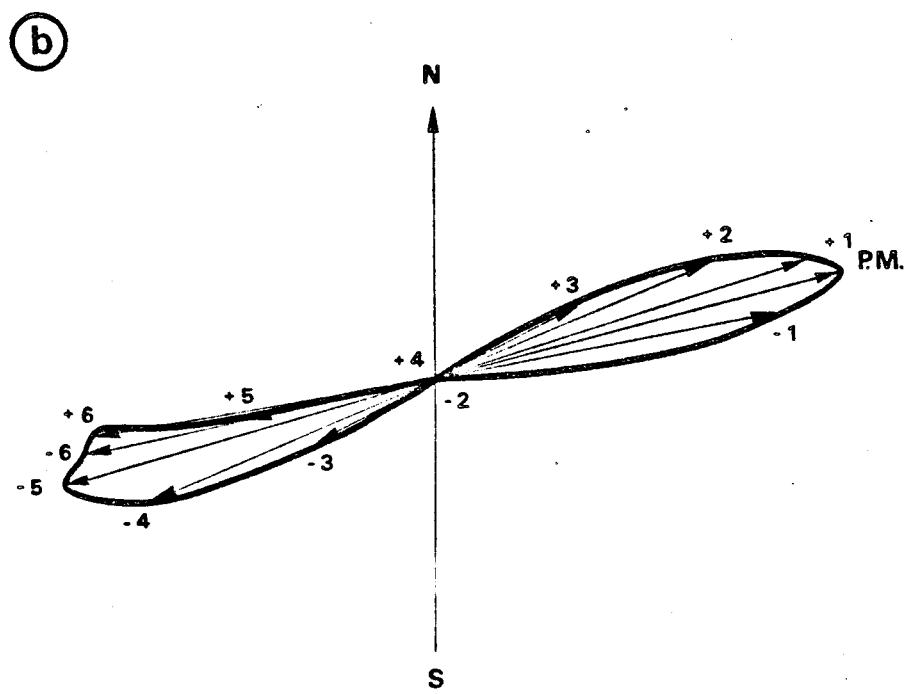
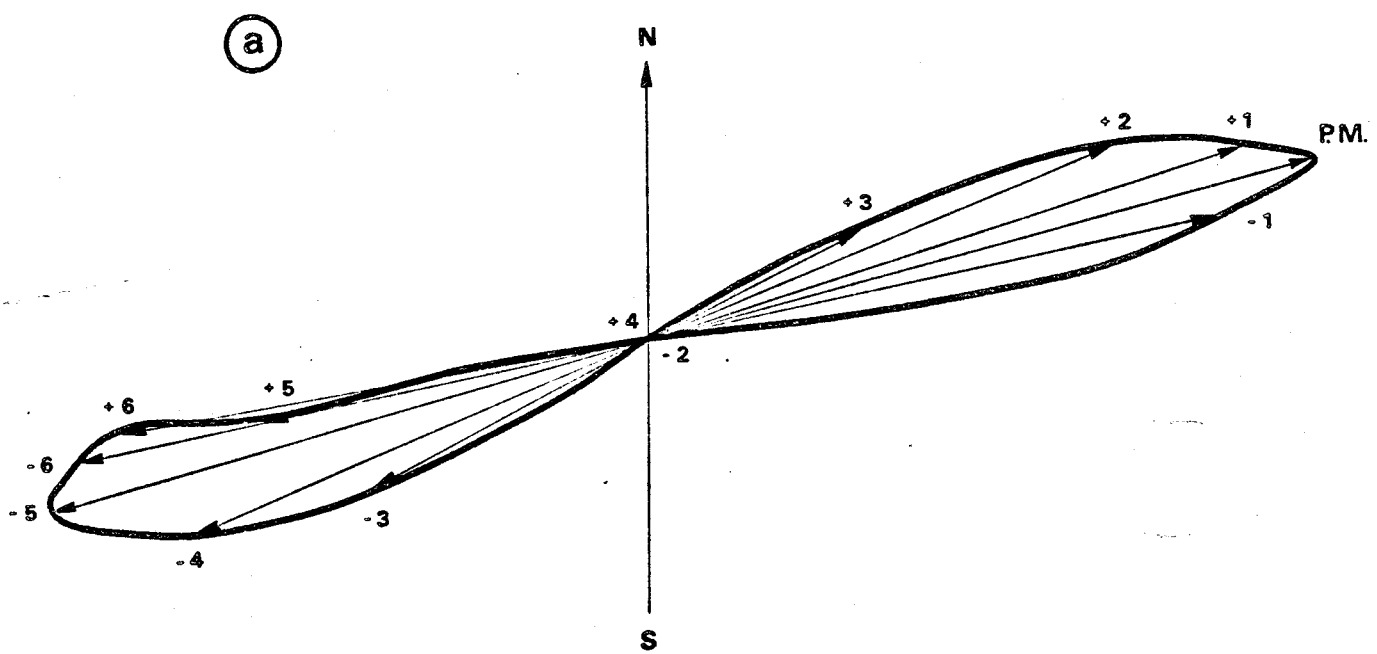


Fig. 3 - Champs de courant au voisinage de la digue de l'avant-port ouest de Dunkerque.

(Coeff. 95, P.M. +2). (D'après BONNEFILLE et coll., 1979).

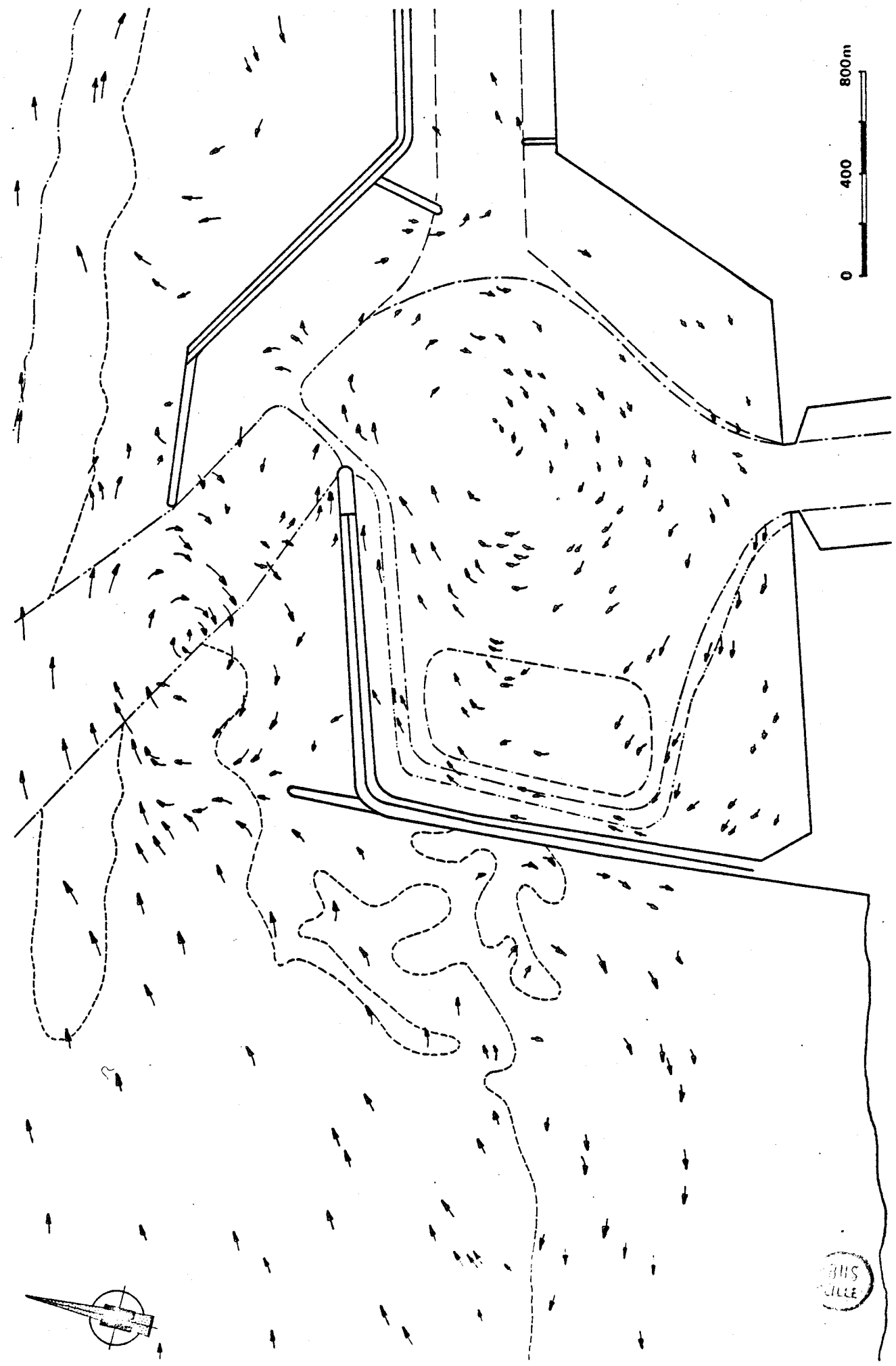


Fig. 4 - Circulation générale dans le sud de la Mer du Nord.
(D'après NIHOUL et RONDAY, 1976).

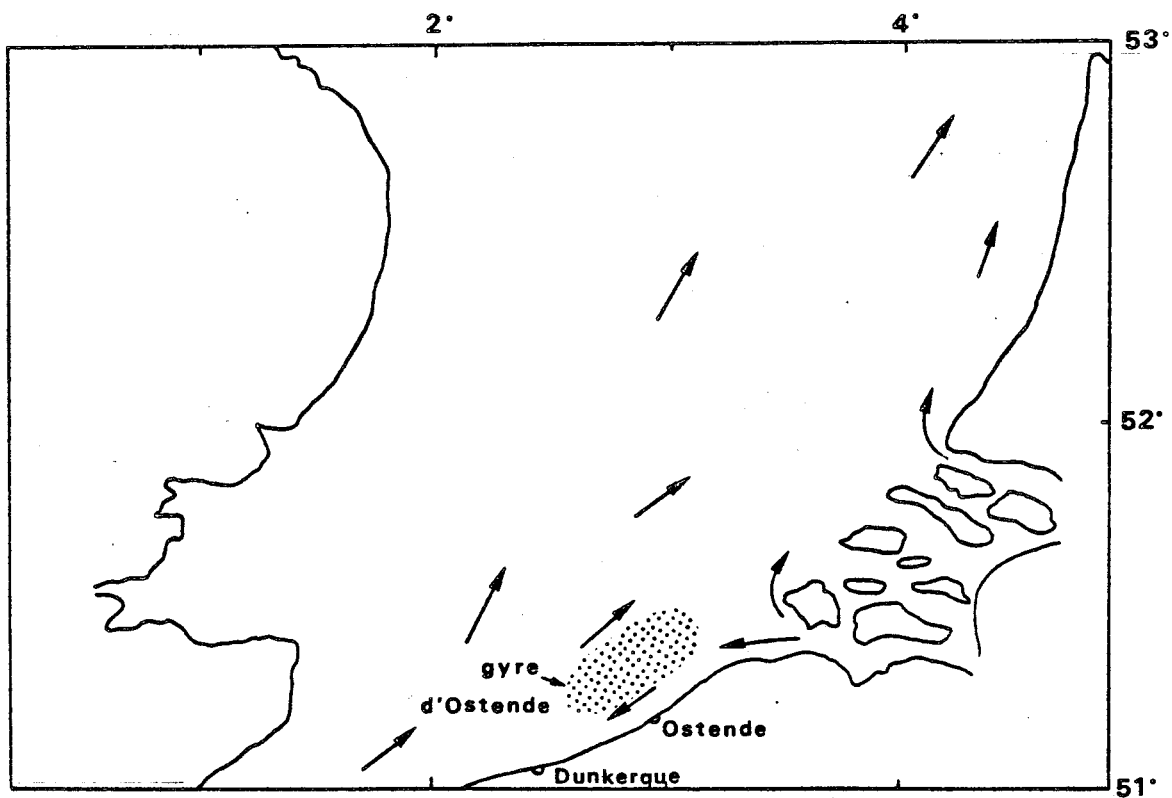


Fig. 5 - Rejets estimés de l'Aa.
D'après le cahier de charges d'ouverture des vannes.
(Document I.S.T.P.M.).

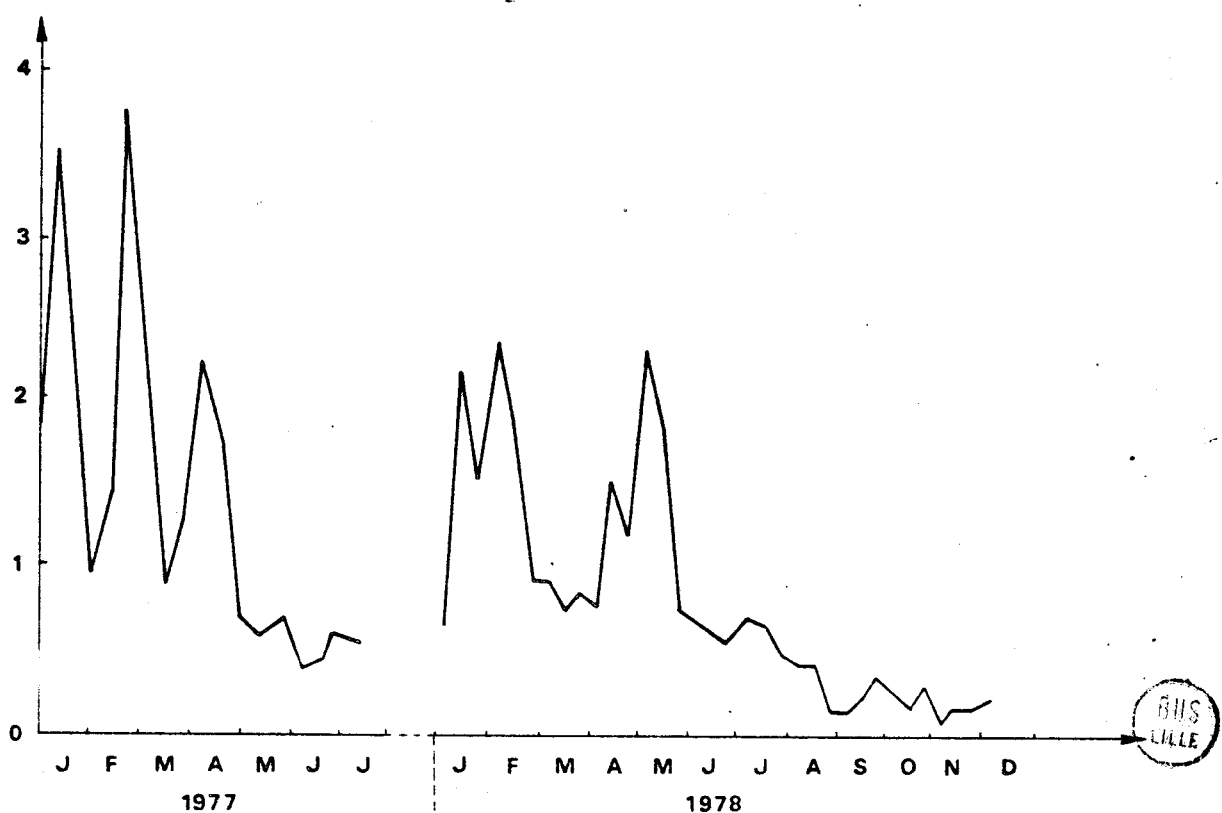
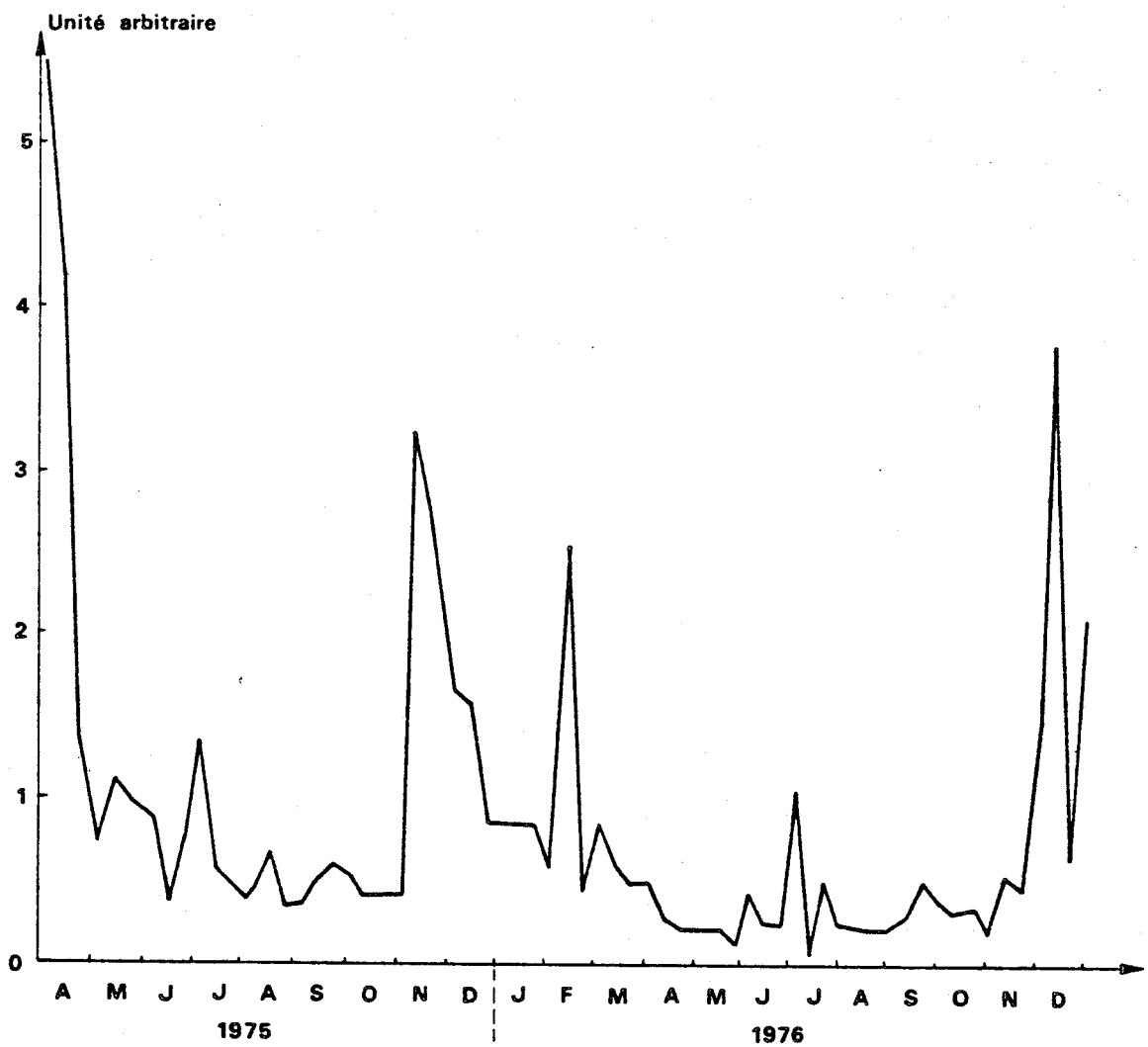


Fig. 6 - Profil du fond au niveau de la radiale à Gravelines (1976-1977).

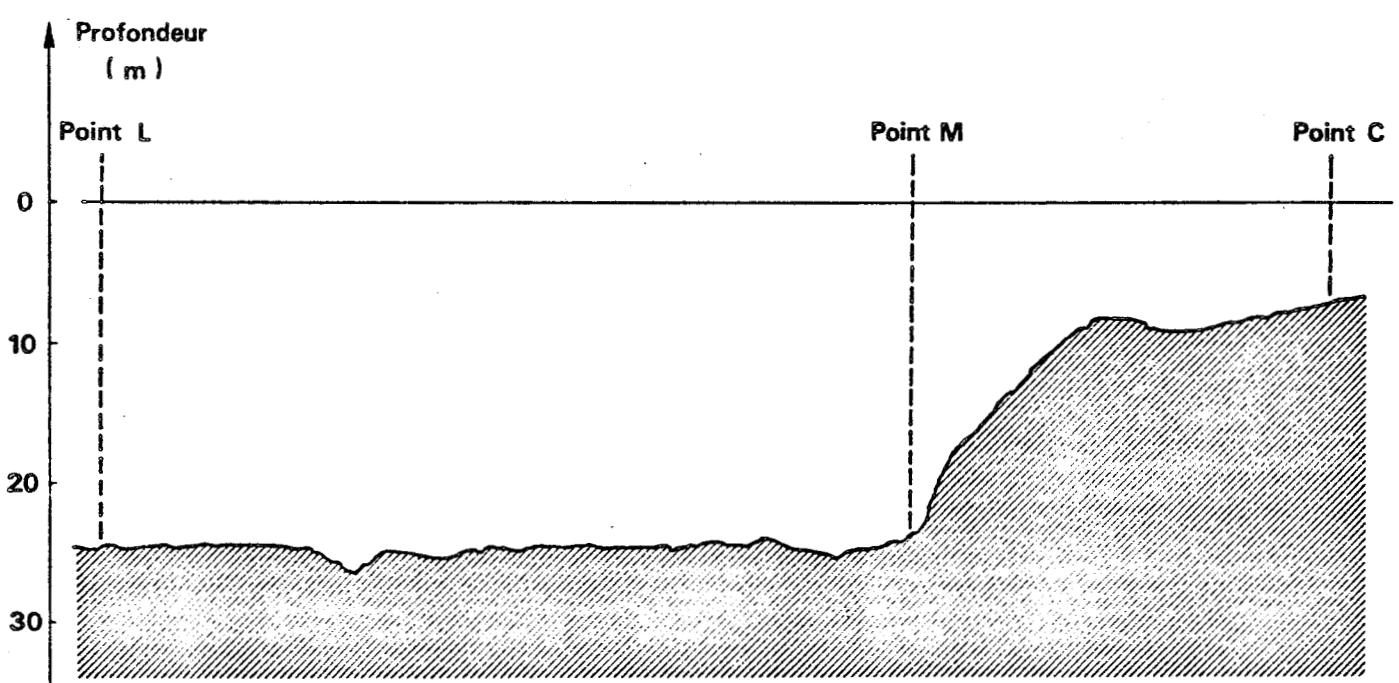


Fig. 7 - Température de l'air à Dunkerque - Sémaphore.
(Moyenne par décade des maxima et des minima journaliers).

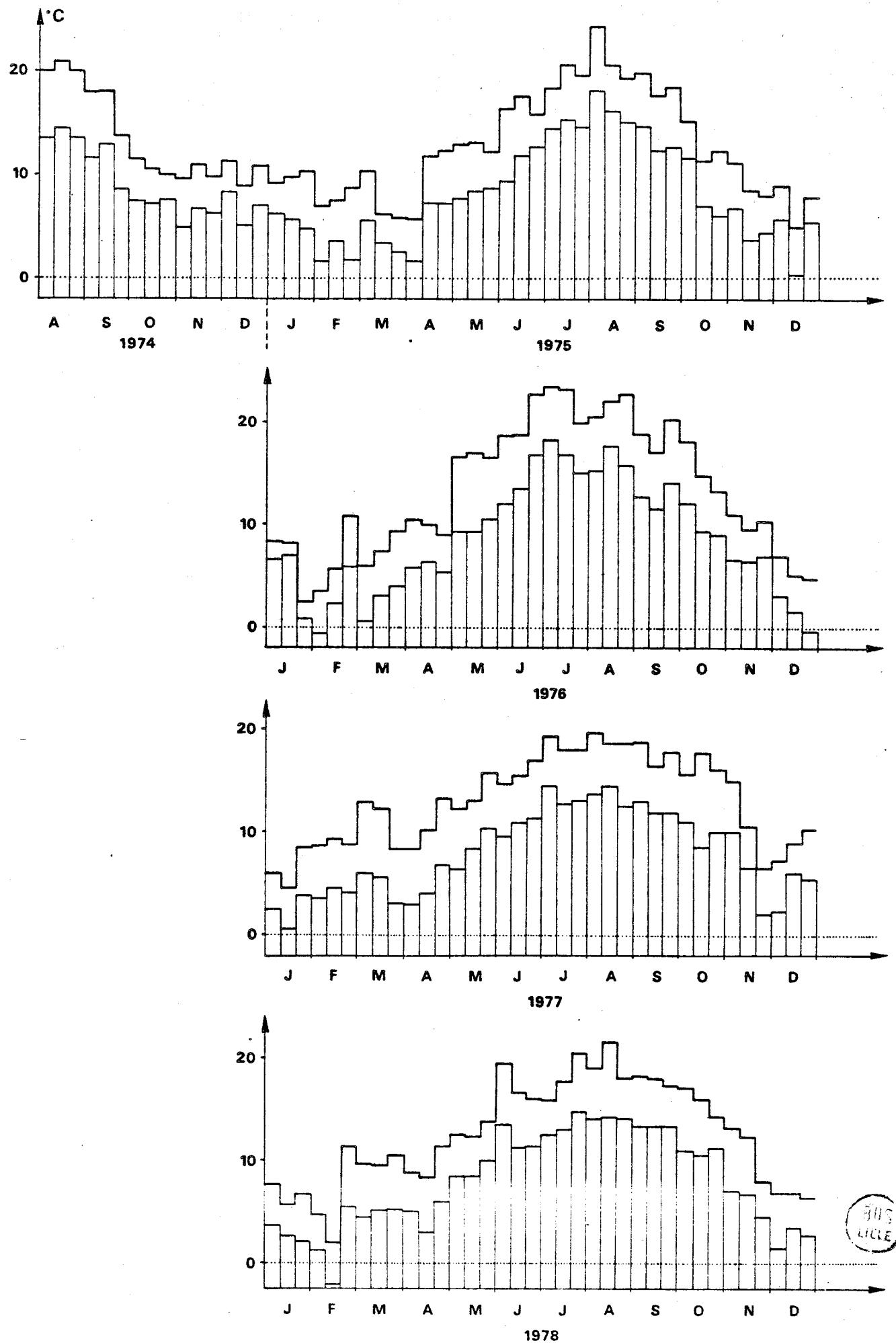


Fig. 8 - Précipitations par décade dans la région de Dunkerque.
 (Dunkerque - Sémaphore (1974-75) , Gravelines (1976-77-78)).

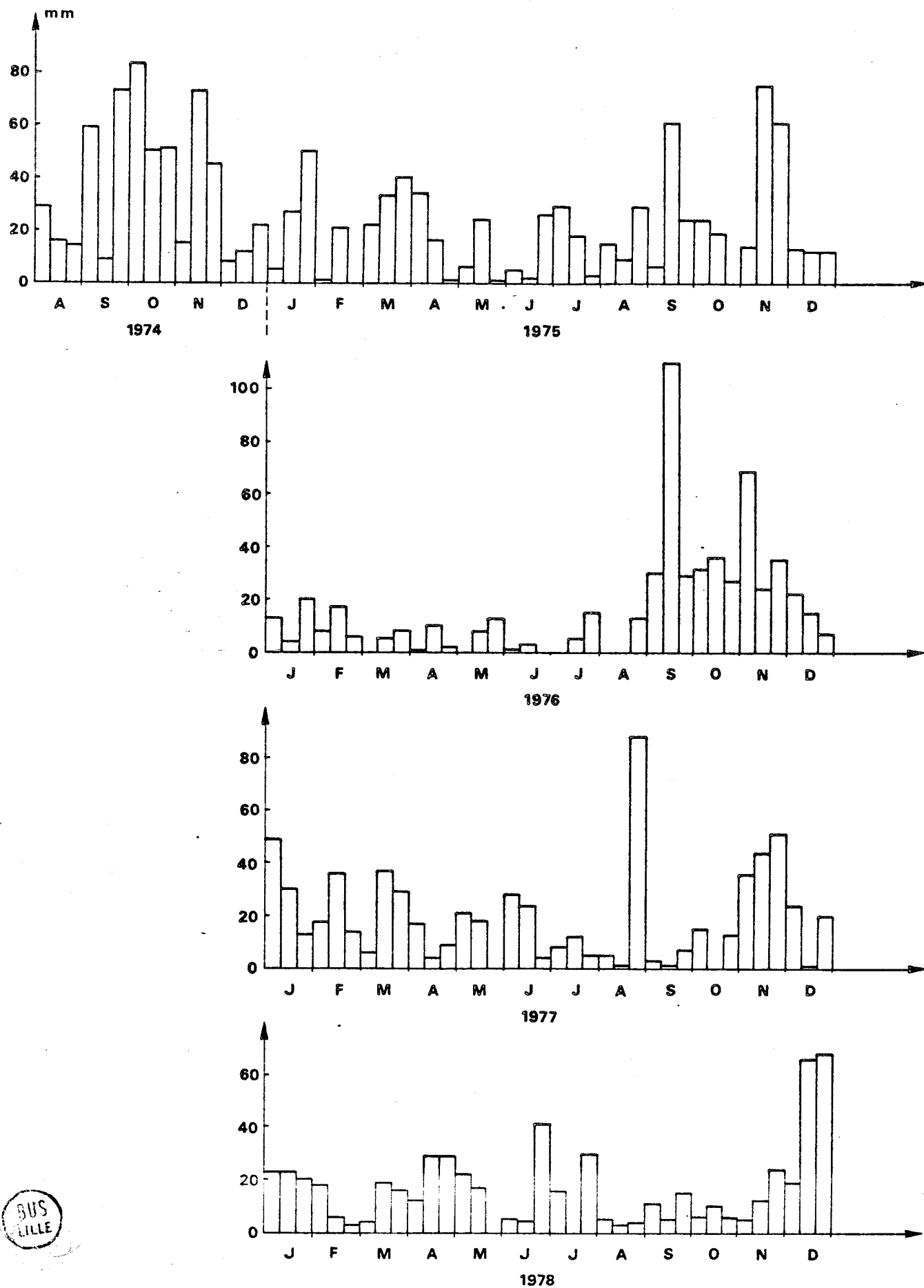
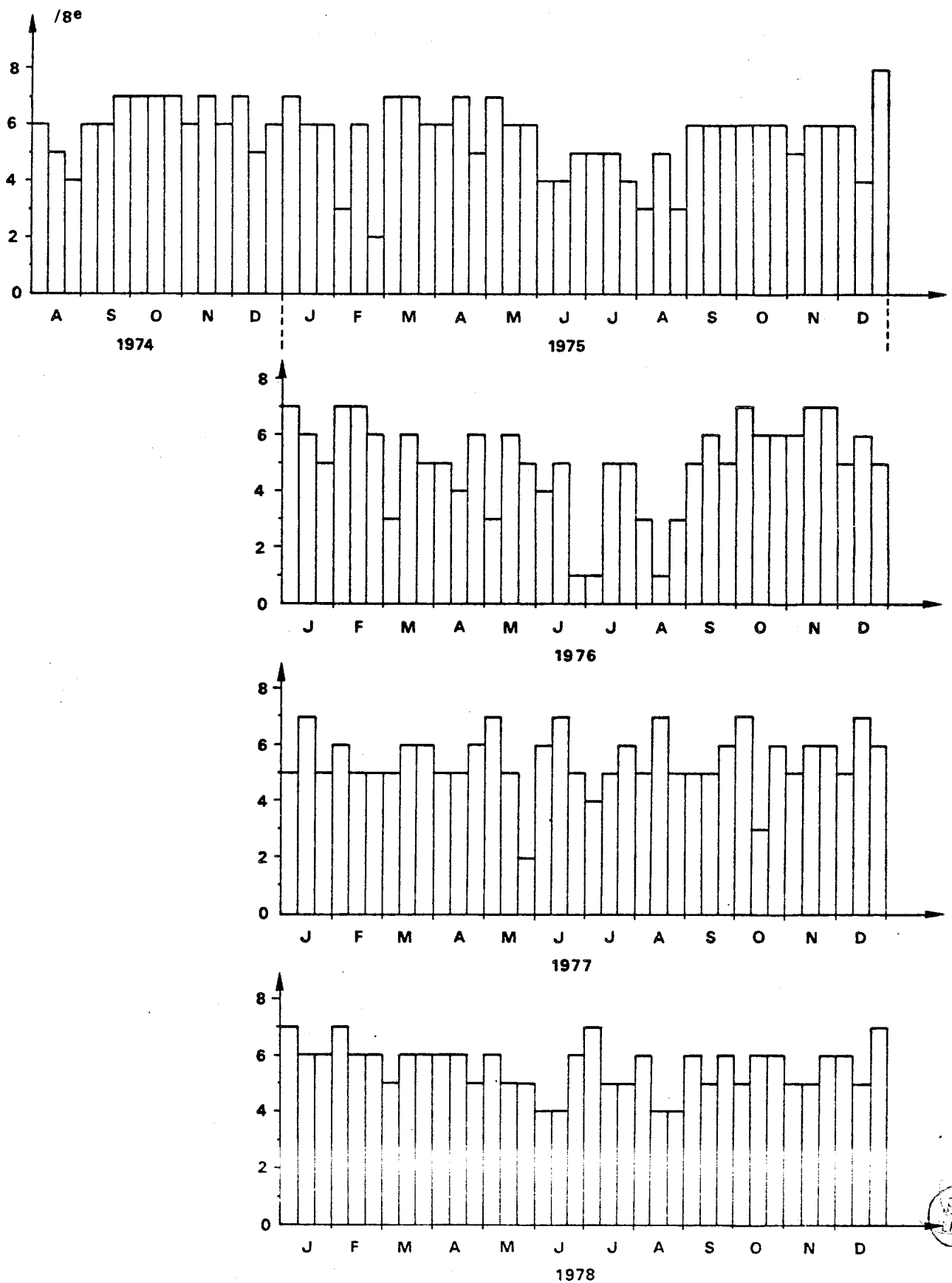


Fig. 9 - Nébulosité moyenne par décade à Dunkerque - Sémaphore.
 (Relevée à 6h., 12h., 18h.).



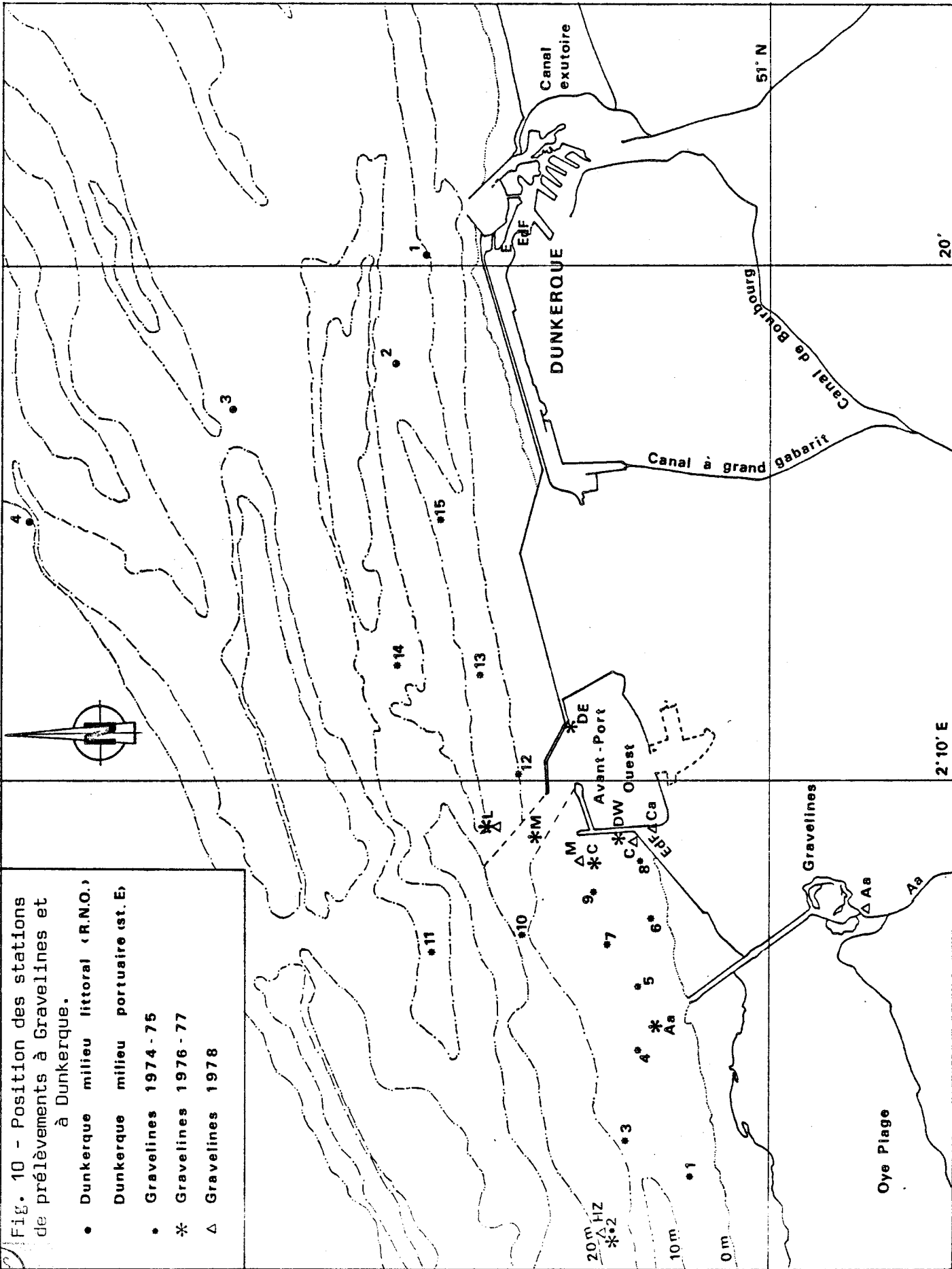


Fig. 11 - Position des stations de prélevements C, M, L en fonction du courant de marée.

(Exemple du 18 novembre 1976 - coeff. 67).

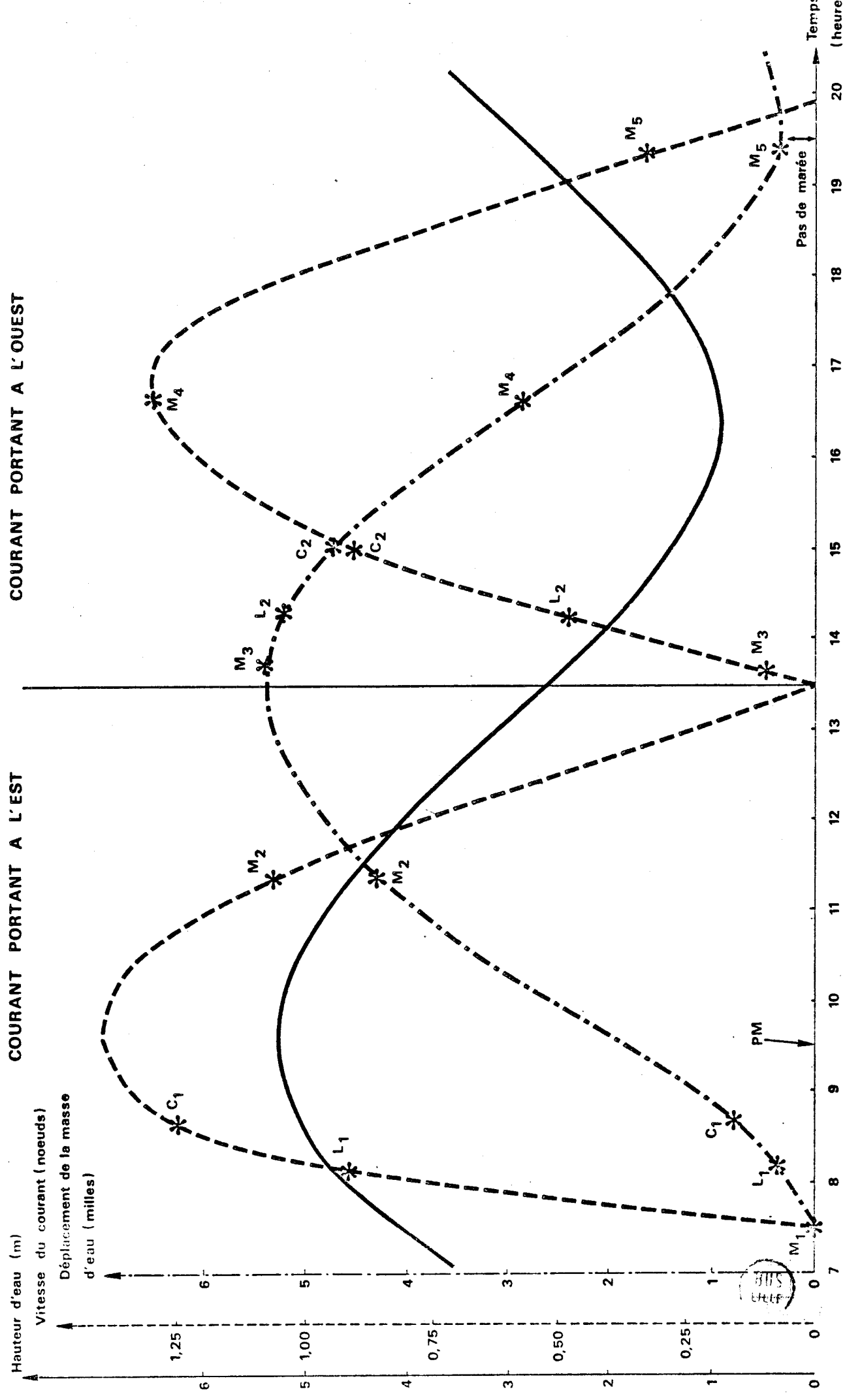
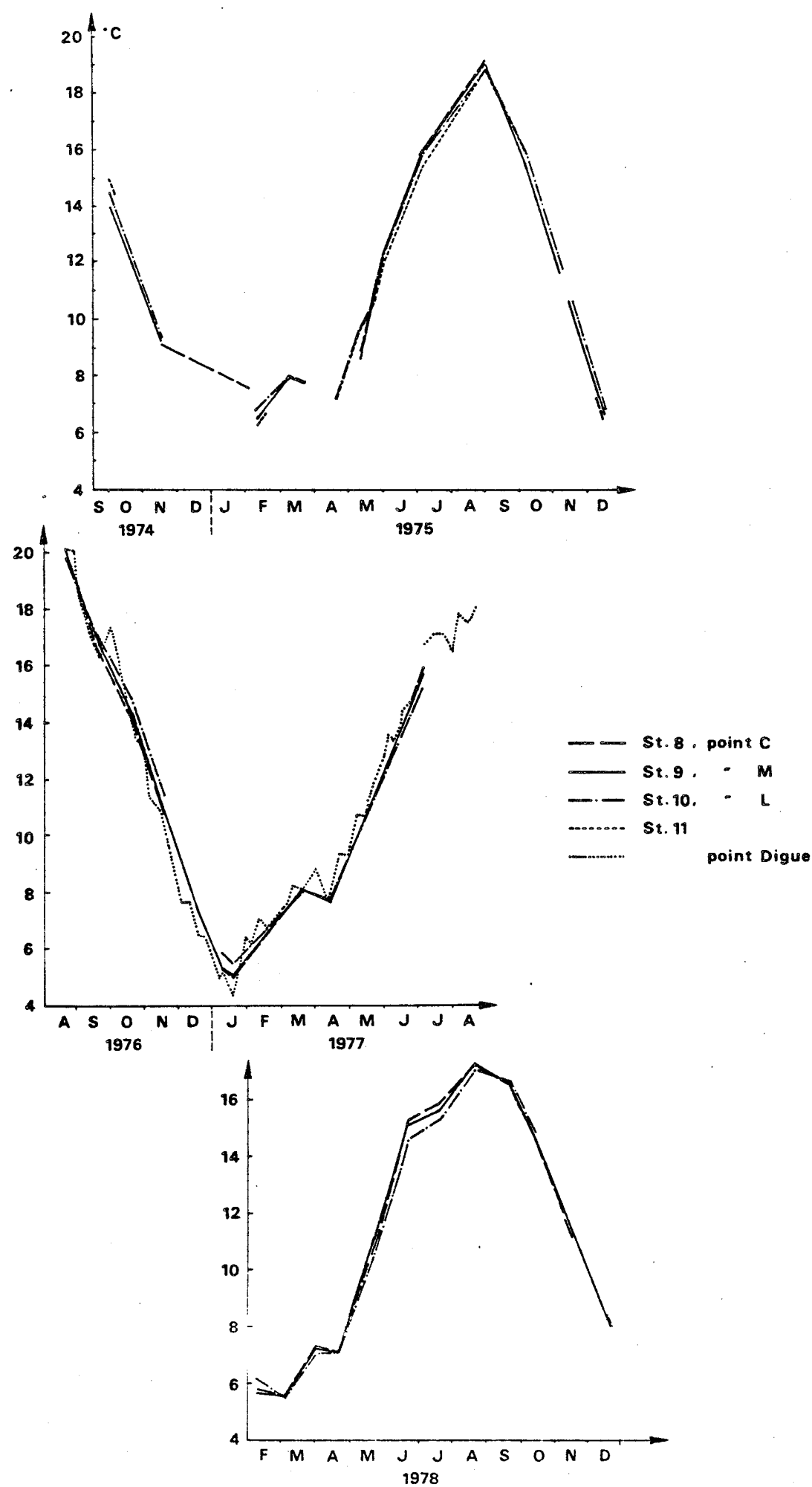
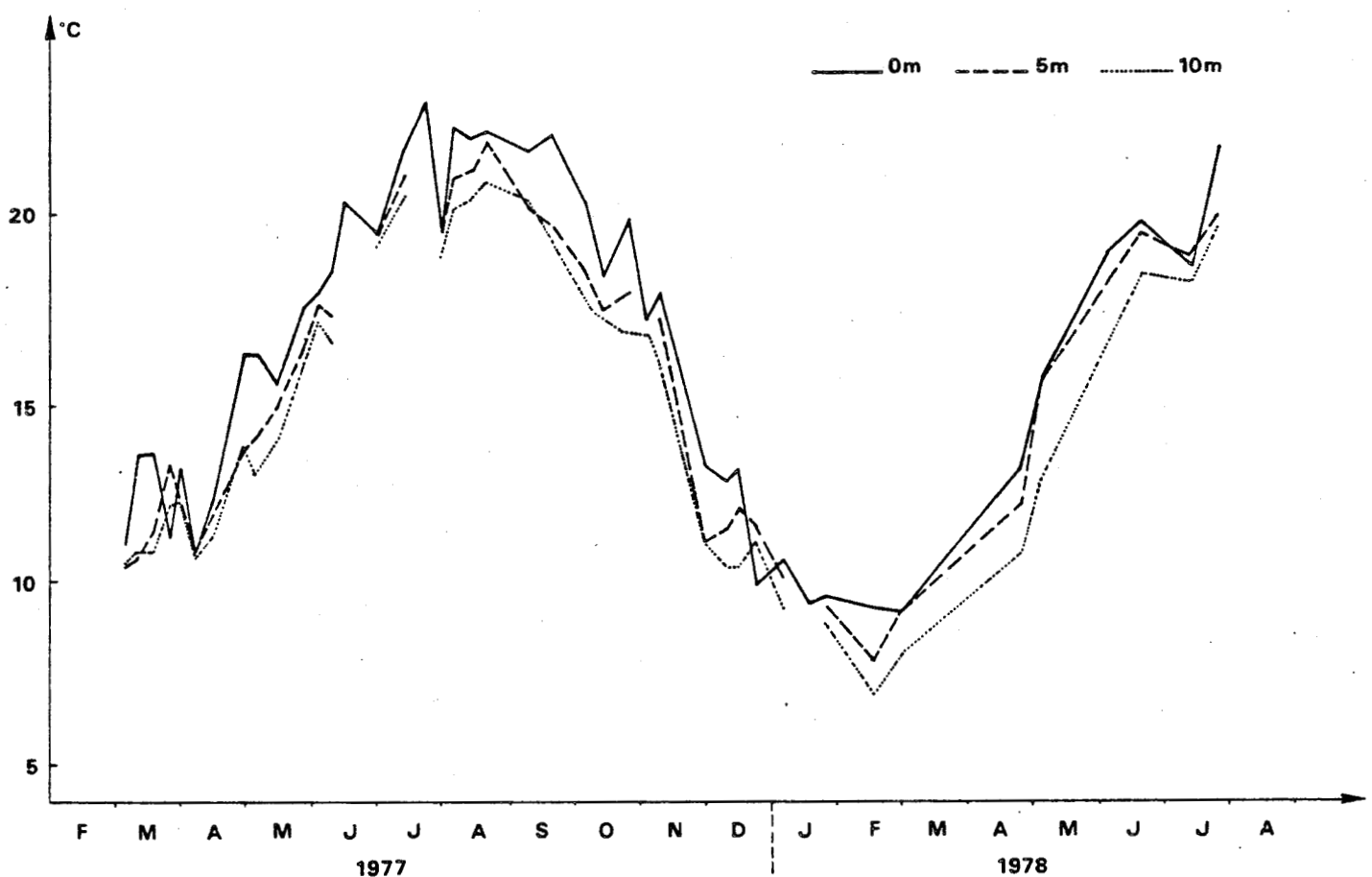


Fig. 12.1 - Température à Gravelines.



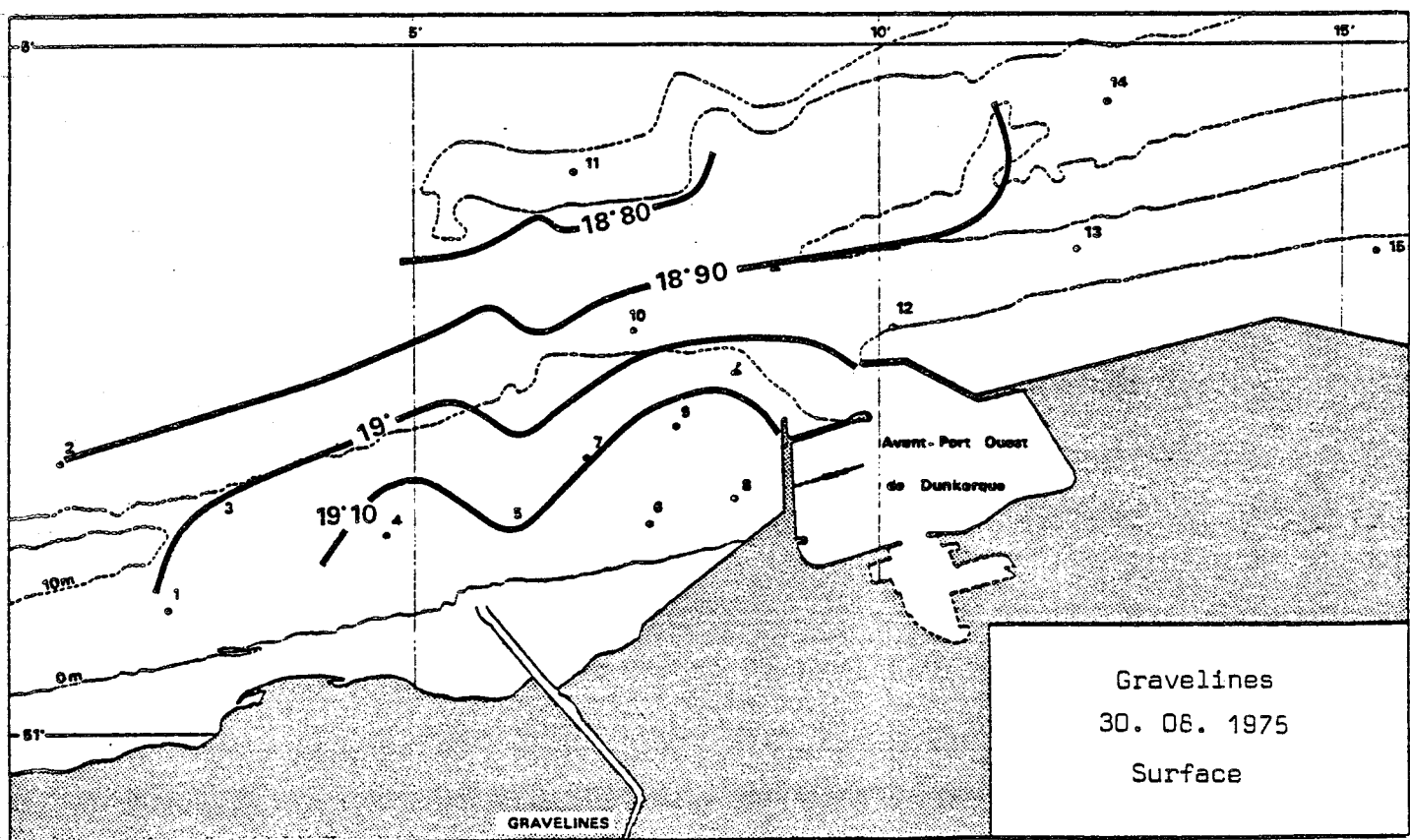
BUS
LILLE

Fig. 12.2 - Température dans le port de Dunkerque (station E).
(D'après les données de BRYLINSKI, 1979).

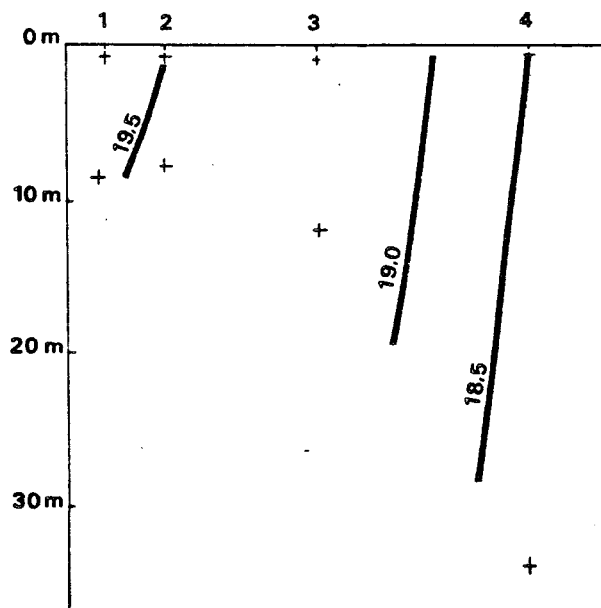


BISS
LICLE

Fig. 13.1 - Variations spatiales de la température ($^{\circ}\text{C}$) en été.



Dunkerque (R.N.O.) 12 août 1976



Gravelines 4 juillet 1977

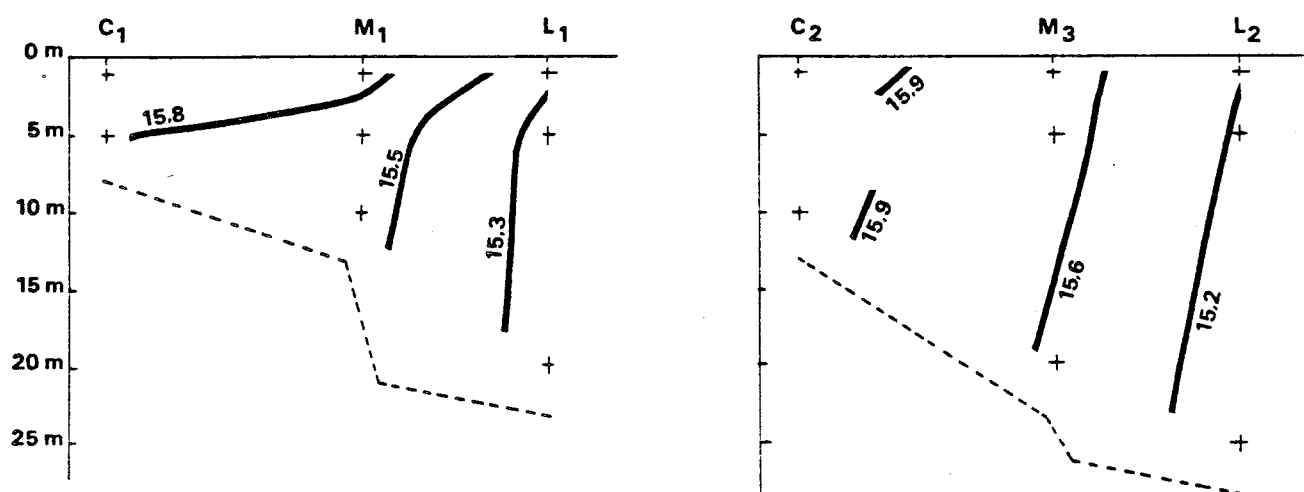
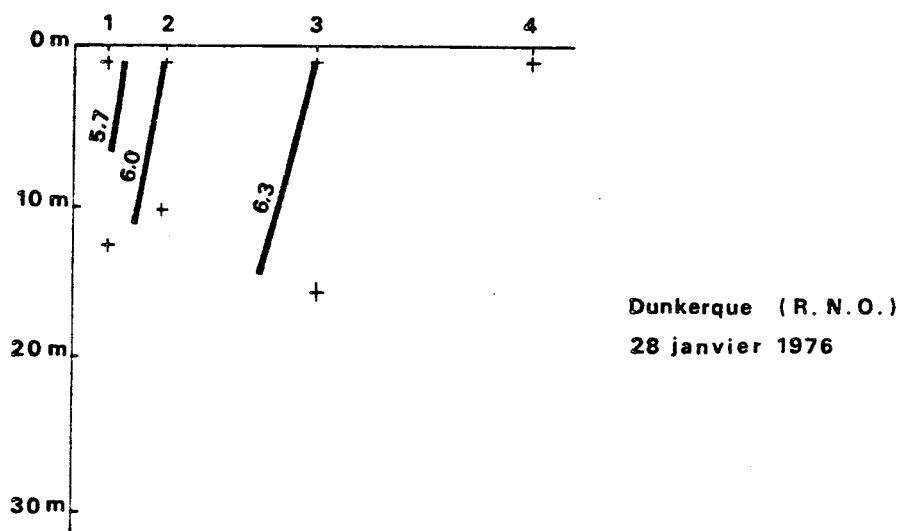
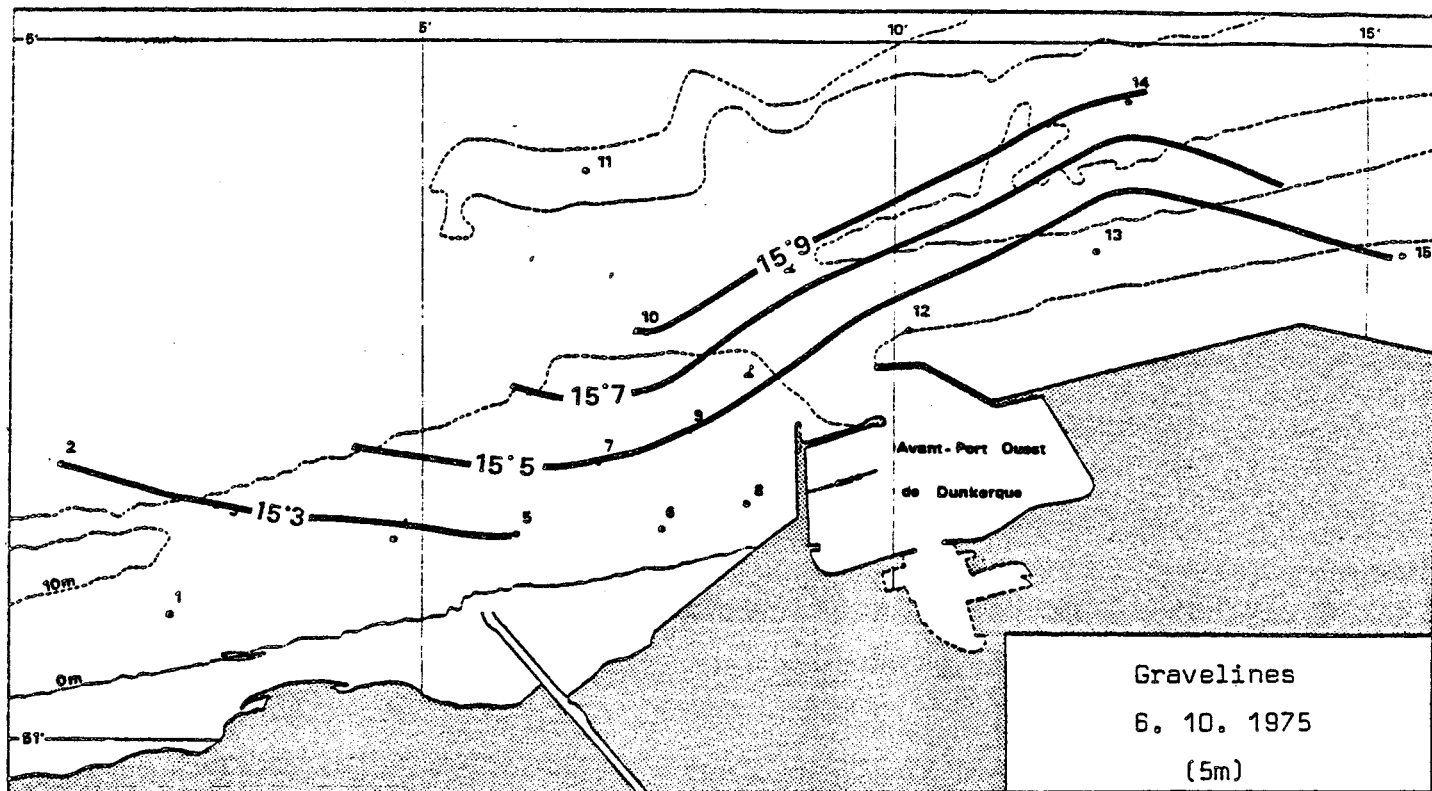
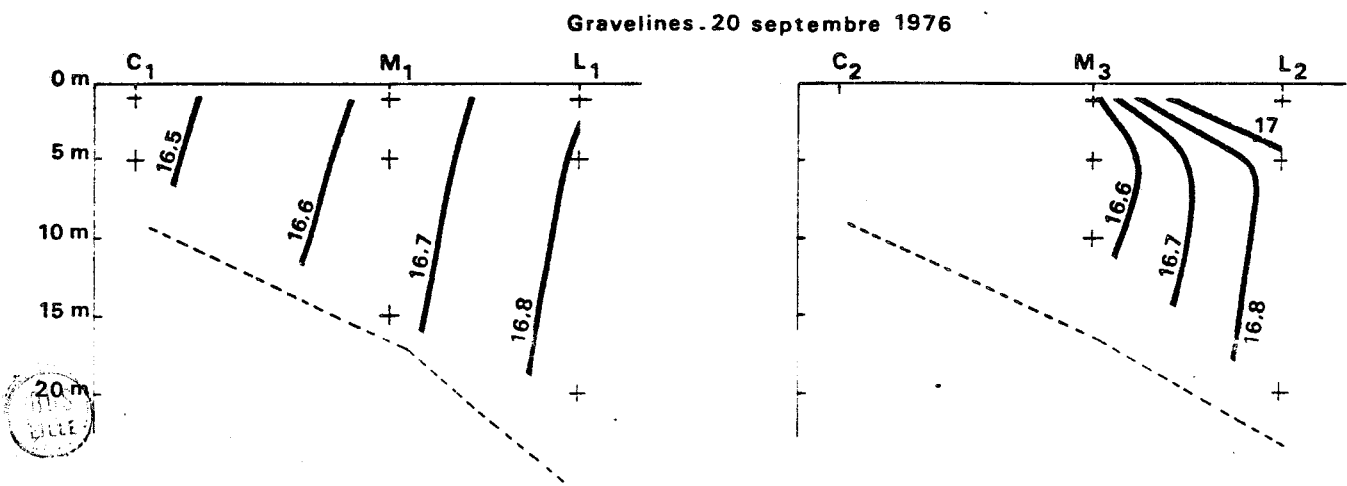


Fig. 13.2 - Variations spatiales de la température ($^{\circ}\text{C}$) en automne et en hiver.



Dunkerque (R.N.O.)

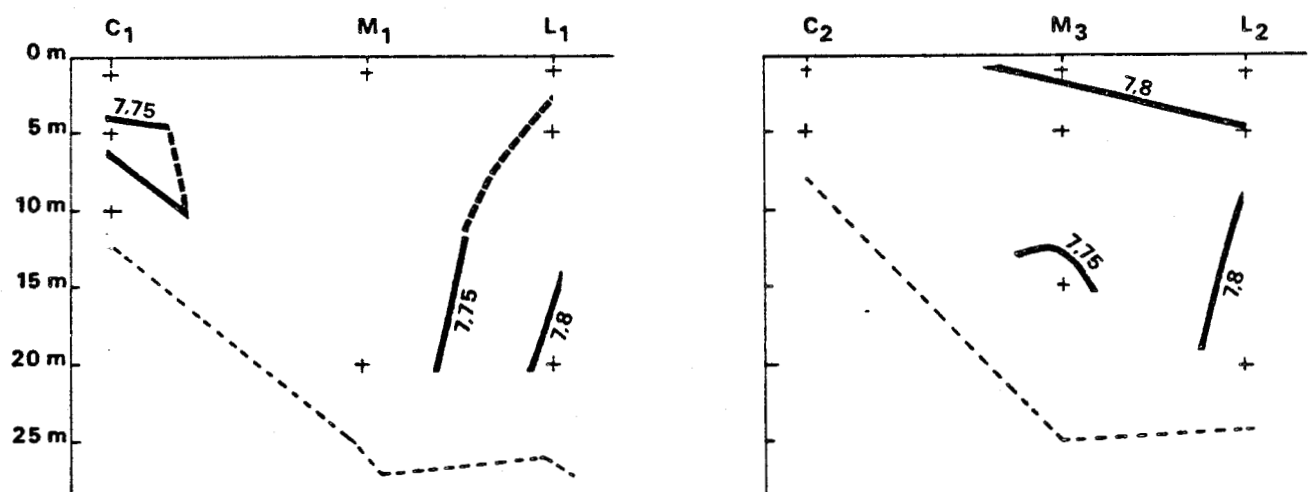
28 janvier 1976



Gravelines .20 septembre 1976

Fig. 13.3 - Distribution de la température ($^{\circ}\text{C}$)
le long de la radiale à Gravelines.

12 avril 1977



19 avril 1978

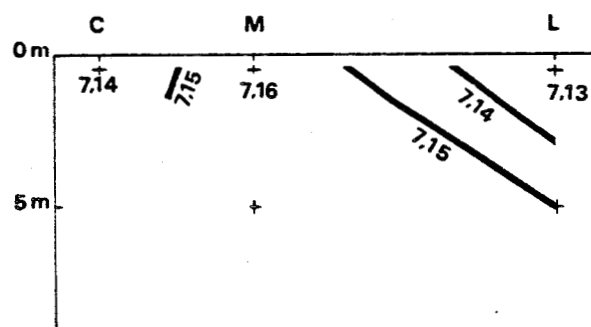
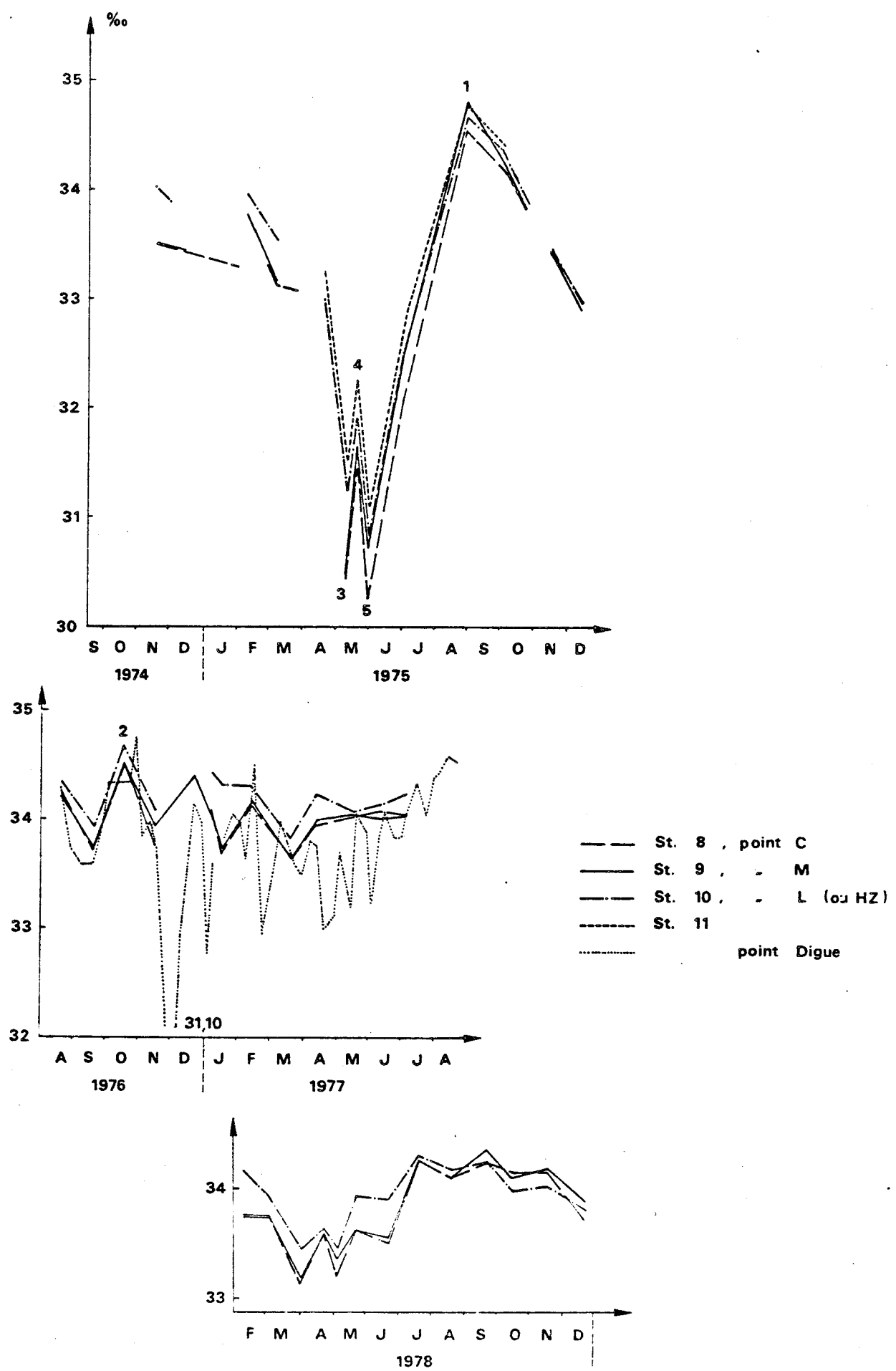


Fig. 14 - Salinité à Gravelines.



BUS
LILLE

Fig. 15 - Courant de dérive dû au vent.

Hypothèse du 9 mai 1975.

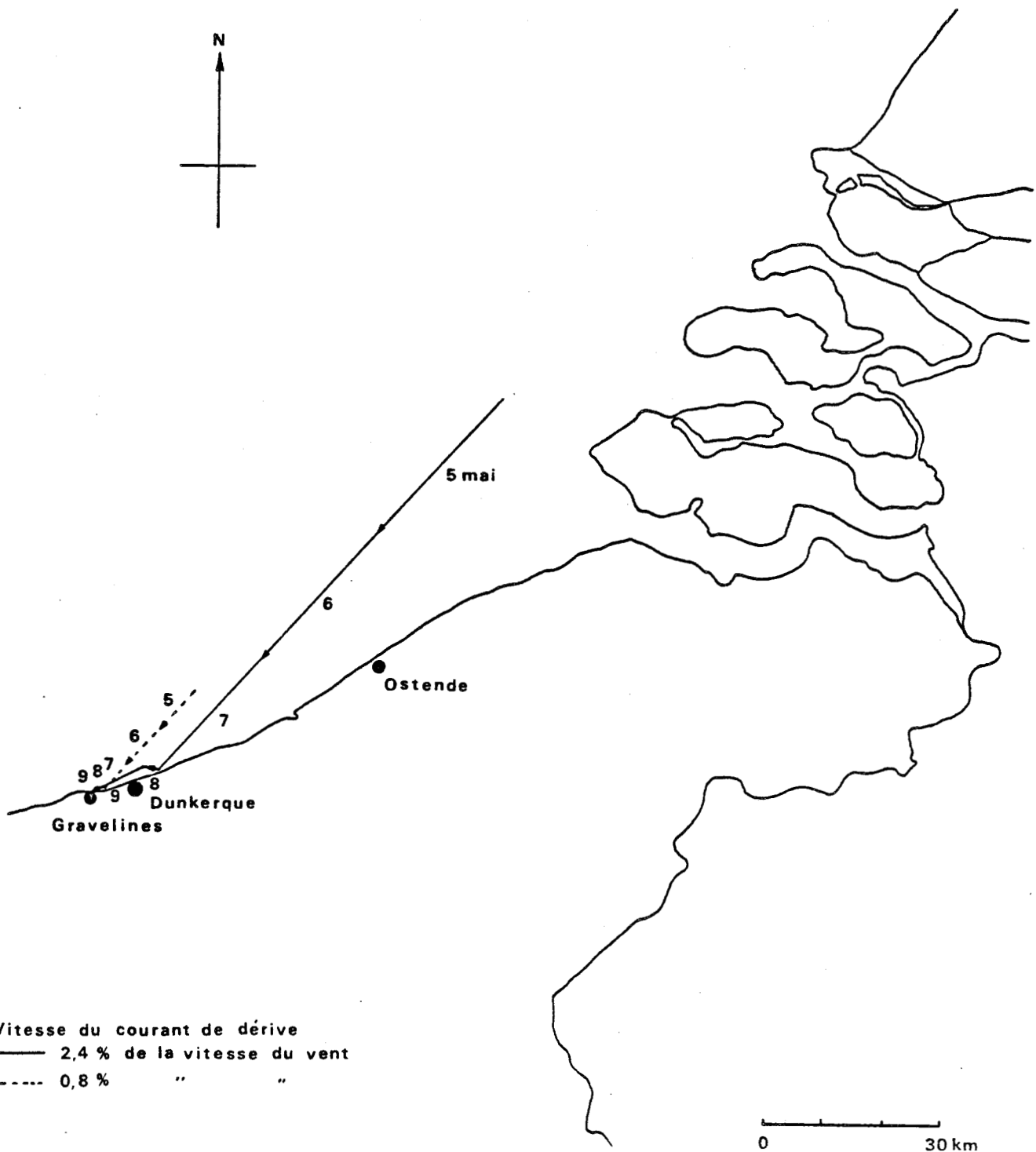


Fig. 16.1 - Variations spatiales de la salinité ($^{\circ}/\text{oo}$).

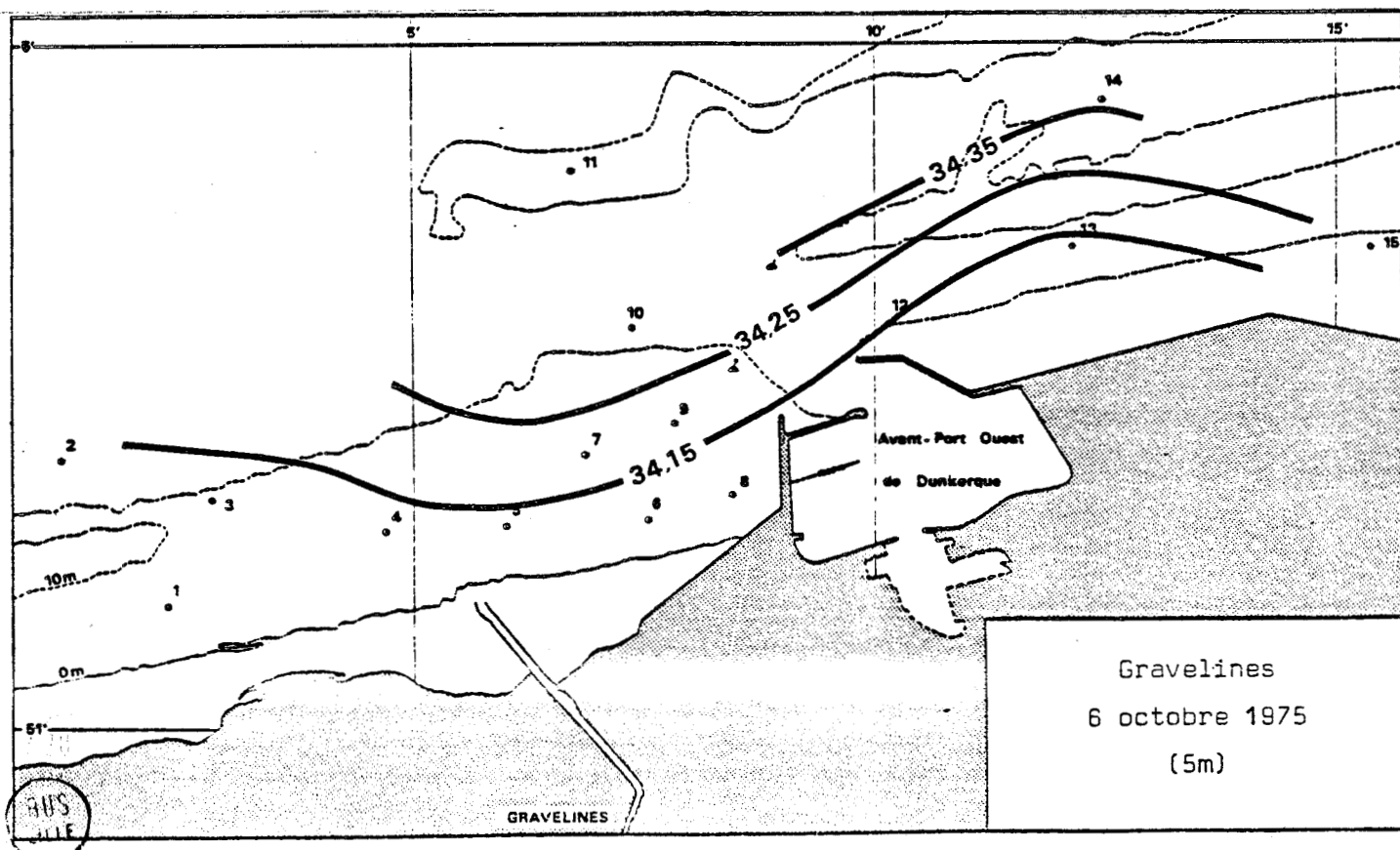
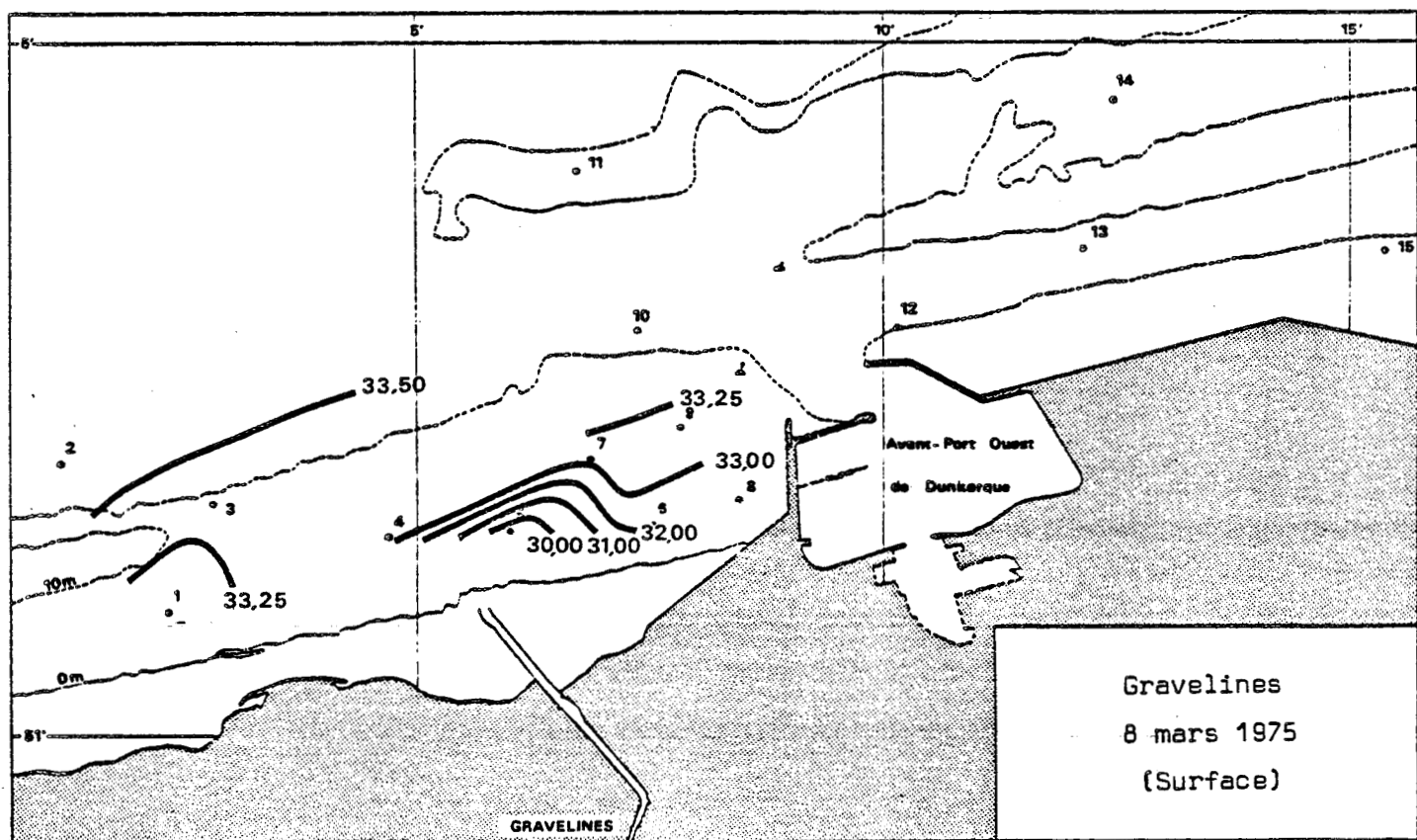
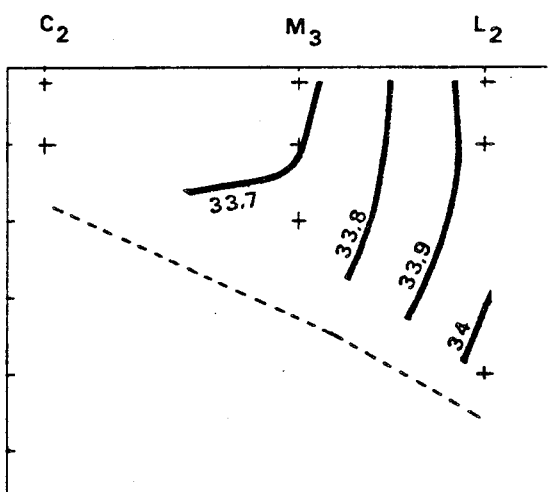
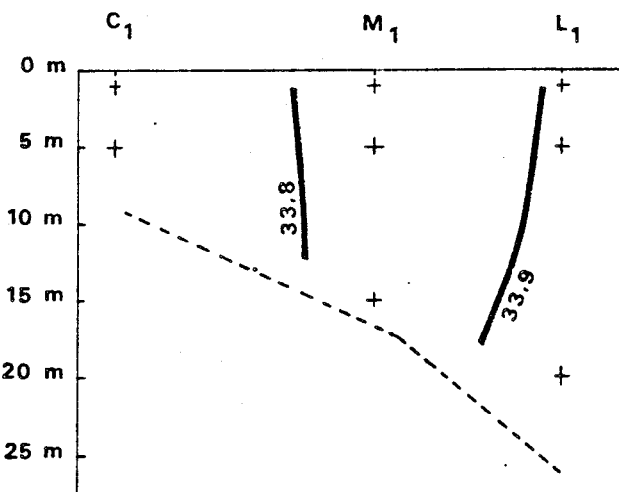
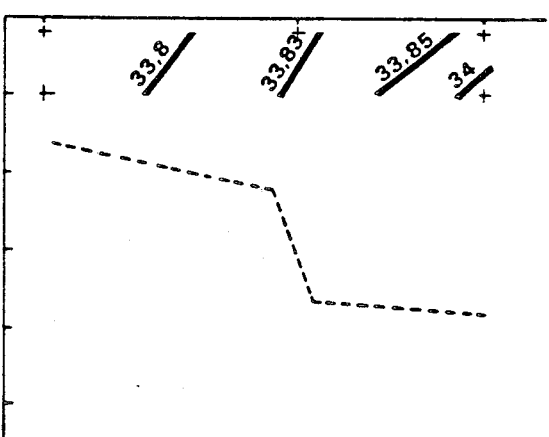
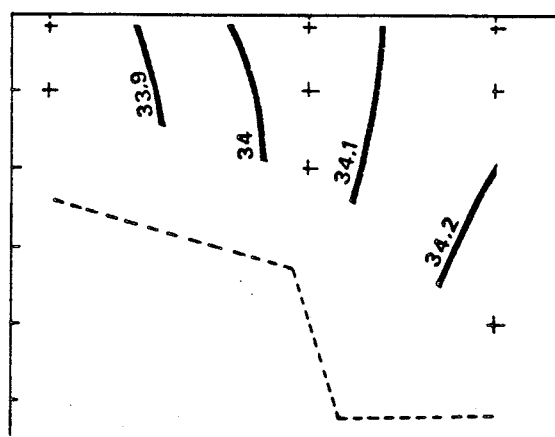


Fig. 16.2 - Distribution de la salinité ($^{\circ}/\text{o}$) au niveau de la radiale à Gravelines.

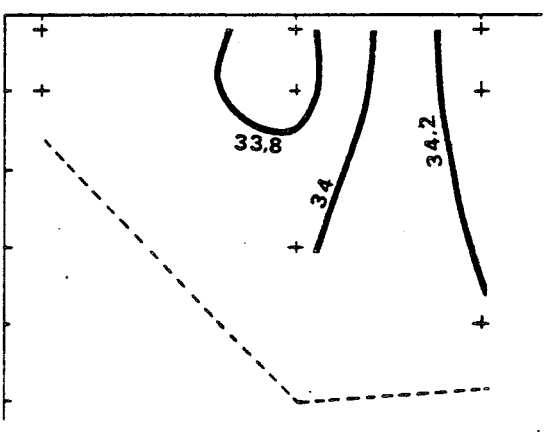
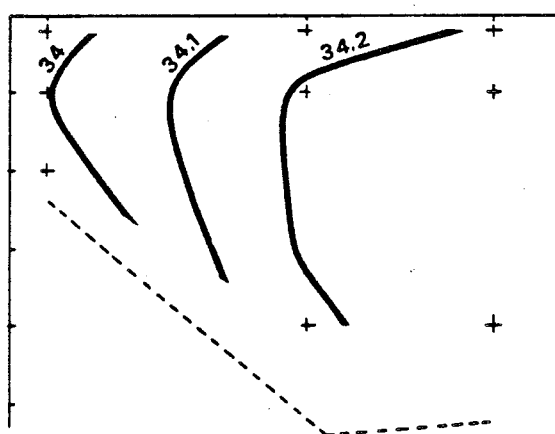
20 septembre 1976



18 novembre 1976



12 avril 1977



9 juin 1977

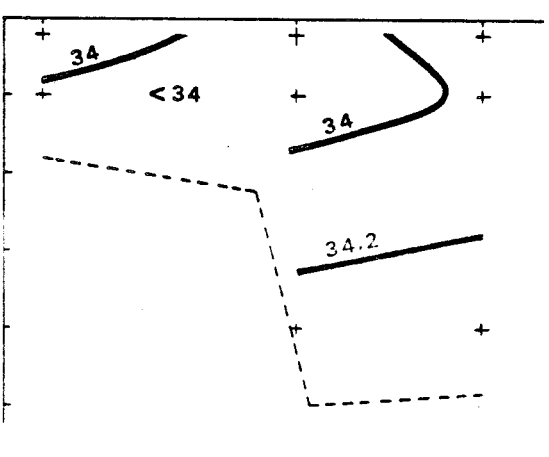
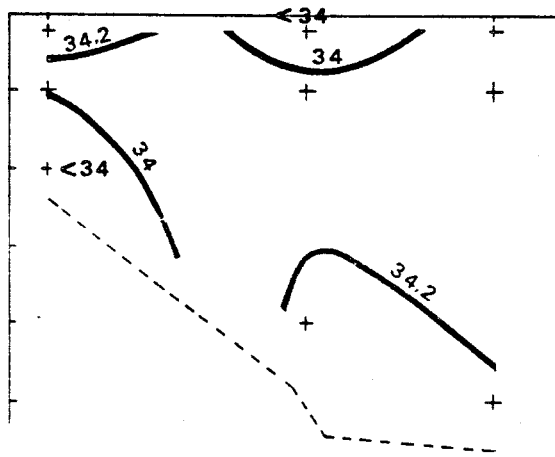


Fig. 17 - Salinité dans le port de Dunkerque (station E).
(D'après les données de BRYLINSKI, 1979).

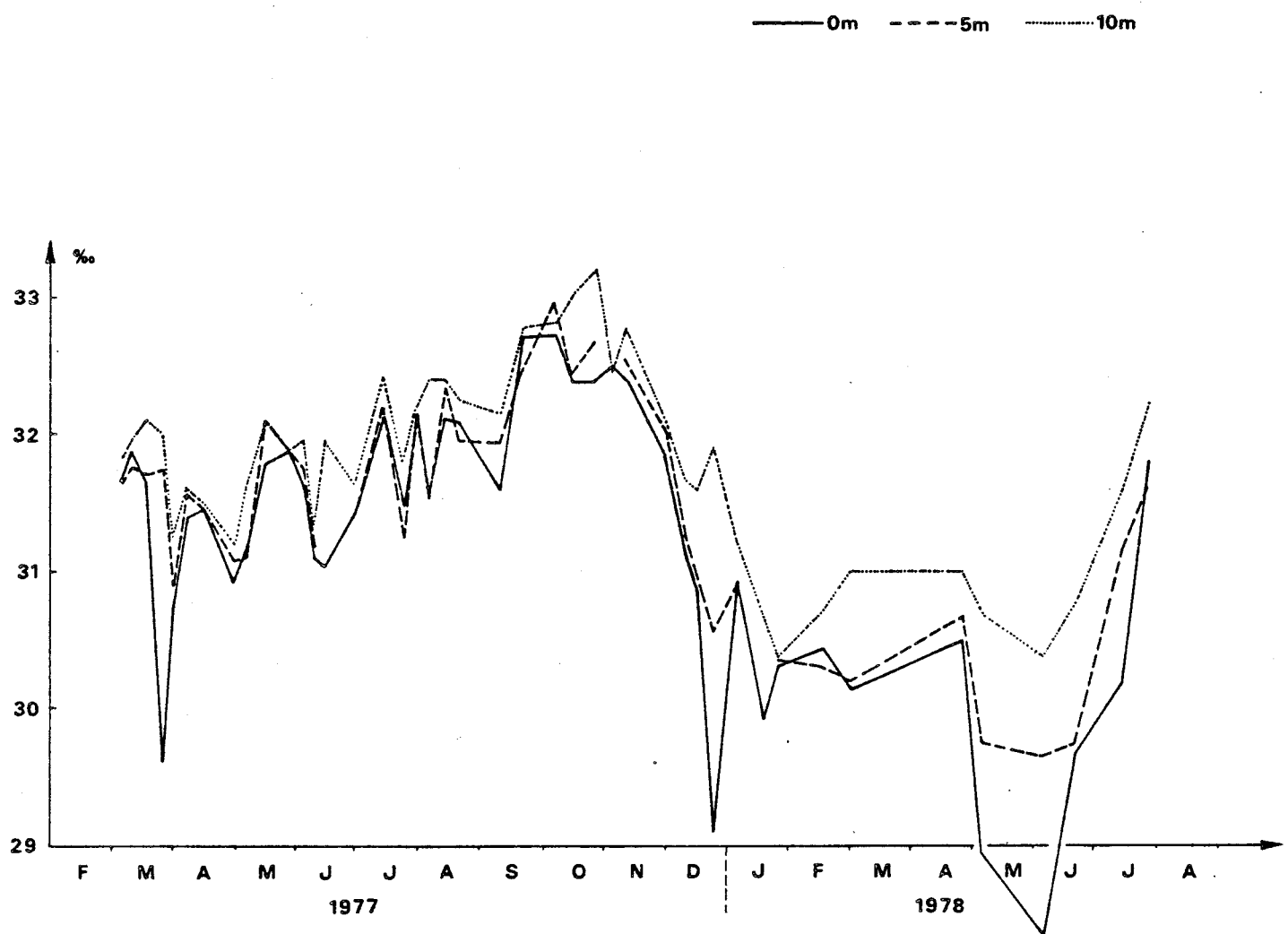
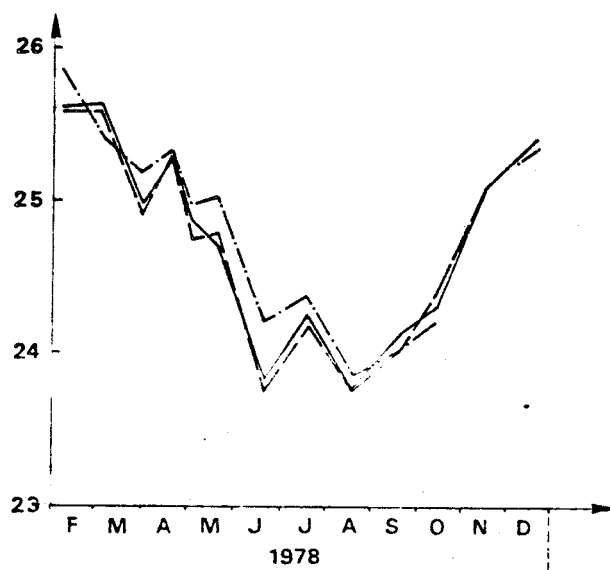
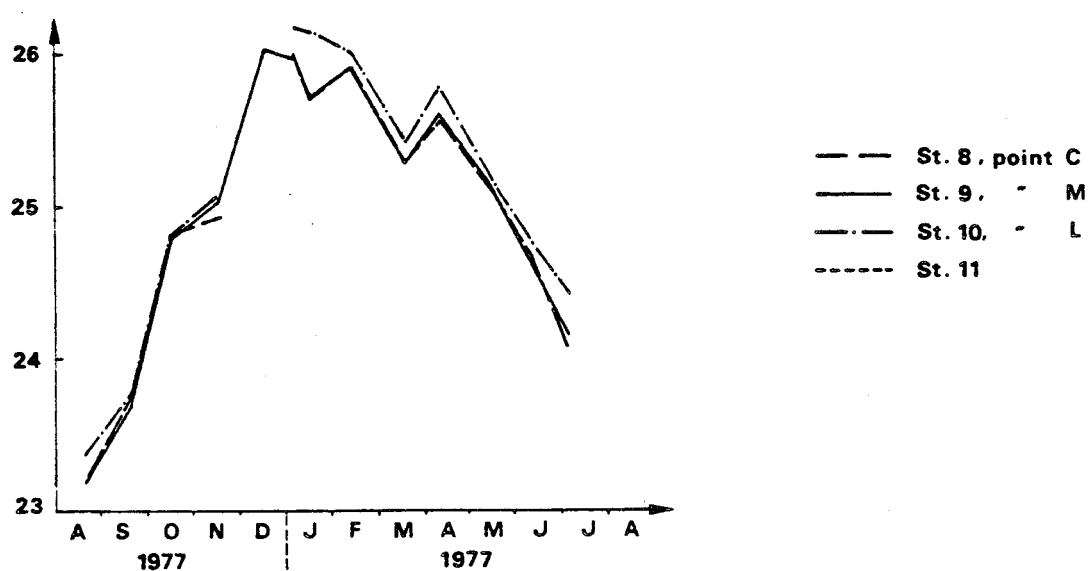
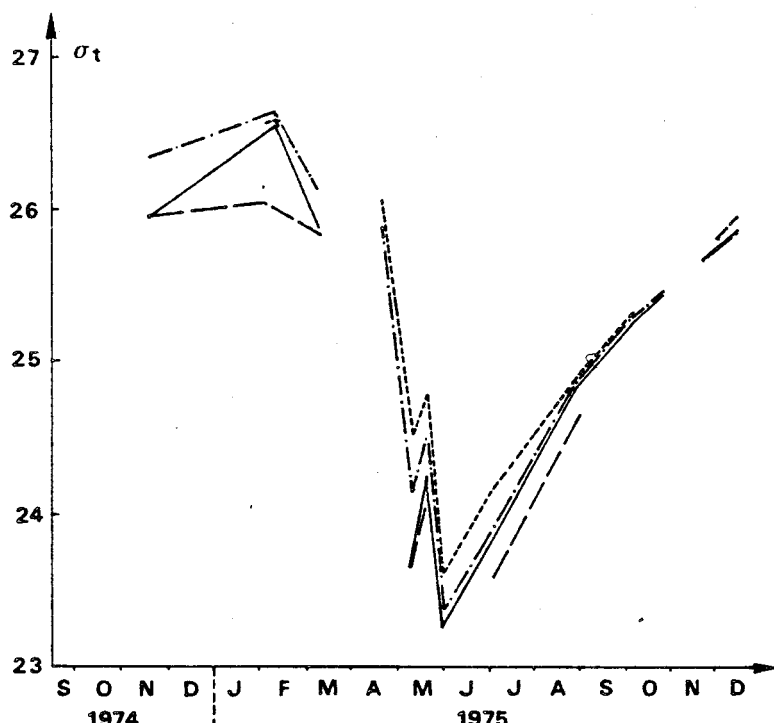


Fig. 18 - Densité à Gravelines.



BUS
LILLE

Fig. 19 - Densité dans le port de Dunkerque (station E).
(D'après les données de BRYLINSKI, 1979).

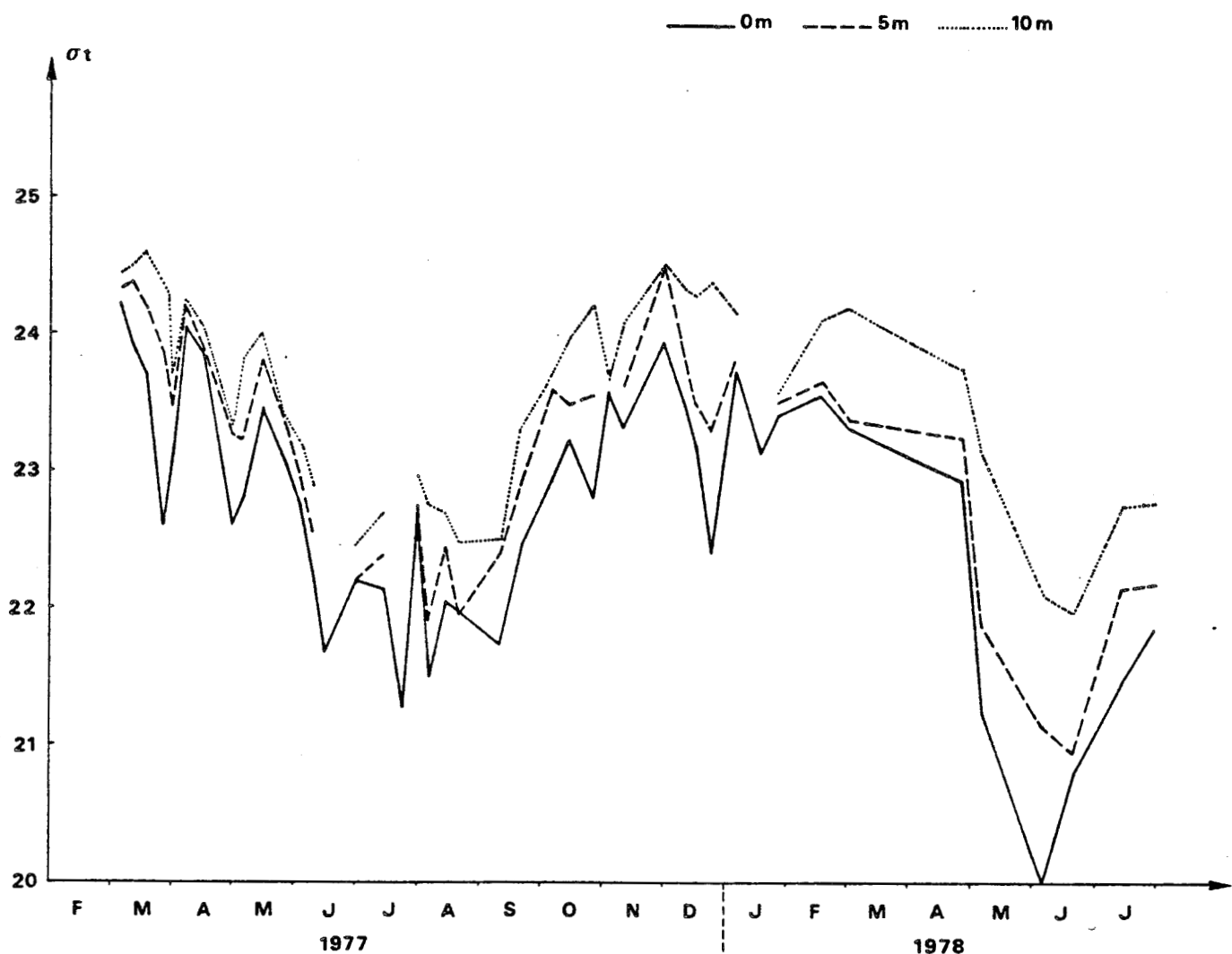
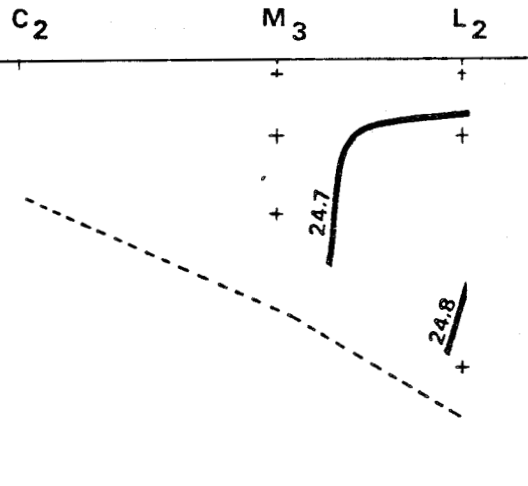
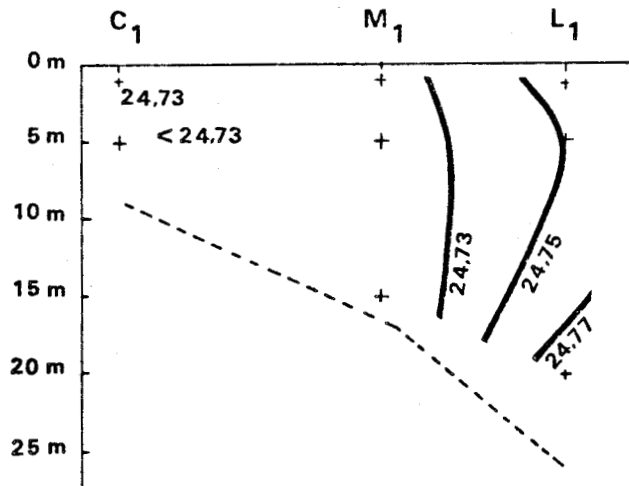
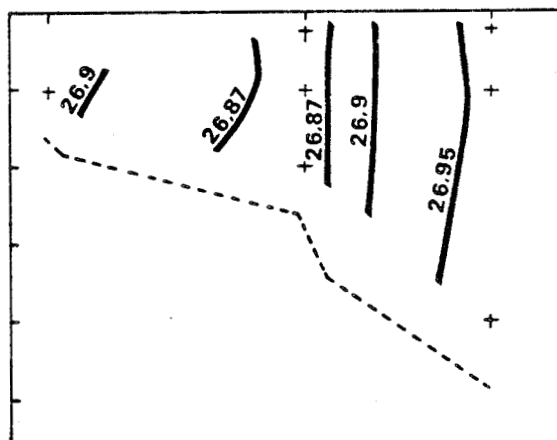
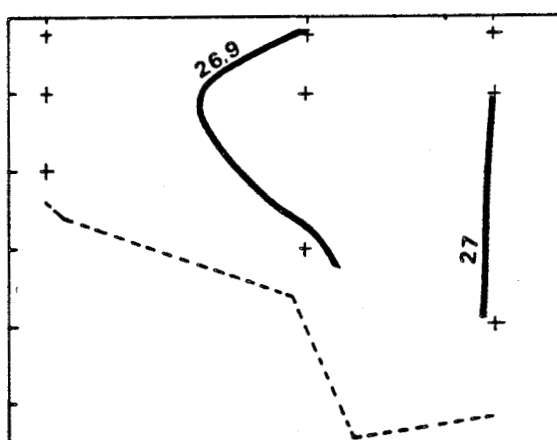


Fig. 20 - Variations de la densité (σ_t) au niveau de la radiale à Gravelines.

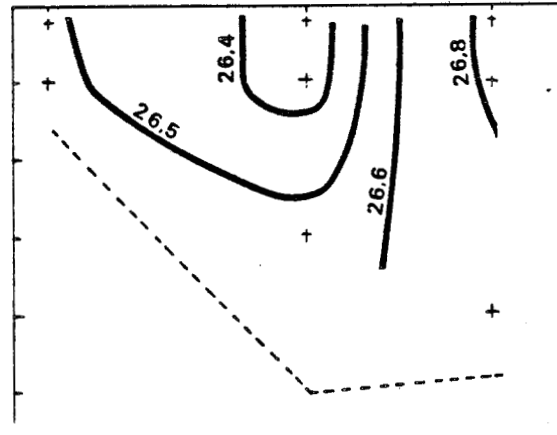
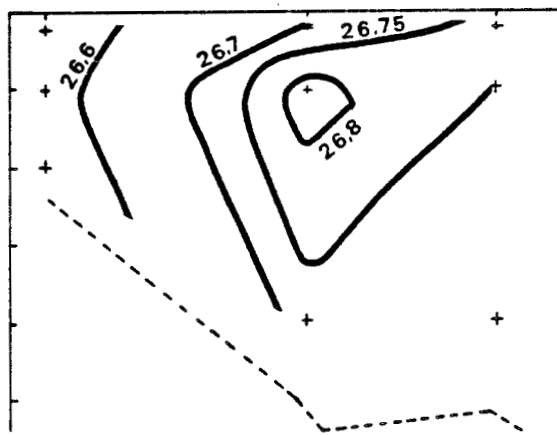
20 septembre 1976



15 février 1977



12 avril 1977



9 juin 1977

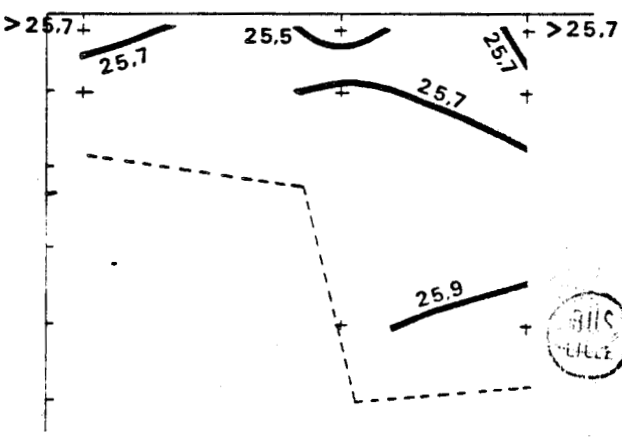
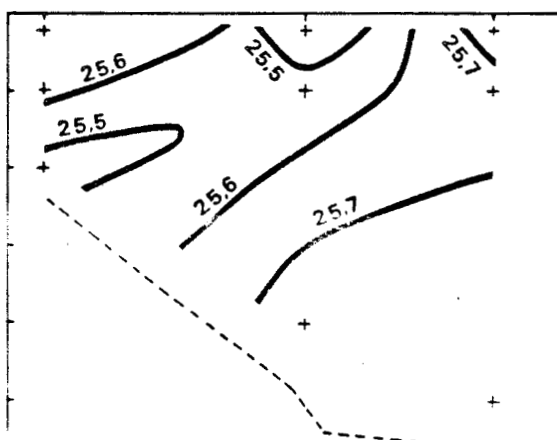


Fig. 21 - Matières en suspension à Cravelines et dans le port de Dunkerque.

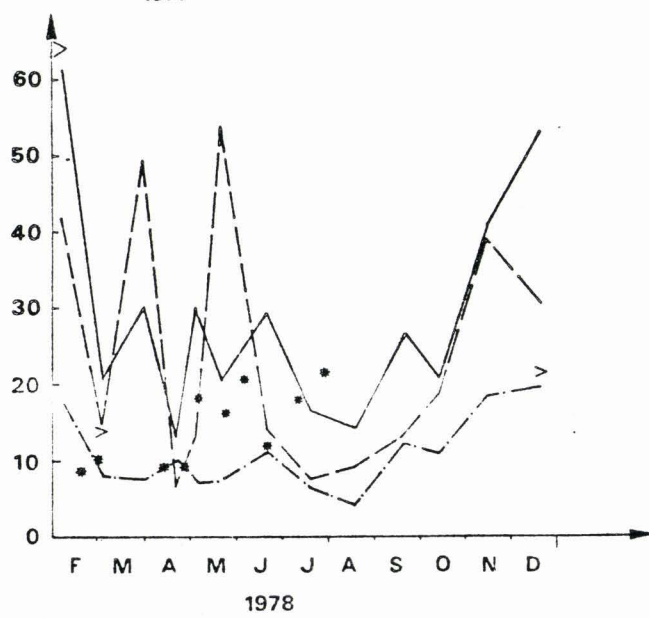
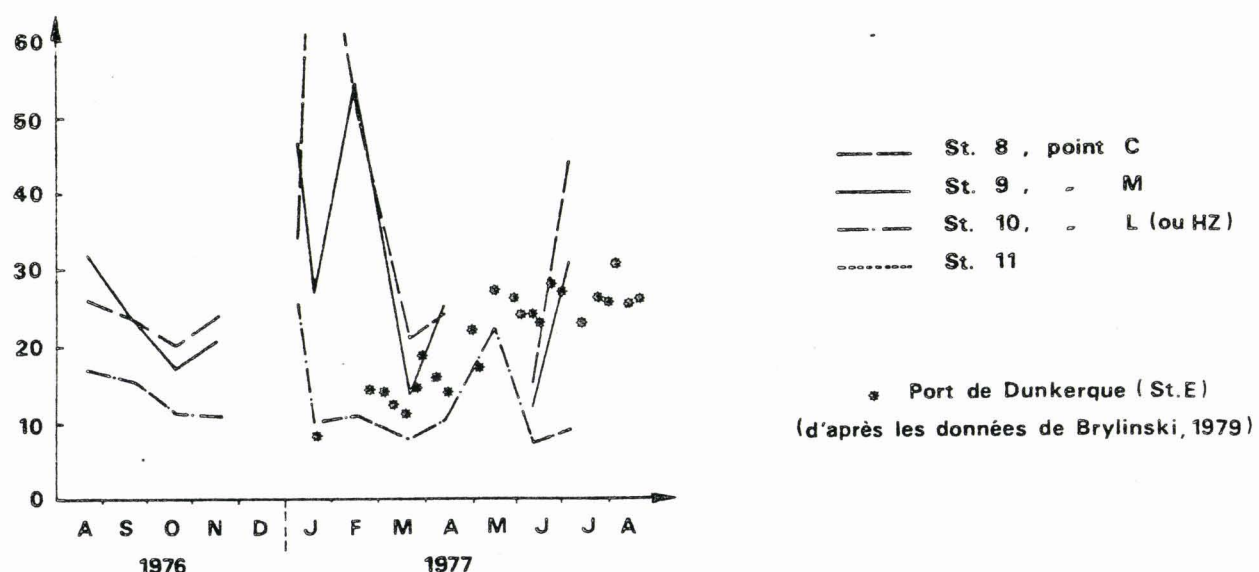
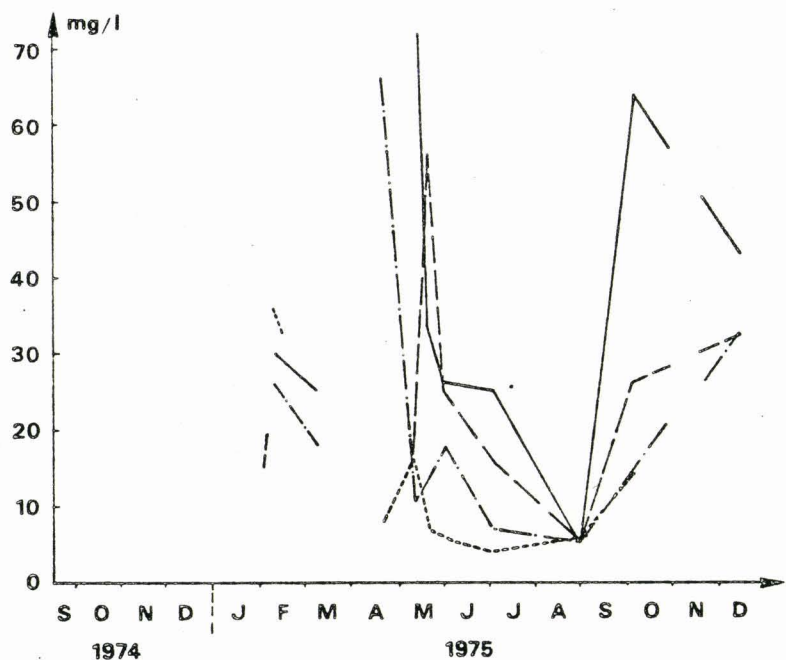
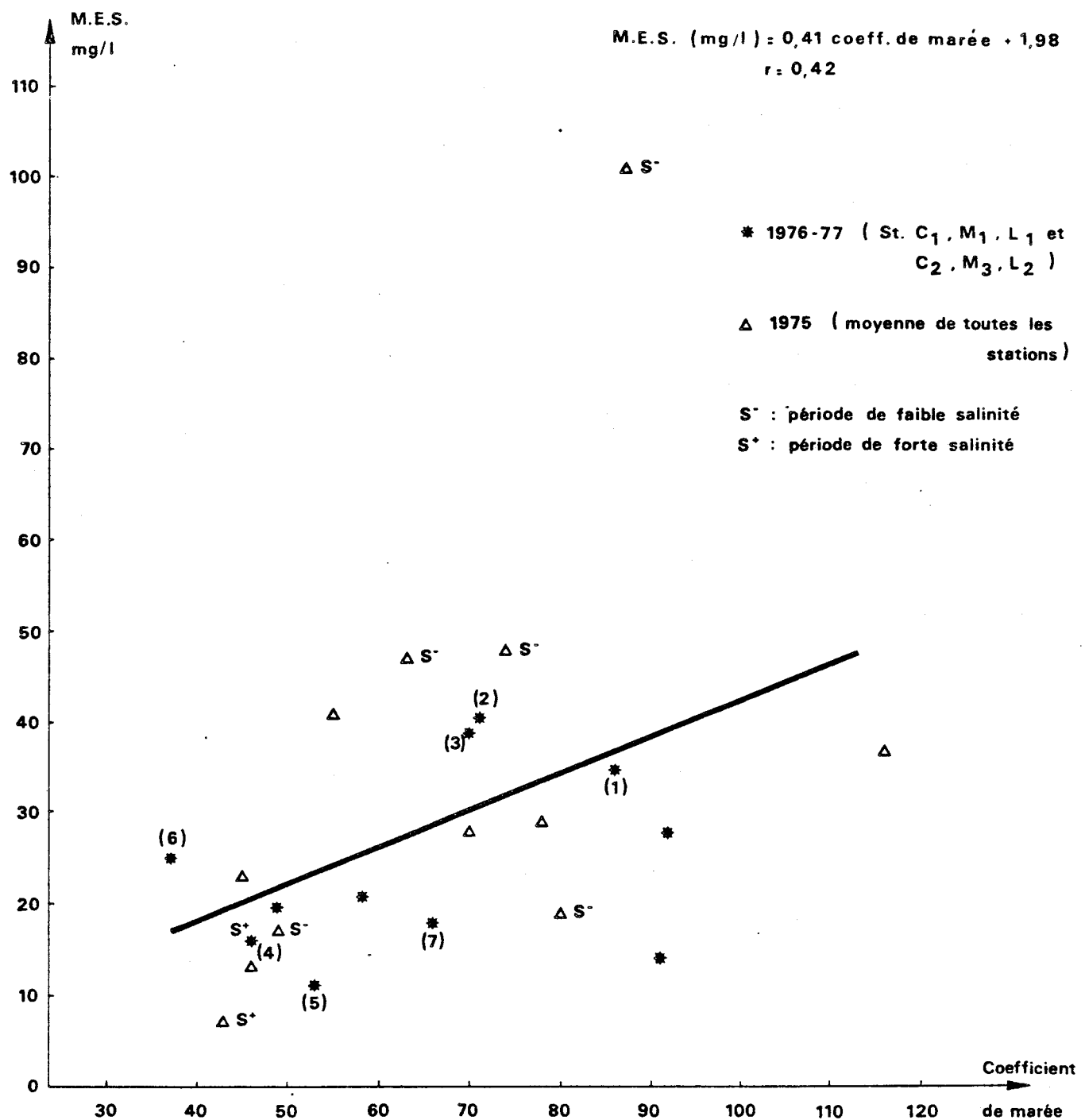


Fig. 22.1 - Relation matières en suspension - coefficient de marée à Gravelines en 1975 et 1976-77.



1 : 7.01.77

3 : 15.02.77

5 : 9.06.77

7:18.11.76

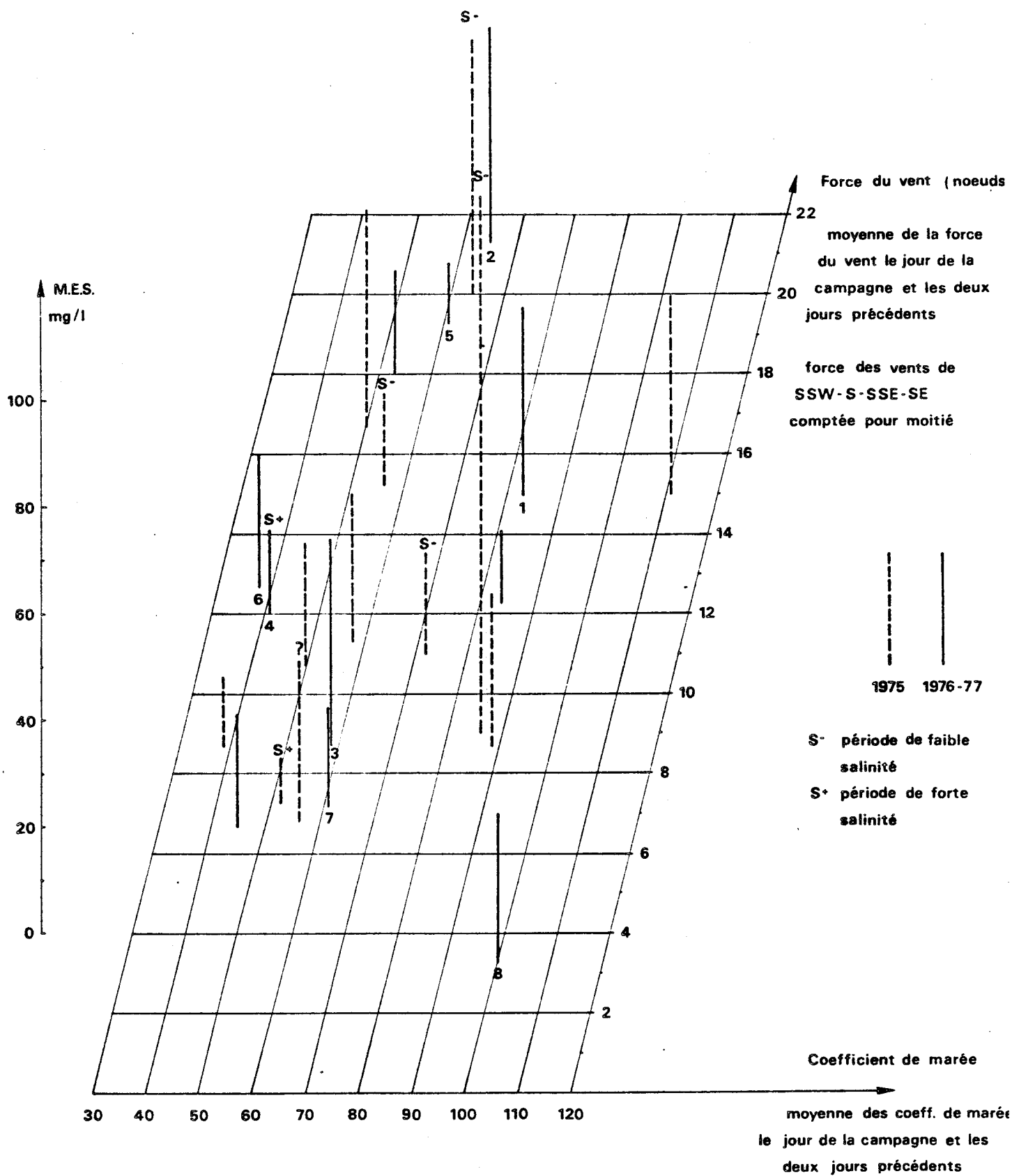
2:17.01.77

4 : 18.10.76

6 :20.08.76



Fig. 22.2 - Quantité de matières en suspension en fonction du coefficient de marée et du vent pendant la période qui précède la campagne (Gravelines 1975 et 1976-77).



1: 7.01.77

2:17.01.77

3:15.02.77

4 :18.10.76

5: 9.06.77

6:20.08.76

7:18.11.76

8: 4.07.77



Fig. 23.1 - Distribution spatiale de la quantité de matières en suspension (mg/l).

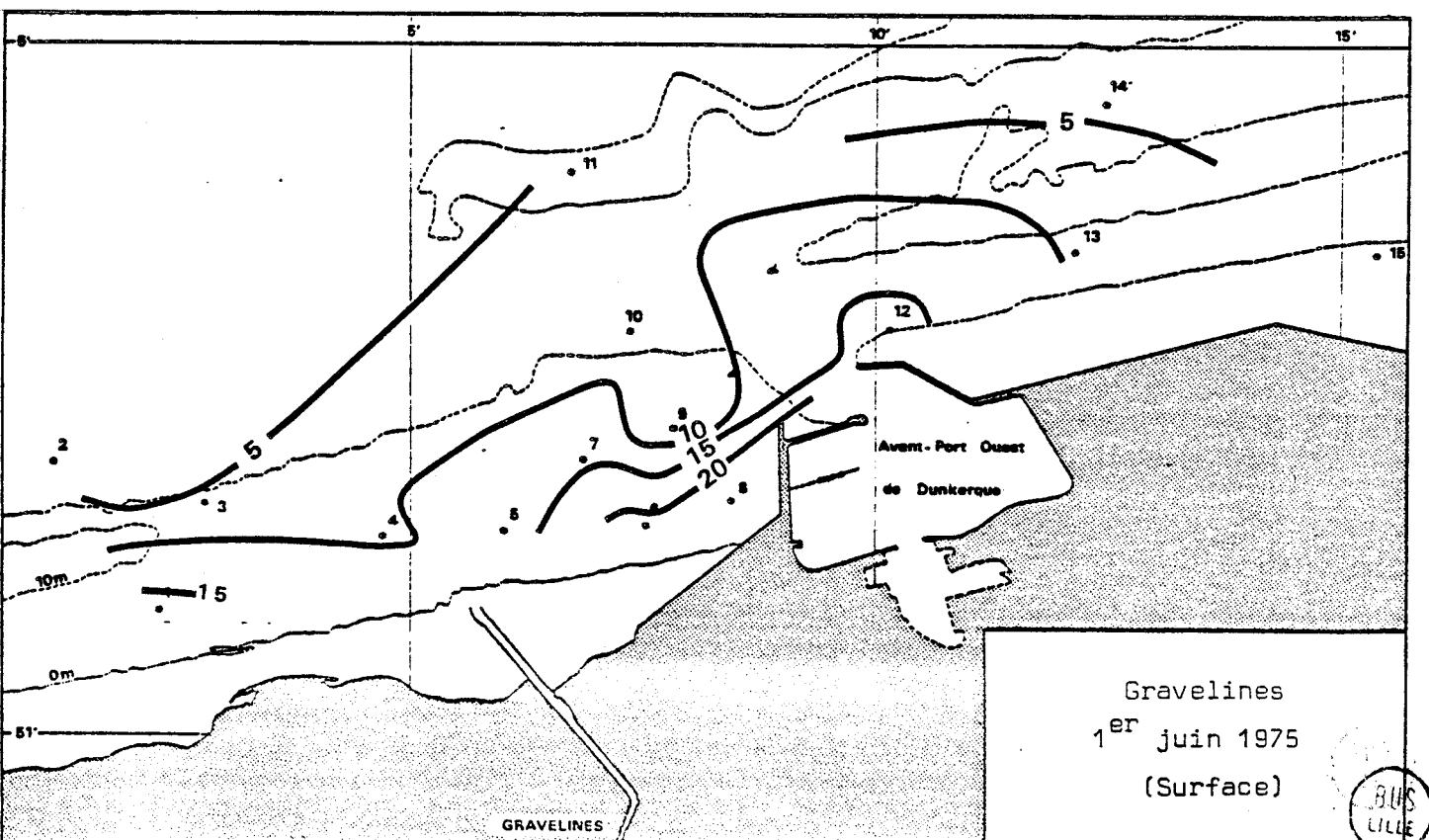
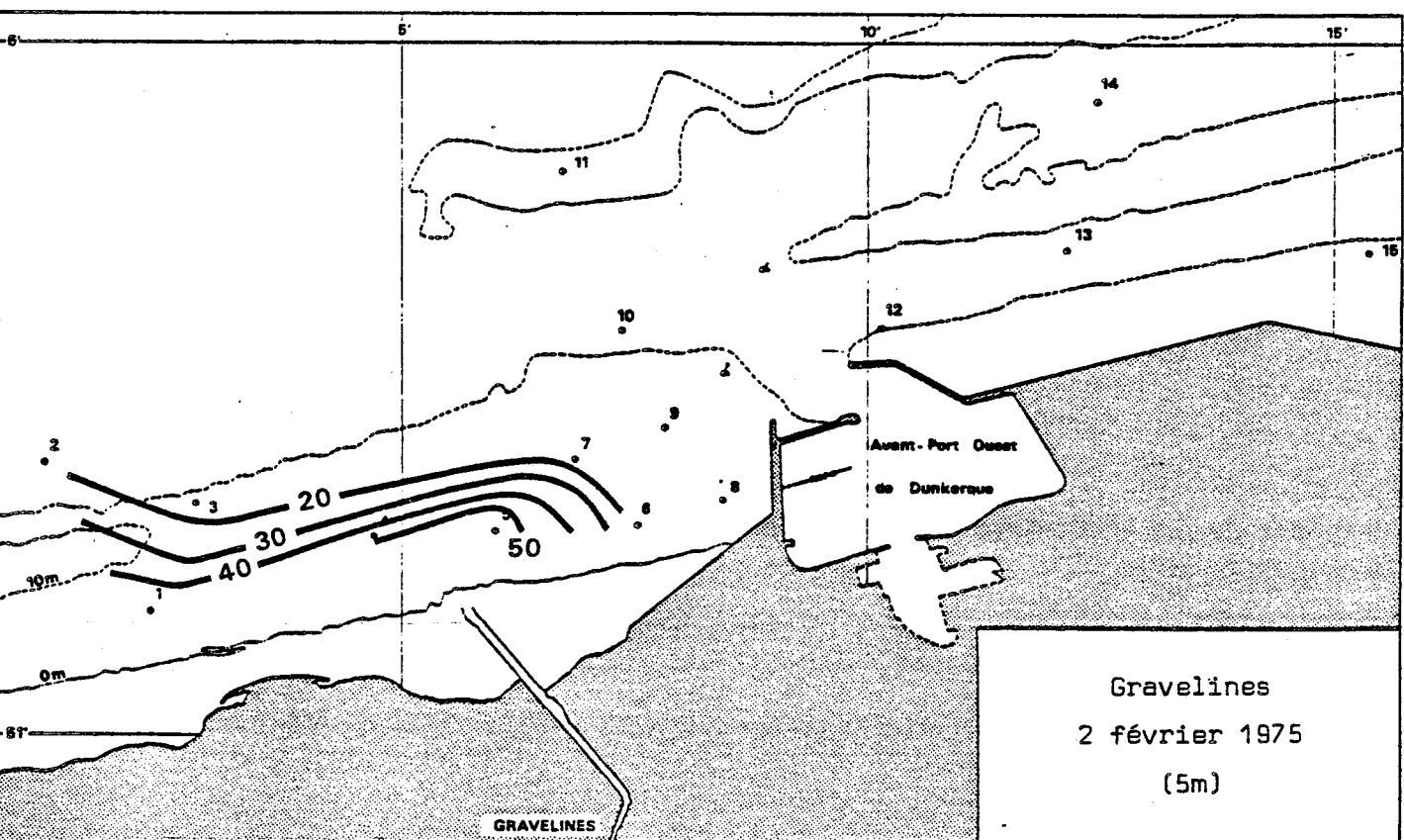
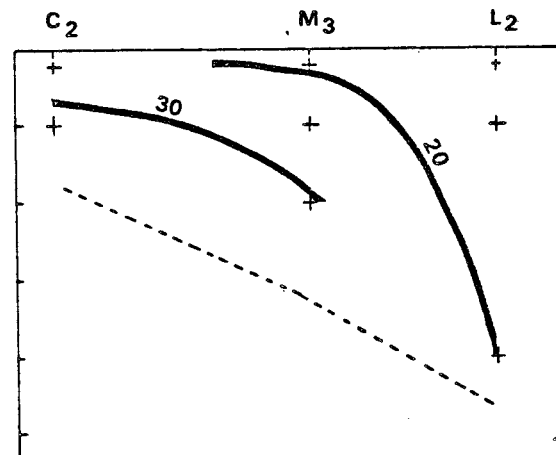
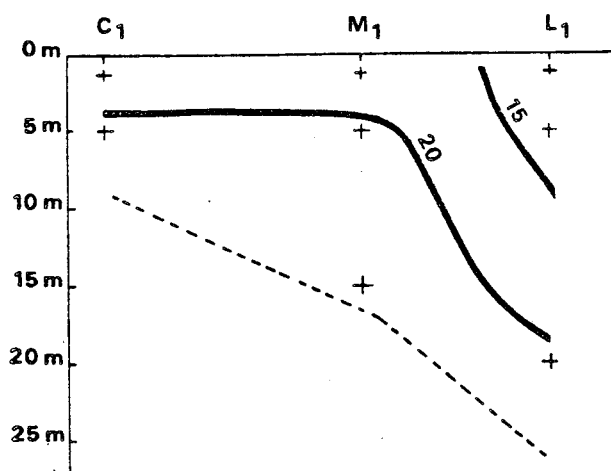
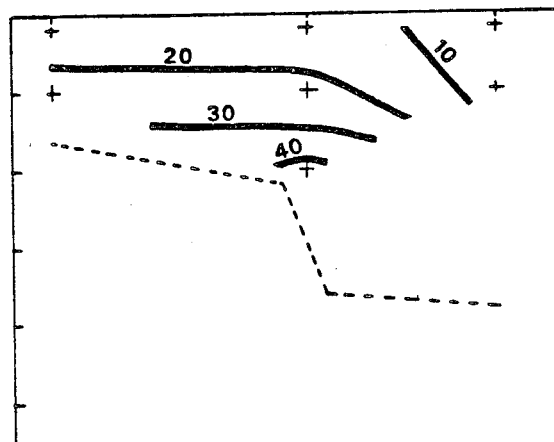
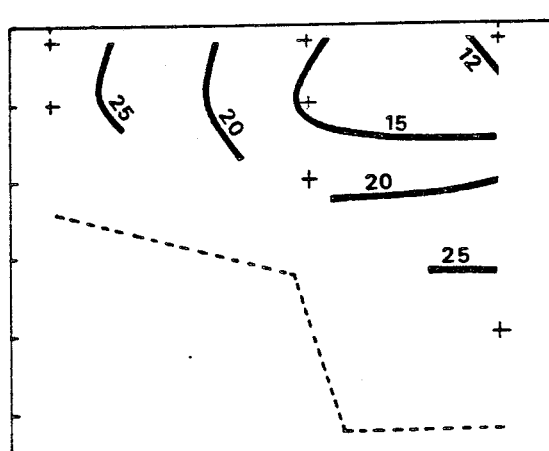


Fig. 23.2 - Variations des matières en suspension (mg/l)
au niveau de la radiale à Gravelines.

20 septembre 1976



18 novembre 1976



17 août 1978

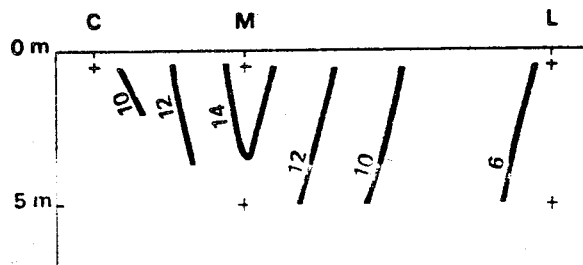
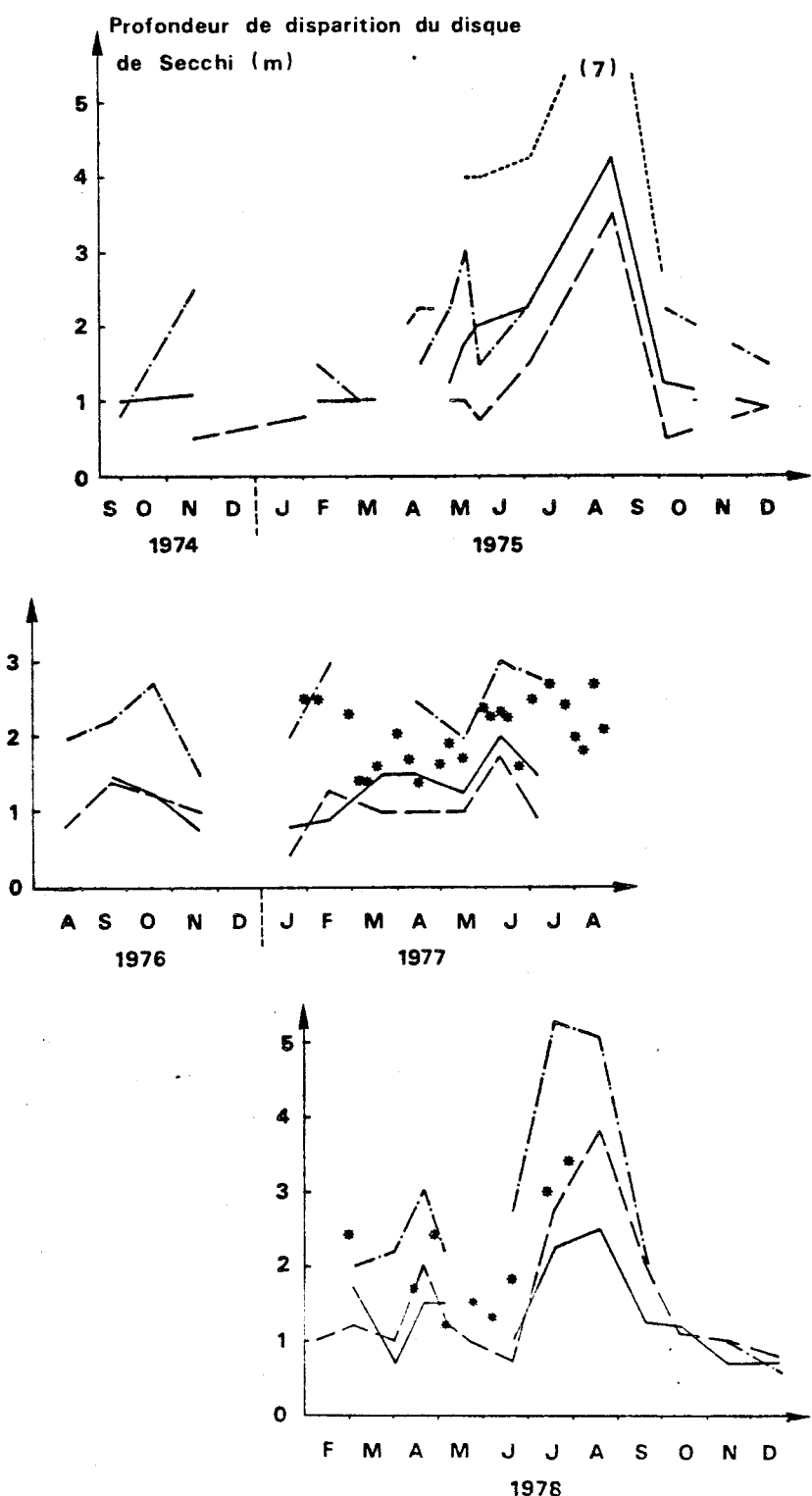


Fig. 24 - Transparence de l'eau à Gravelines et dans le port de Dunkerque.

Gravelines {
 St. 8 point C
 St. 9 M
 St. 10 L (ou HZ)
 St. 11
 * Port de Dunkerque (St. E) (d'après les données de Brylinski, 1979)



BUS
LILLE

Fig. 25 - Distribution de la turbidité à Gravelines
le 9-10 mai 1975.

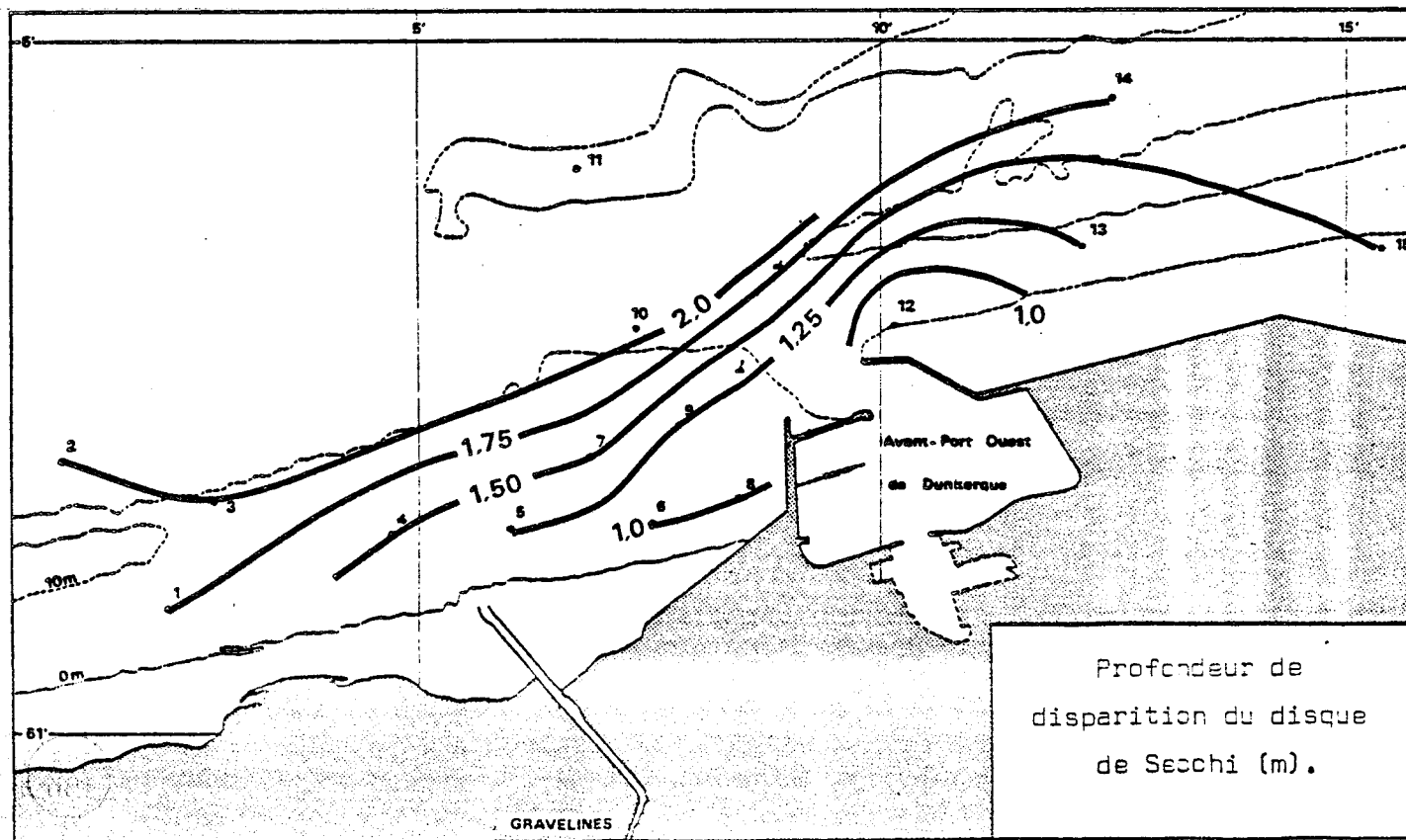
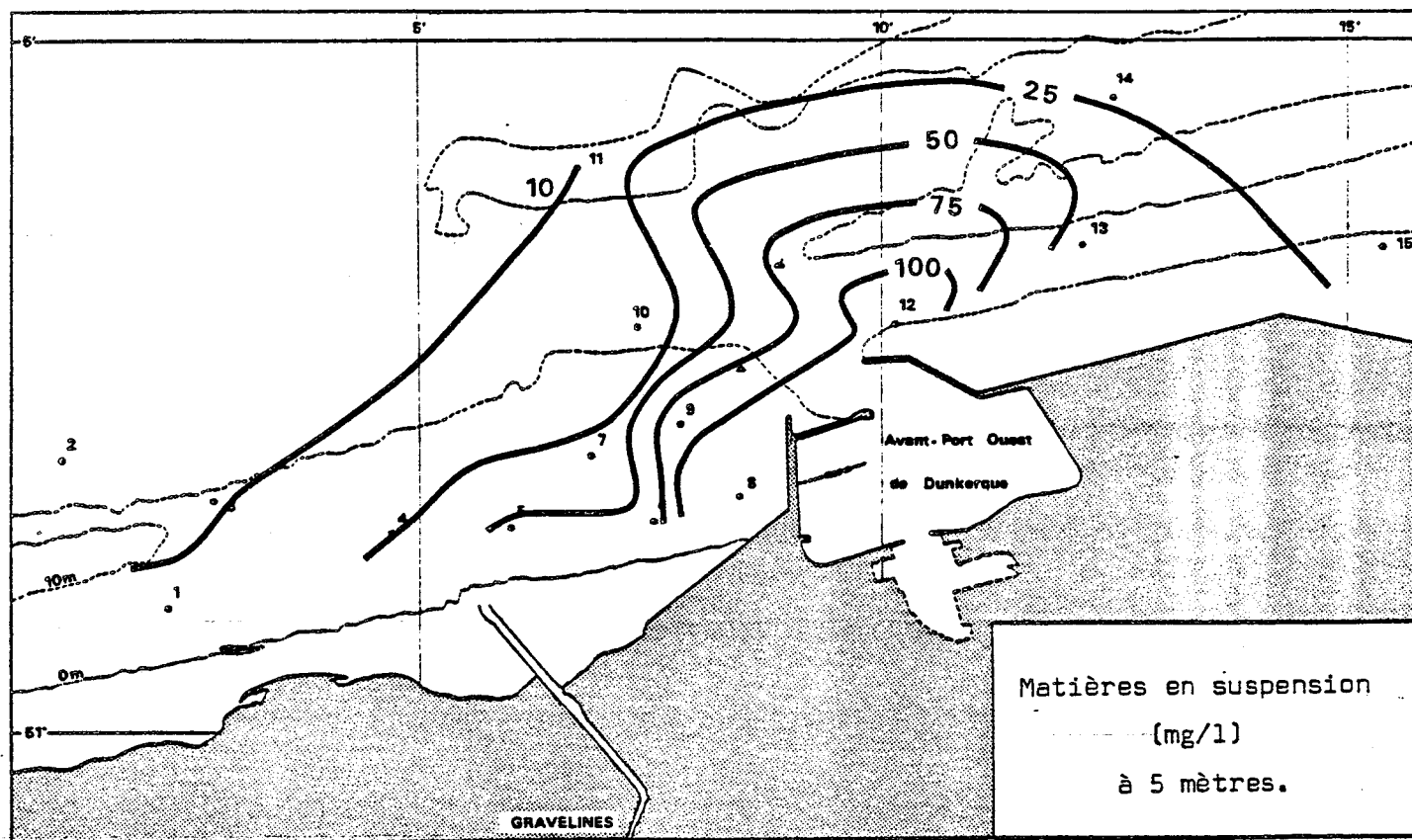


Fig. 26 - Profondeur de compensation estimée à Gravelines.

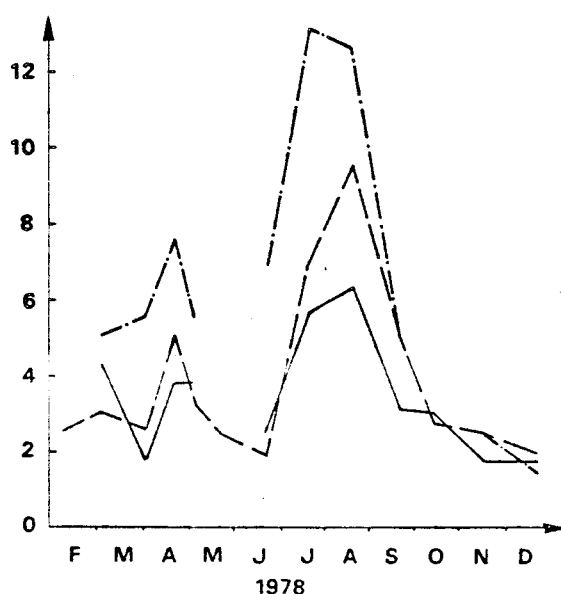
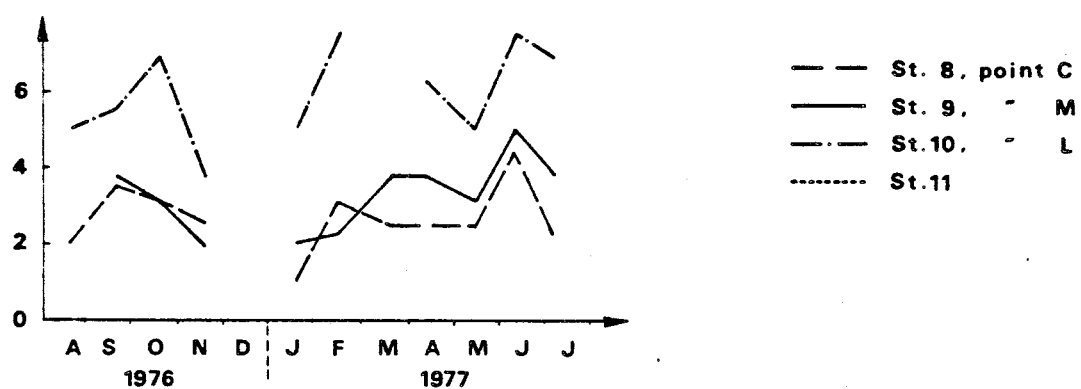
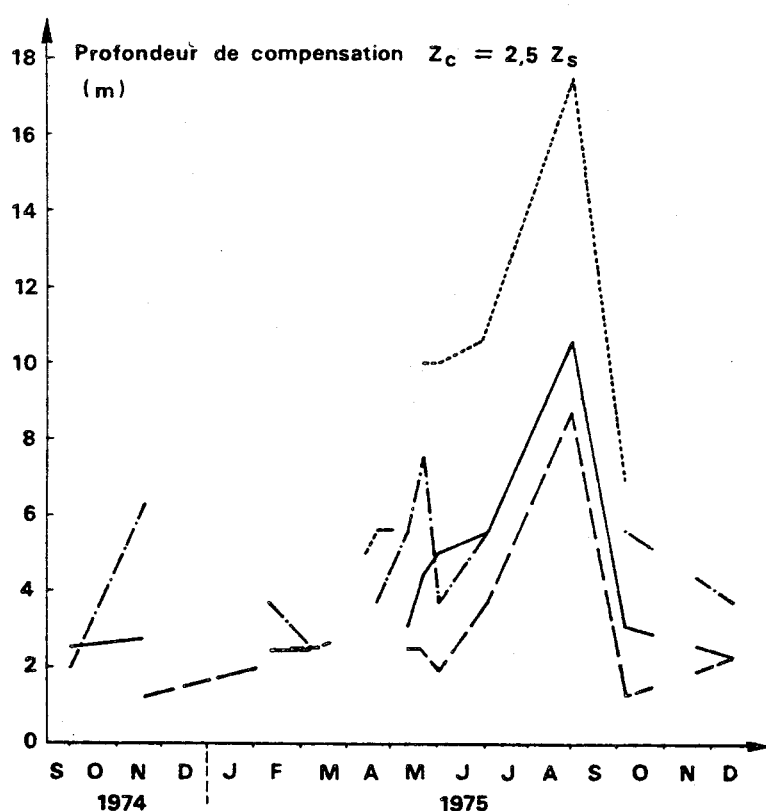
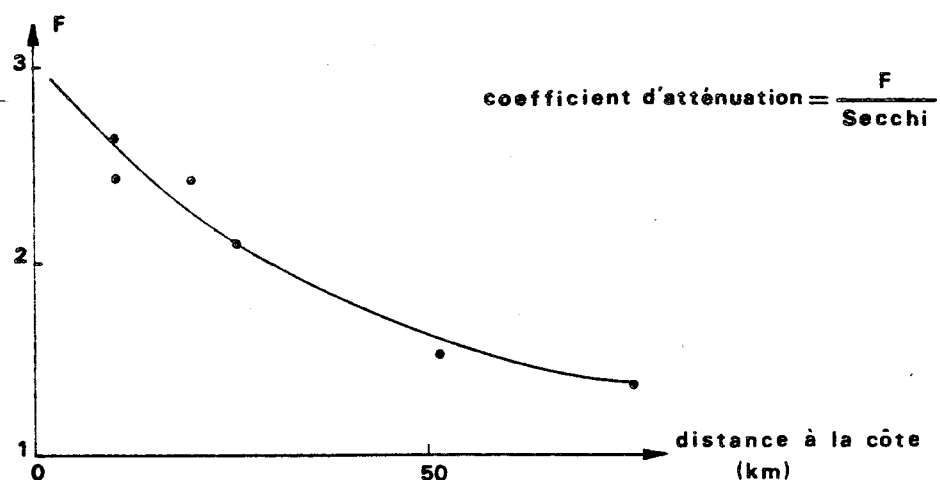


Fig. 27 - Variations de la valeur de la constante F, entrant dans le calcul du coefficient d'atténuation en fonction de la distance à la côte, dans le sud de la Mer du Nord. (D'après MOMMAERTS et HÖNIG, 1971).



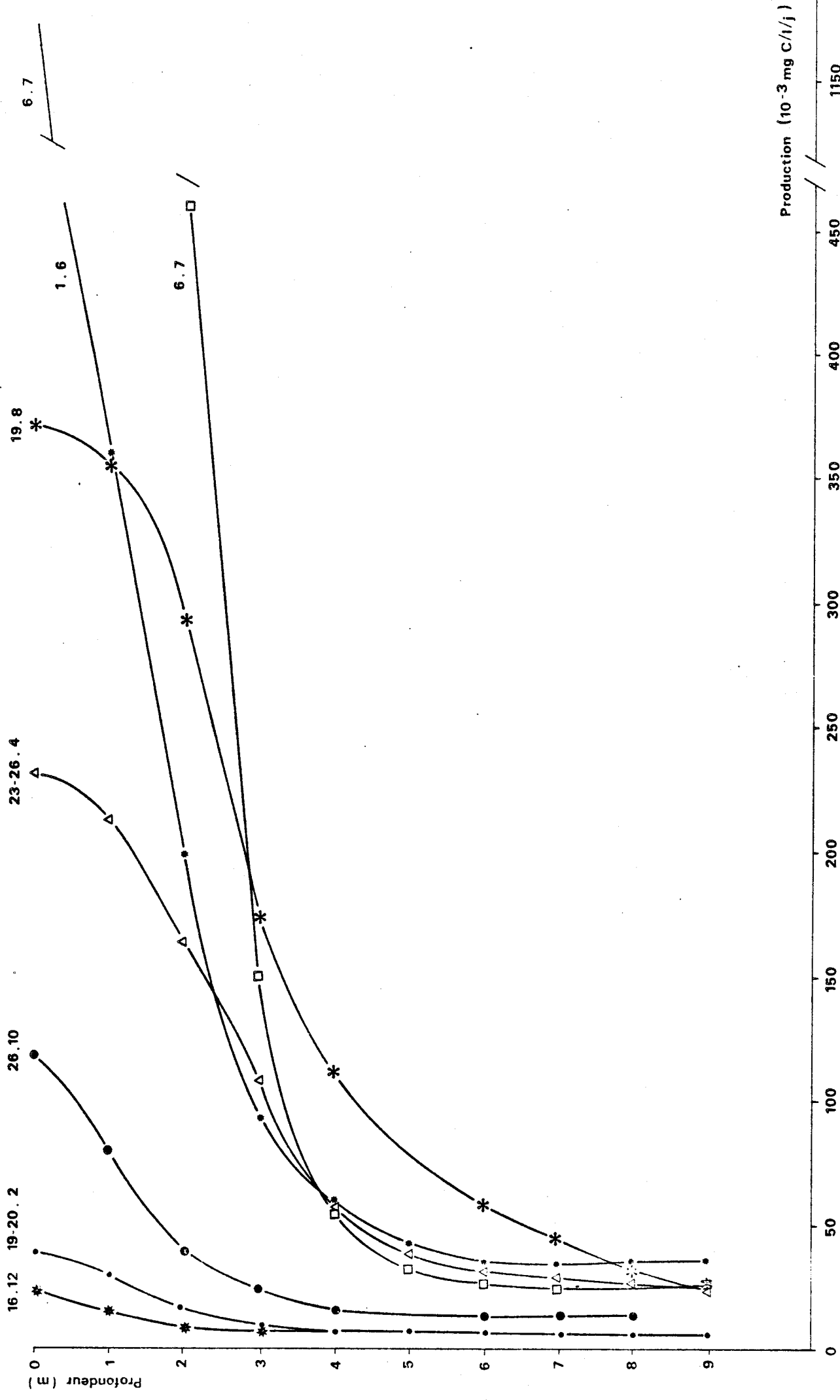
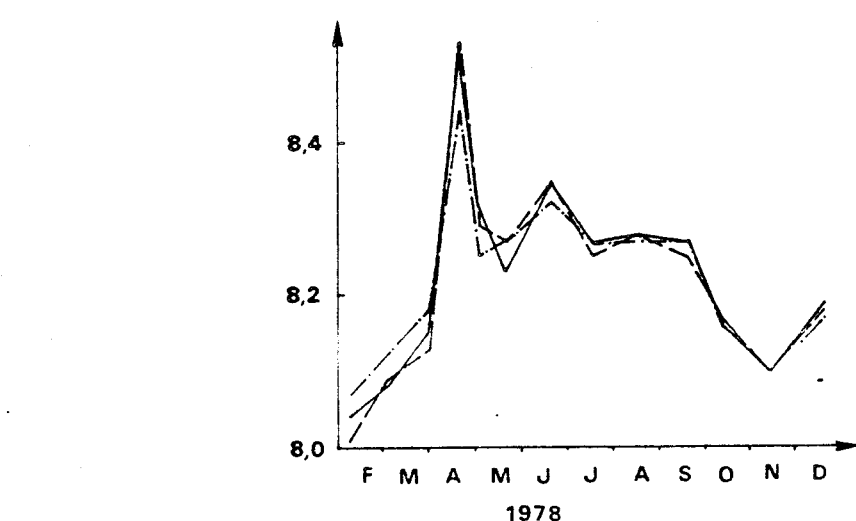
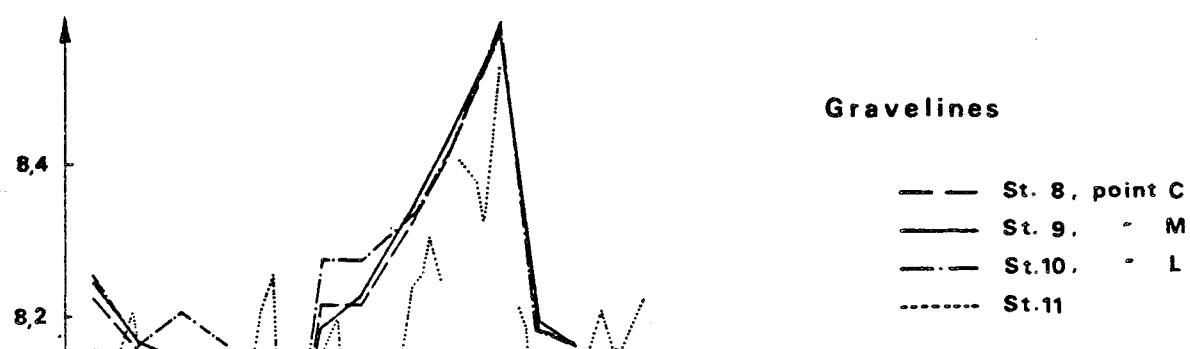
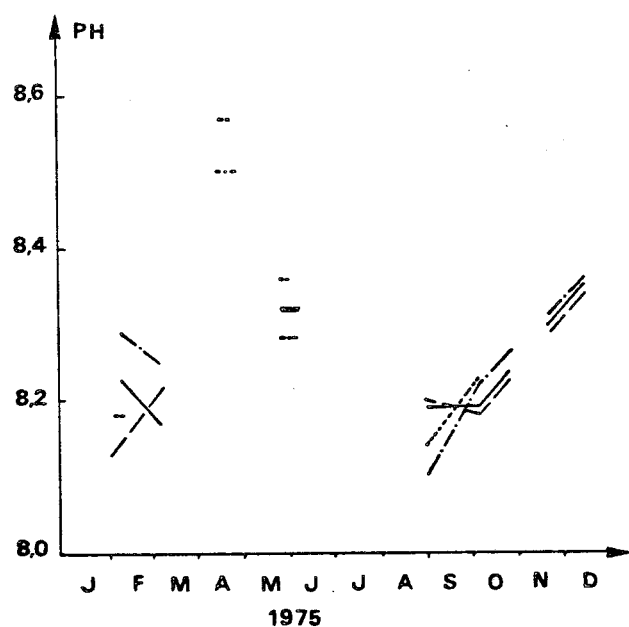


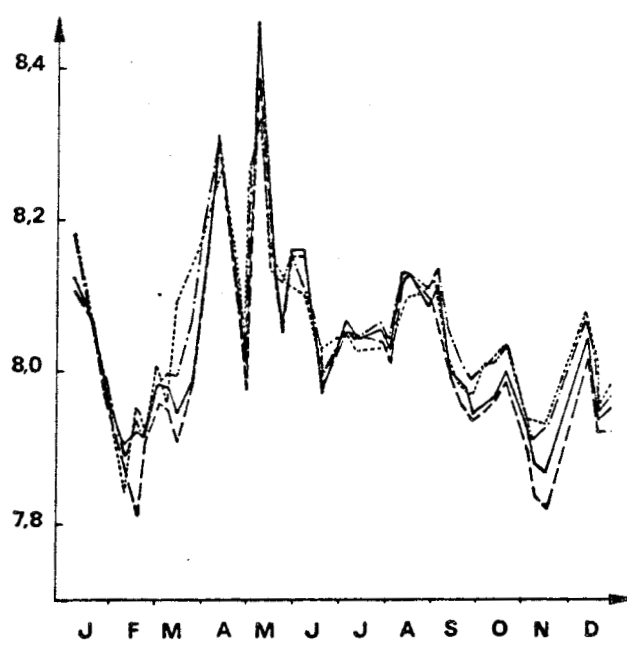
Fig. 28 - Variations de la production primaire *in situ* dans le port de Dunkerque en 1976, en fonction de la profondeur. (D'après BROUARDEL et JOSEPH, 1978).

Fig. 29 - PH dans la région de Dunkerque.



Dunkerque, milieu littoral (R.N.O.)

— St. 1
— St. 2
— St. 3
- - - - St. 4

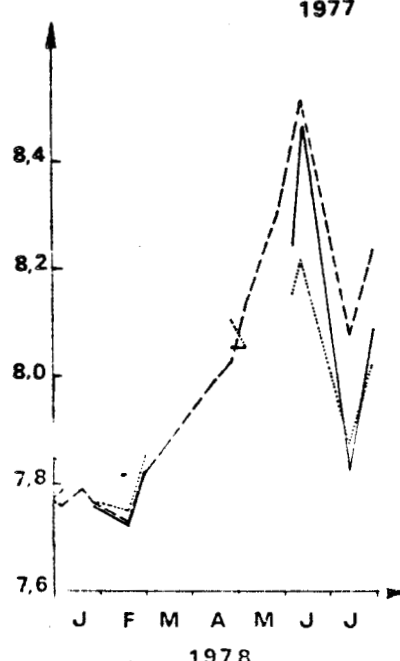
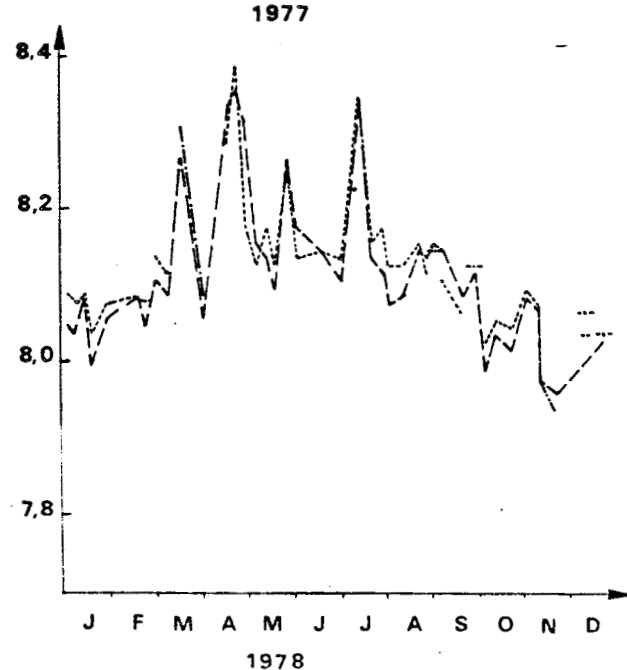
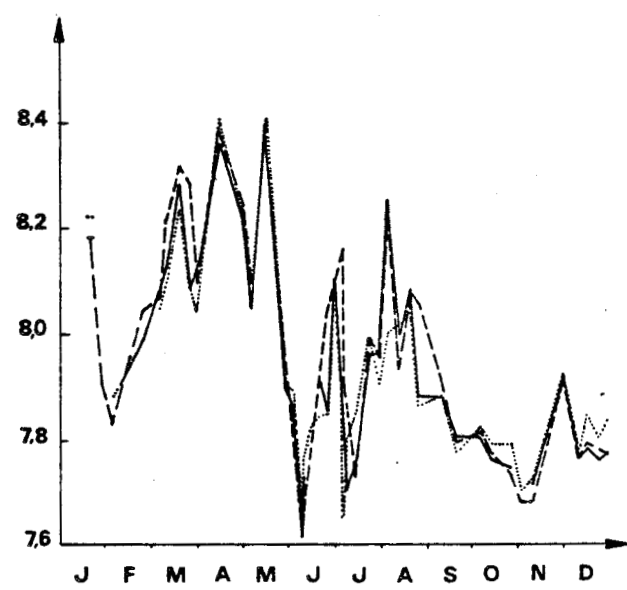
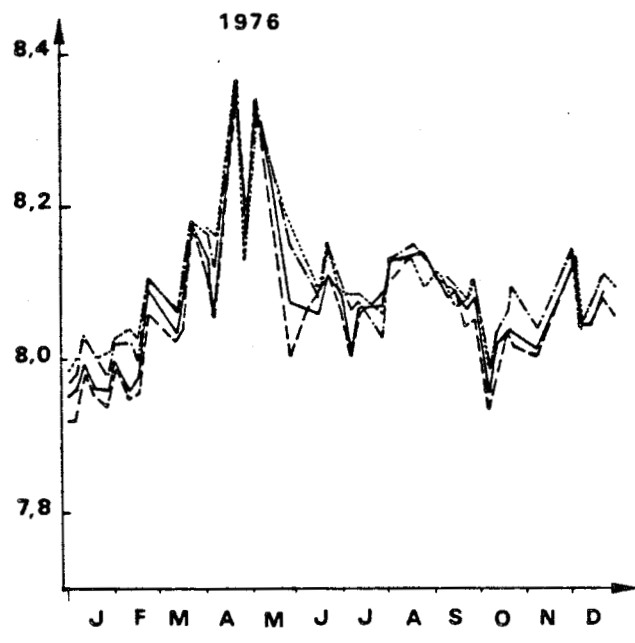


Dunkerque, milieu portuaire

(station E)

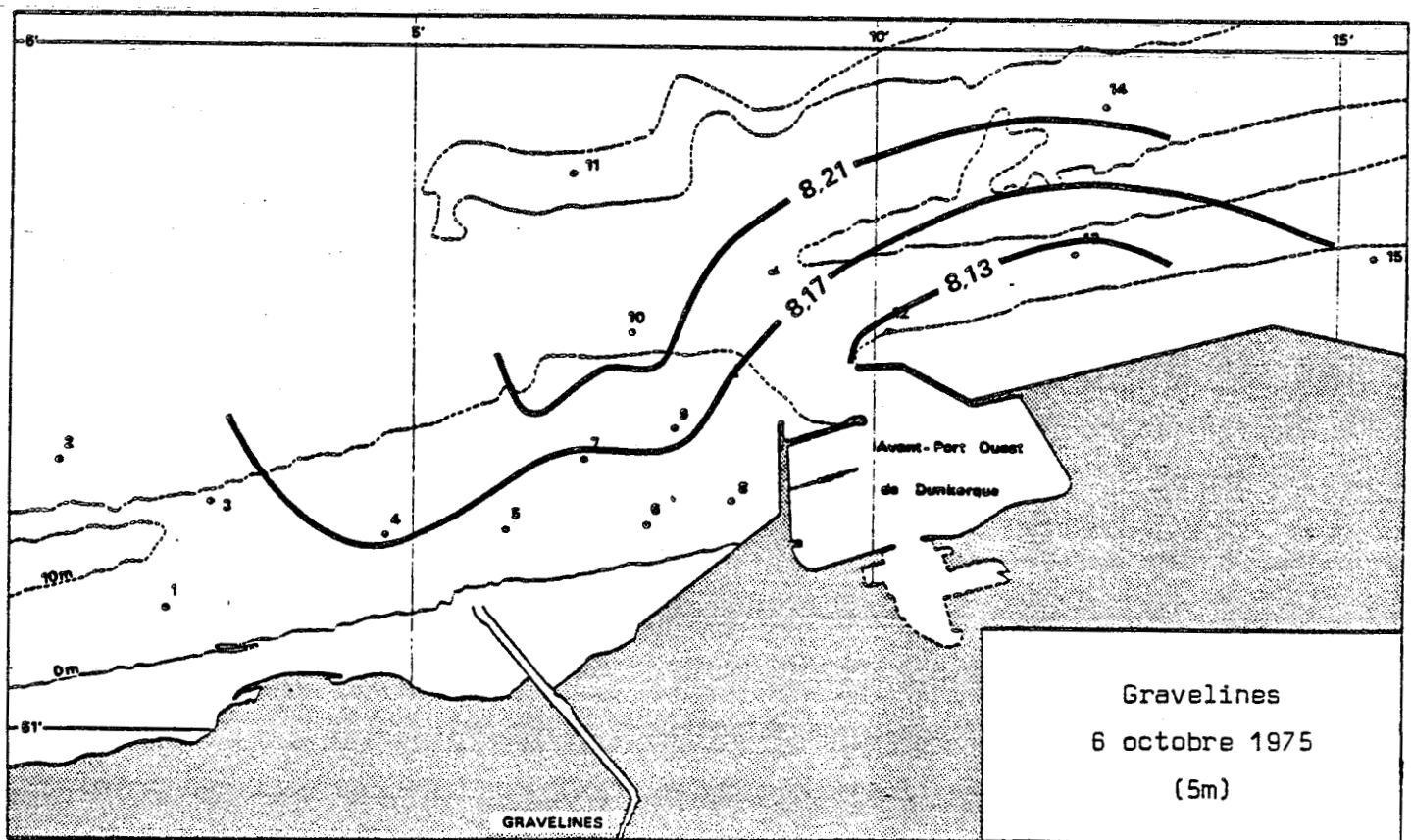
(D'après les données de BRYLINSKI, 1979)

- - - 0m — 5m - - - - 10m

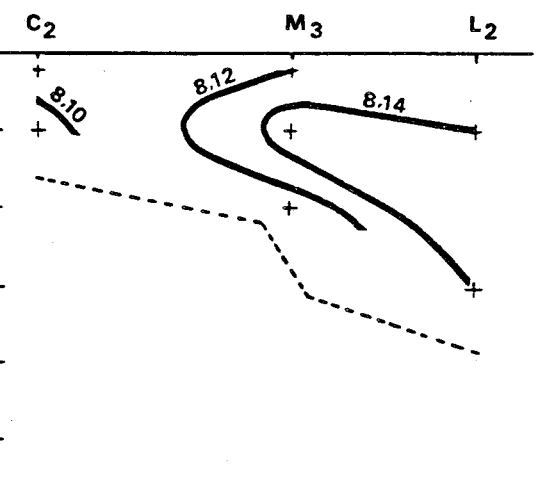
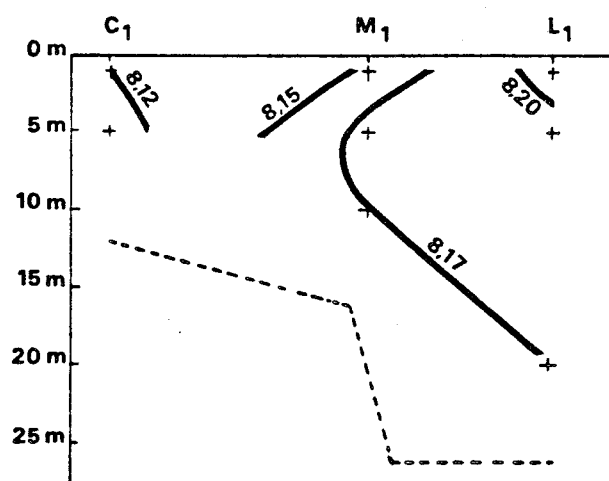


BUS
LILLE

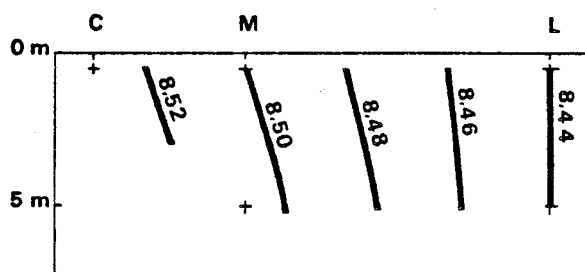
Fig. 30 - Variations spatiales du pH.



18 novembre 1976



19 avril 1978



20 juin 1978

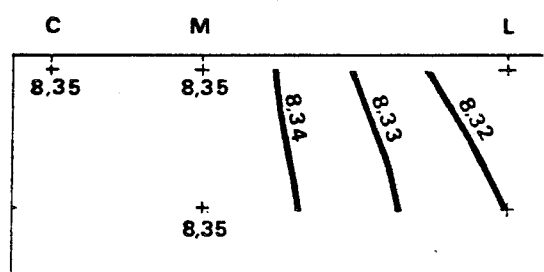
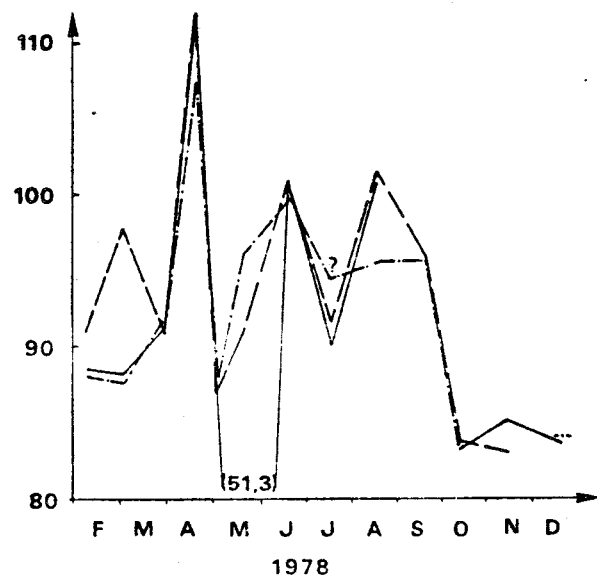
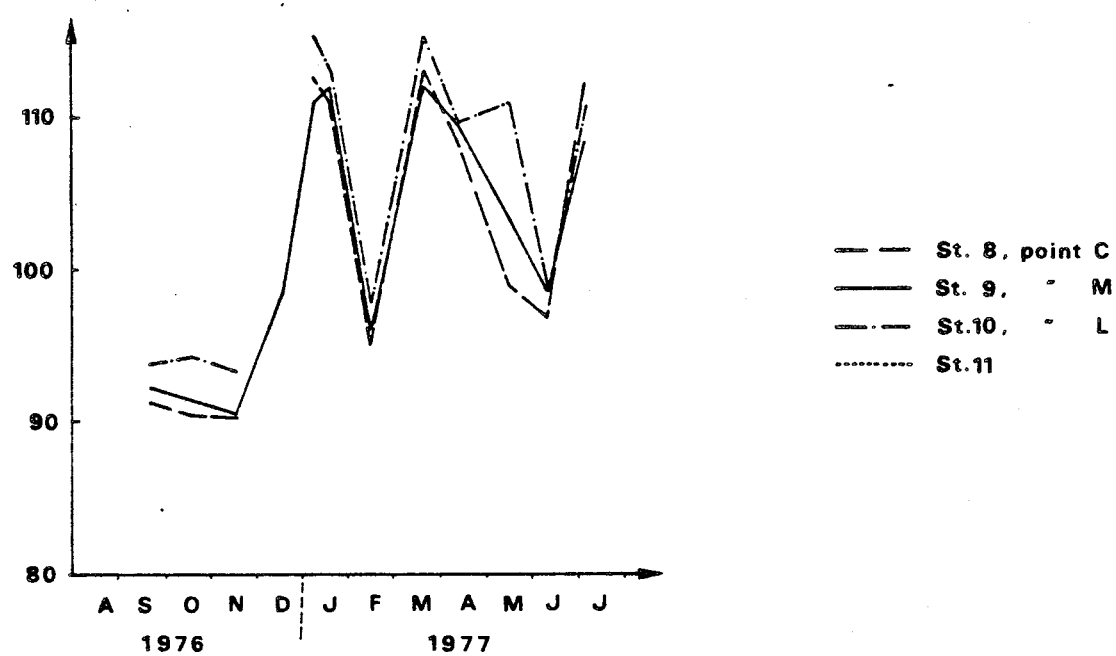
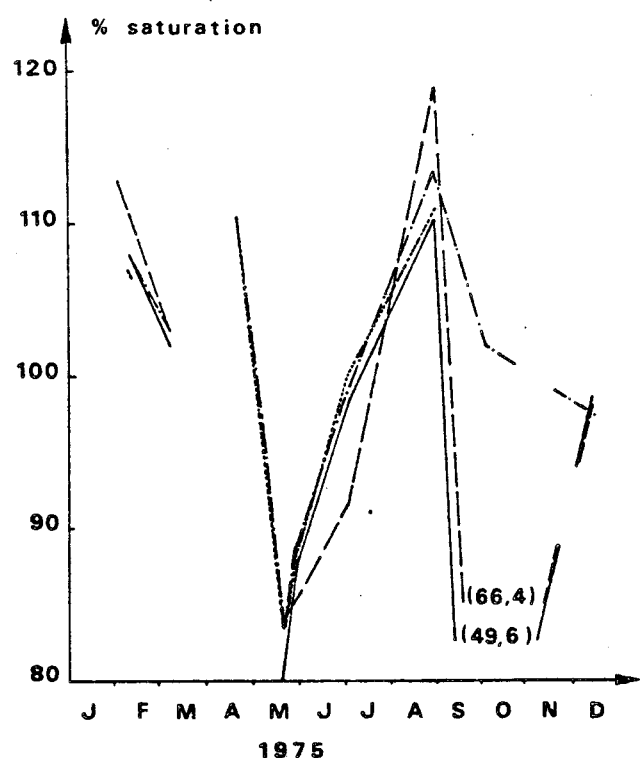
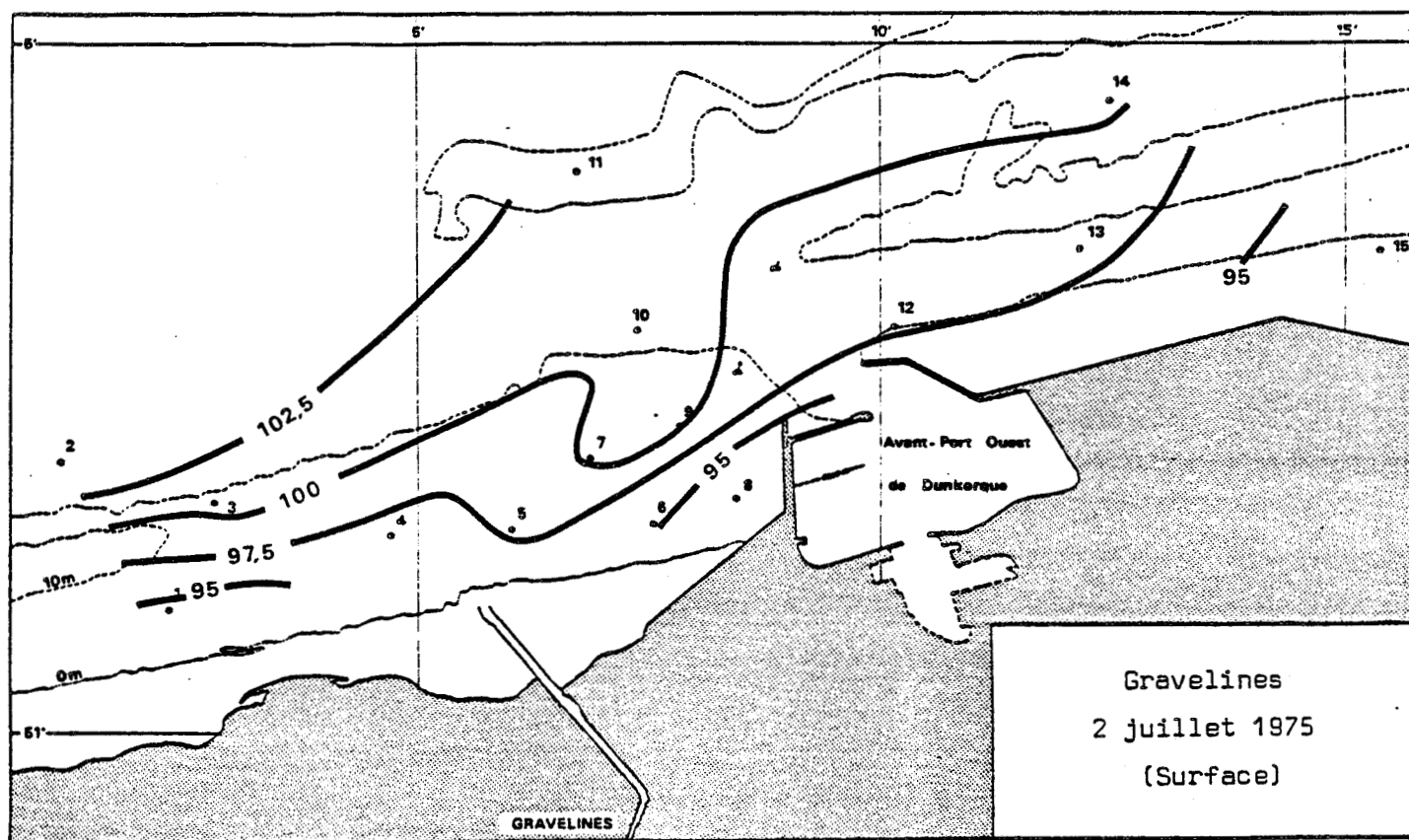


Fig. 31 - Oxygène dissous à Gravelines.

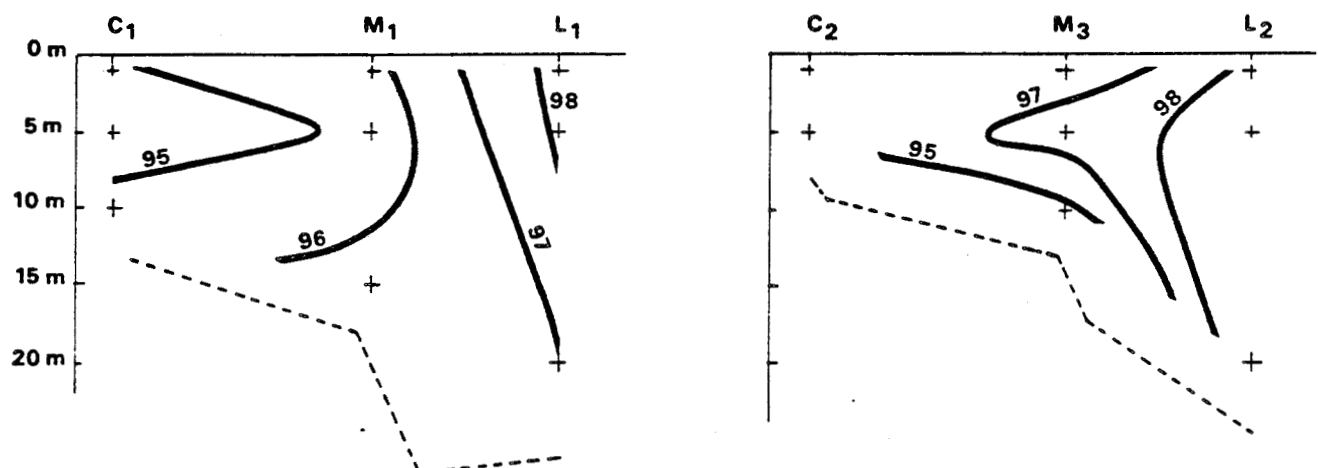


DIS
DUIT

Fig. 32 - Variations spatiales du taux d'oxygène dissous.
(% saturation).



15 février 1977



19 avril 1978

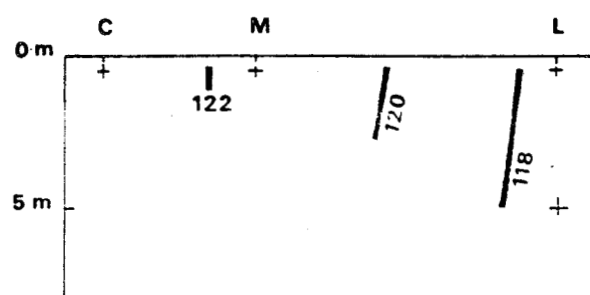


Fig. 34.1 - Ammoniac à Gravelines.

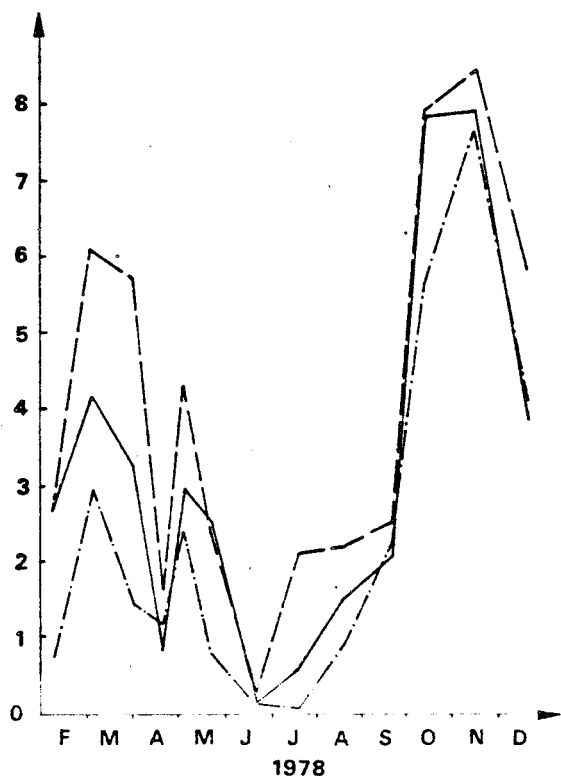
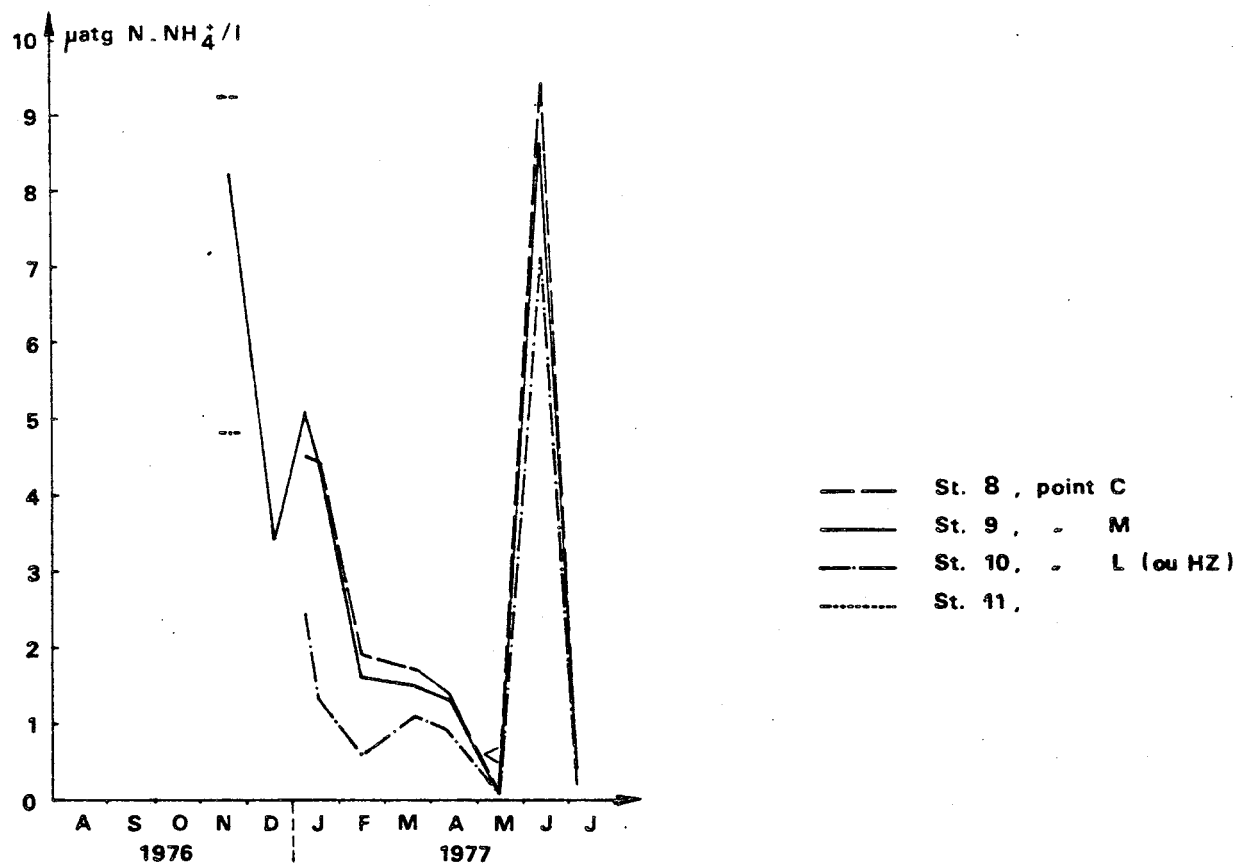
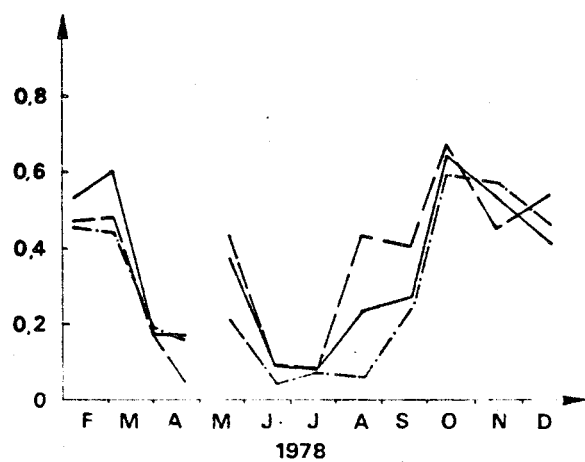
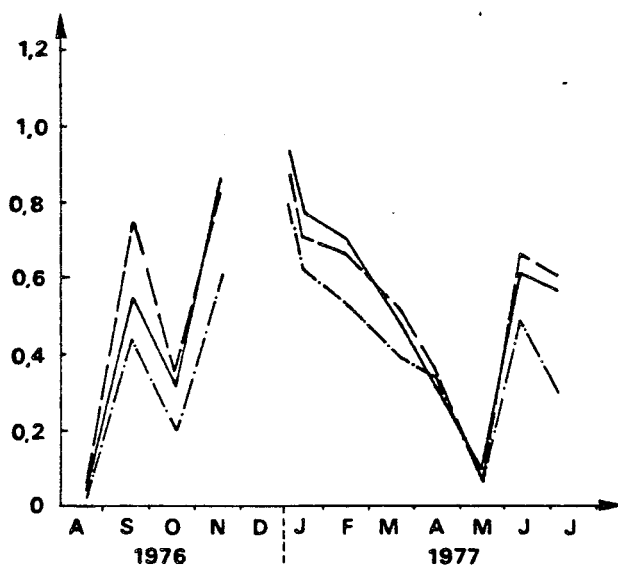
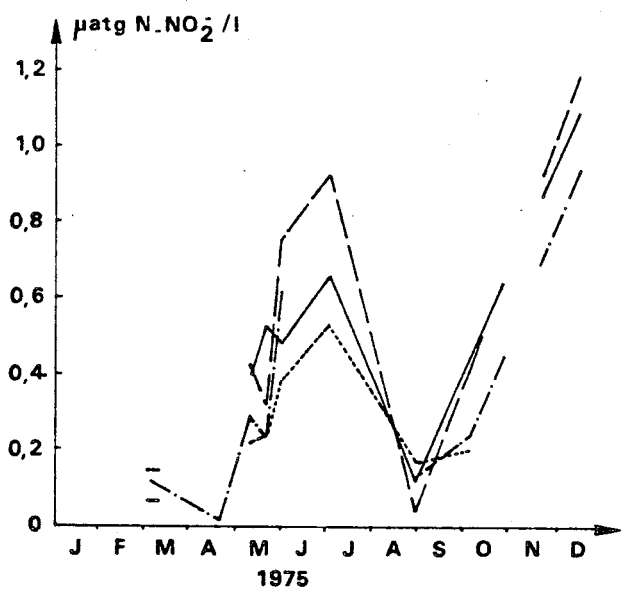
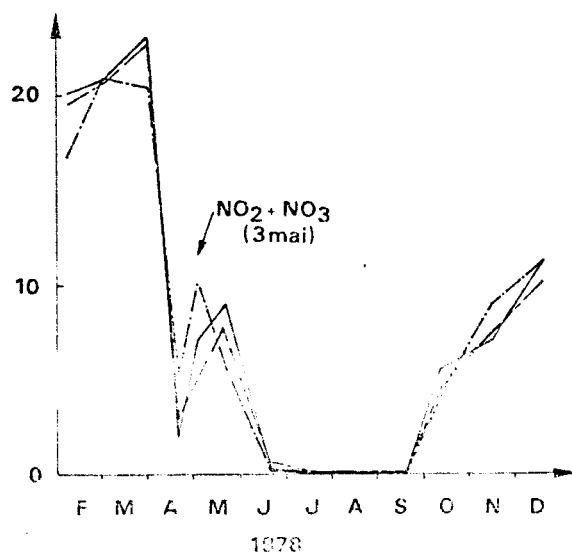
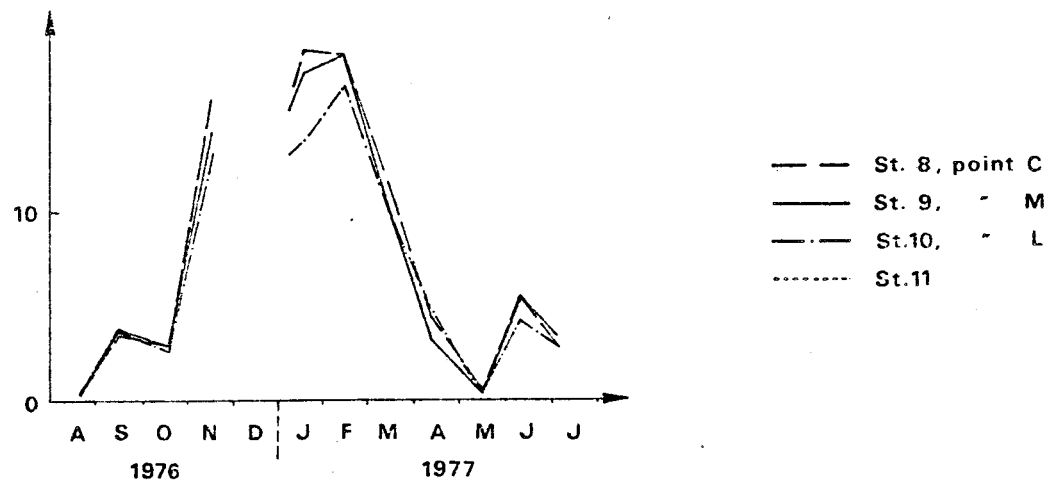
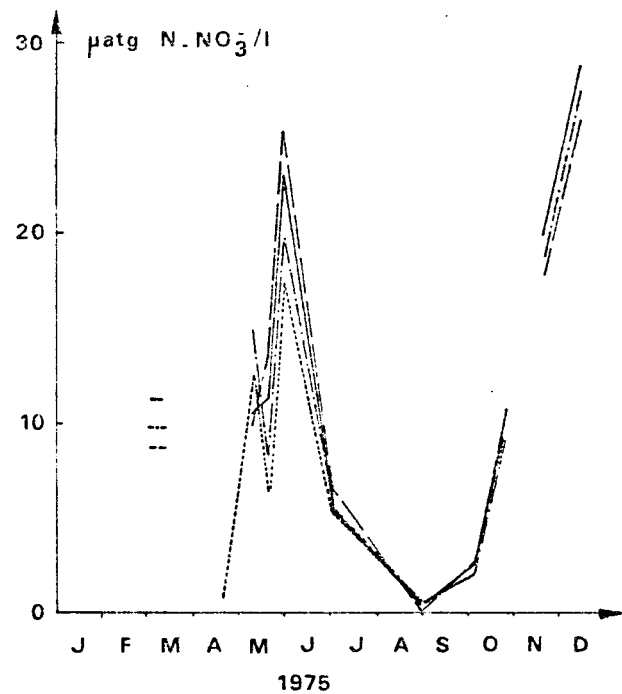


Fig. 34.2 - Nitrites à Gravelines.



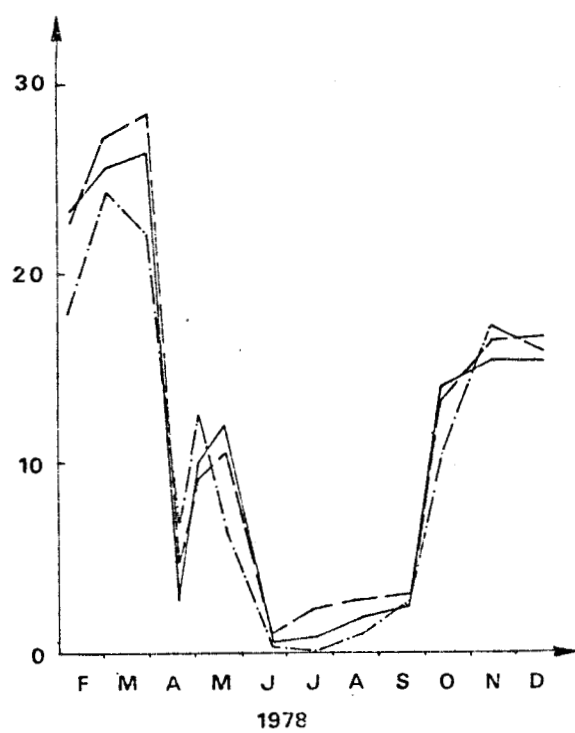
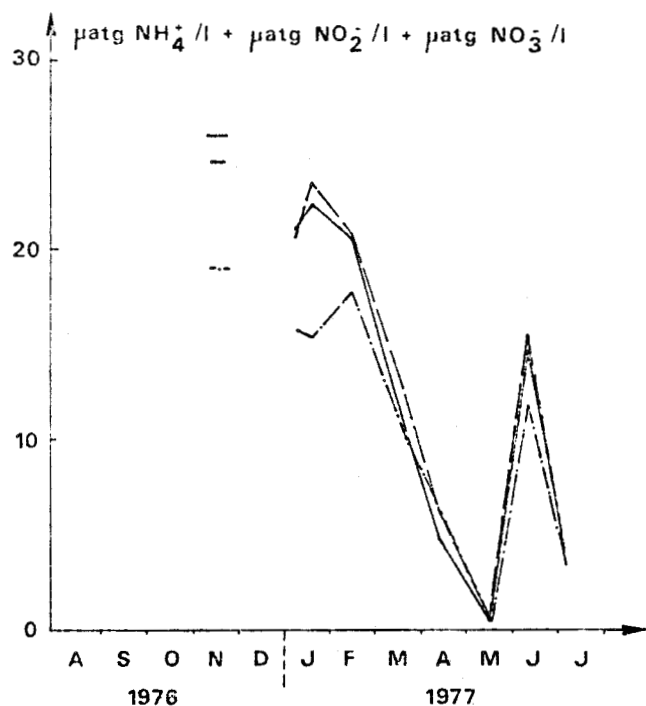
BUS
VILLE

Fig. 34.3 - Nitrates à Gravelines.



ROS
LILLE

Fig. 34.4 - Azote total à Gravelines.



BILS
VILLE

Fig. 35.1 - Phosphates à Gravelines.

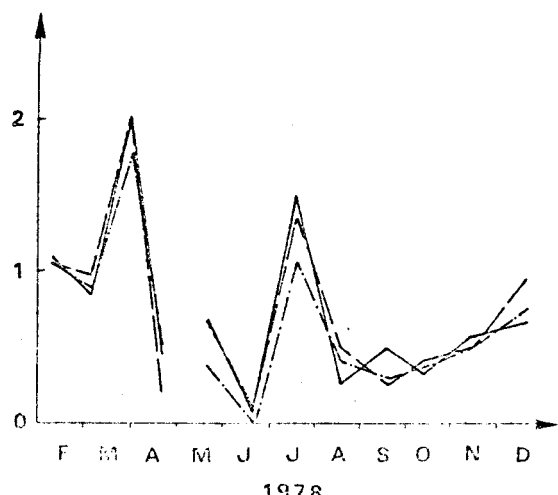
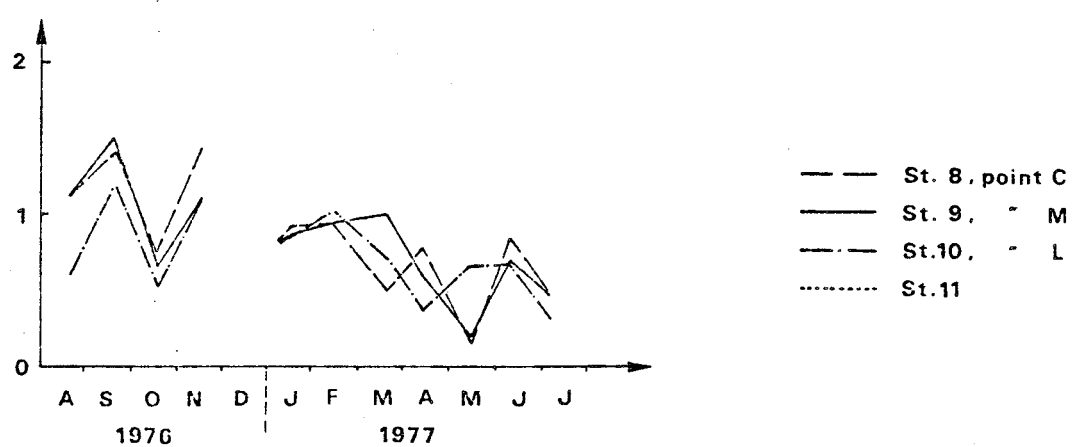
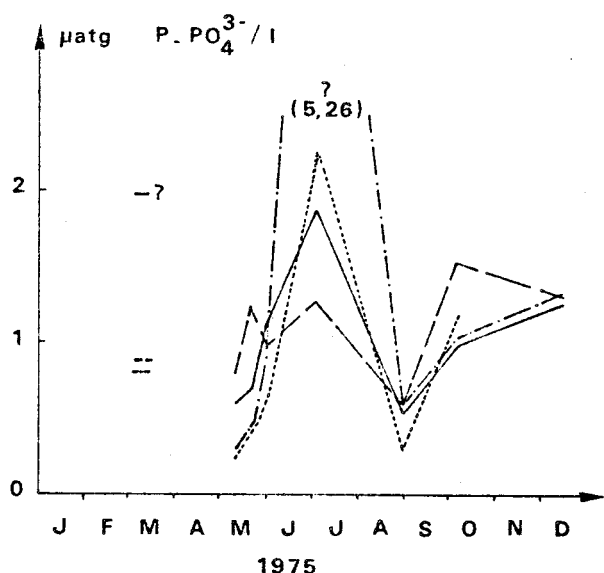
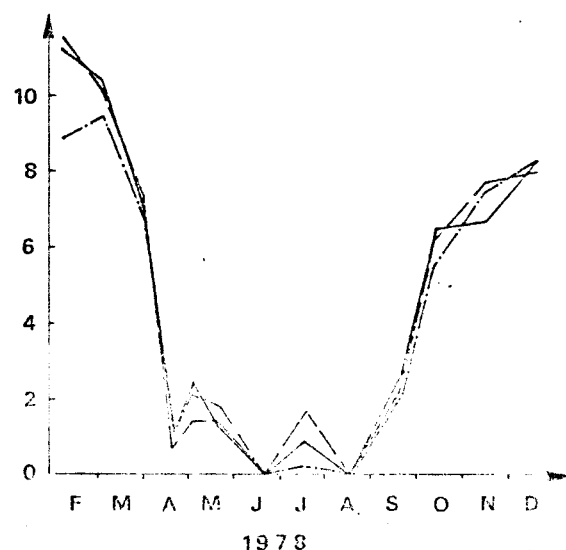
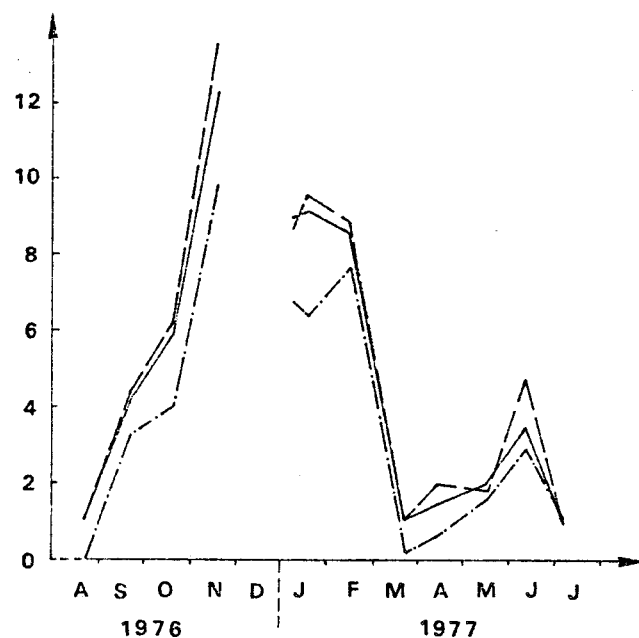
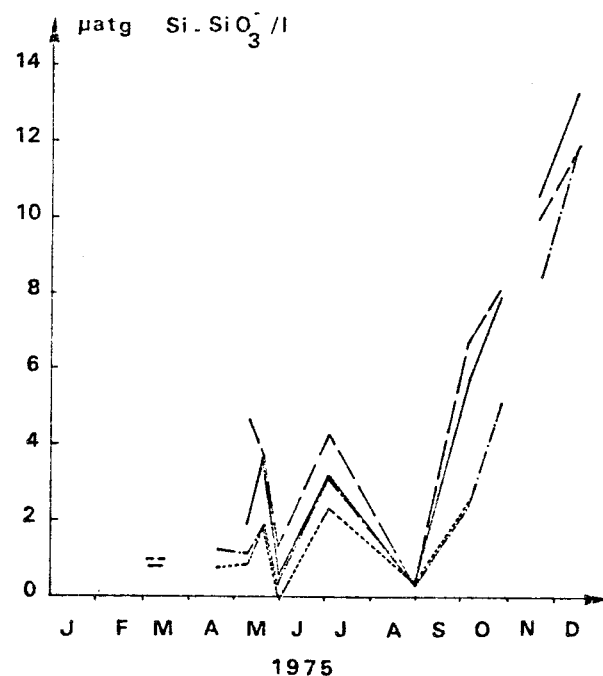


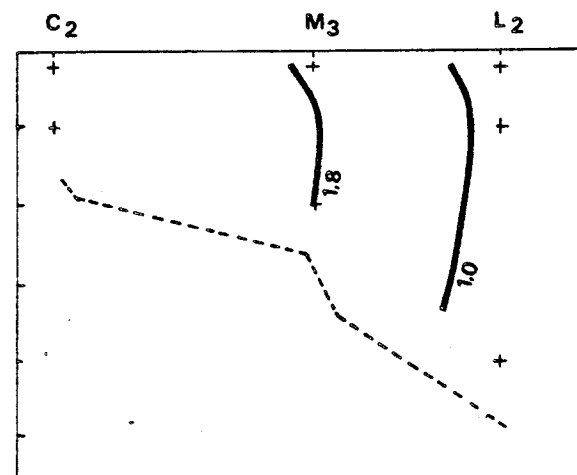
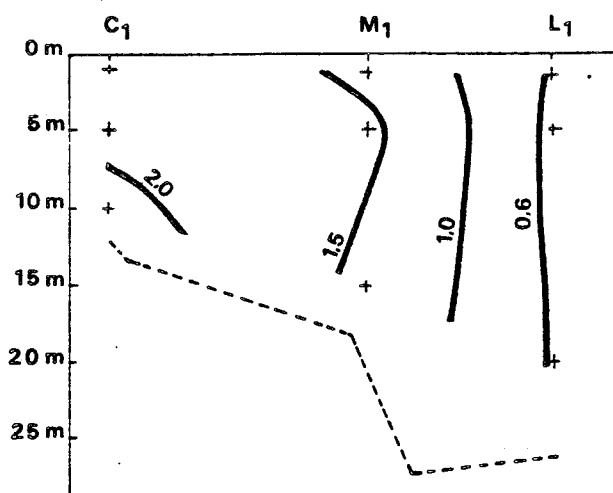
Fig. 35.2 - Silicates à Gravelines.



BUS
LILLE

Fig. 36 - Variations de l'ammoniac ($\mu\text{atg N-NH}_4^+/1$).
au niveau de la radiale à Gravelines.

15 février 1977



12 avril 1977

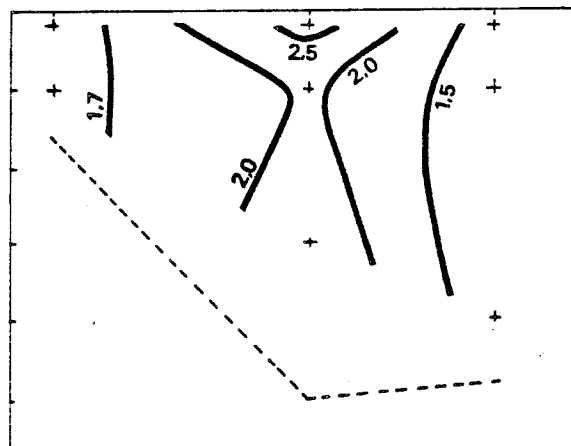
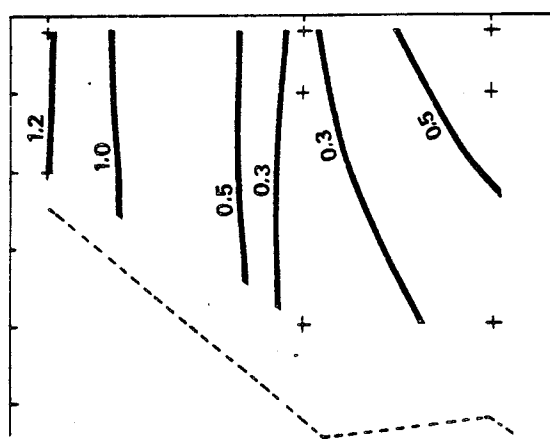
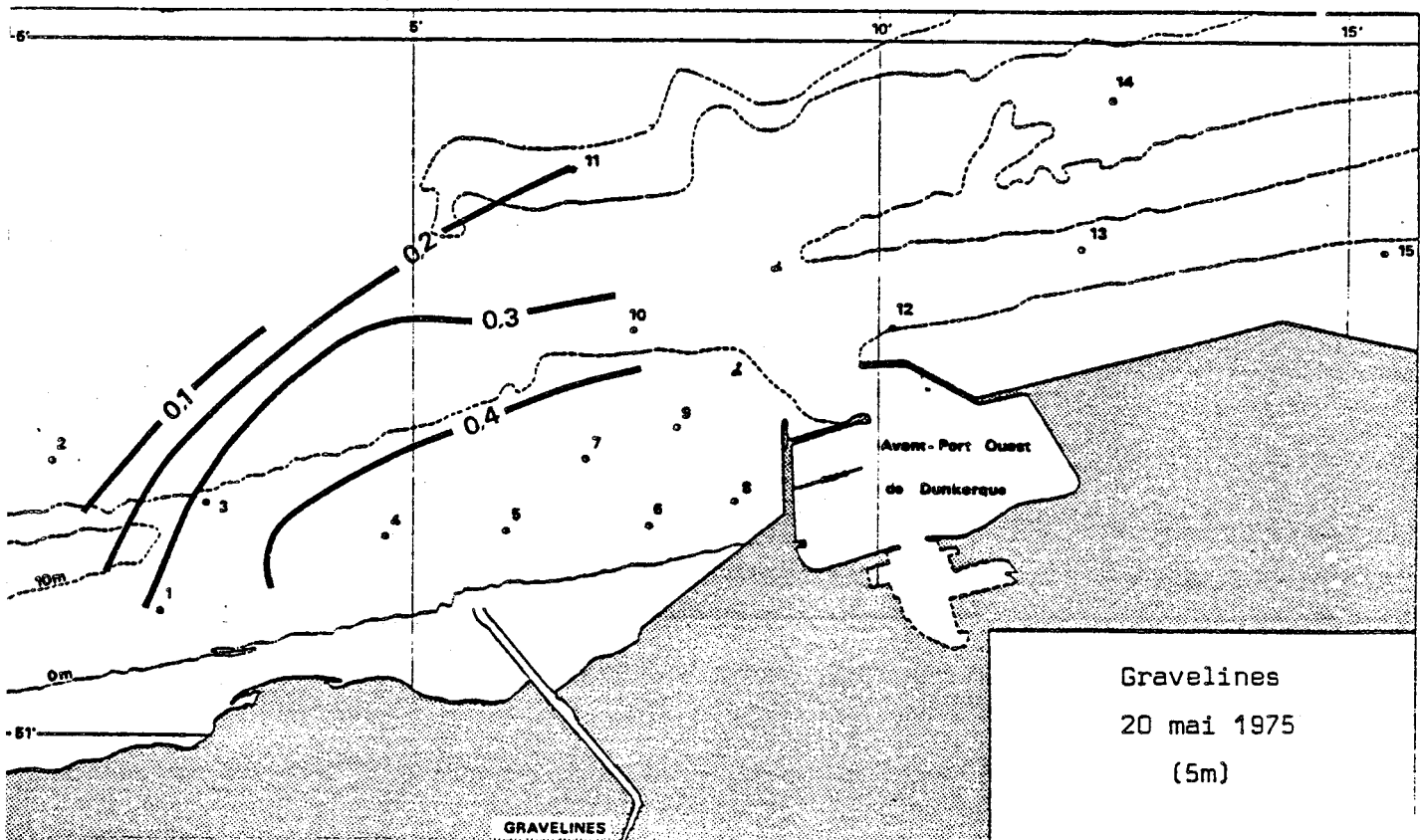
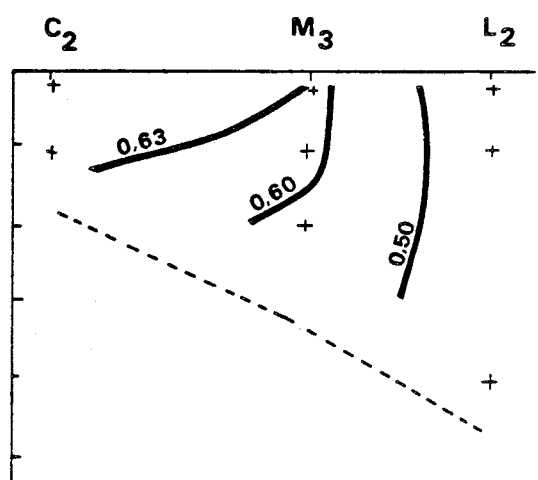
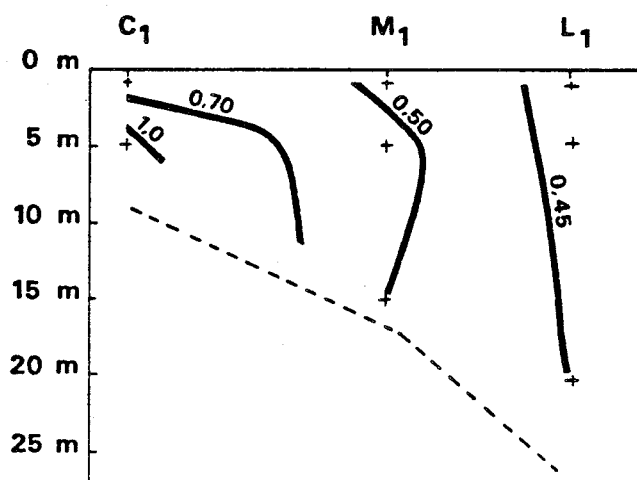


Fig. 37 - Distribution spatiale des nitrites ($\mu\text{atg N-NO}_2^-/\text{l}$).



Gravelines . 20 septembre 1976



Gravelines . 12 avril 1977

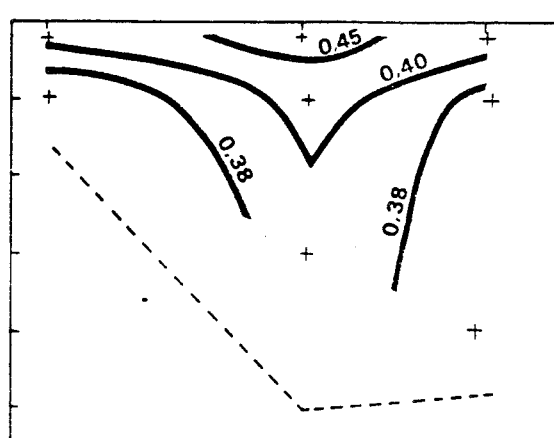
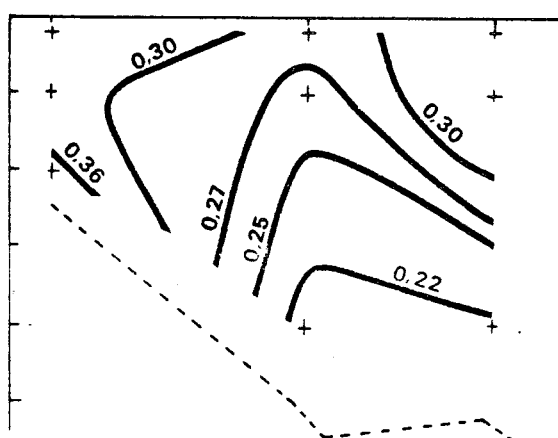
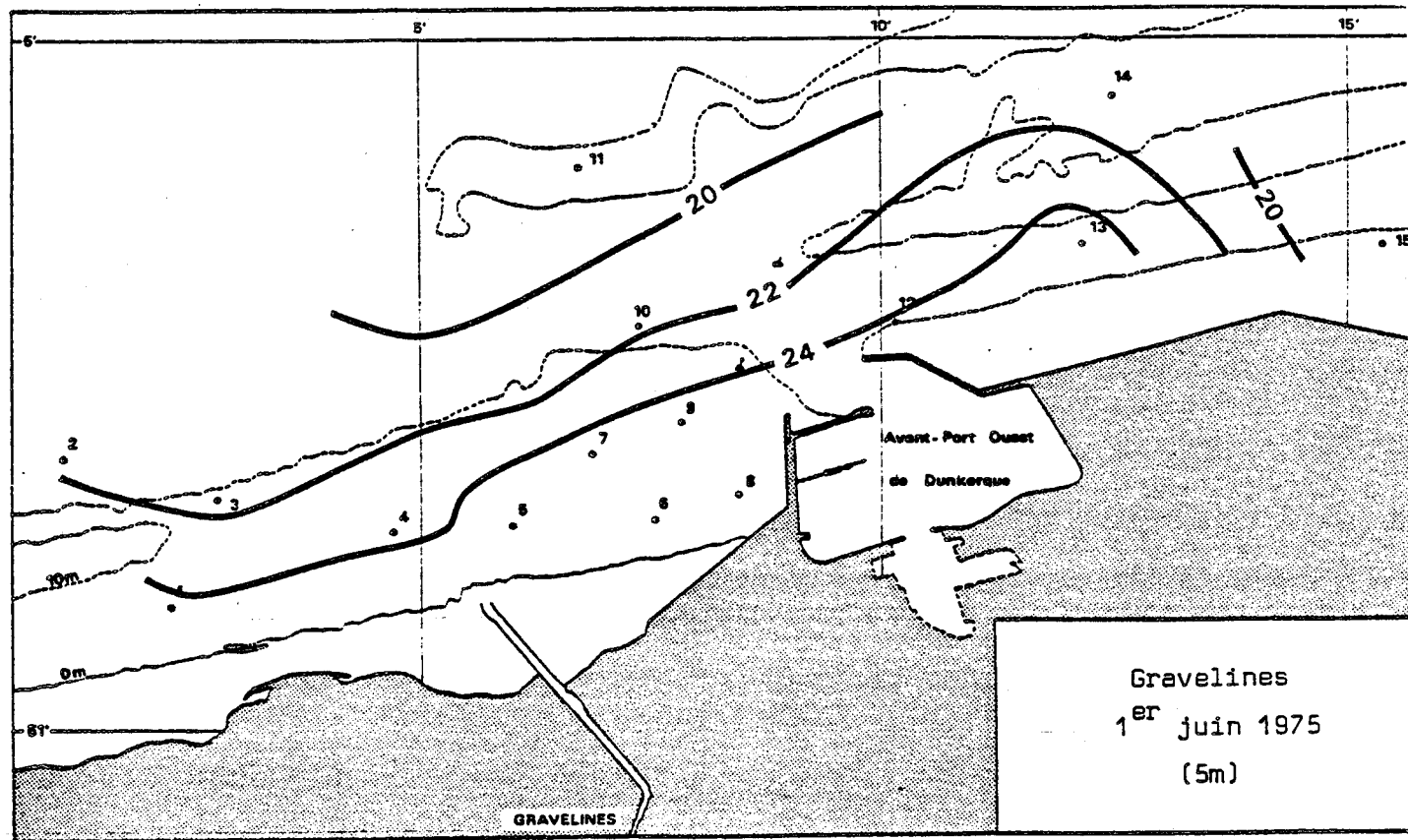
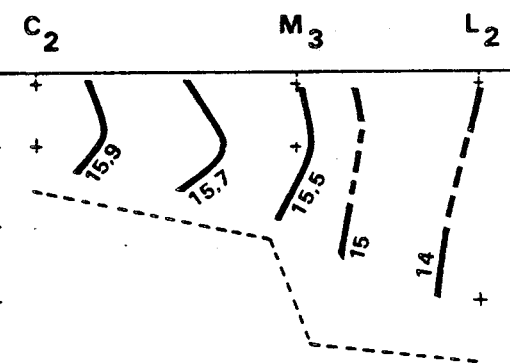
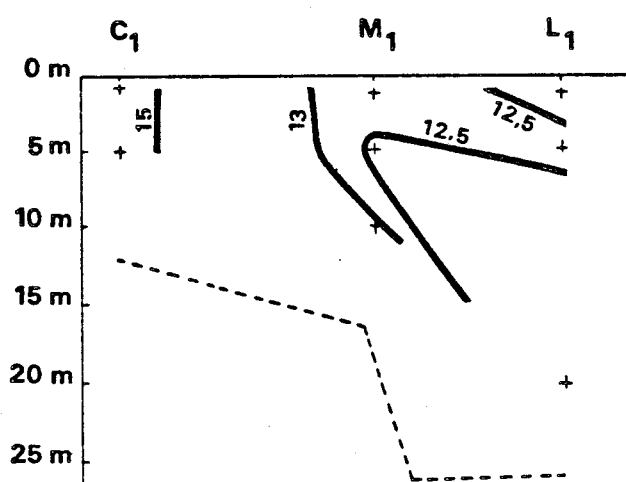


Fig. 38 - Distribution spatiale des nitrates ($\mu\text{atg N-NO}_3^-/\text{l}$).
3



Gravelines . 11 novembre 1976



Gravelines . 12 avril 1977

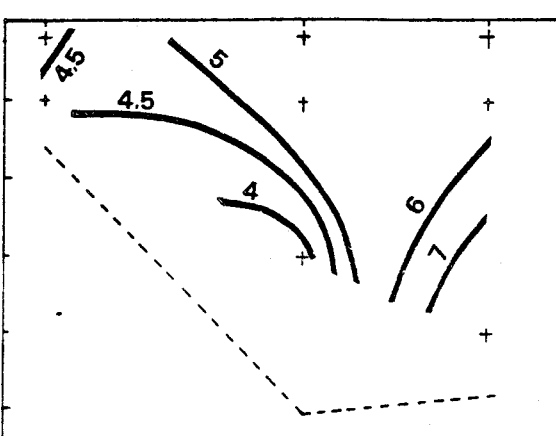
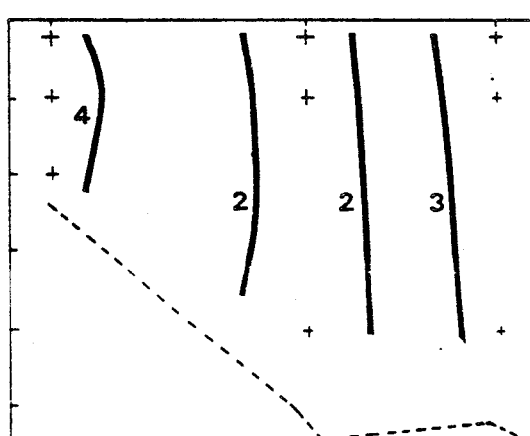
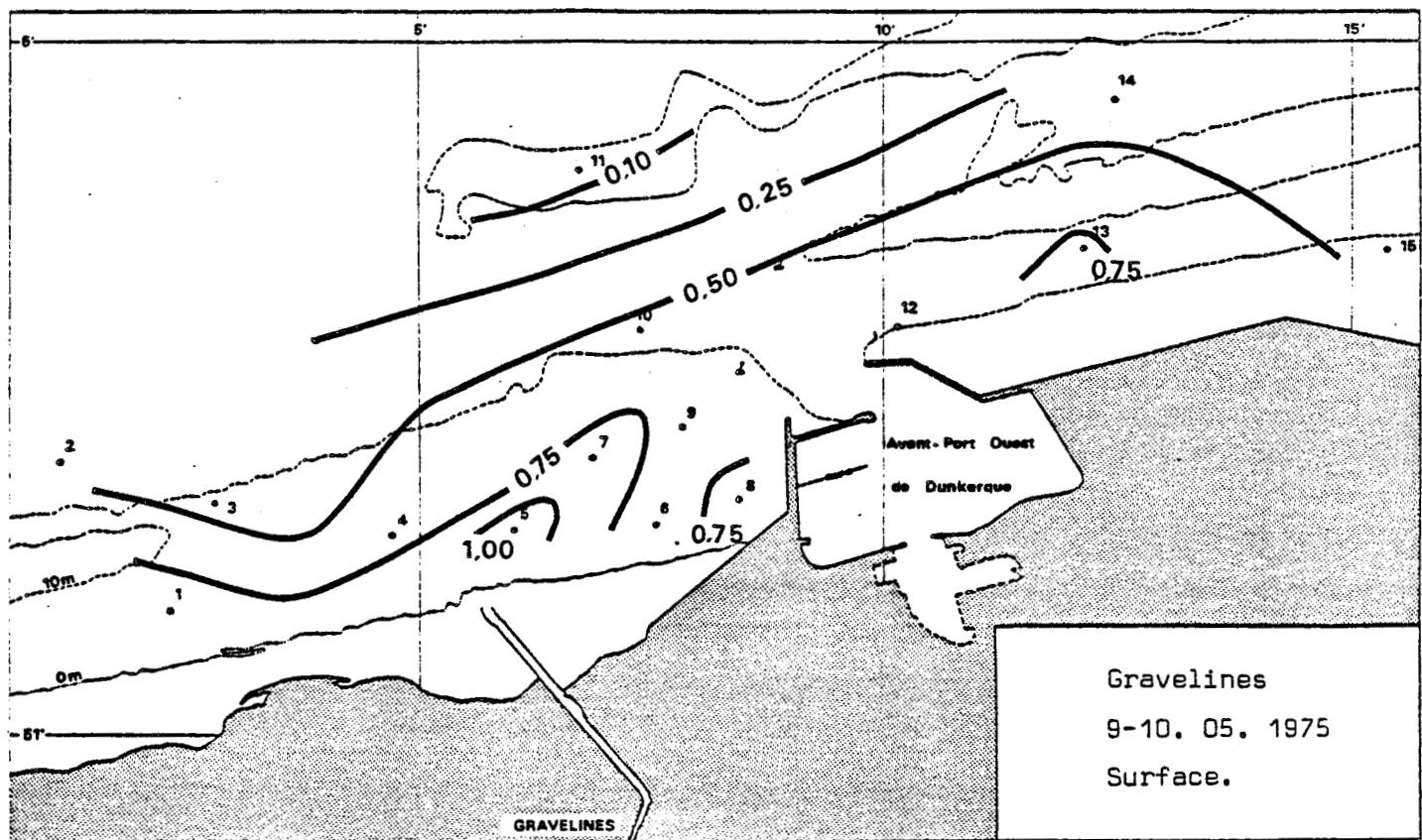
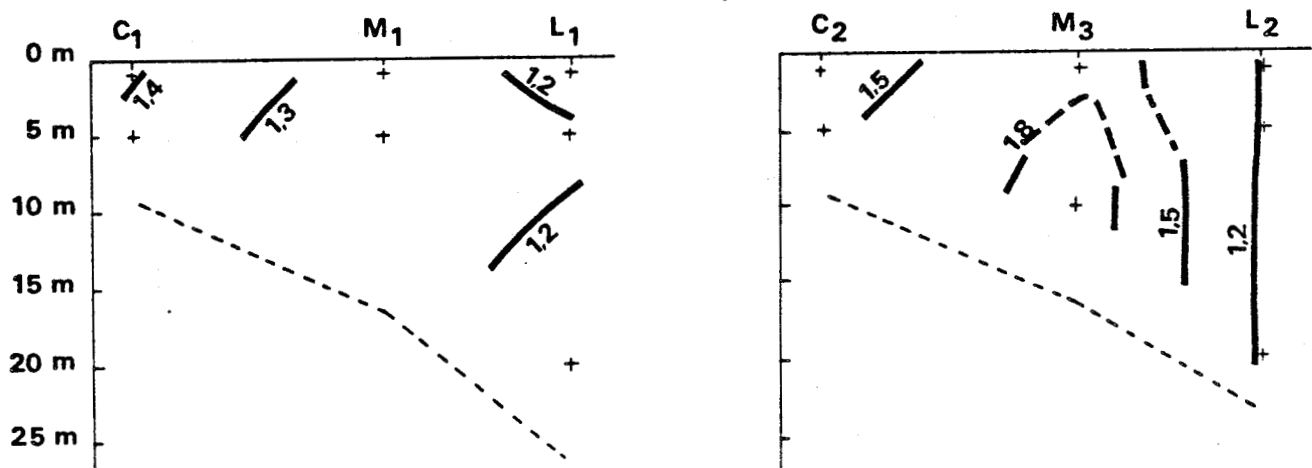


Fig. 39 - Distribution spatiale des phosphates ($\mu\text{atg P-Po}_4^{3-}/1$).



Gravelines . 20 septembre 1976



Gravelines . 12 avril 1977

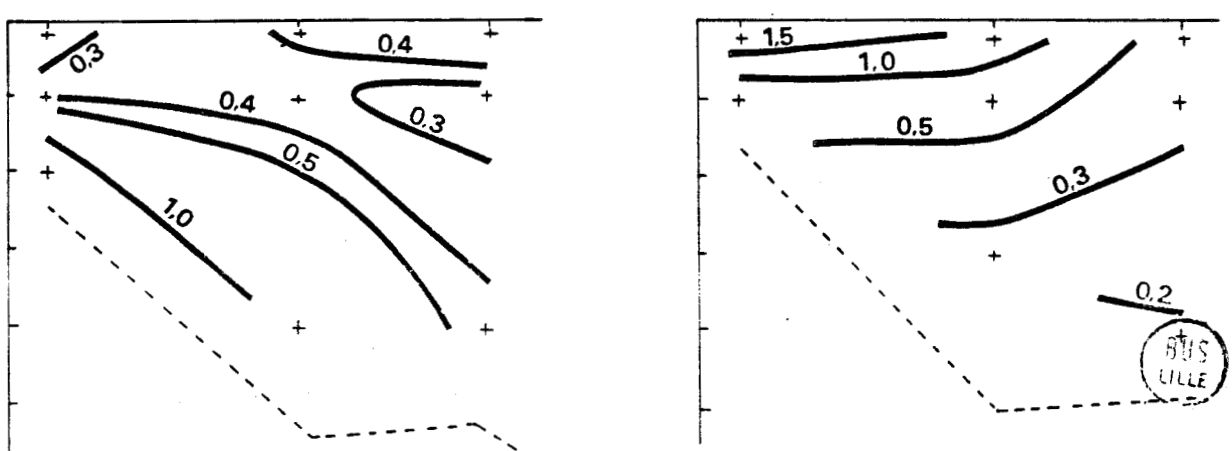
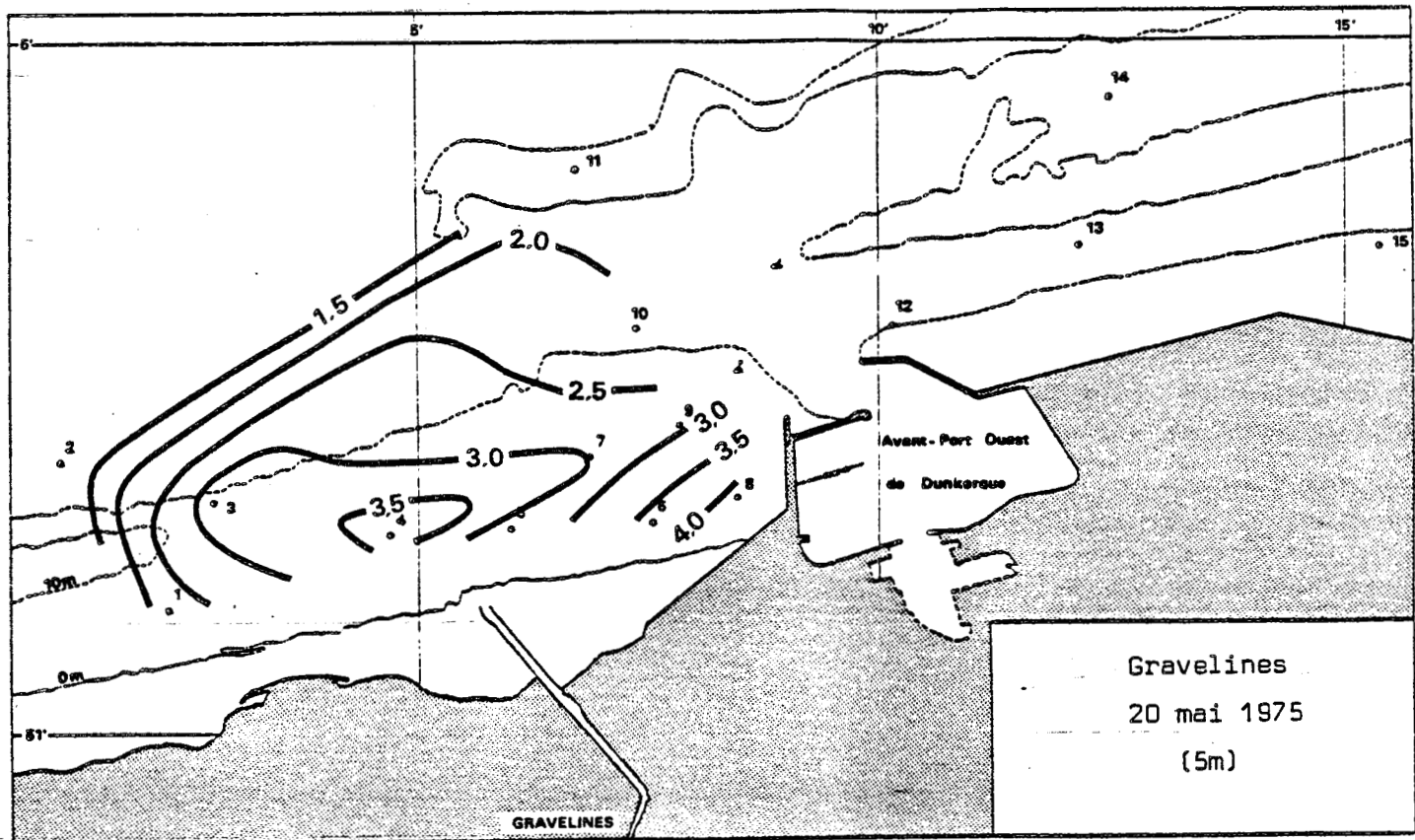


Fig. 40 - Distribution spatiale des silicates ($\mu\text{atg Si-SiO}_3^-/1$).



Gravelines . 18 novembre 1976

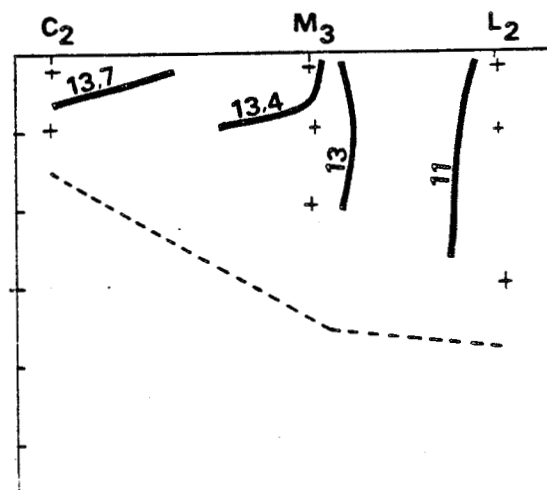
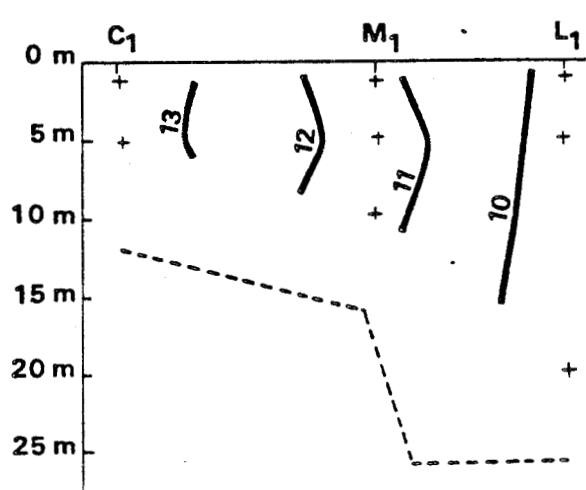
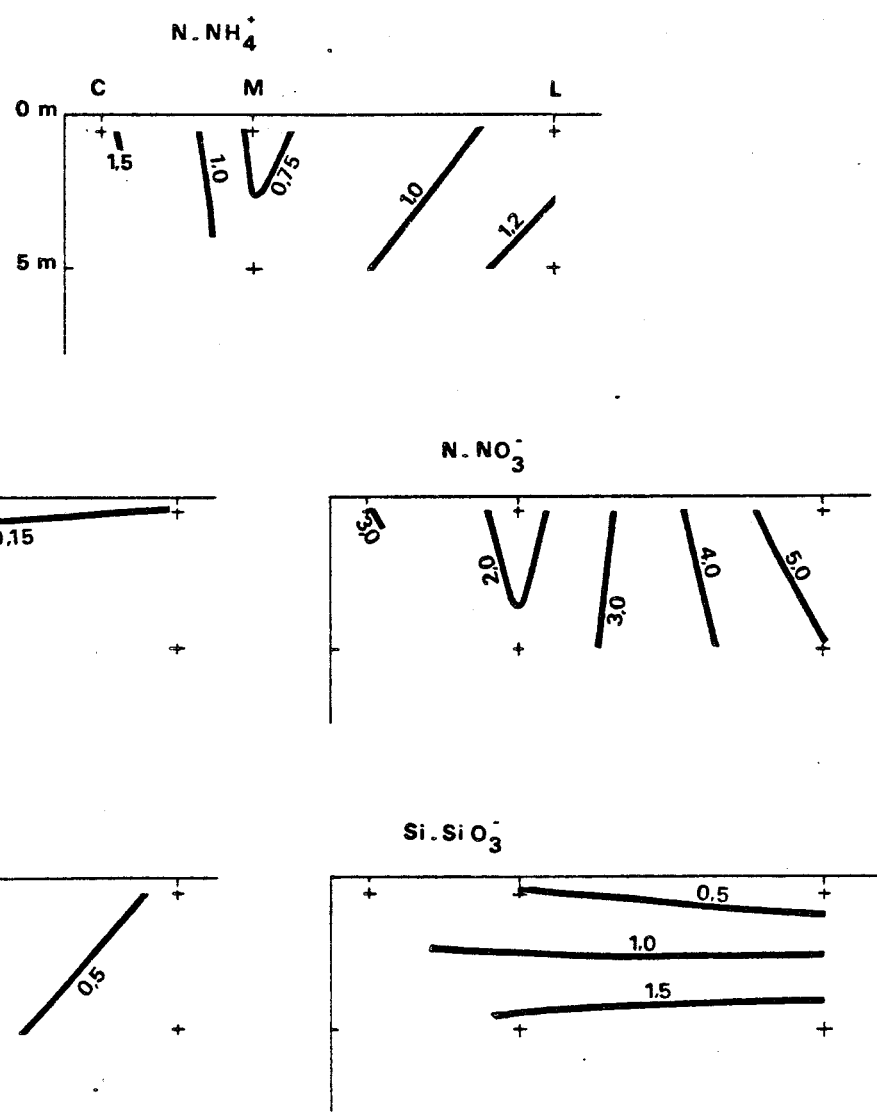


Fig. 41 - Variations des sels nutritifs au niveau de la radiale
à Gravelines le 19 avril 1978.



N. NO_2
μatg/l

14

12

10

8

6

4

2

0

J

F

M

A

M

J

J

A

1977

1978

Fig. 42 - Variations des sels nutritifs azotés dans le port de Dunkerque (station E) et dans le milieu littoral (R.N.O., st.2). (D'après BRYLINSKI, 1979).

N. NO_3
μatg/l

80

60

40

20

0

80

60

40

20

10

0

J

F

M

A

M

J

J

1977

1978



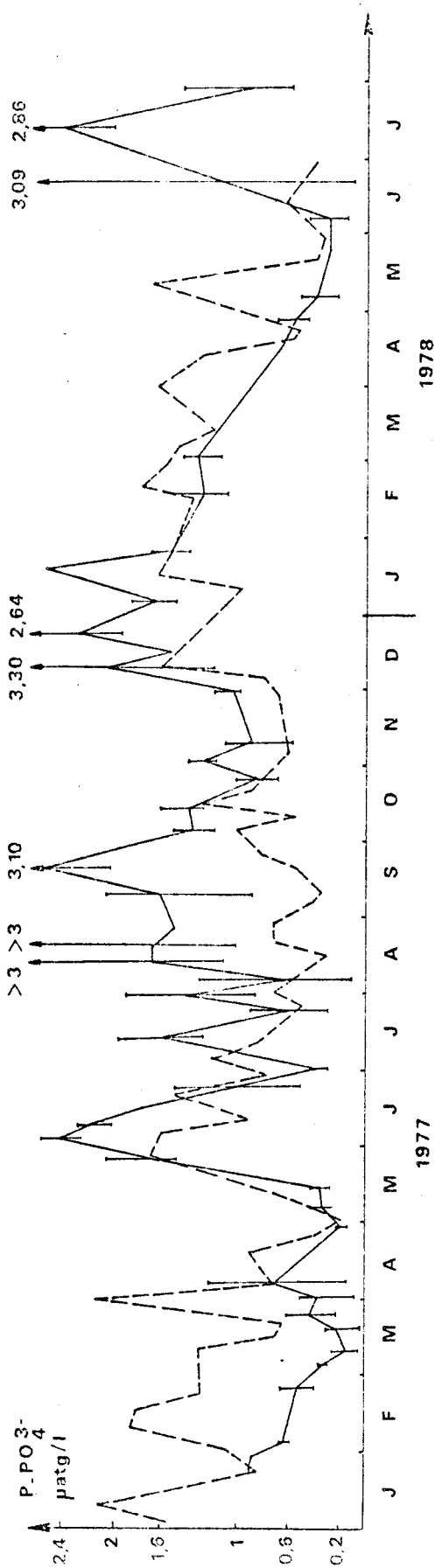
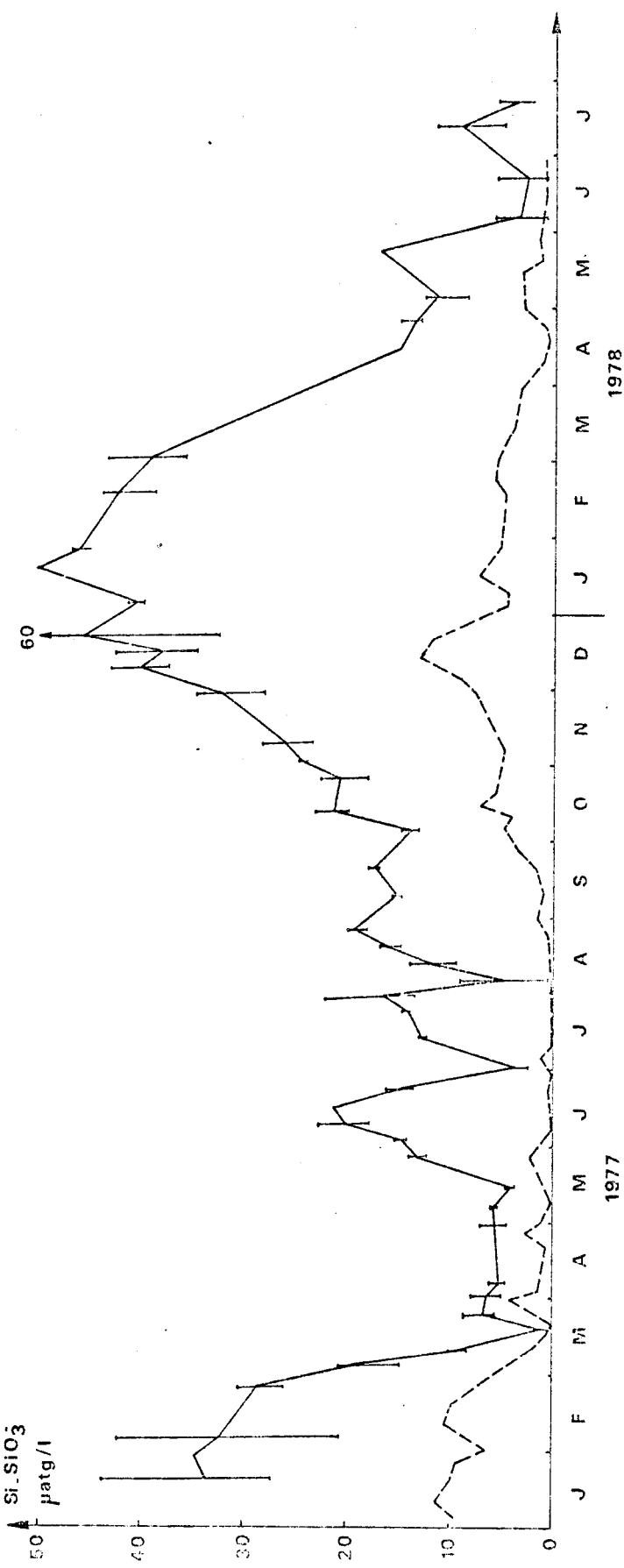


Fig. 43 - Variations des phosphates et des silicates dans le port de Dunkerque (station E) et dans le milieu littoral (R.N.O., st.2). (D'après BRYLINSKI, 1979).



BUS
CYCLE

Fig. 44 - Répartition des constituants du microplancton à Gravelines

(nombre de cellules).

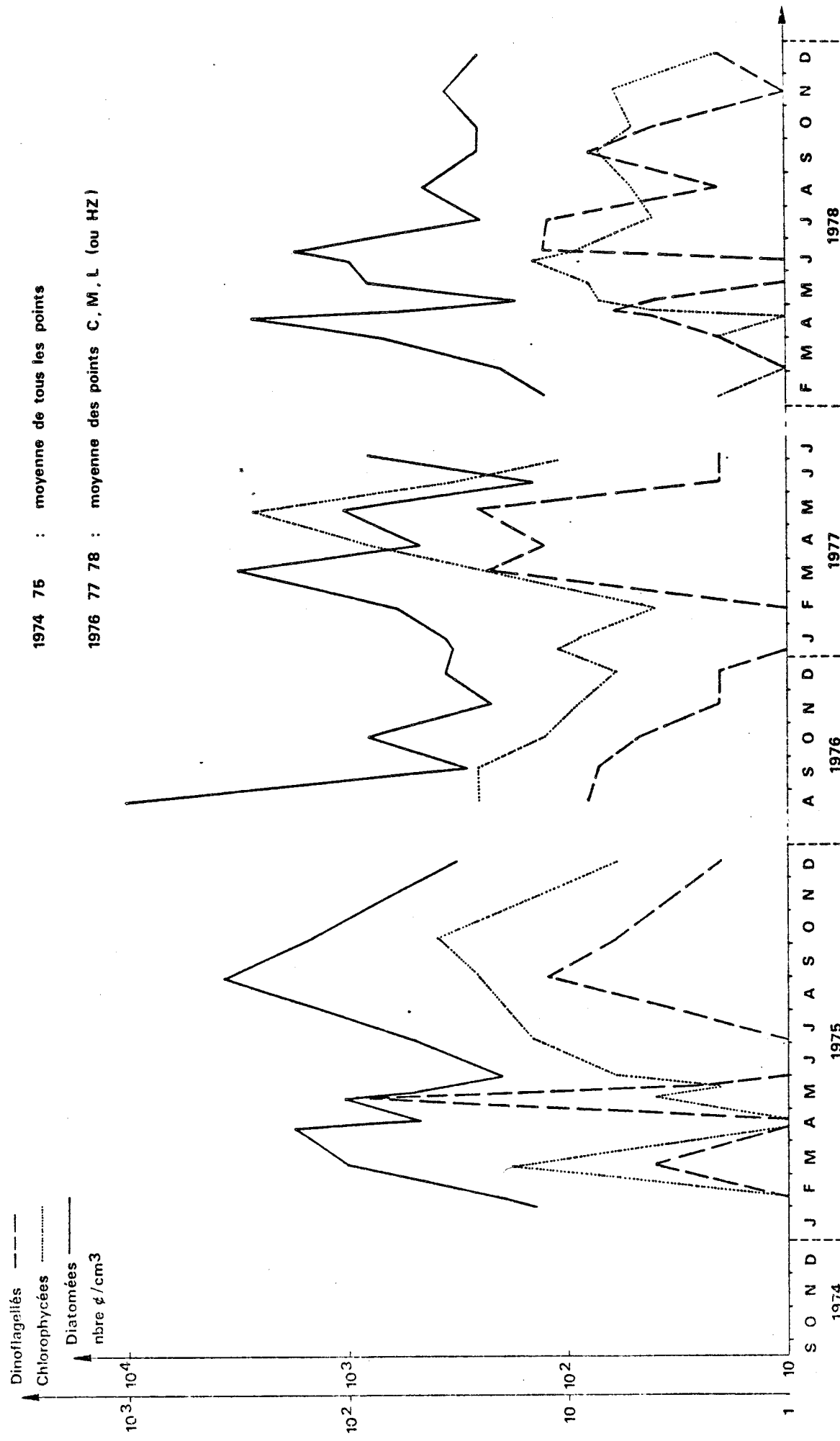


Fig. 45 - Répartition des différents constituants du microplancton à Gravelines (pourcentage de dominance / nombre total de cellules du microplancton).



SING
LILLE

Fig. 46 - Répartition des constituants du microplancton dans le port de Dunkerque (station E) (nombre de cellules).

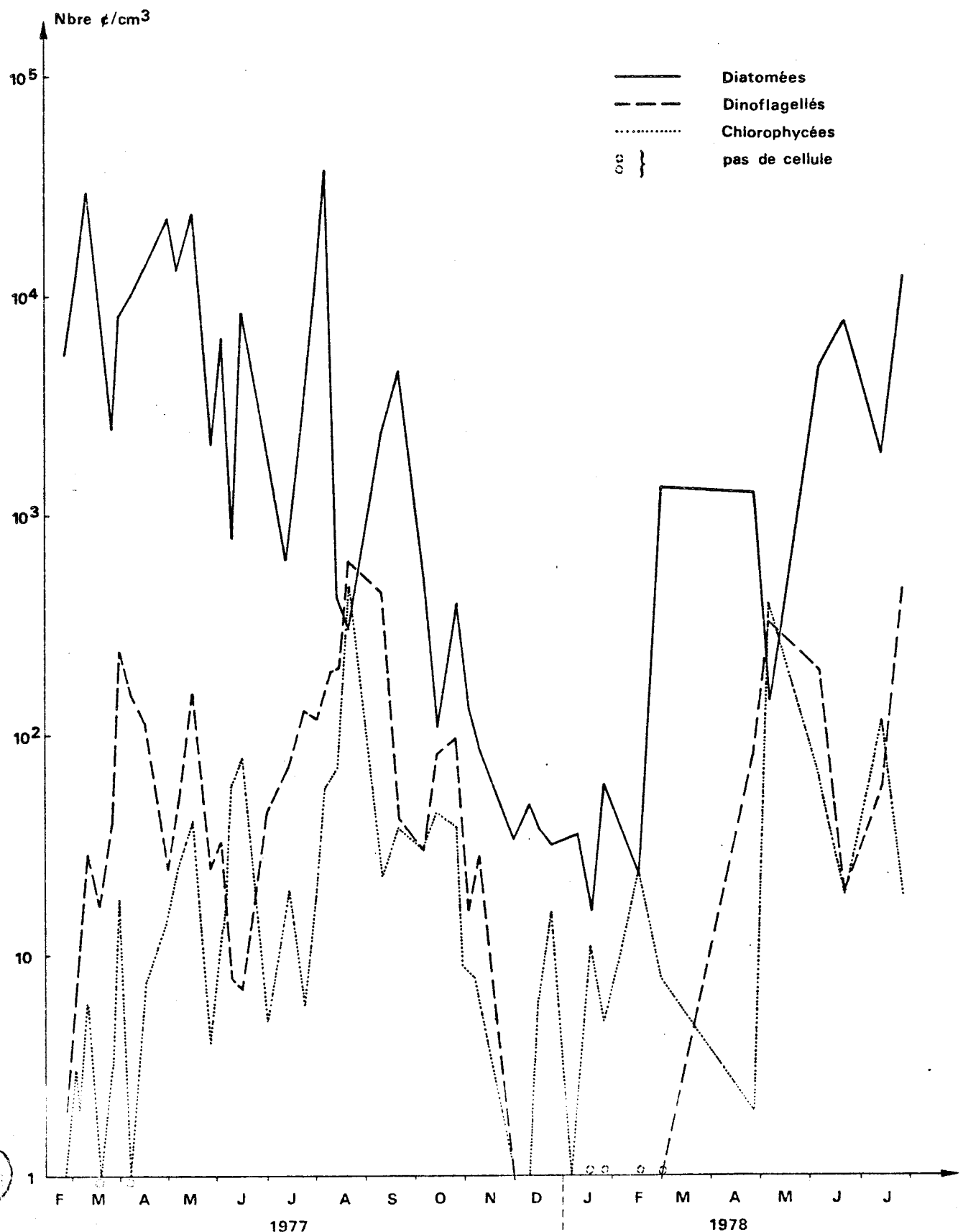


Fig. 47 - Répartition des différents constituants du microplancton

dans le port de Dunkerque (station E)

(pourcentage de dominance / nombre total de cellules du microplancton).

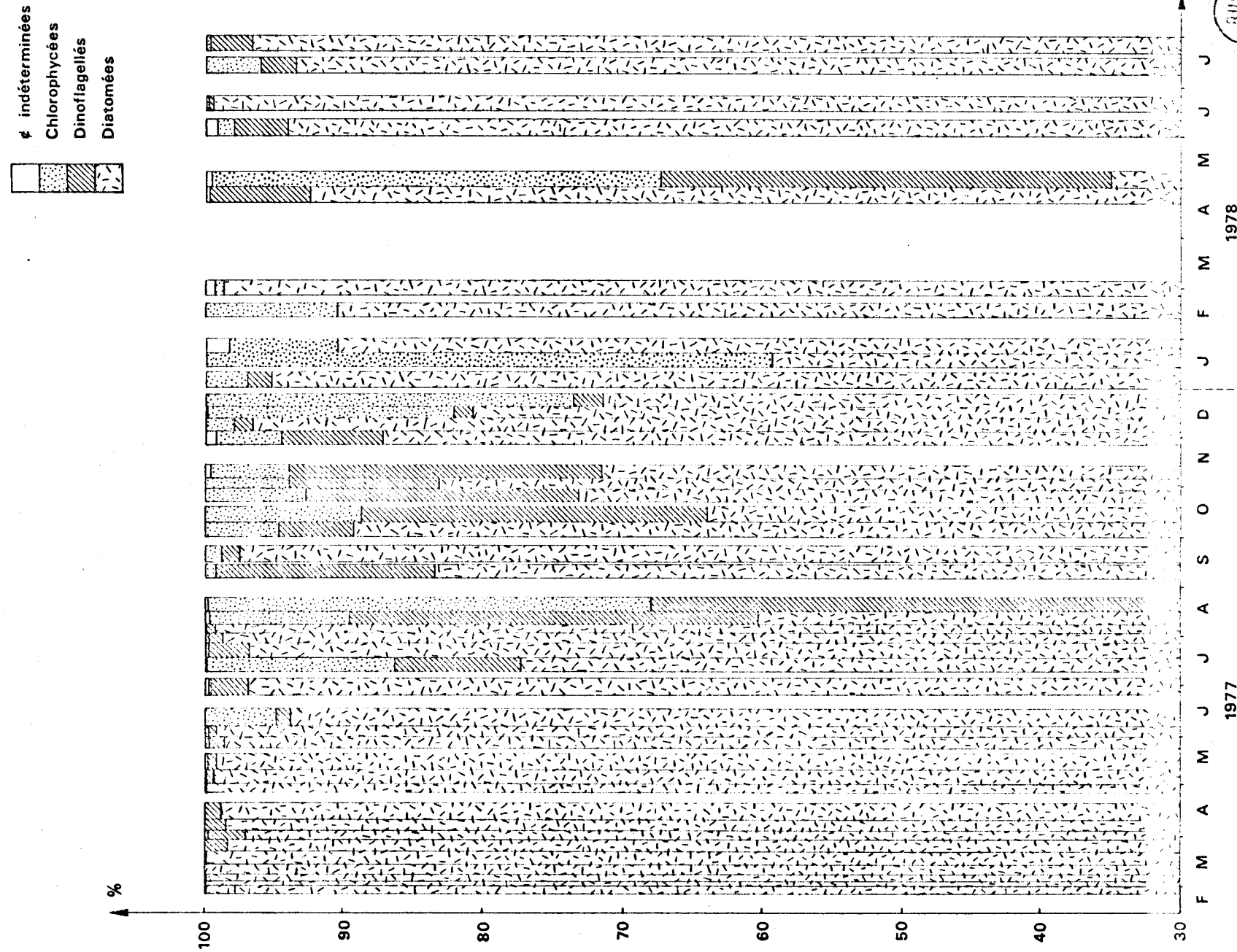


Fig. 48 - Dominance des Diatomées
(% du nombre total de cellules de microplancton).

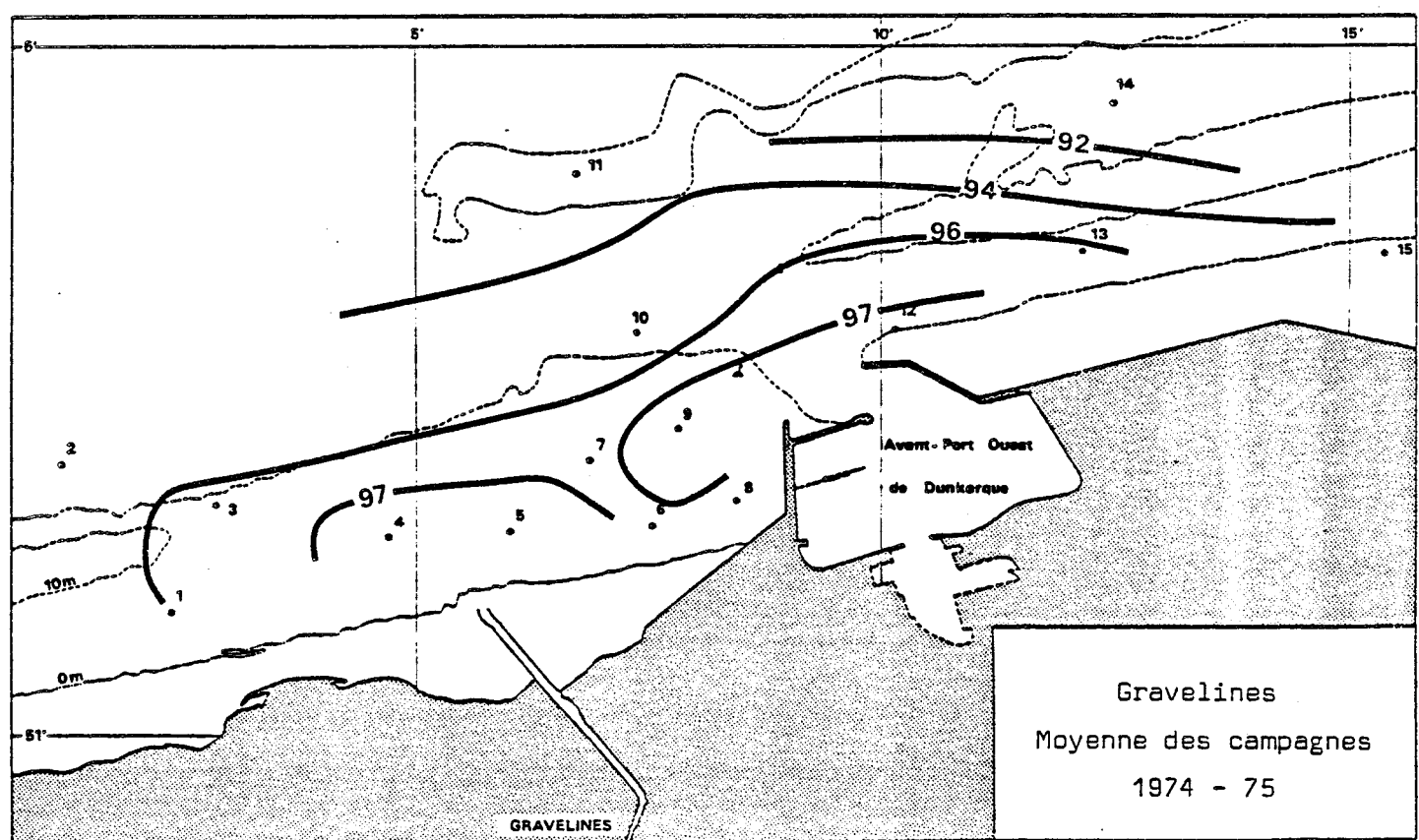
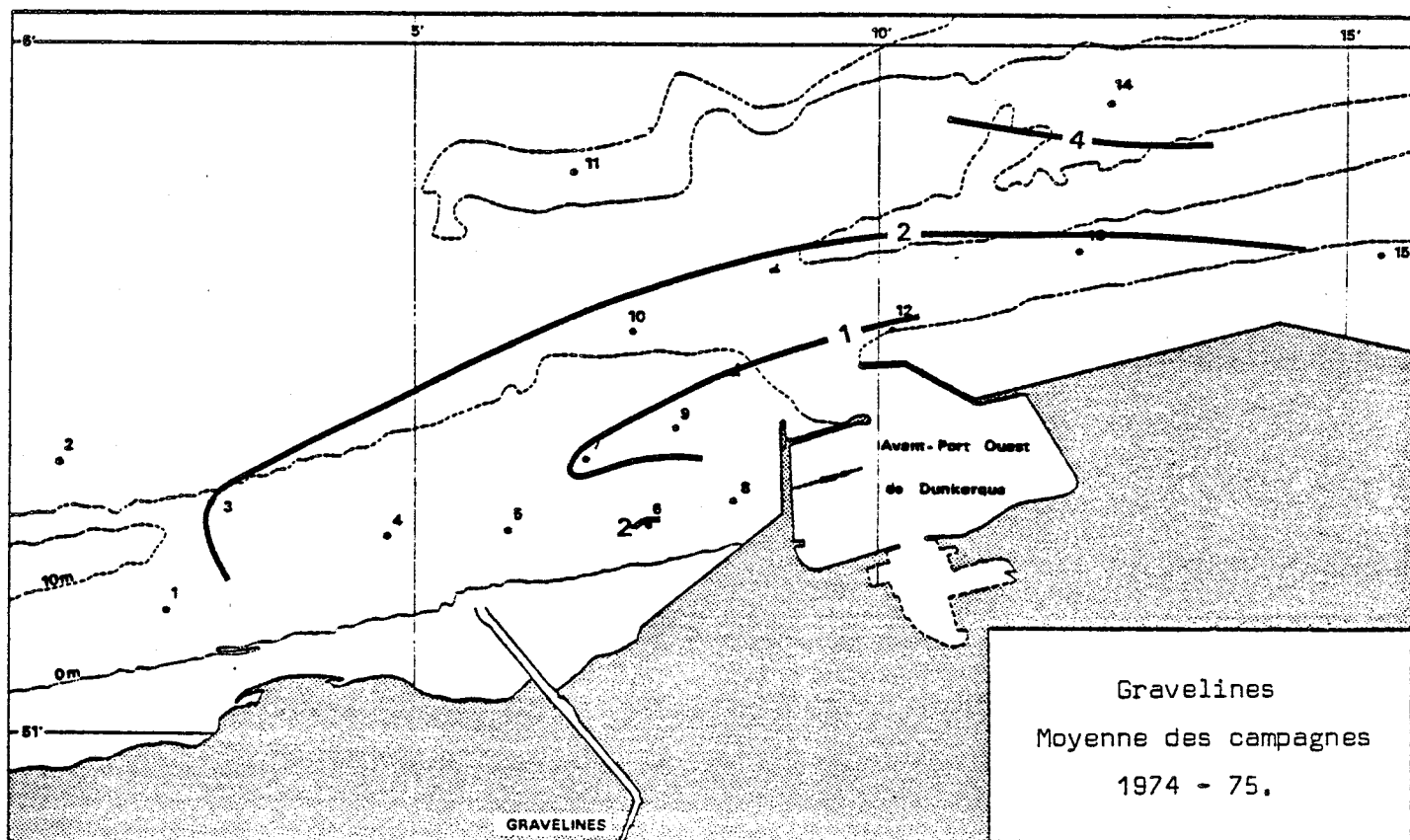


Fig. 49 - Dominance des Dinoflagellés
(% du nombre total de cellules du microplancton).



BNS
LILLE

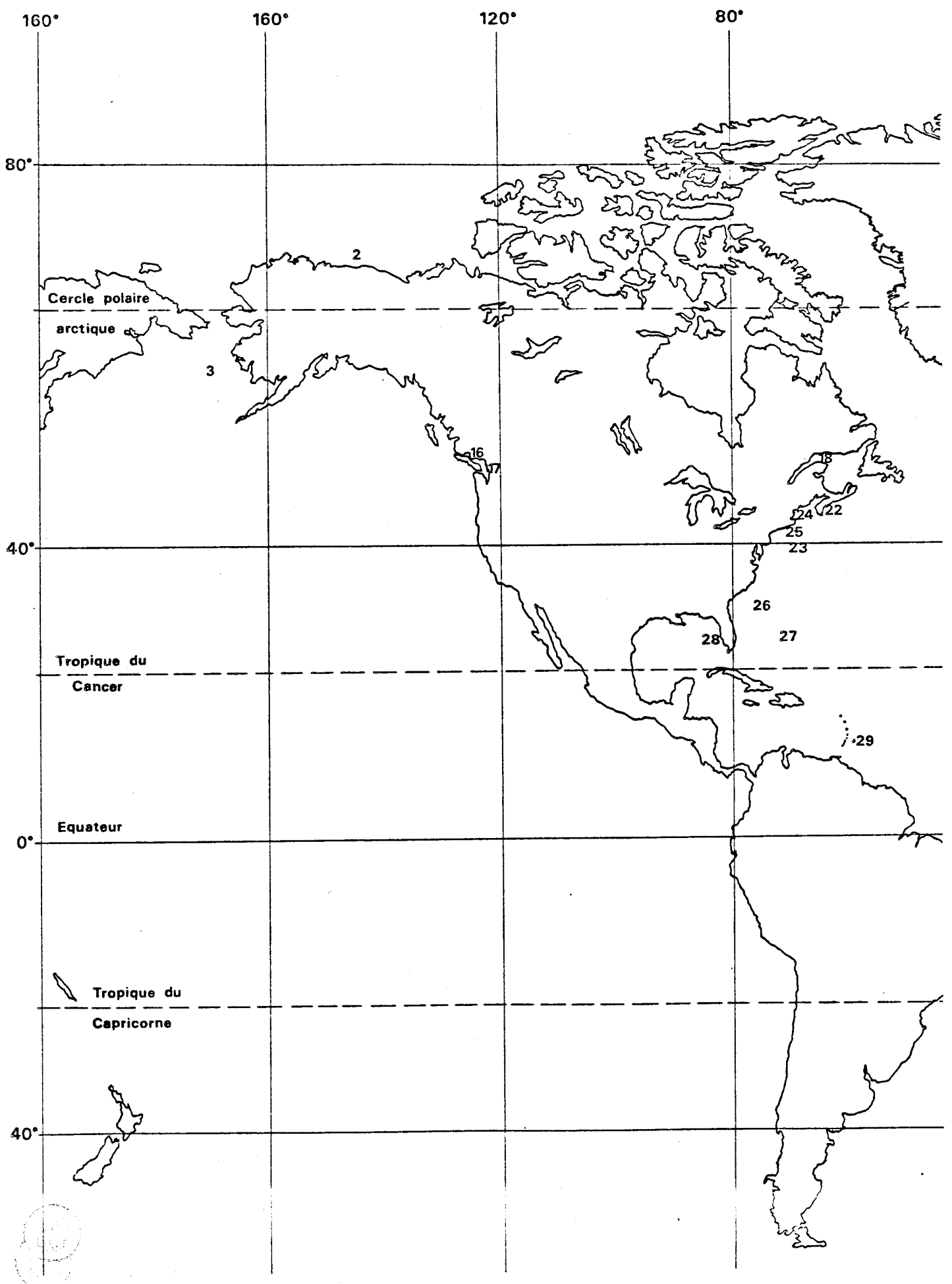
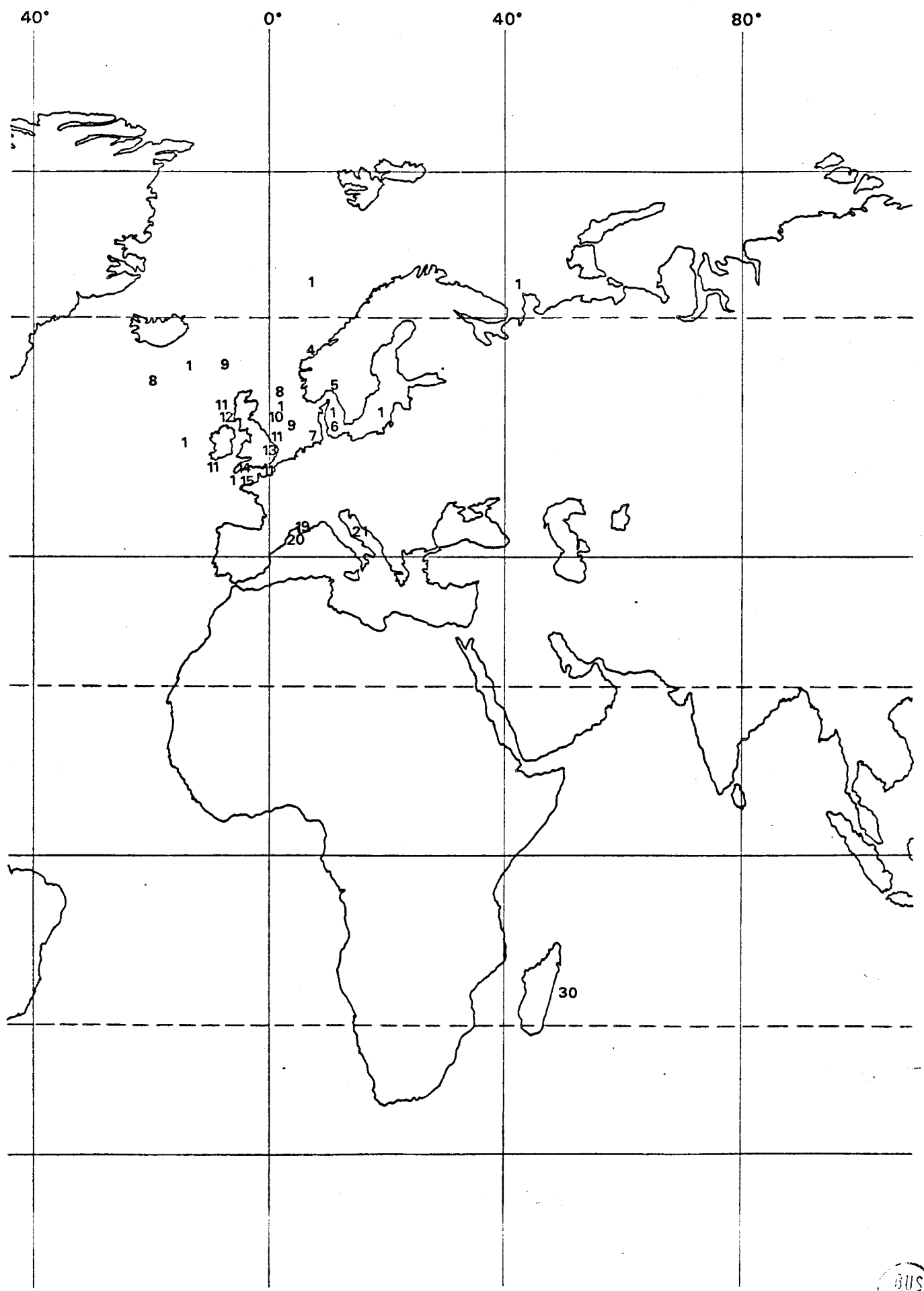


Fig. 50 - Situation des études de référence.



BUS
LILLE

Fig. 51 - *Paralia sulcata* à Gravelines.

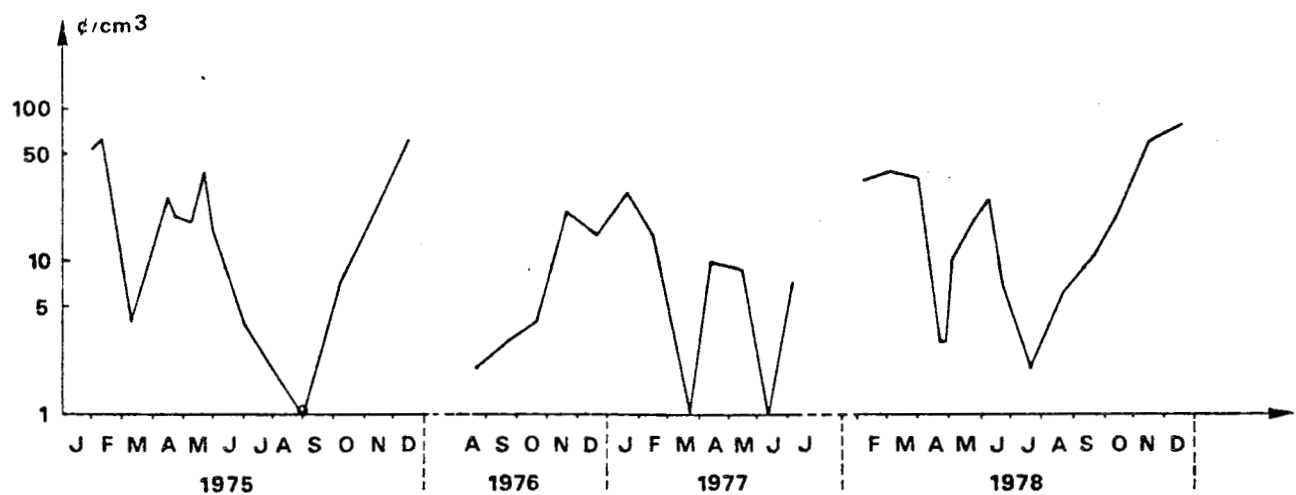


Fig. 52 - Quantité de cellules de *Paralia sulcata* en fonction de la turbidité à Gravelines.

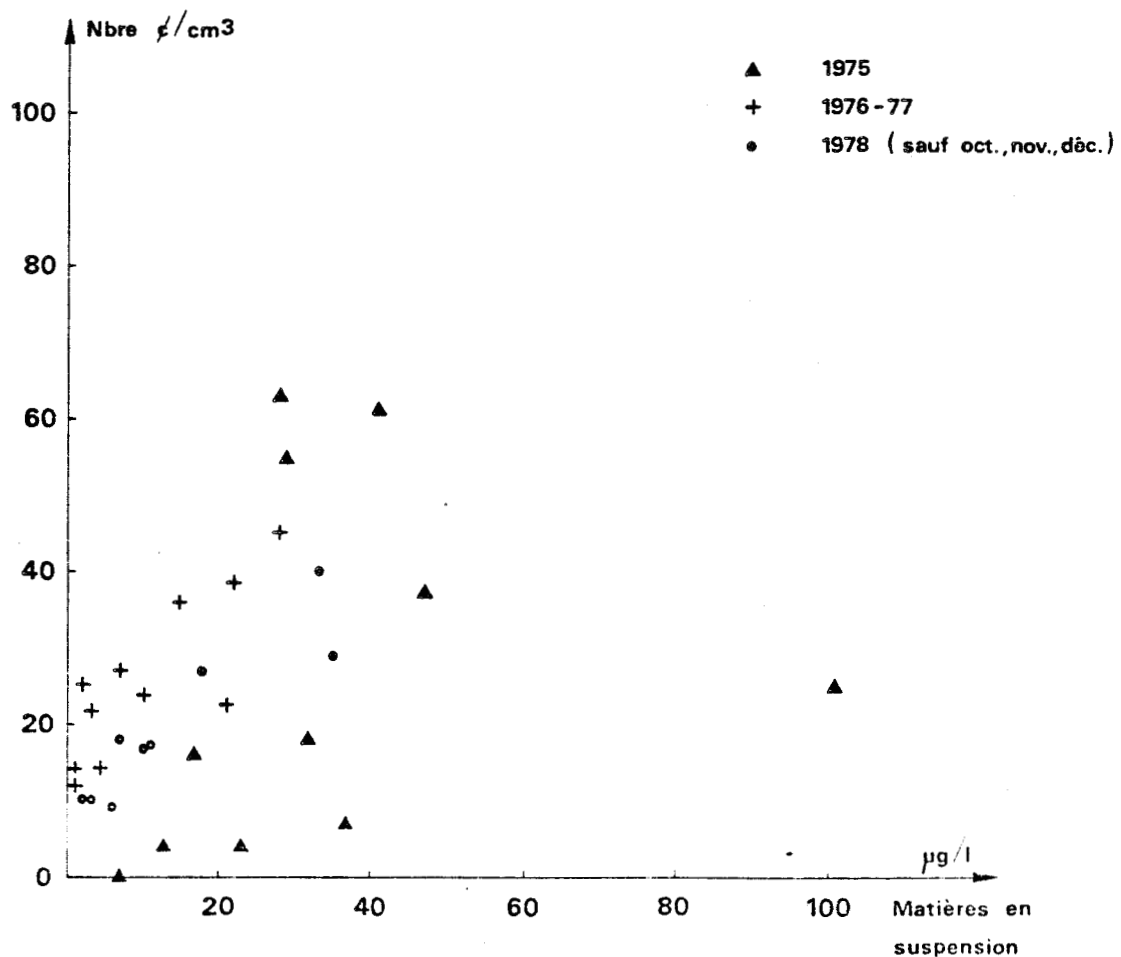


Fig. 53 - Distribution spatiale de *Paralia sulcata* (% de dominance).

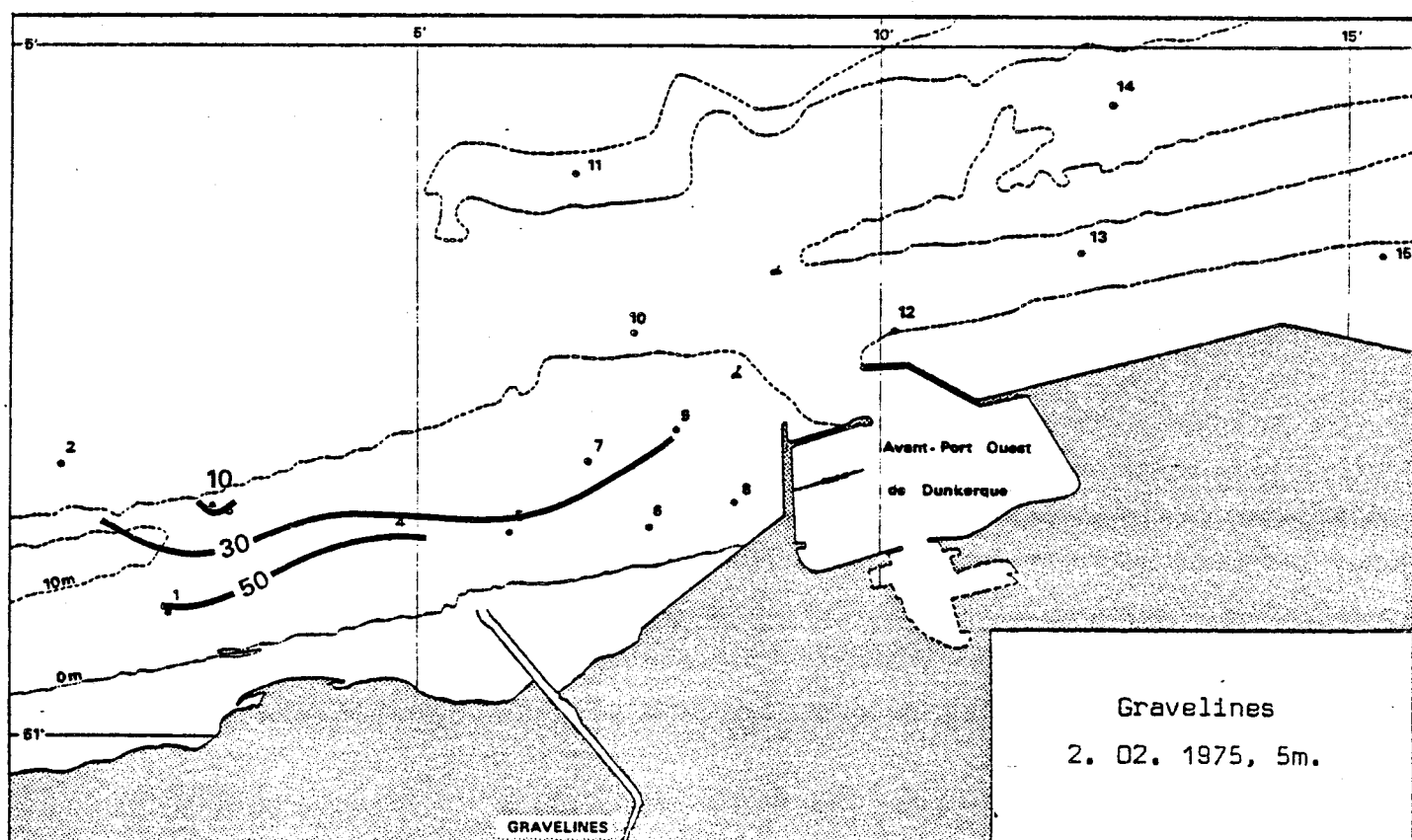


Fig. 54 - Genre *Thalassiosira* à Gravelines.

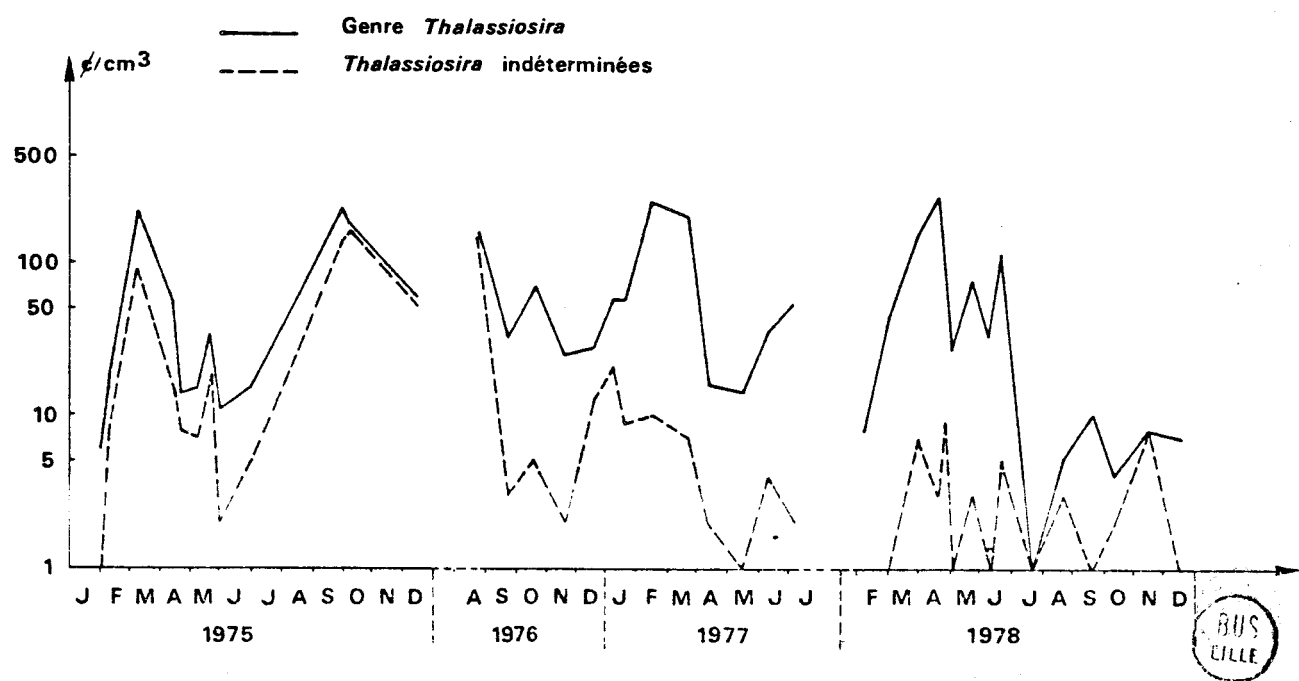
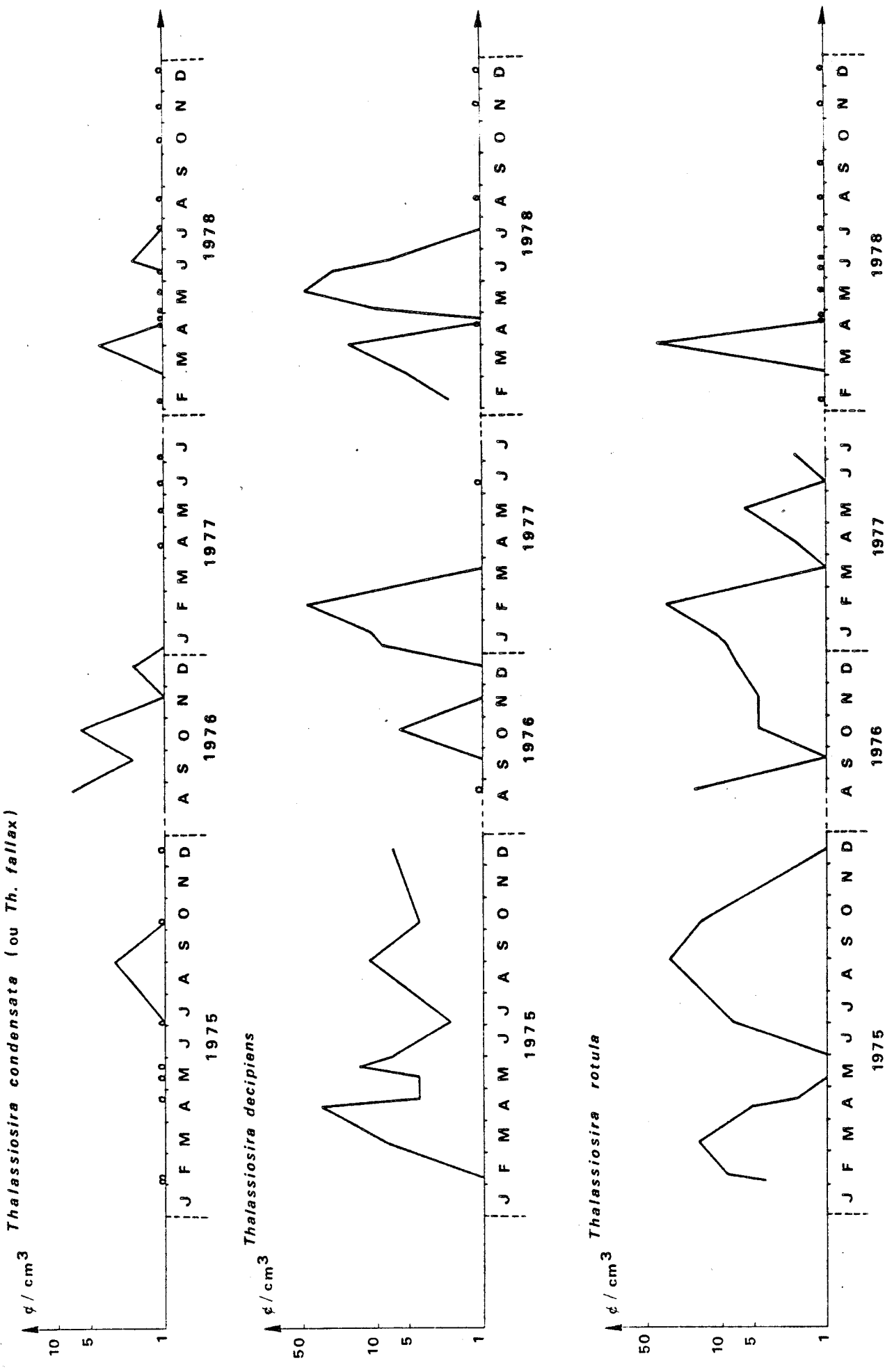
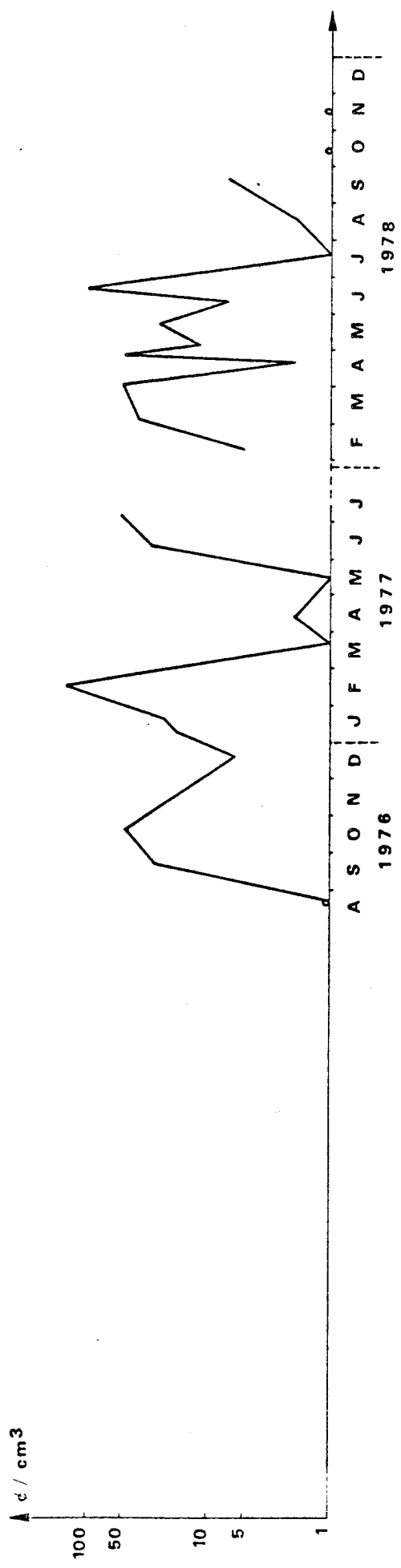


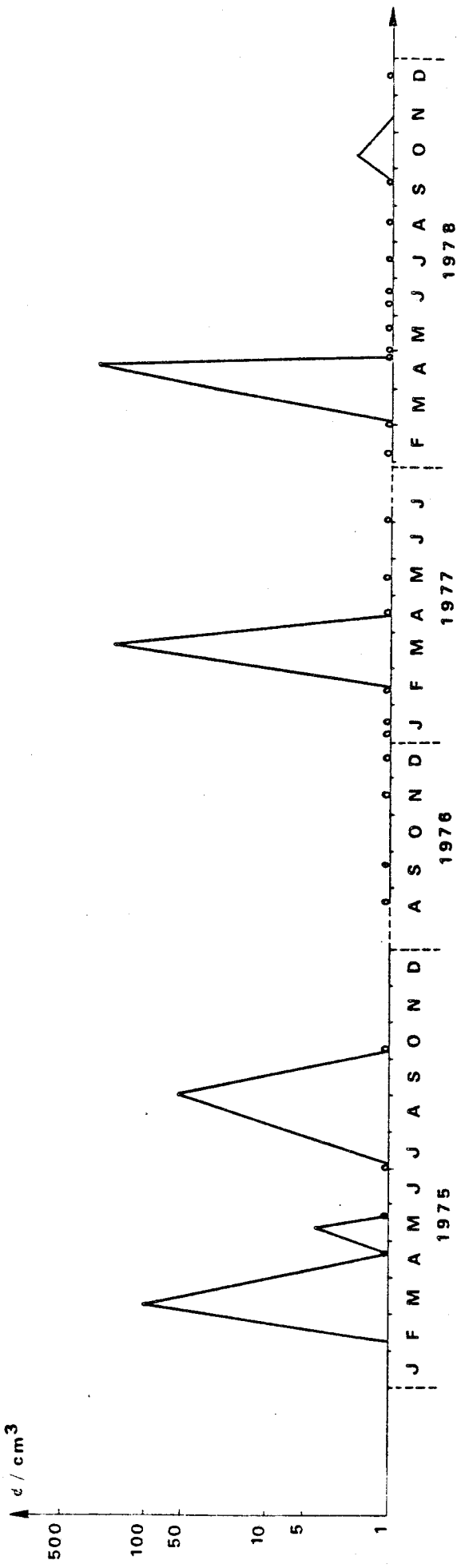
Fig. 55 - Variations des cellules du genre *Thalassiosira* à Gravelines.



Thalassiosira levanderi



Thalassiosira nordenskioldii



BUS
VILLE

Fig. 56 - Variations des cellules du genre *Thalassiosira* dans le port de Dunkerque.

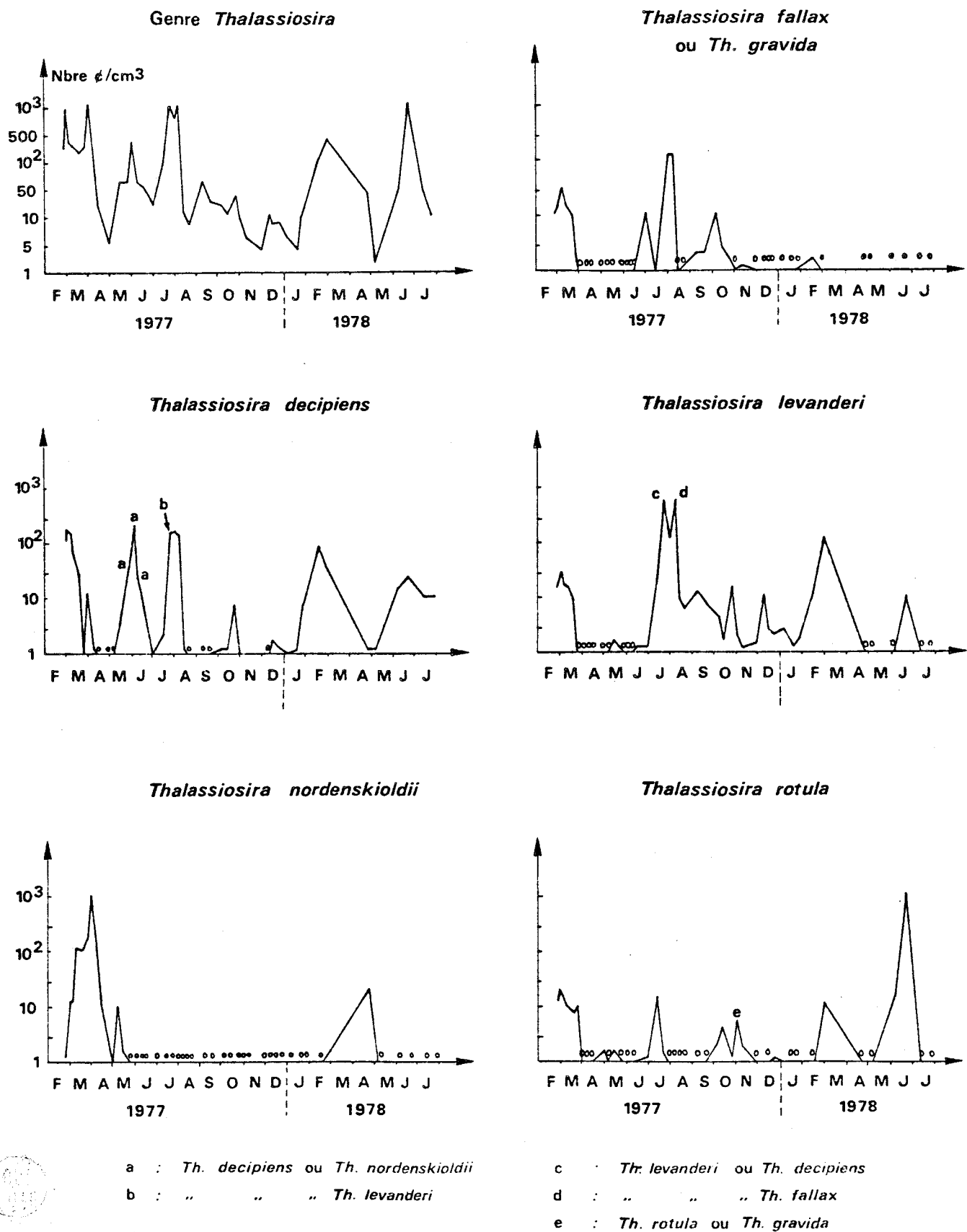


Fig. 57 - *Skeletonema costatum* à Gravelines.

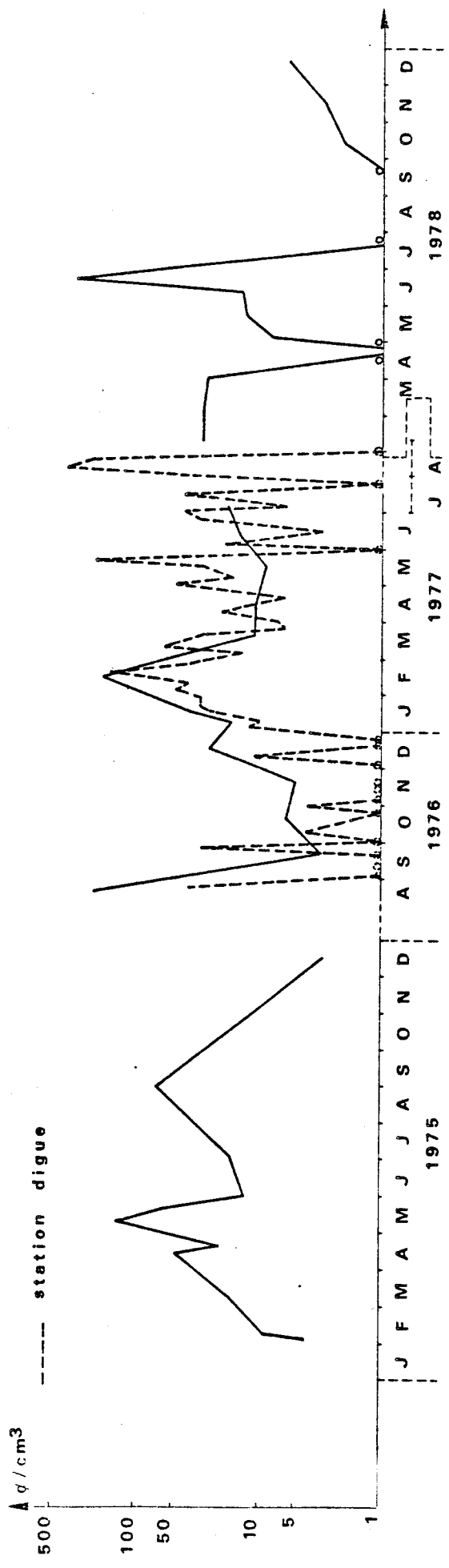
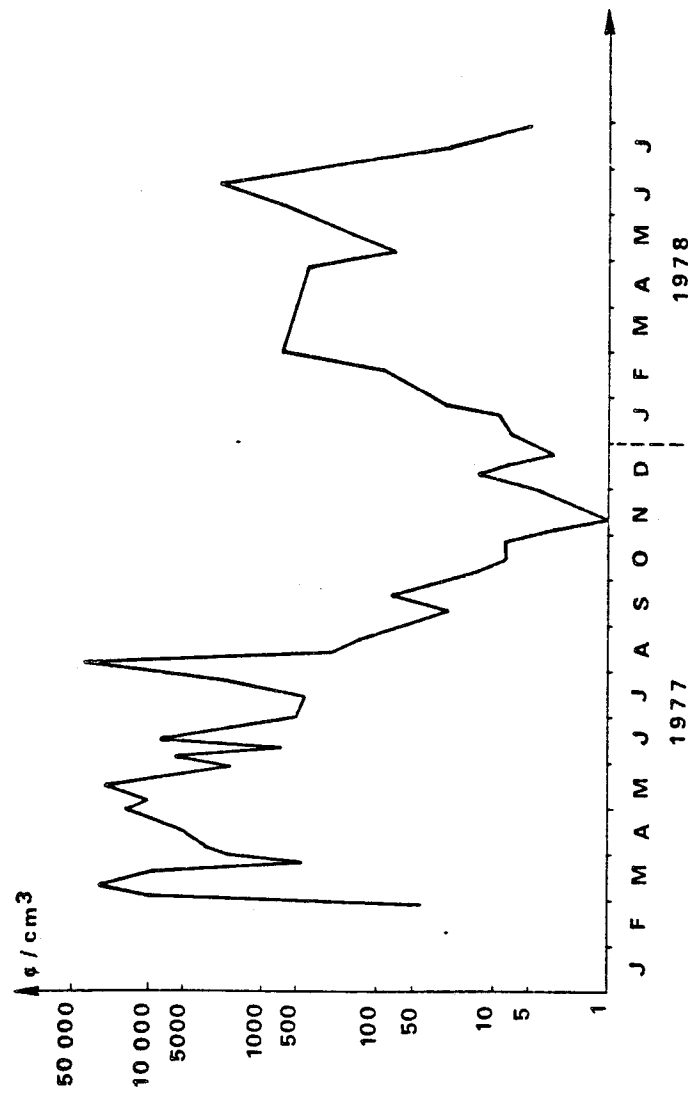


Fig. 58 - *Skeletonema costatum* dans le port de Dunkerque.



BUS
LILLE

Fig. 59 - Distribution spatiale de *Skeletonema costatum* (% de dominance).

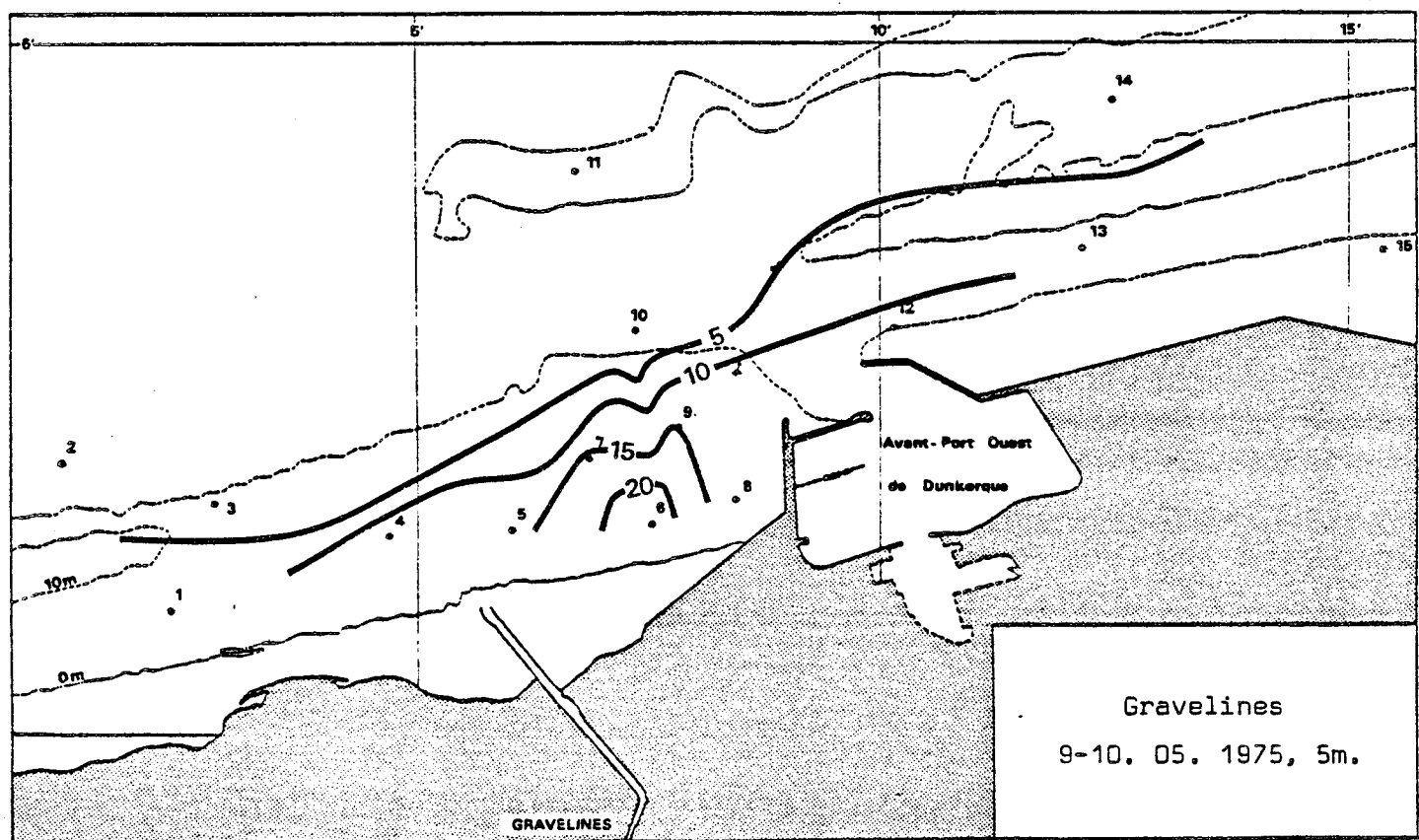
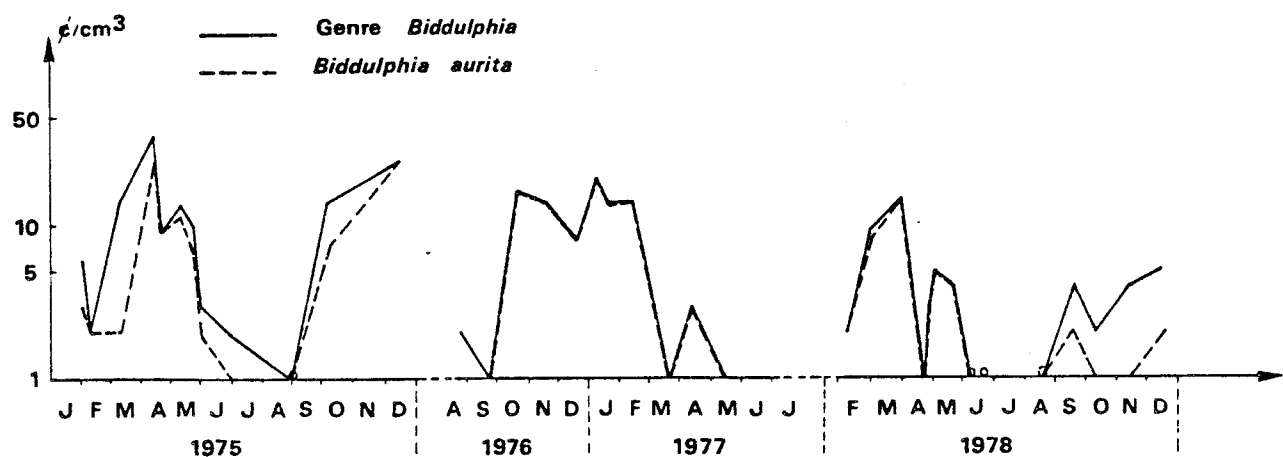


Fig. 60 - Genre *Biddulphia* à Gravelines.



BUS
VILLE

Fig. 61 - *Cerataulina pelagica* à Gravelines.

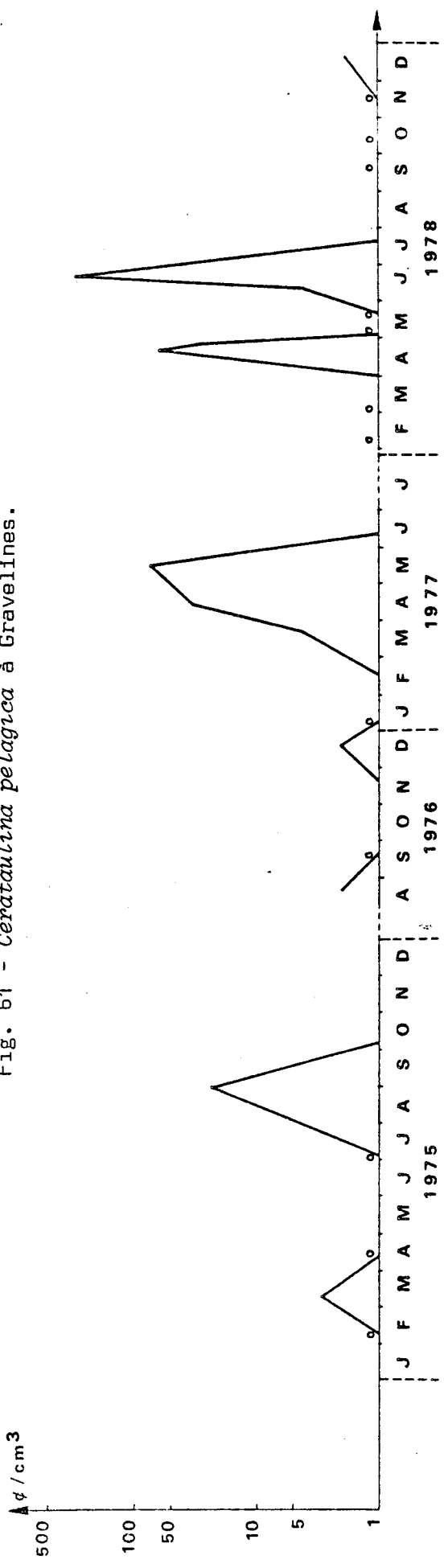
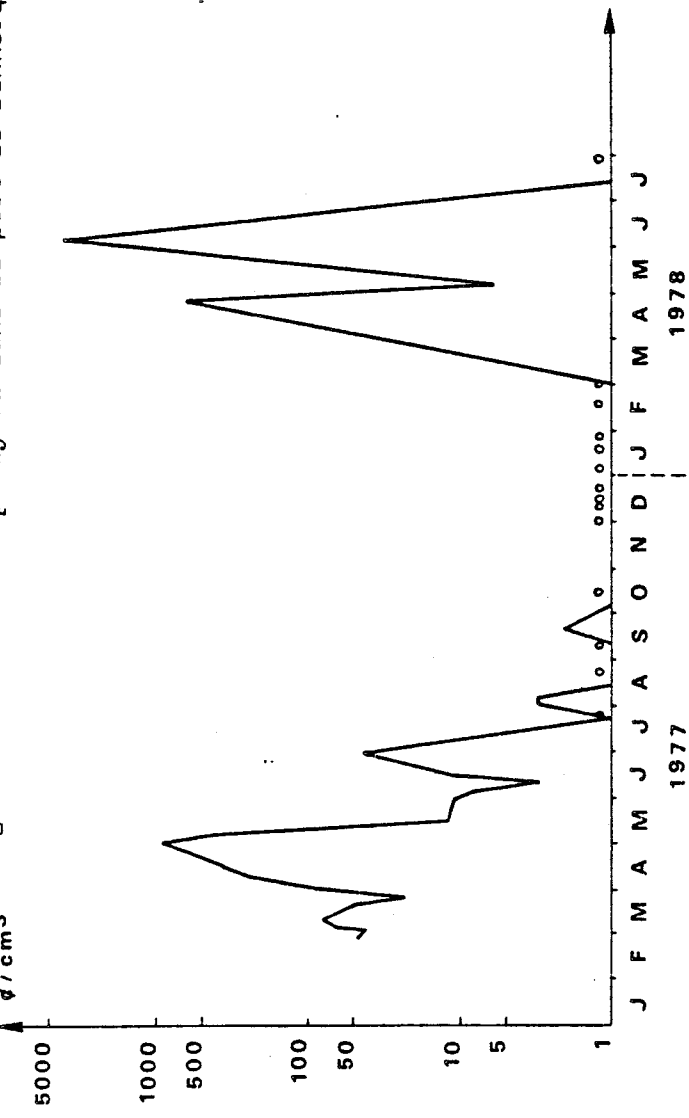


Fig. 62 - *Cerataulina pelagica* dans le port de Dunkerque.



BUS
LILLE

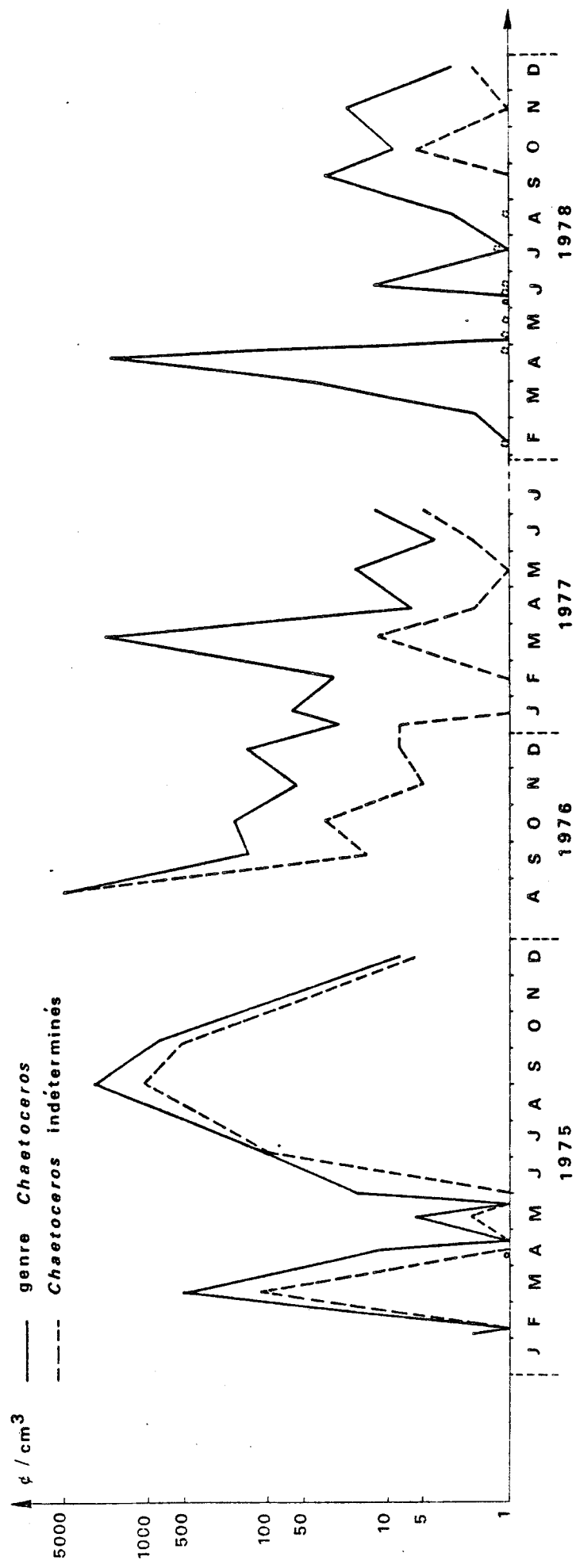
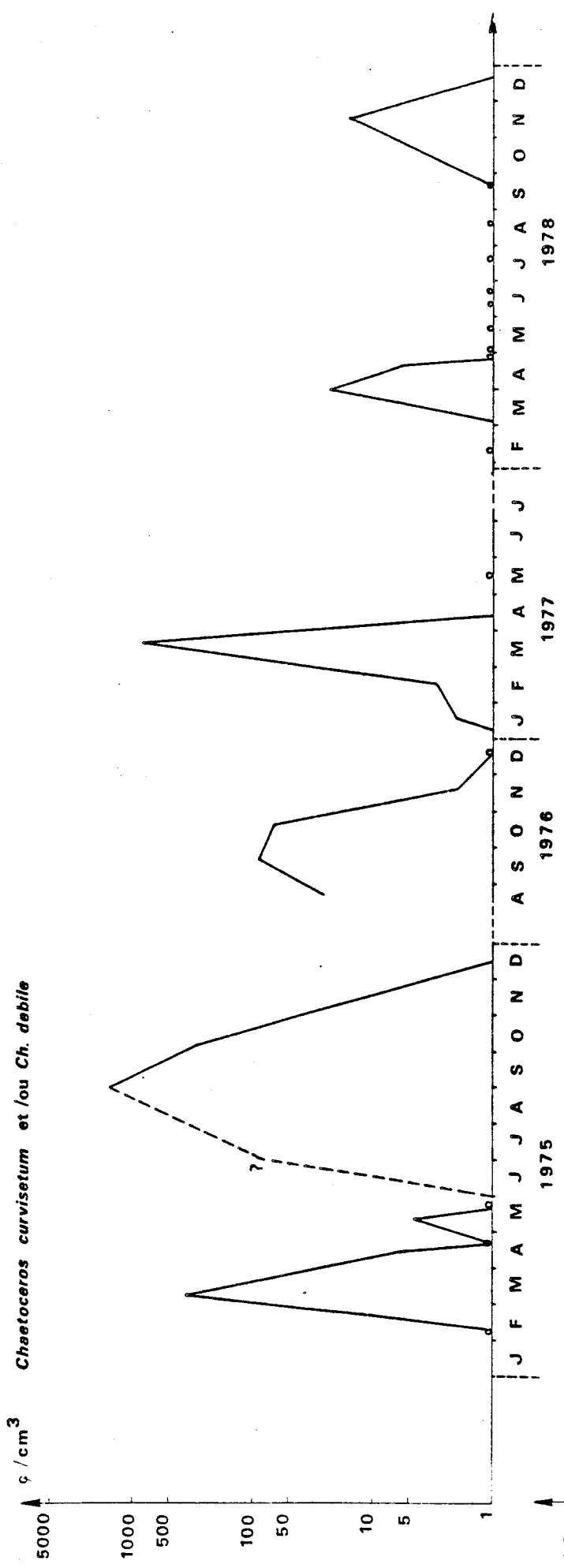
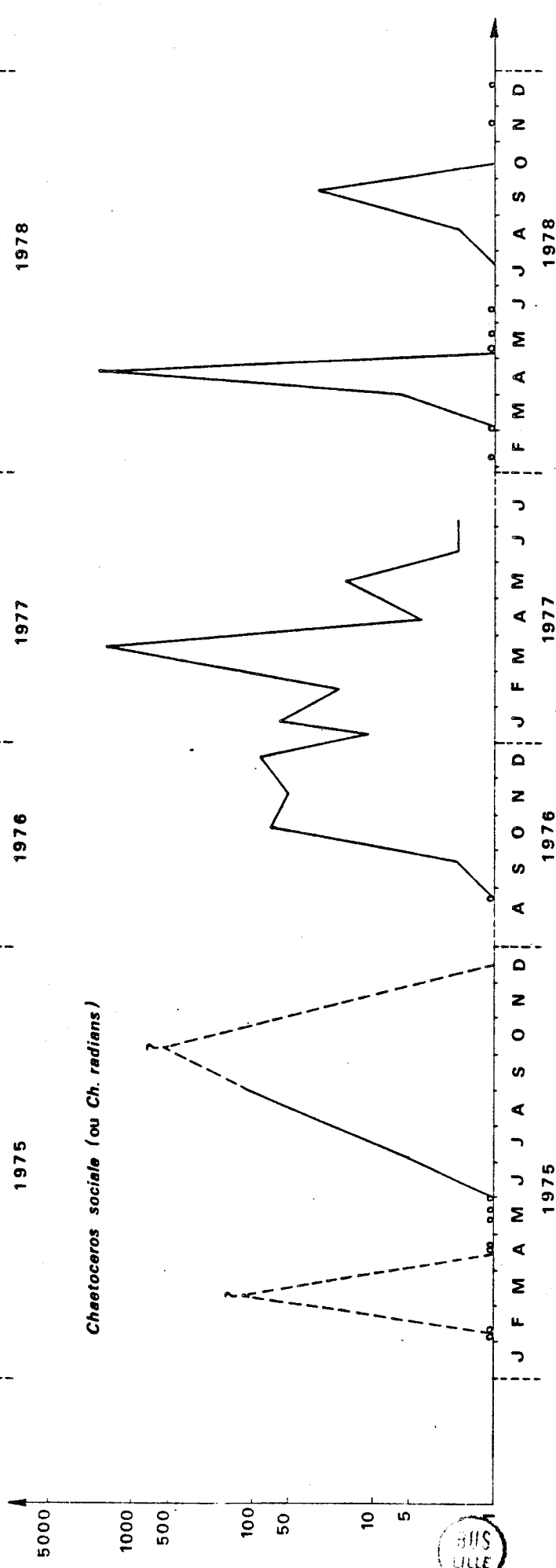


Fig. 63 - Variations des cellules du genre *Chaetoceros* à Gravelines.

Chaetoceros curvisetum et /ou *Ch. débile*



Chaetoceros sociale (ou *Ch. radians*)



B115
B116

Fig. 64 - Variations des cellules du genre *Chaetoceros* dans le port de Dunkerque.

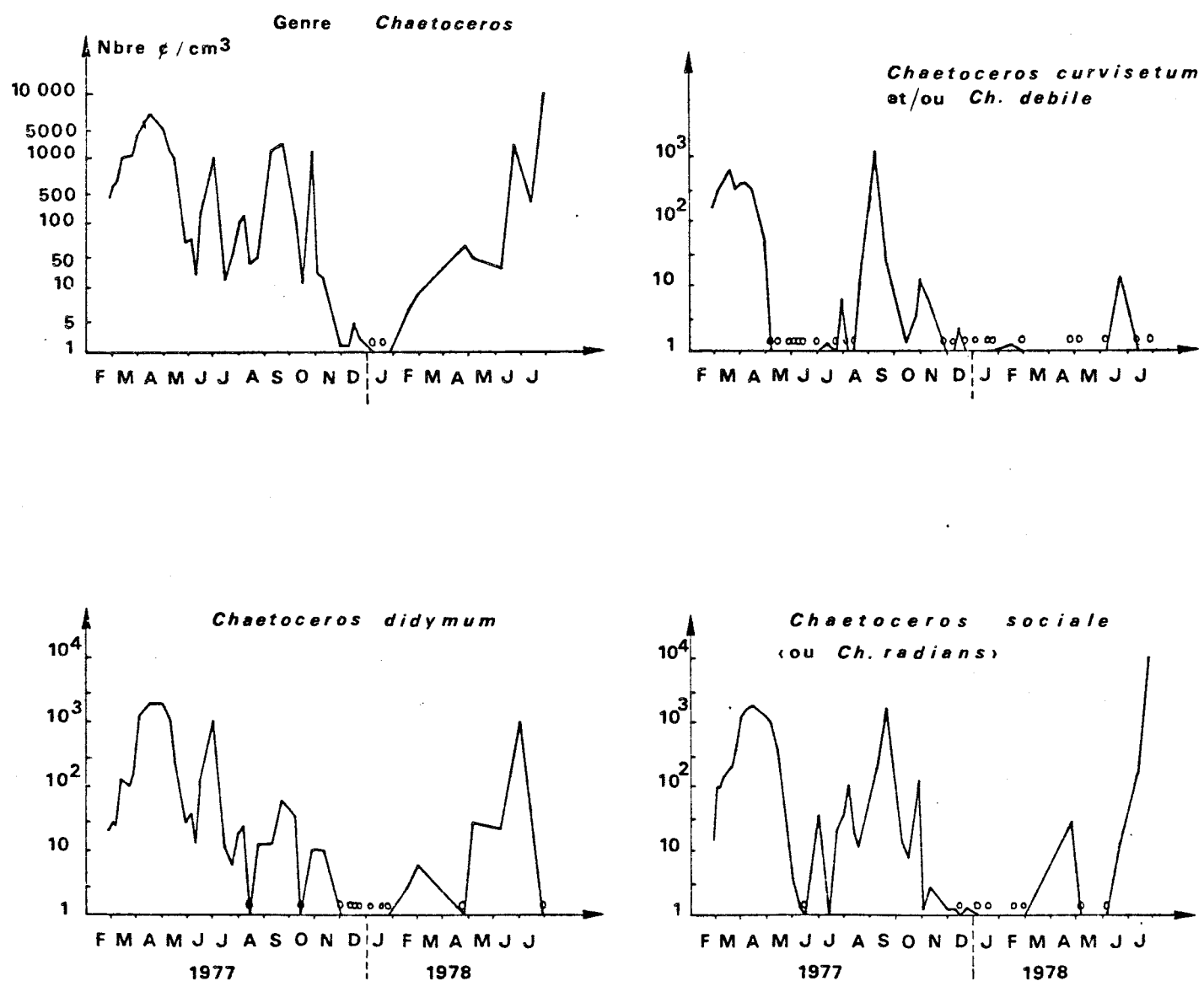


Fig. 65 - Distribution spatiale de *Chaetoceros curvisetum* + *Chaet. debile*
(% de dominance).

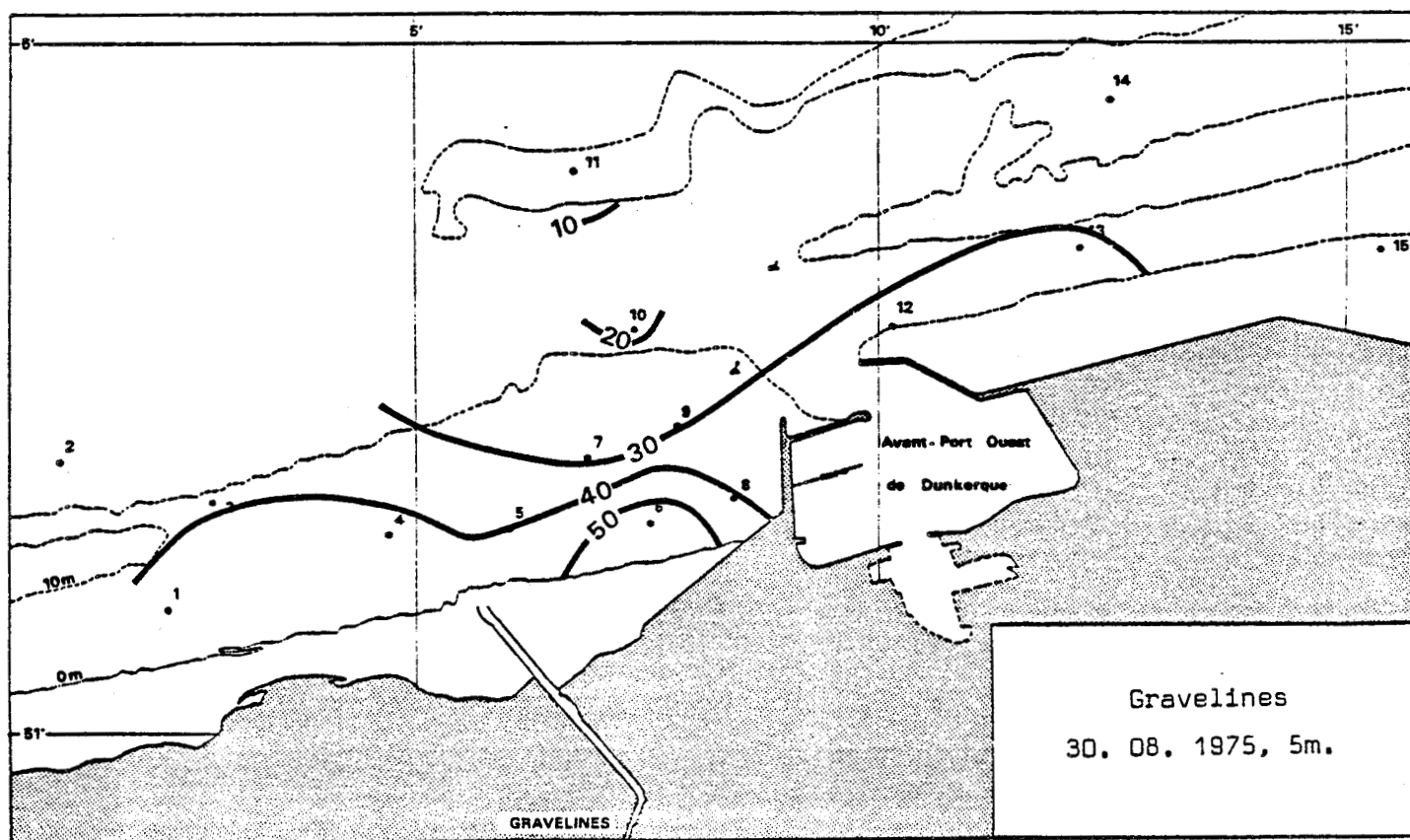
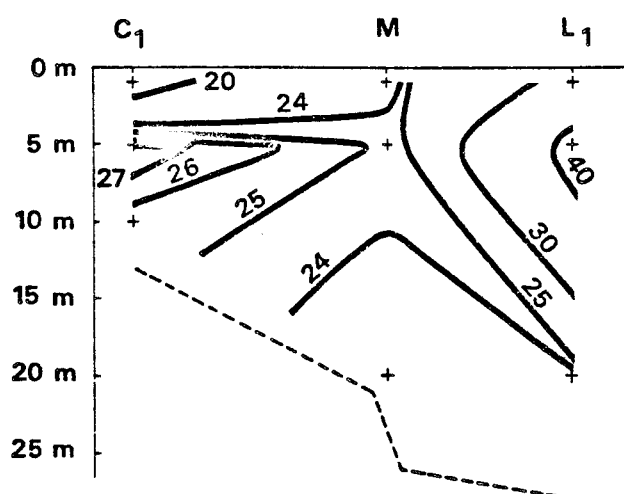


Fig.66 - Répartition de deux espèces dominantes à Gravelines le 19.03.1977
 (% de dominance / nombre total de cellules).

Chaetoceros curvisetum + Ch. debile



Chaetoceros sociale (ou Ch. radians)

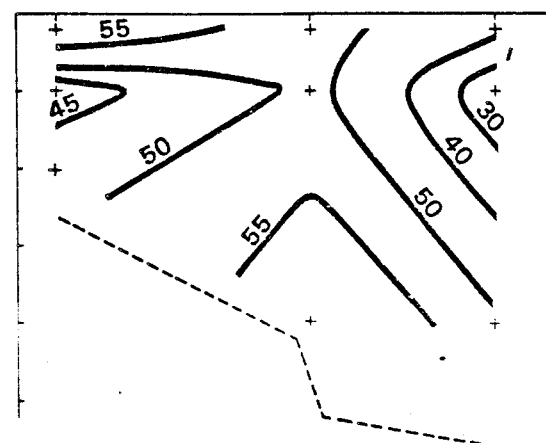


Fig. 67 - *Leptocylindrus danicus* à Gravelines.

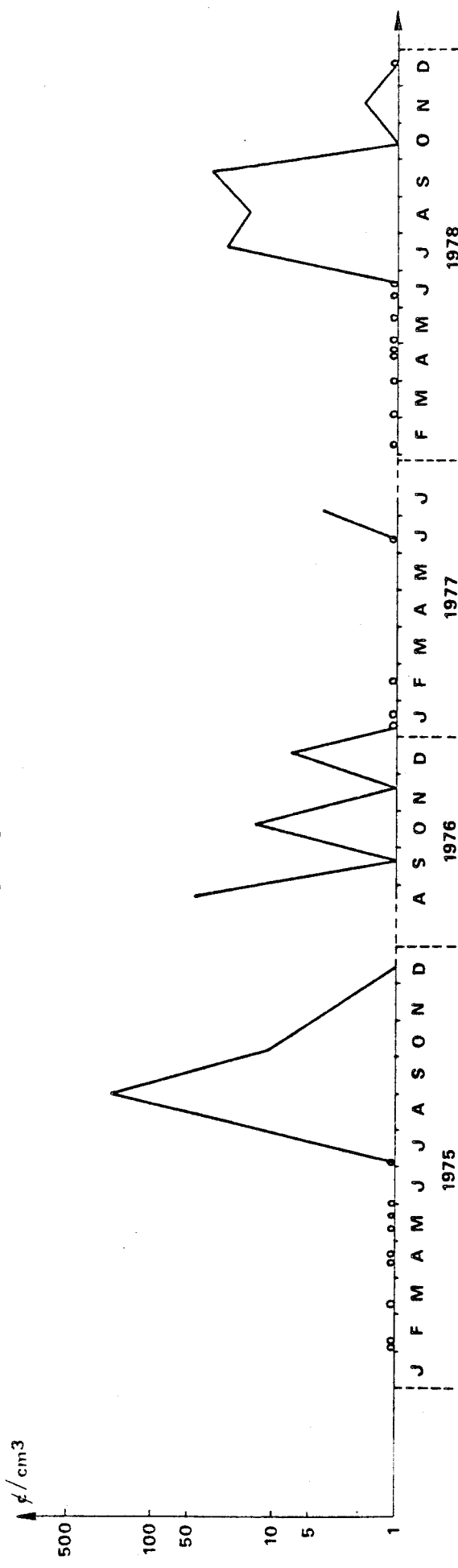
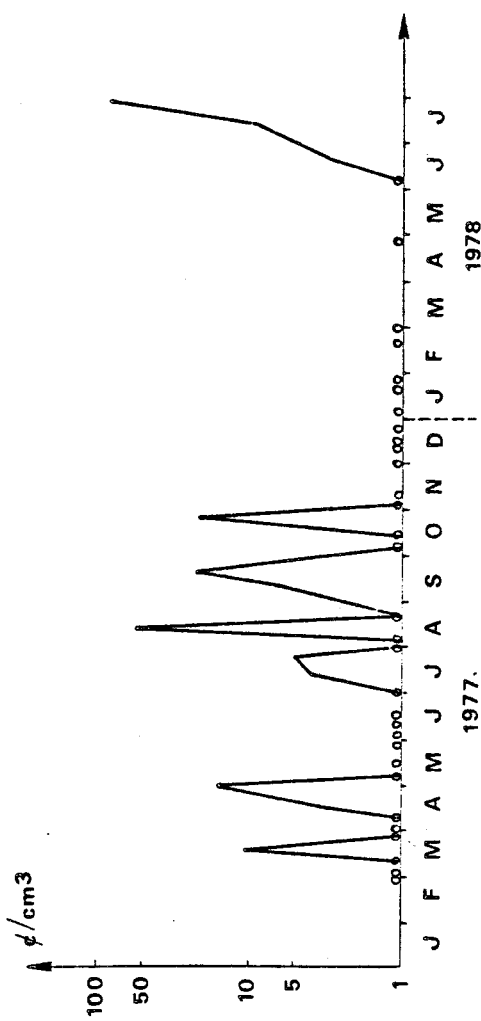
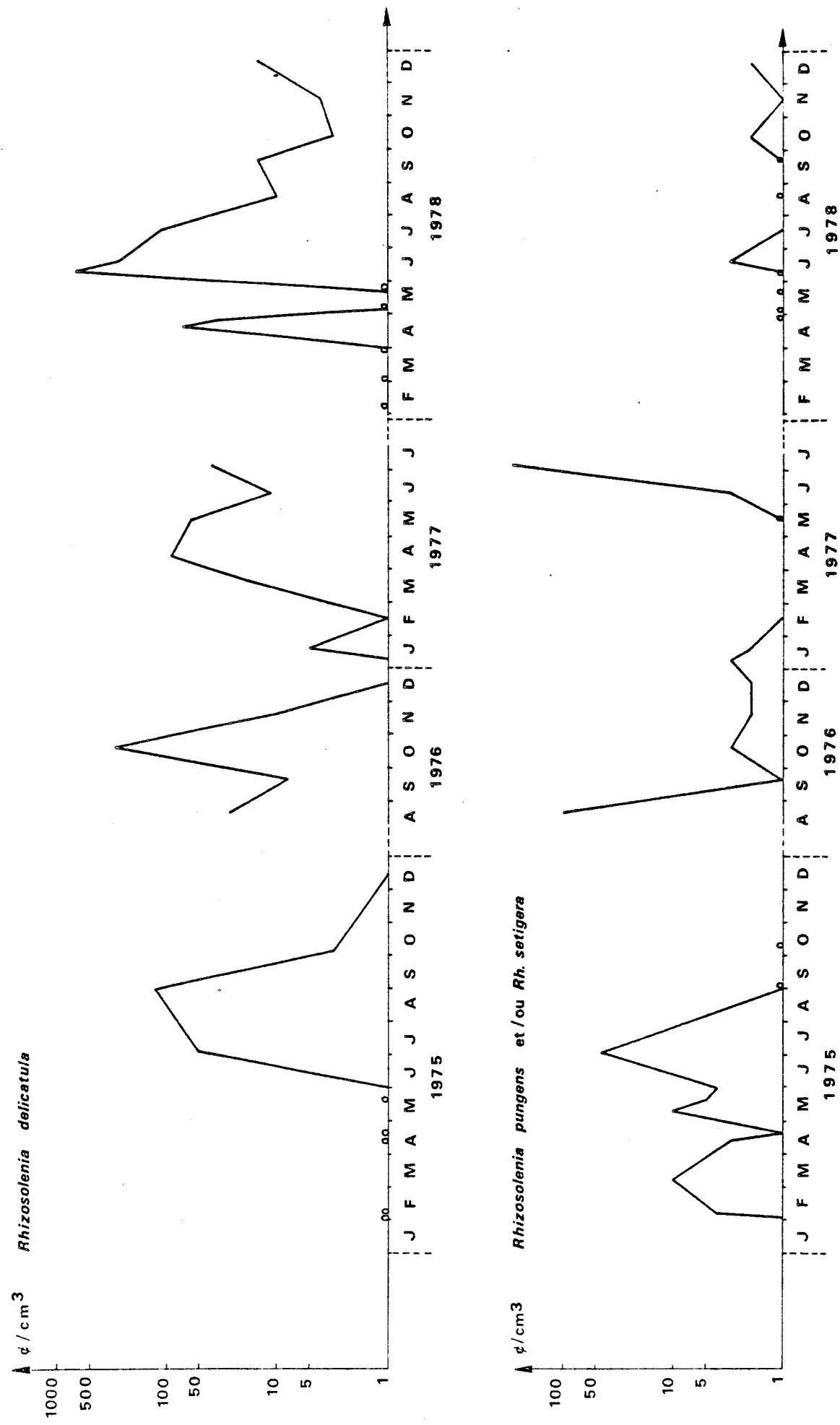


Fig. 68 - *Leptocylindrus danicus* dans le port de Dunkerque.

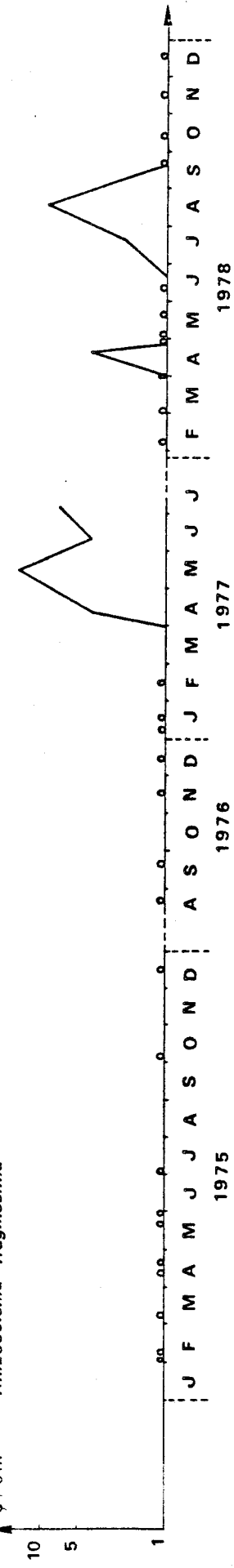


BUS
LILLE

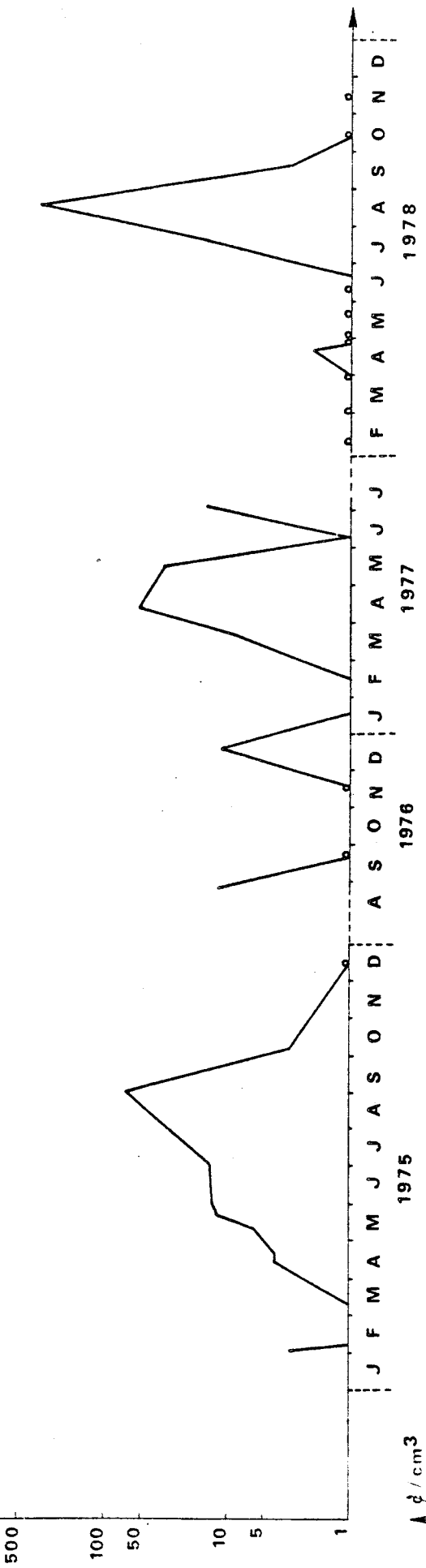
Fig. 69 - Variations des cellules du genre *Rhizosolenia* à Gravelines.



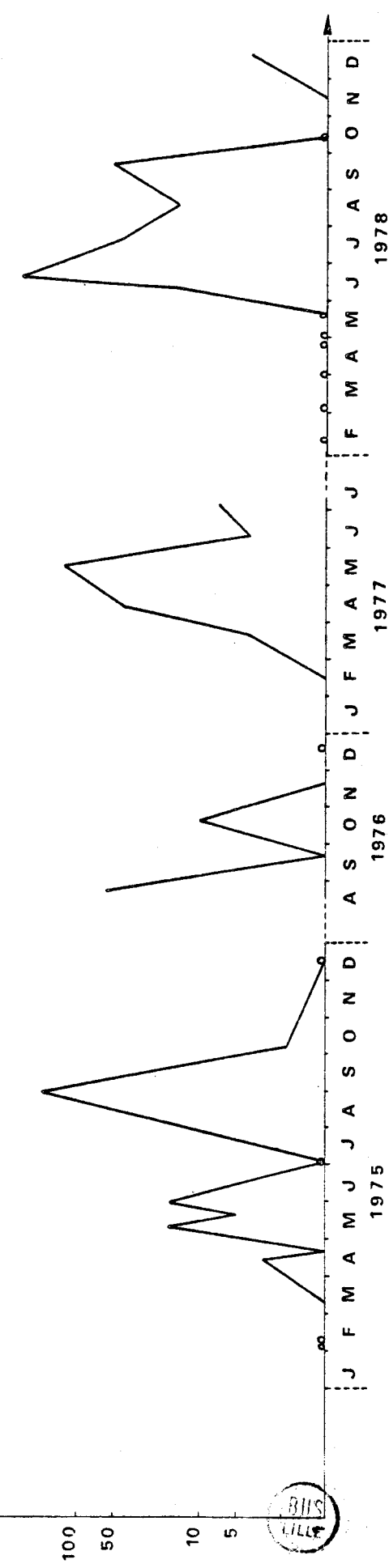
φ / cm^3 *Rhizosolenia fragilissima*



φ / cm^3 *Rhizosolenia shrubsolei*



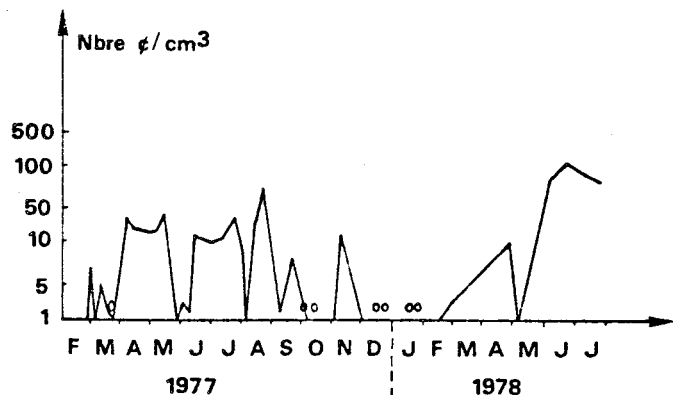
φ / cm^3 *Rhizosolenia stolterfothii*



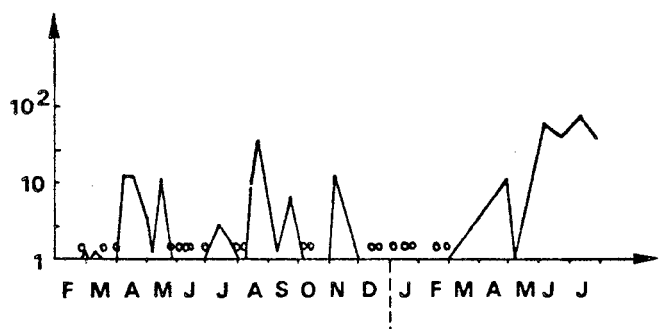
BHS
LIL

Fig. 70 - Variations des cellules du genre *Rhizosolenia* dans le port de Dunkerque.

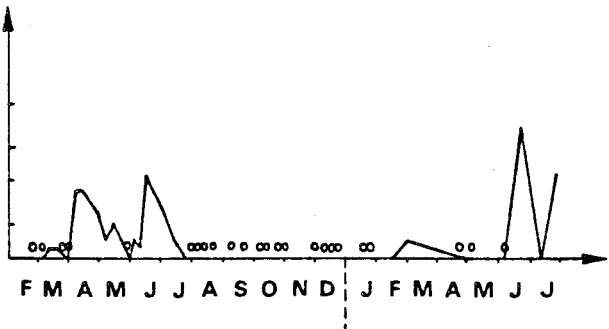
Genre *Rhizosolenia*



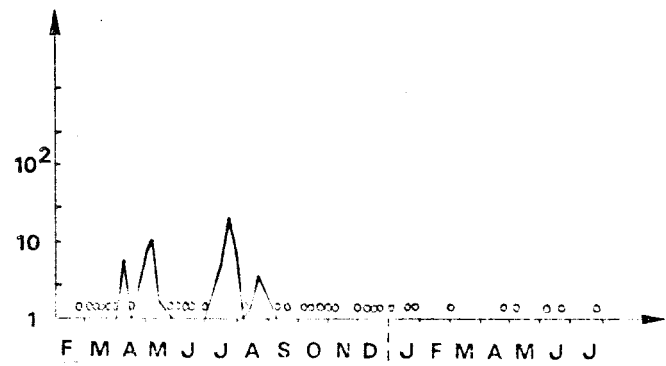
Rhizosolenia delicatula



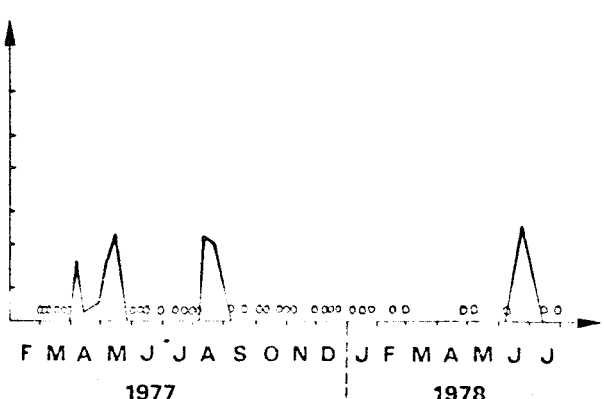
***Rhizosolenia pungens*
+ *Rh. setigera***



Rhizosolenia shrubsolei



Rhizosolenia stolterfothii



BB
MUSEE

Fig. 71 - Genre *Rhizosolenia* à Gravelines.

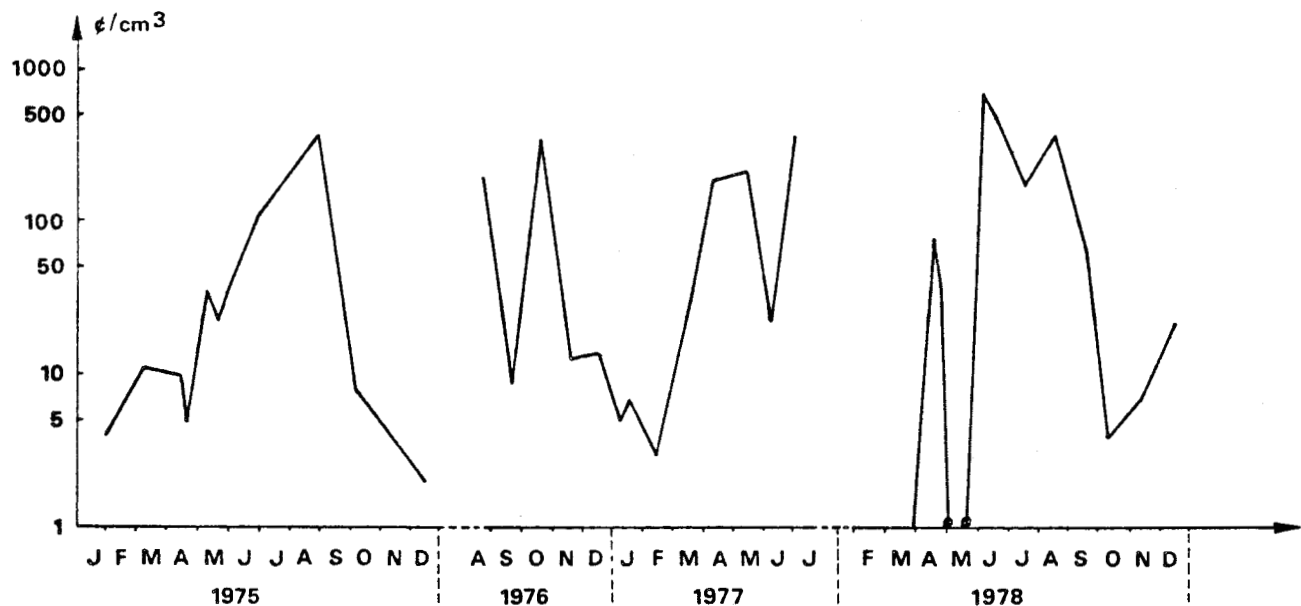


Fig. 72 - Distribution de *Rhizosolenia delicatula* (nbre de cellules / cm^3) à Gravelines.

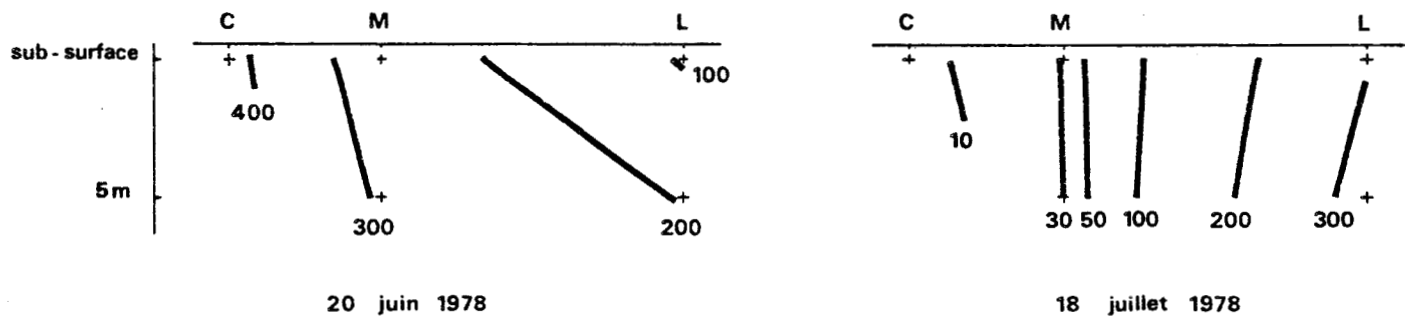
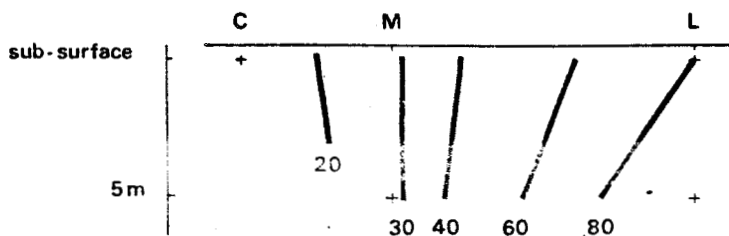


Fig. 73 - Distribution de *Rhizosolenia stolterfothii* à Gravelines le 18 juillet 1978.
(nbre de cellules / cm^3)



BHS
LILLE

Fig. 74 - "Fragilaria" à Gravelines.

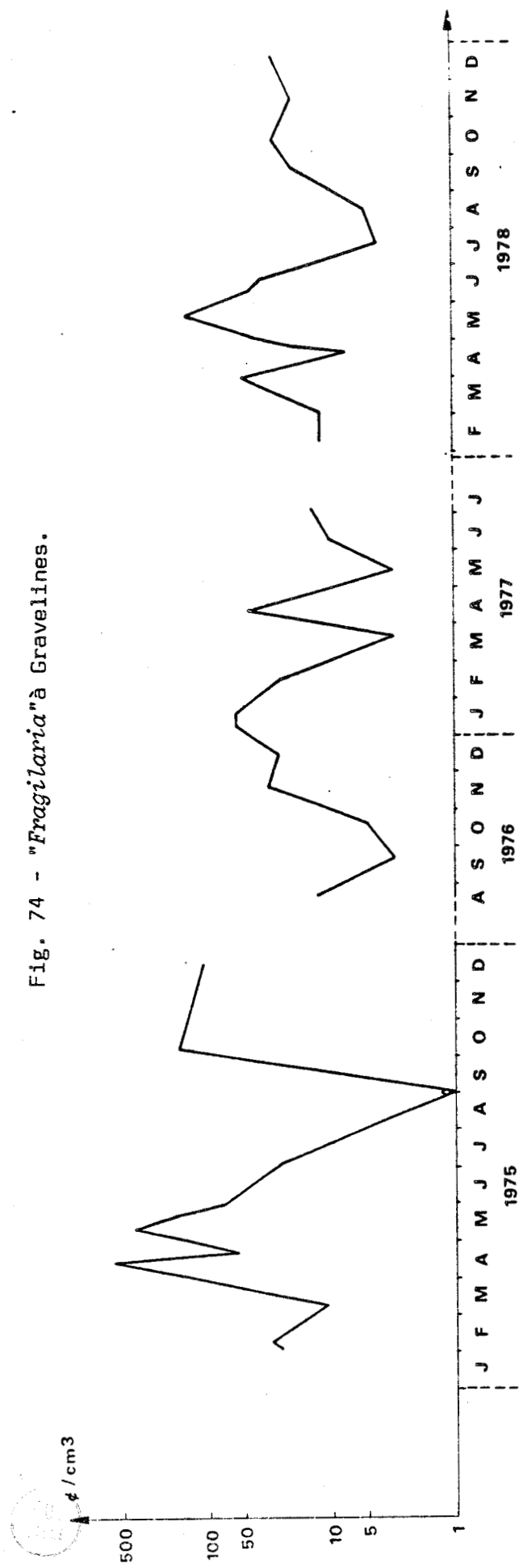


Fig. 75 - "Fragilaria" dans le port de Dunkerque.

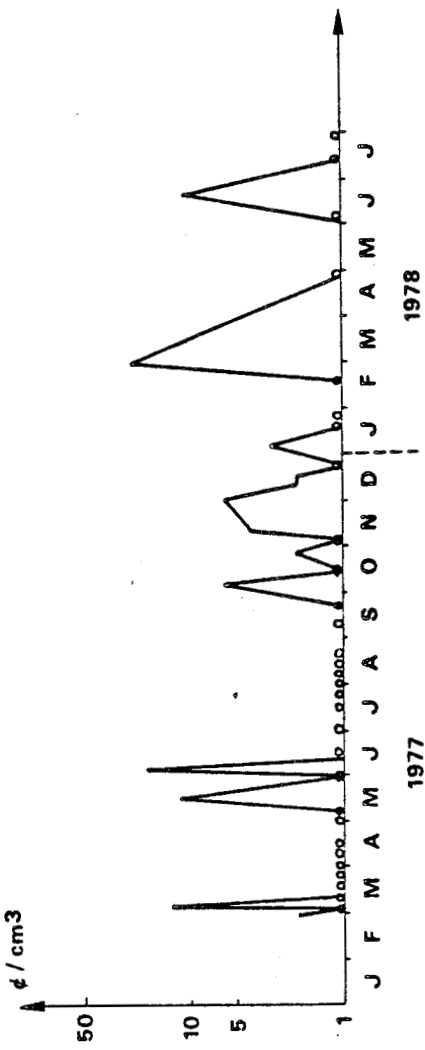
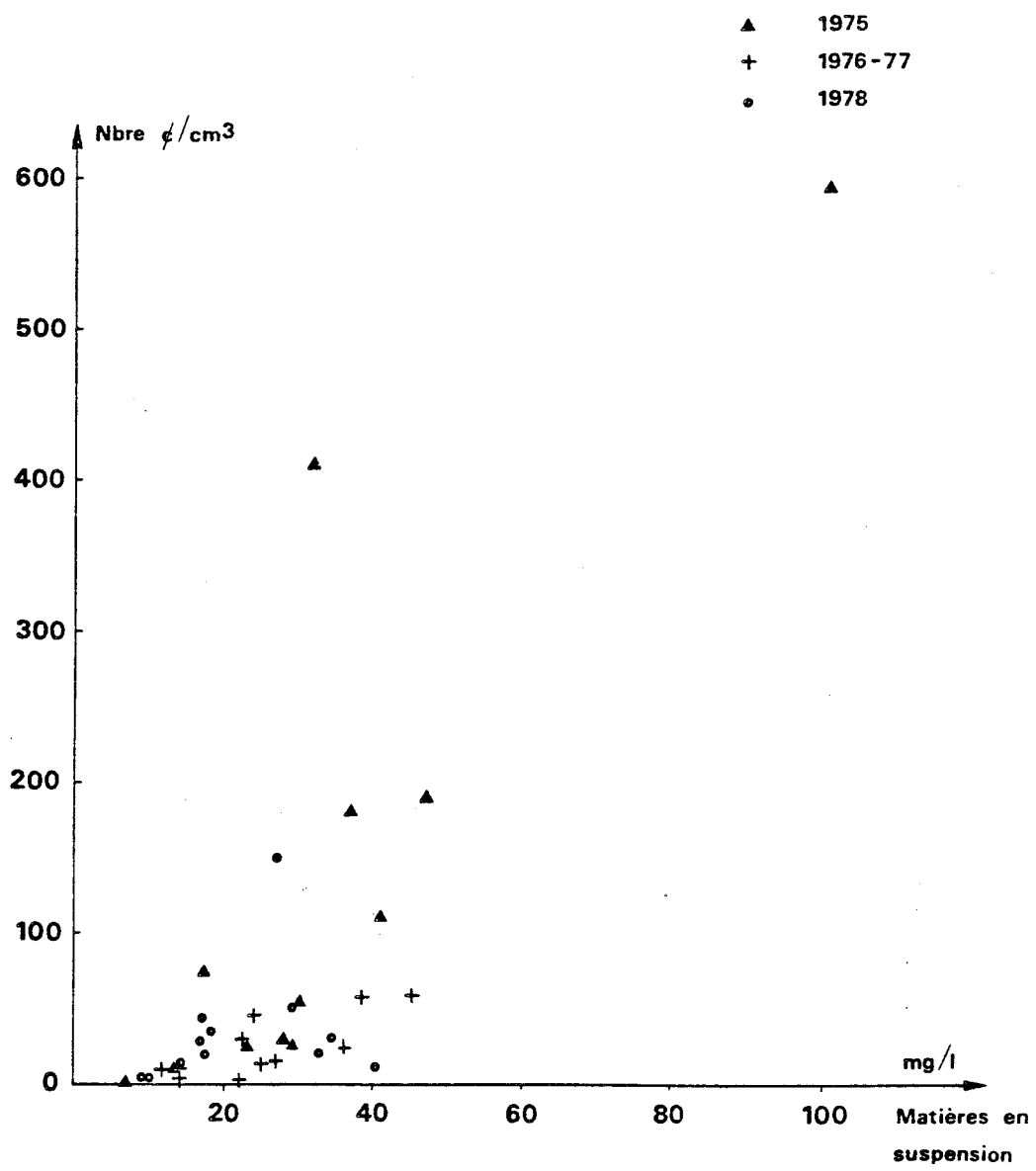


Fig. 76 - Quantités de cellules de "Fragilaria" en fonction
de la turbidité à Gravelines.



305
VILLE

Fig. 77 - Genre *Raphoneis* à Gravelines.

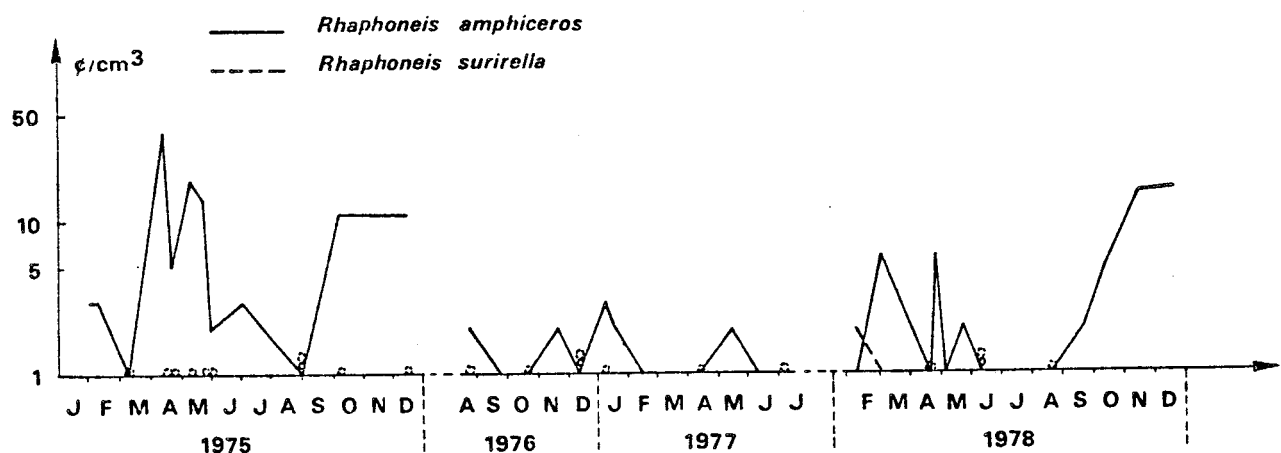
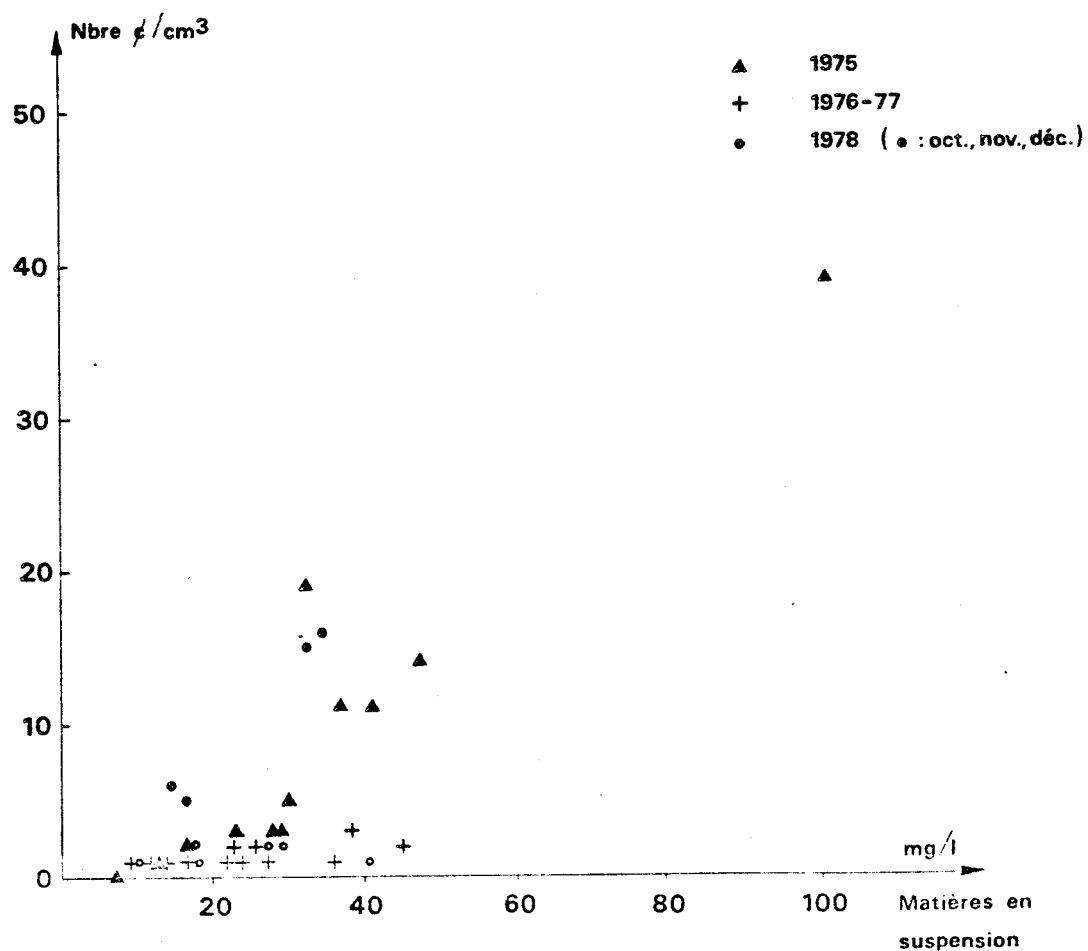


Fig. 78 - Abondance de *Raphoneis amphiceros* en fonction de la turbidité à Gravelines.



BIB
LILLE

Fig. 79 - *Asterionella japonica* à Gravelines.

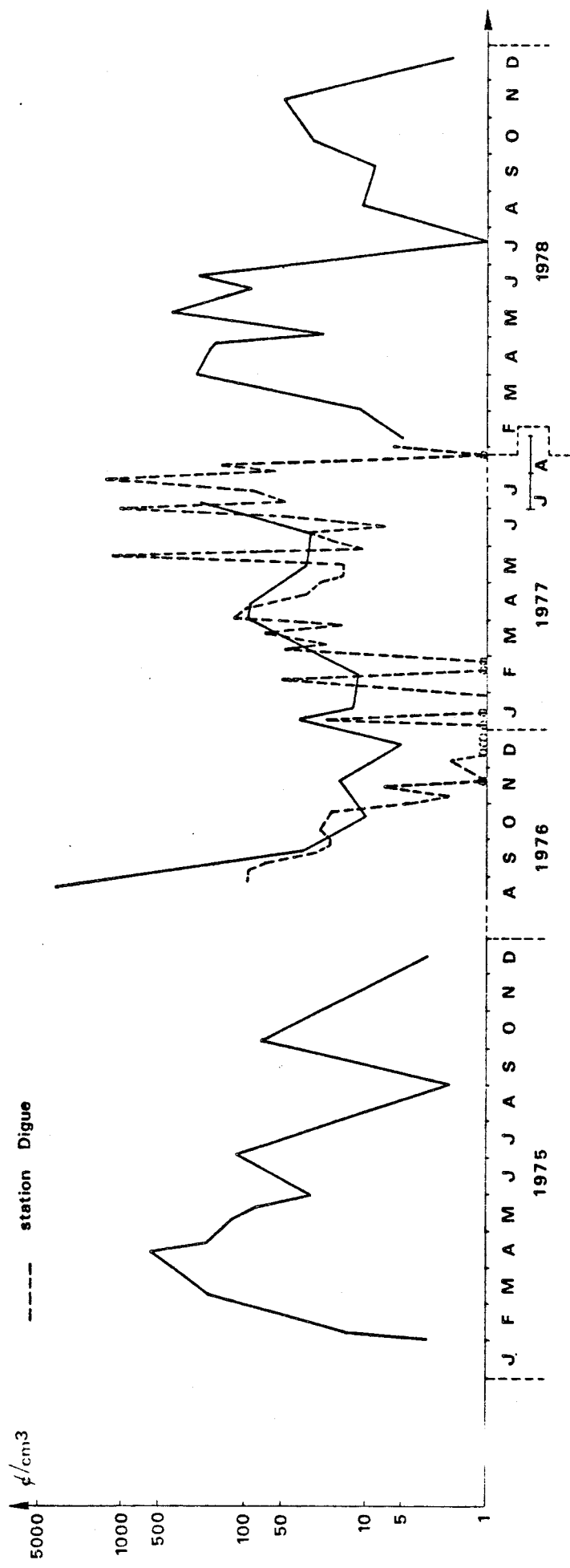
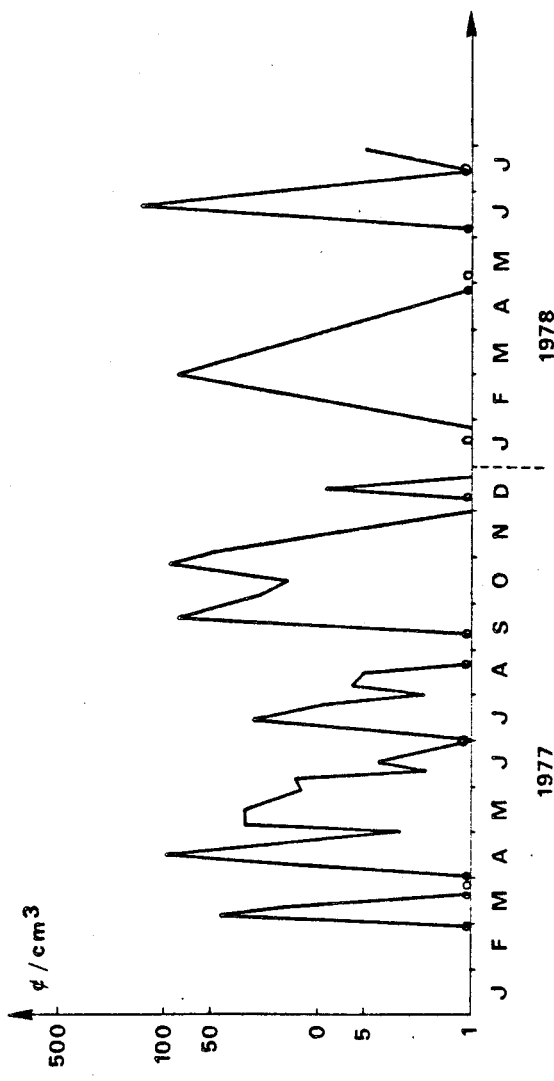


Fig. 80 - *Asterionella japonica* dans le port de Dunkerque.



BUS
LILLE

Fig. 81 - Distribution spatiale d'*Asterionella japonica*
(nbre de cellules / cm^3) à Gravelines en 1978.

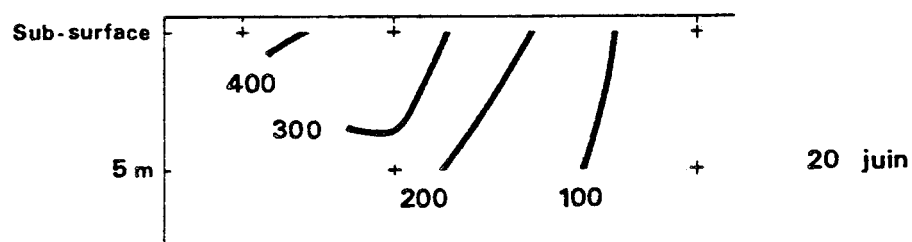
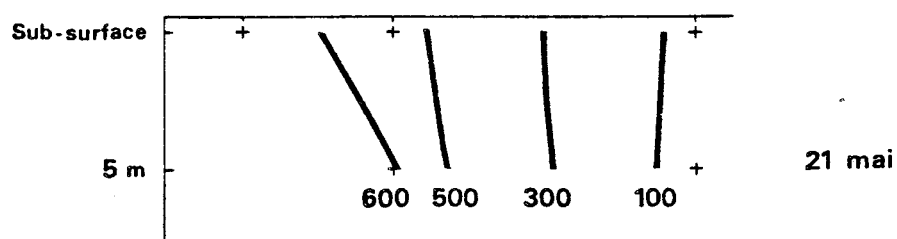
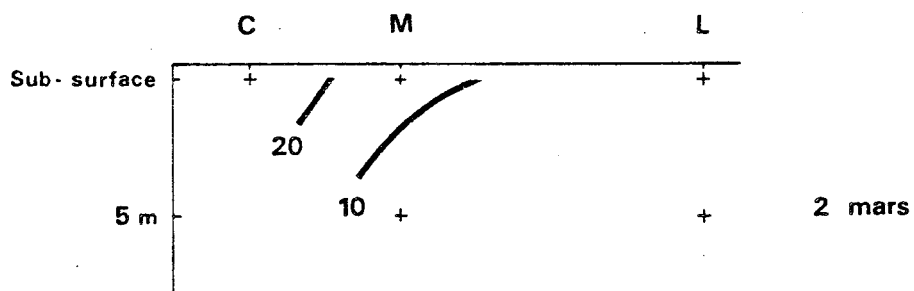


Fig. 82 Genre *Navicula* à Gravelines.

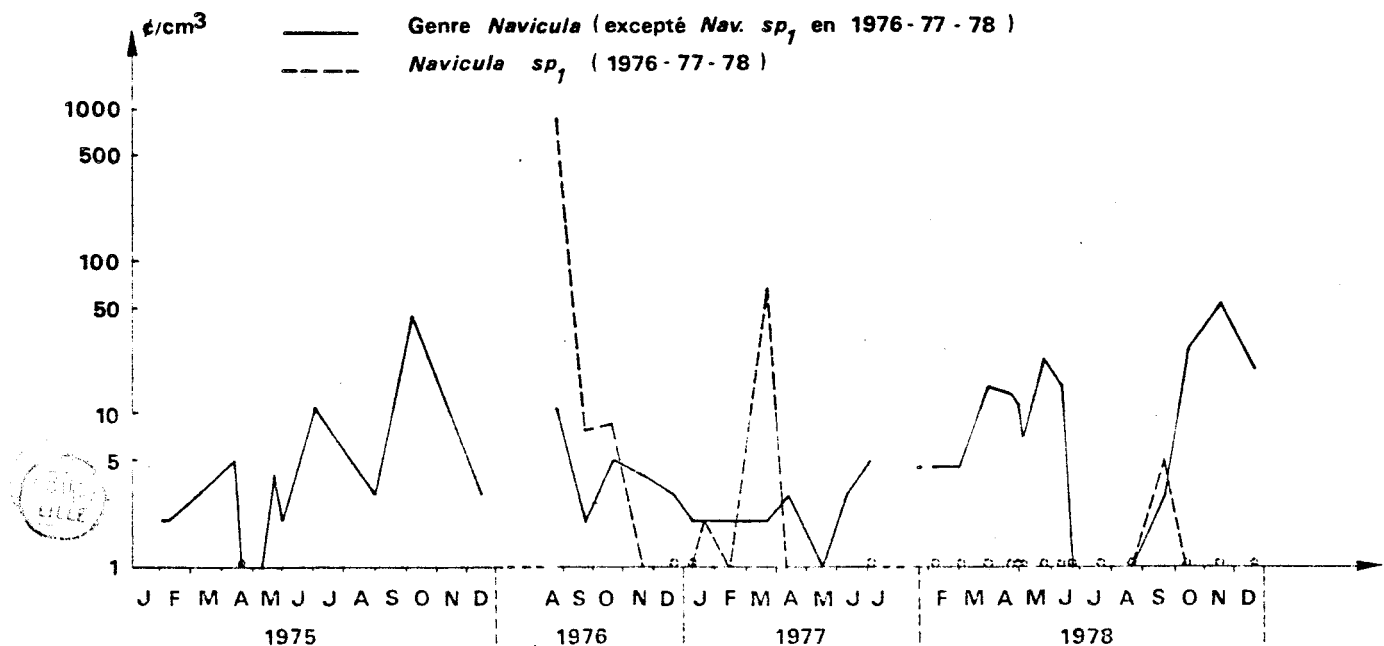


Fig. 83 - *Thalassionema nitzschioïdes* à Gravelines.

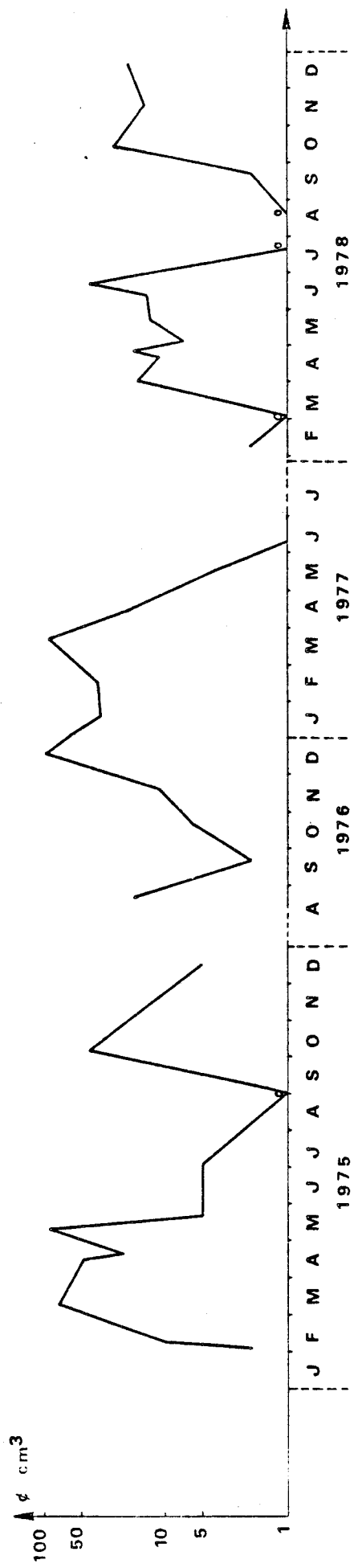
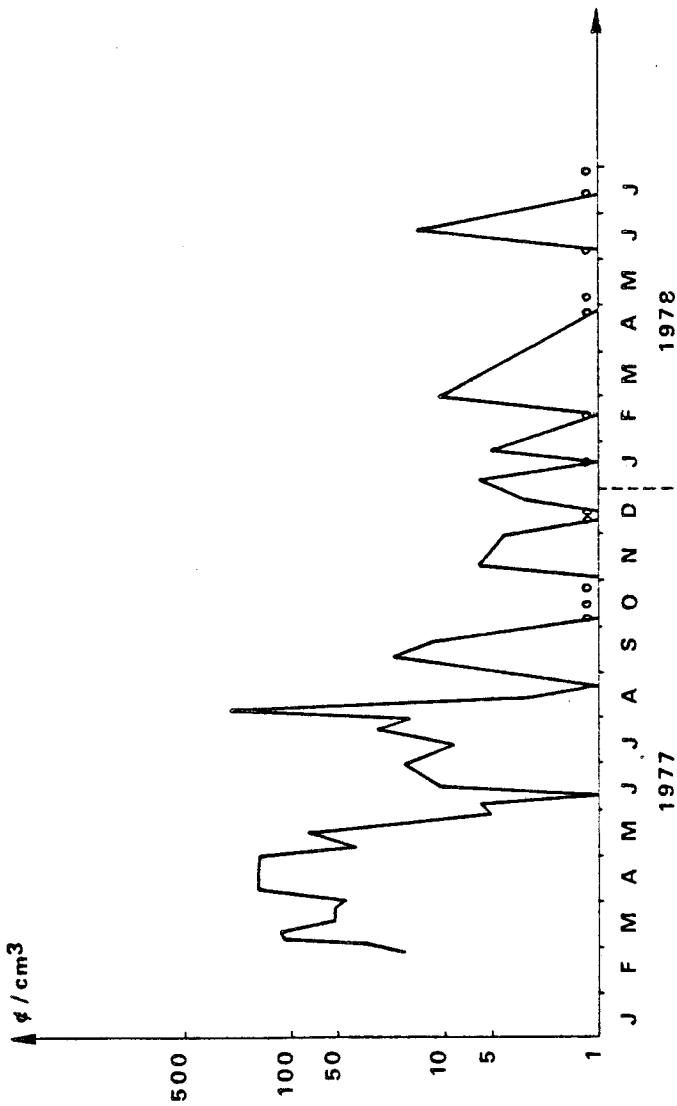
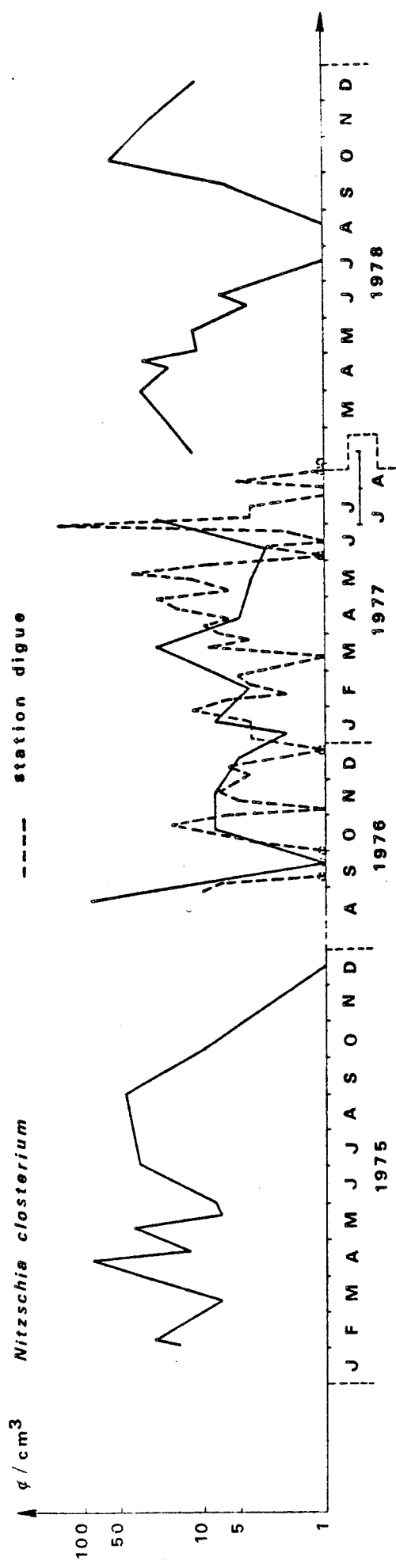
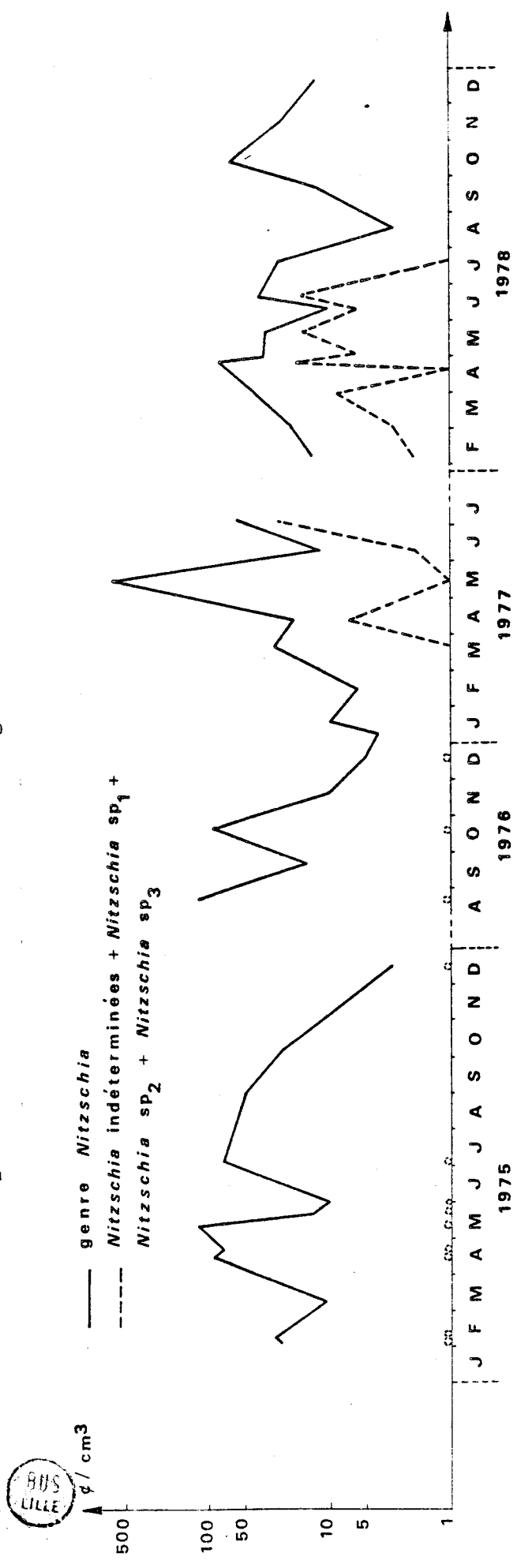


Fig. 84 - *Thalassionema nitzschioïdes* dans le port de Dunkerque.

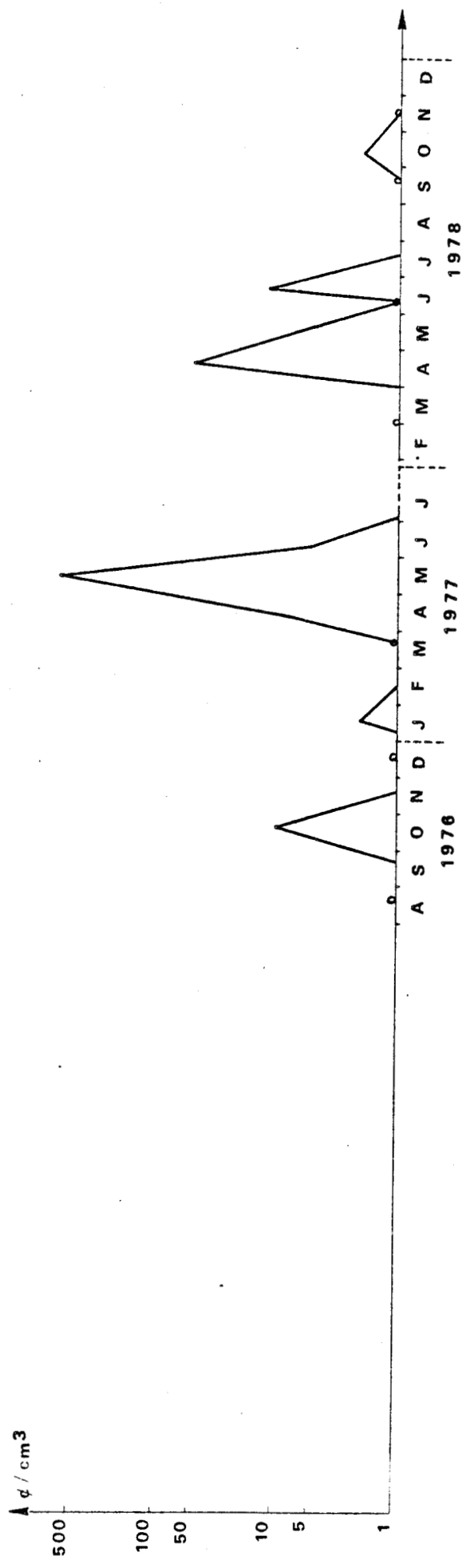


BUS
LILLE

Fig. 85 - Variations des cellules du genre *Mitsschia* à Gravelines.



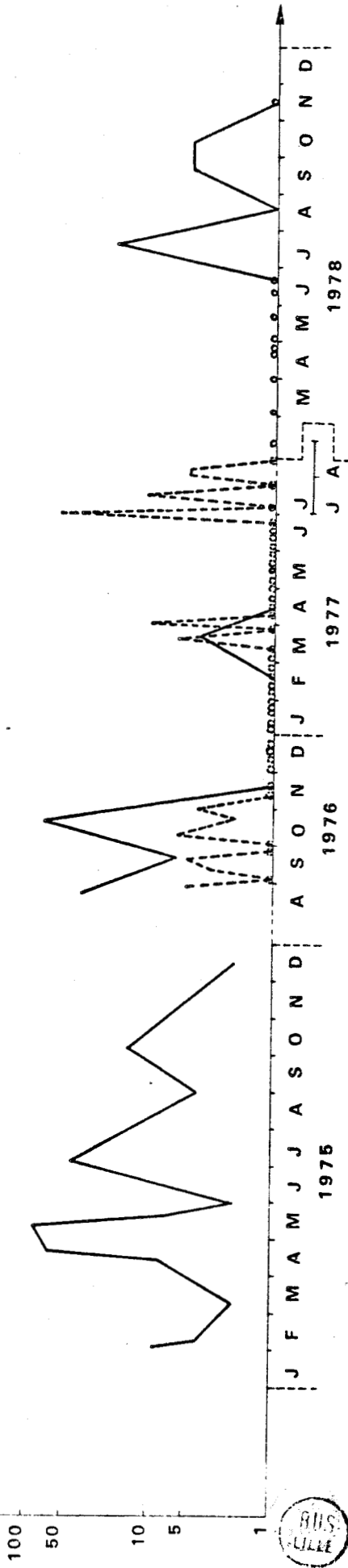
Nitzschia delicatissima



Nitzschia seriata (1976-77-78)



station digue



BUS
LILLE

Fig. 86 - Variations des cellules du genre *Nitzschia* dans le port de Dunkerque.

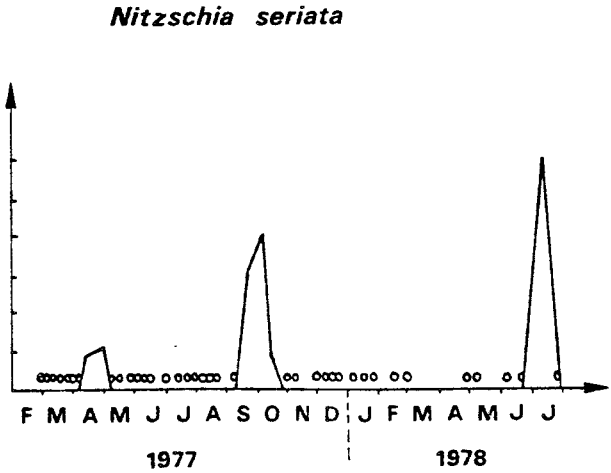
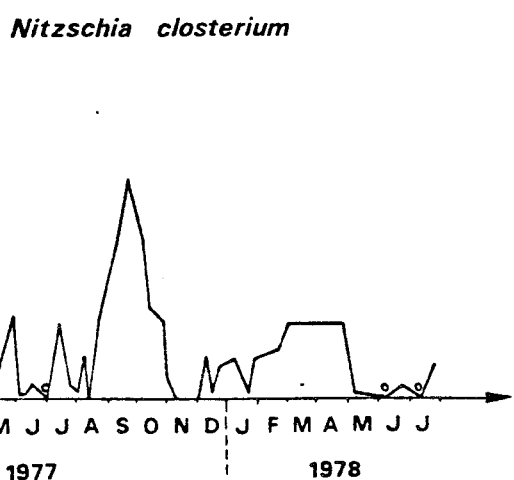
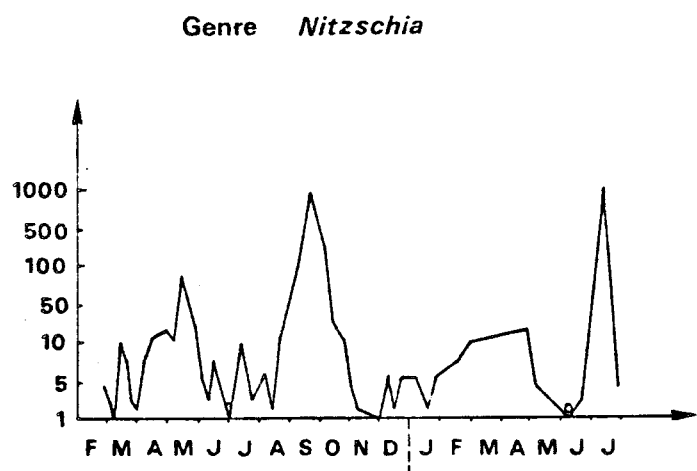


Fig. 87 - Distribution spatiale de *Nitzschia closterium* (% de dominance).

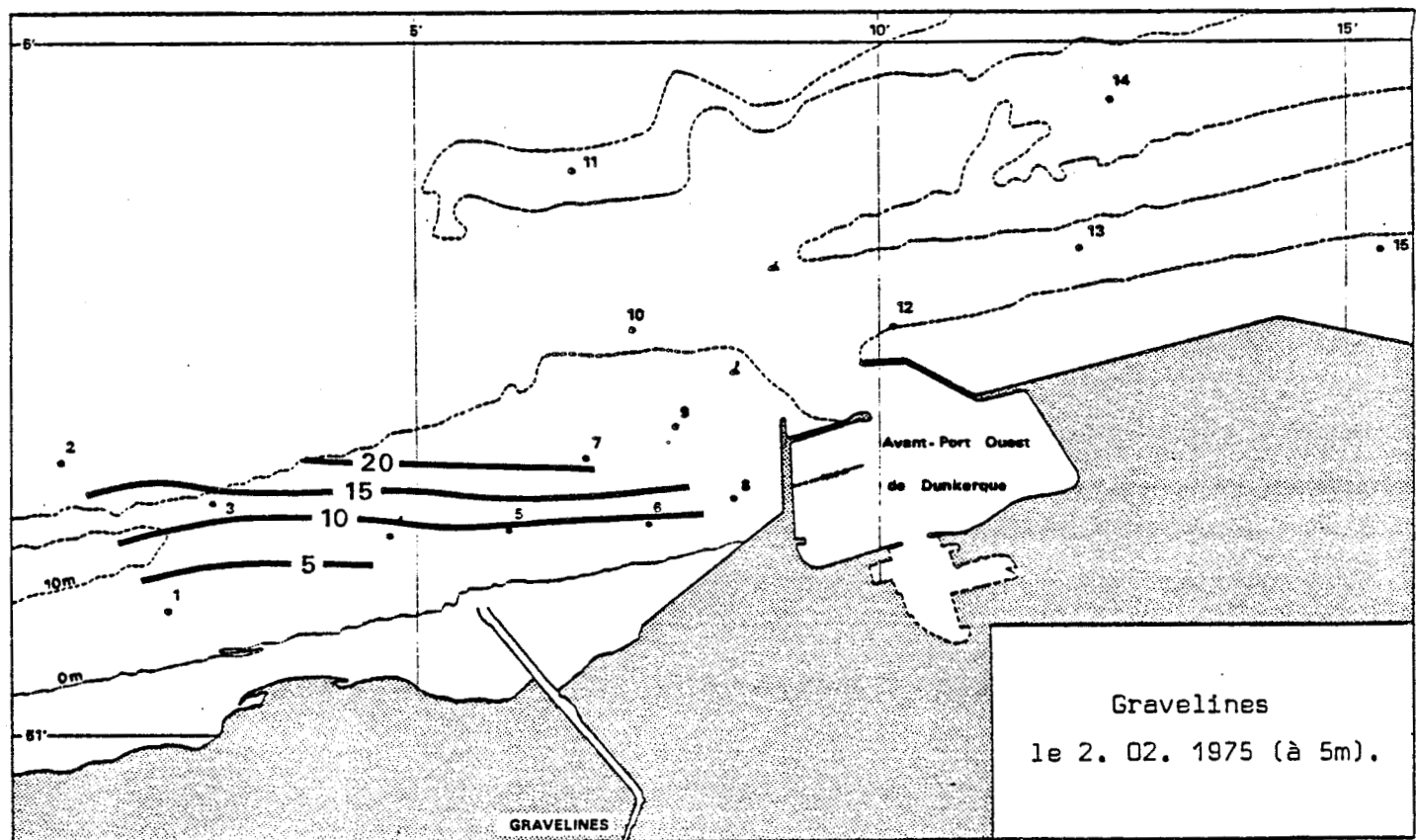


Fig. 88 - Distribution spatiale des matières en suspension (mg/l).

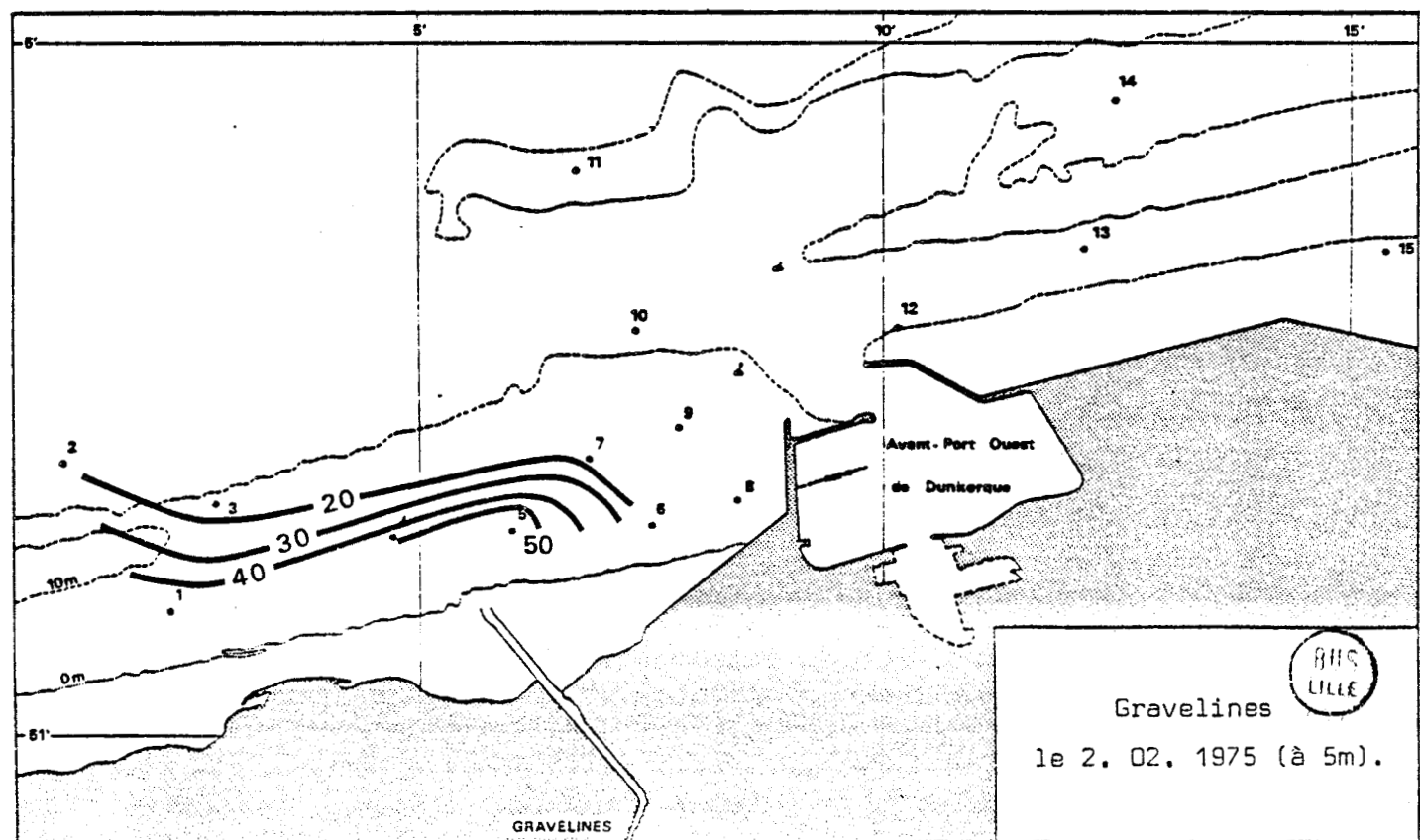


Fig. 89 - Genre *Gymnodinium* à Gravelines.

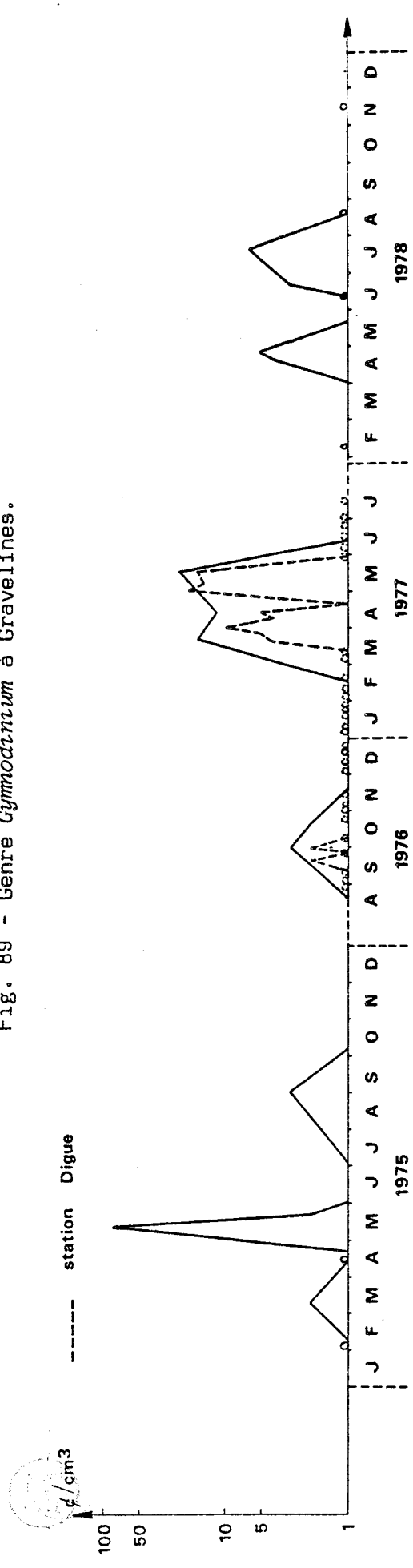


Fig. 90 - Genre *Gymnodinium* dans le port de Dunkerque.

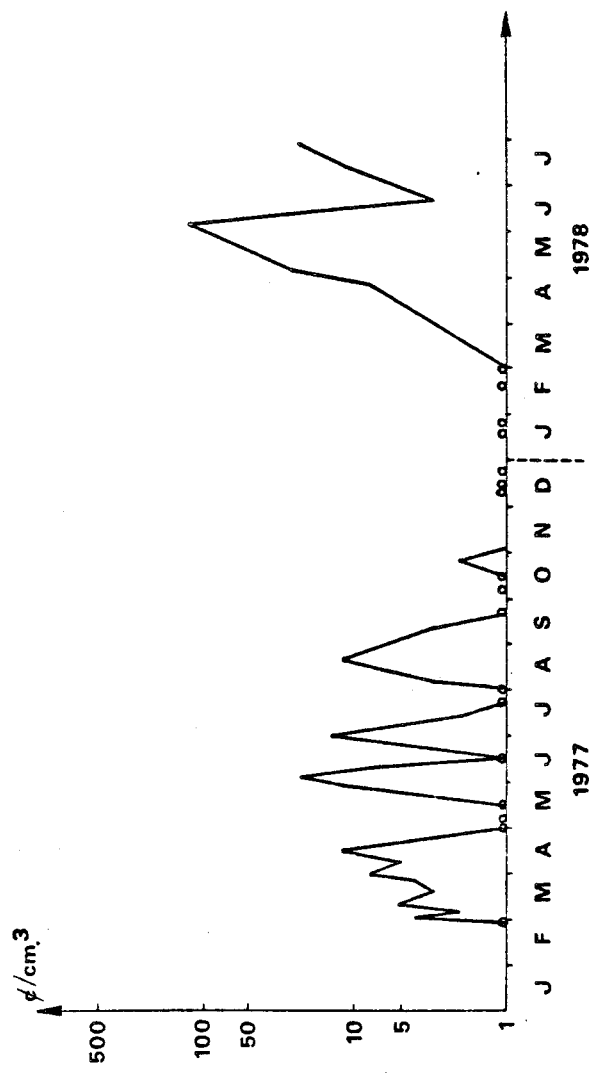


Fig. 91 - Distribution spatiale du genre *Gymnodinium* (% de dominance).

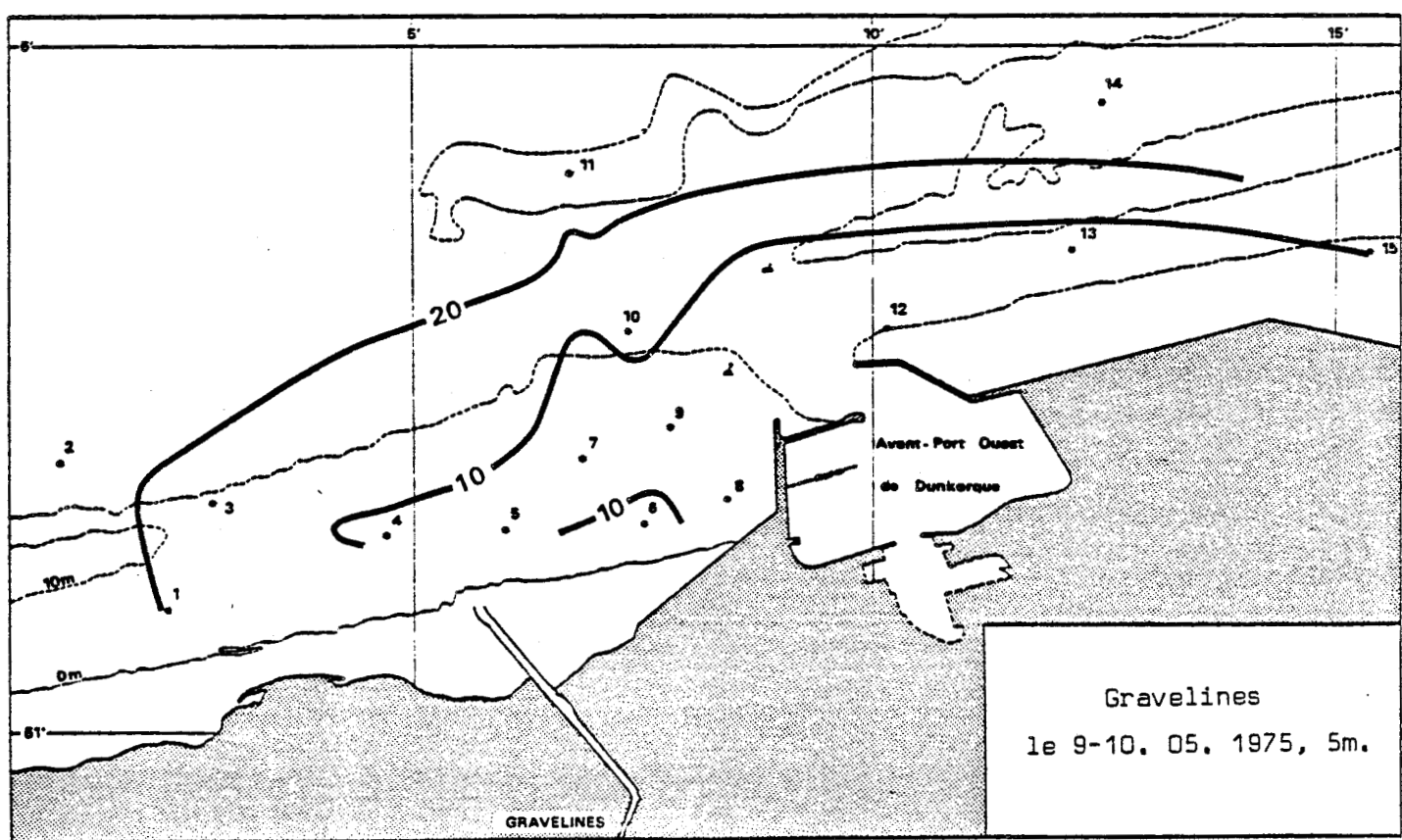


Fig. 92 - Genre *Peridinium* à Gravelines.

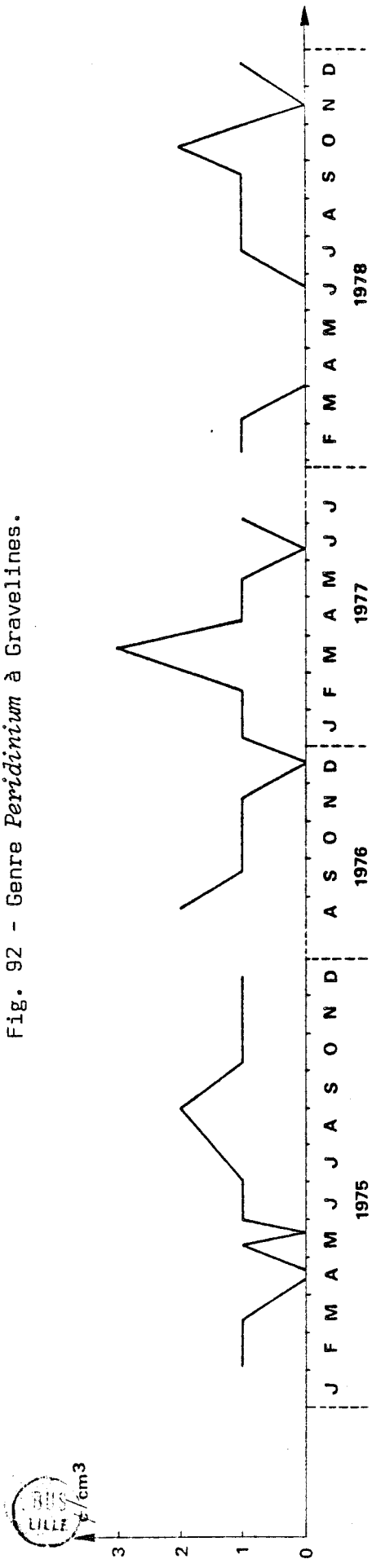


Fig. 93 - Genre *Peridinium* dans le port de Dunkerque.

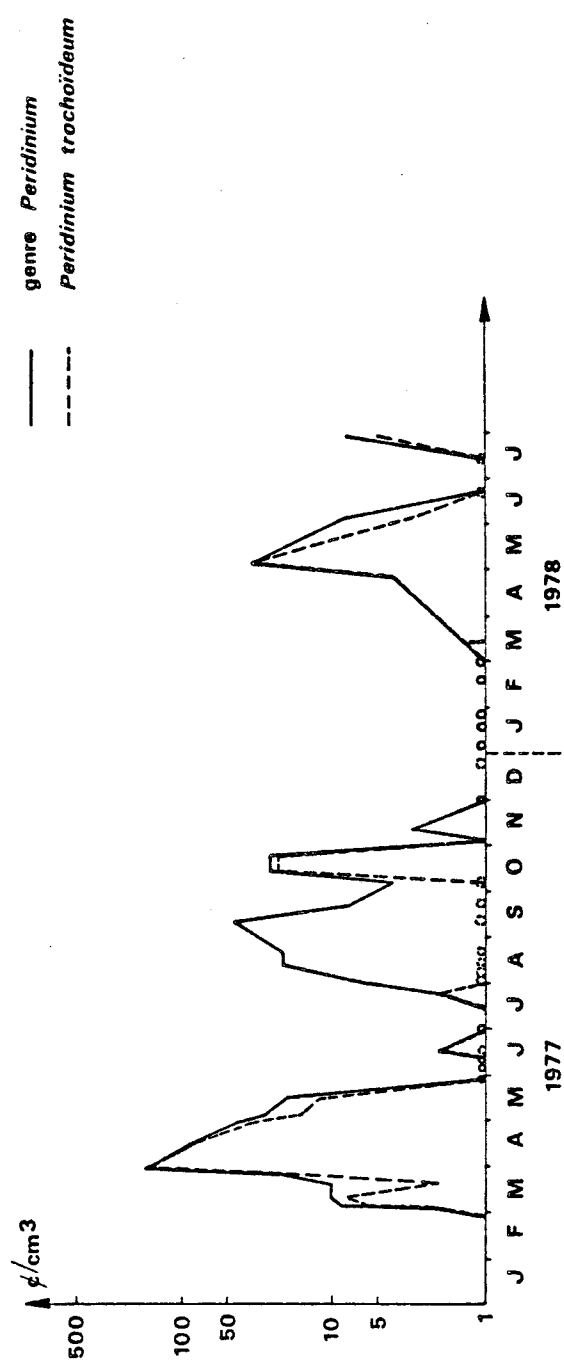


Fig. 94 - Genre *Prorocentrum* à Gravelines.

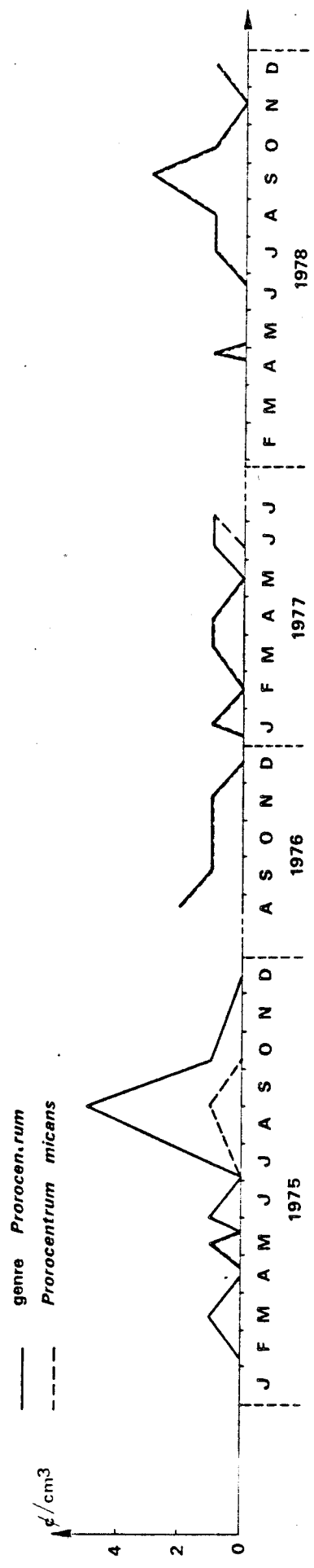


Fig. 95 - Genre *Proterocentrum* dans le port de Dunkerque.

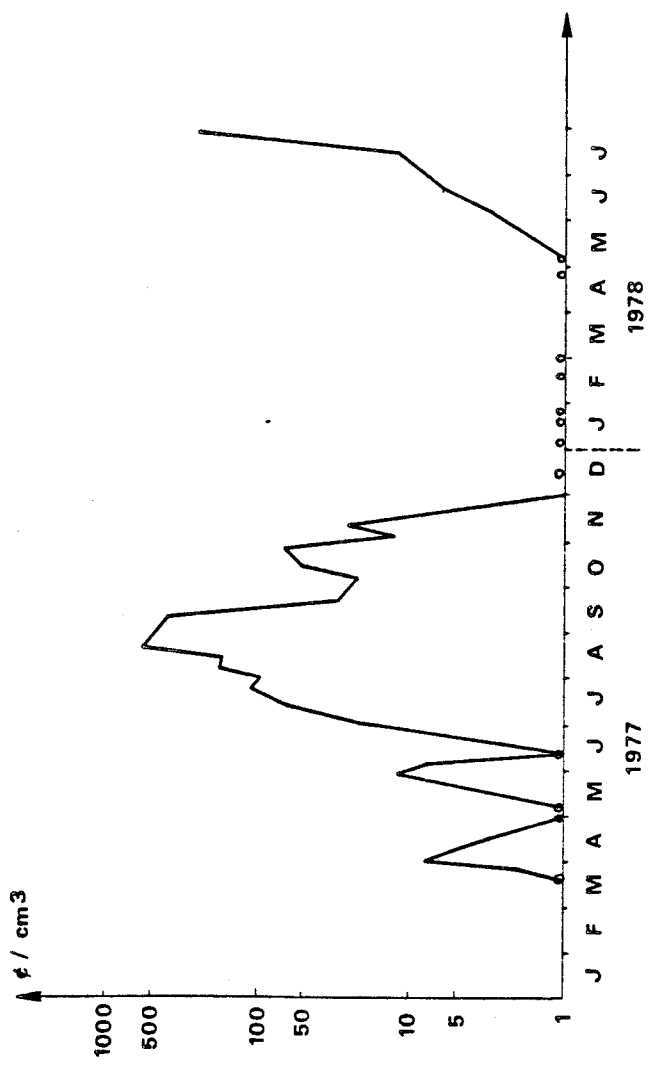


Fig. 96 - Variations du nombre de cellules de *Prorocentrum micans* dans le port de Dunkerque en fonction de la profondeur.

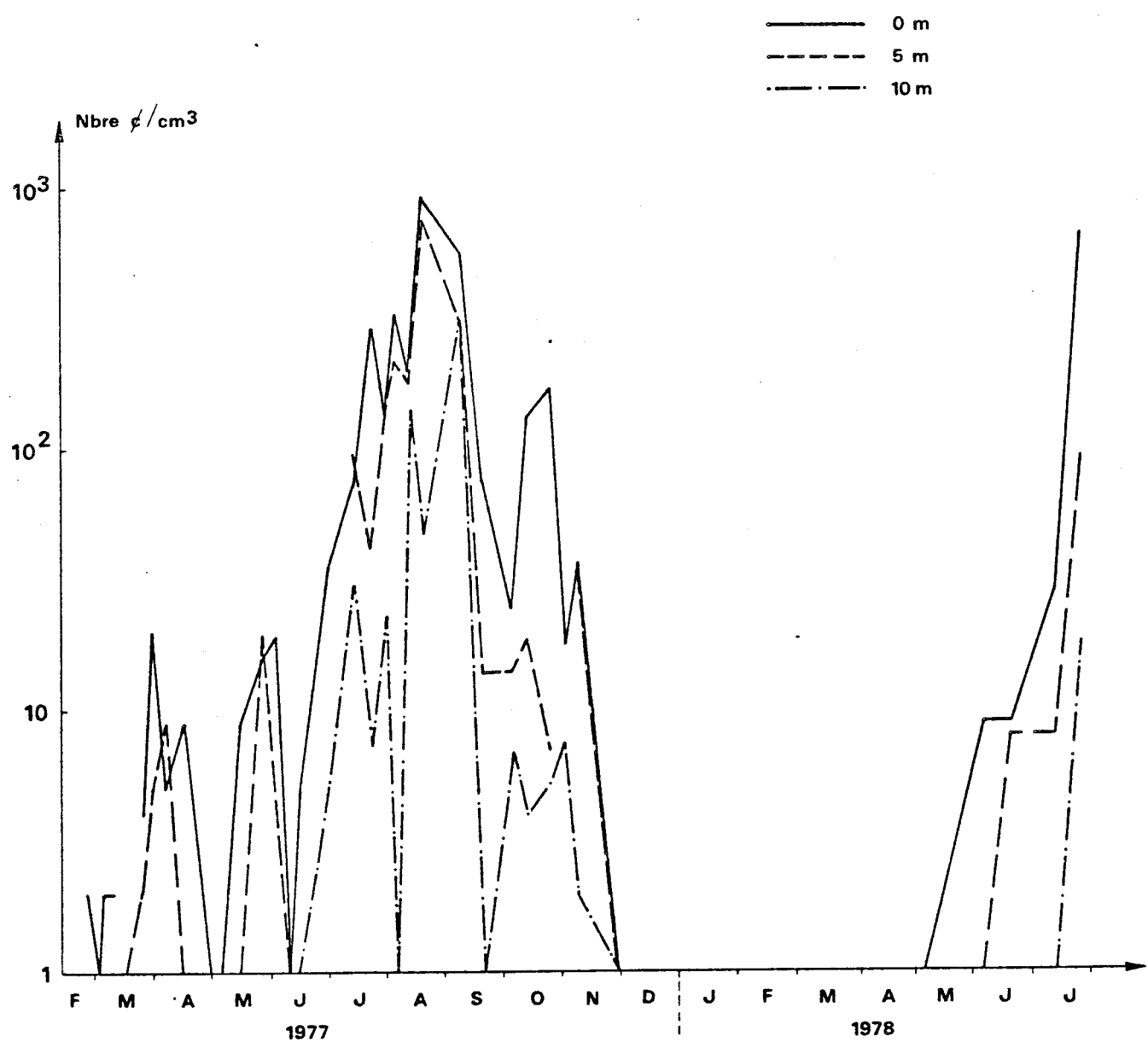


Fig. 97 - *Heterocapsa triquetra* dans le port de Dunkerque.

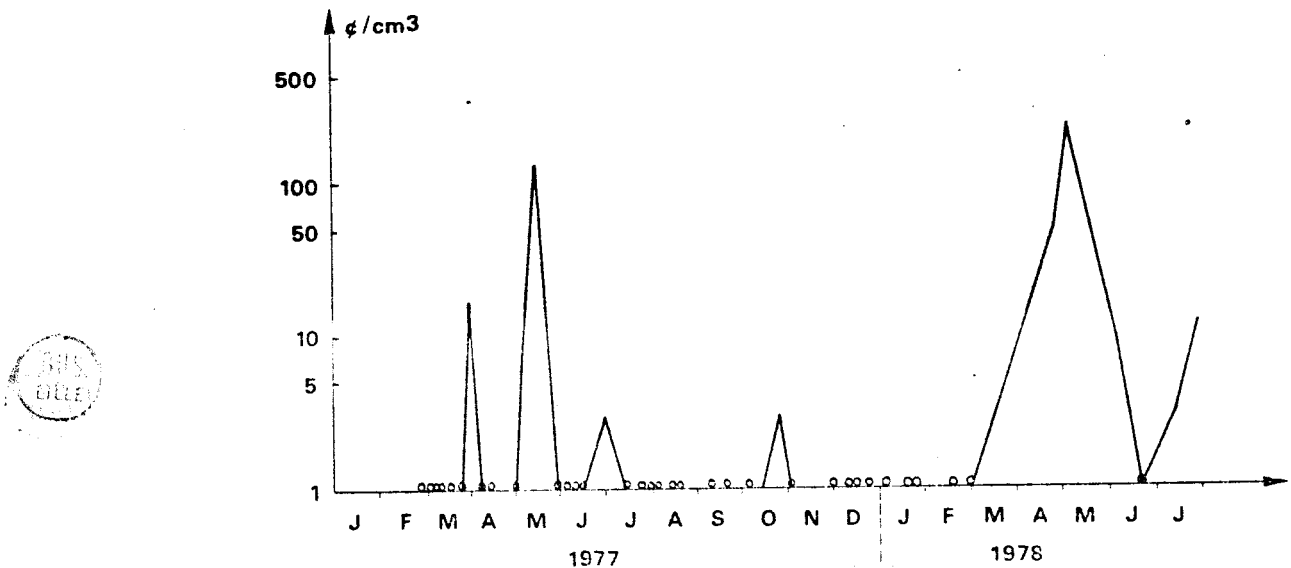


Fig. 98 - Genre *Scenedesmus* à Gravelines.

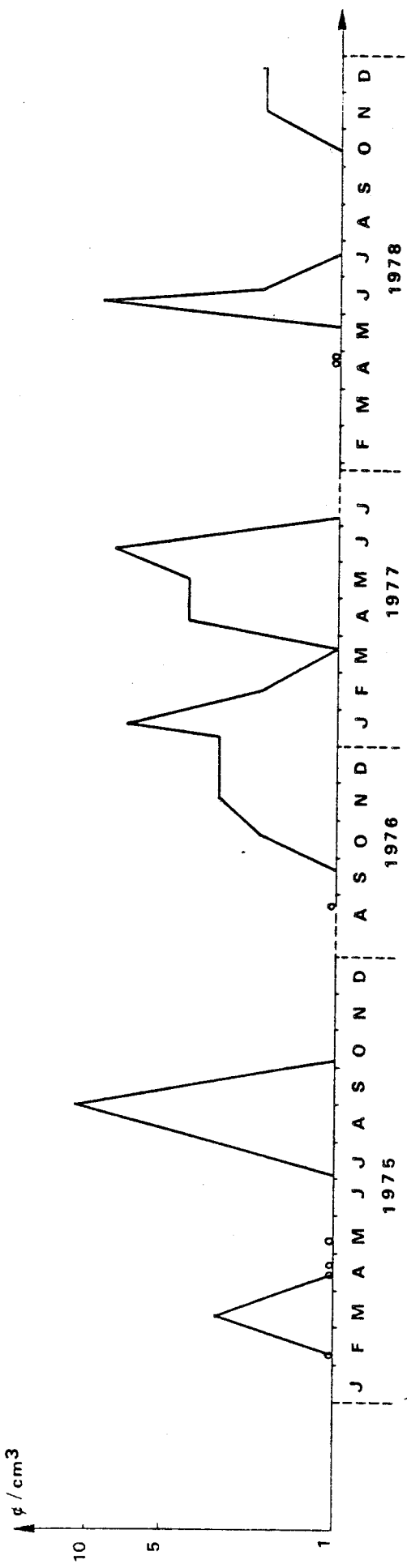
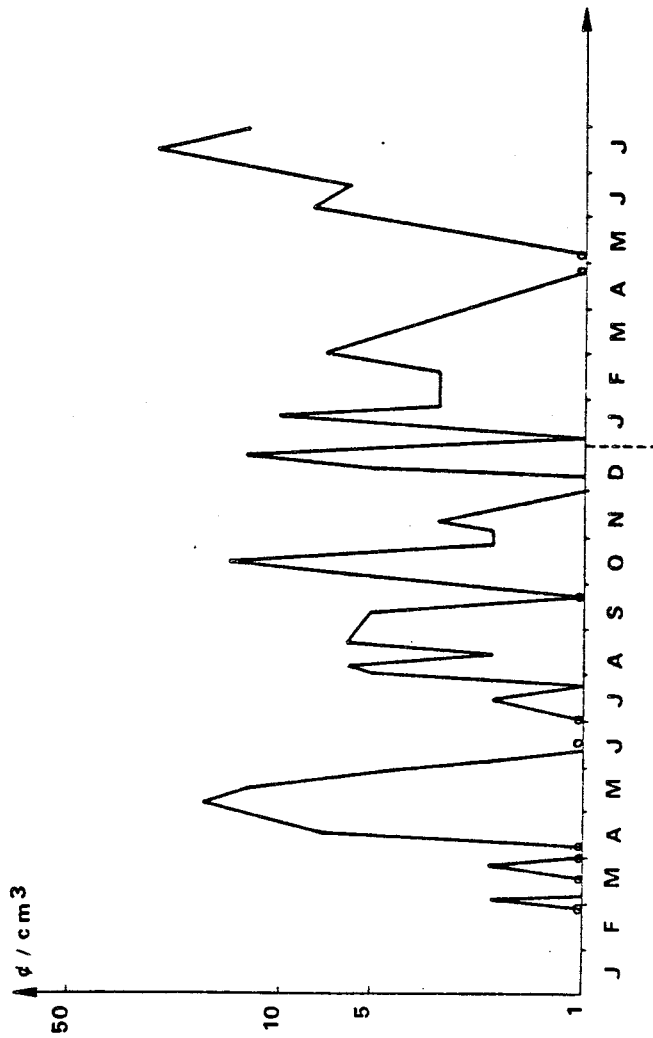


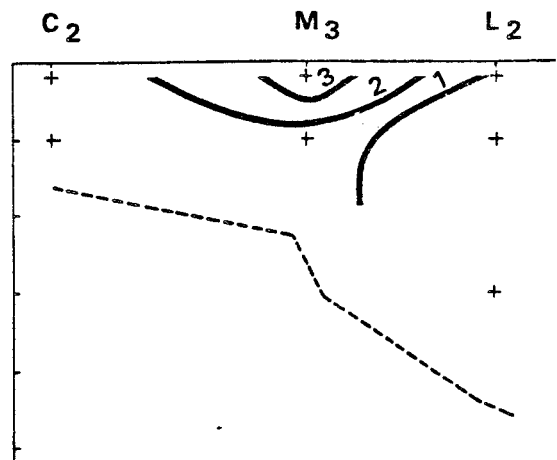
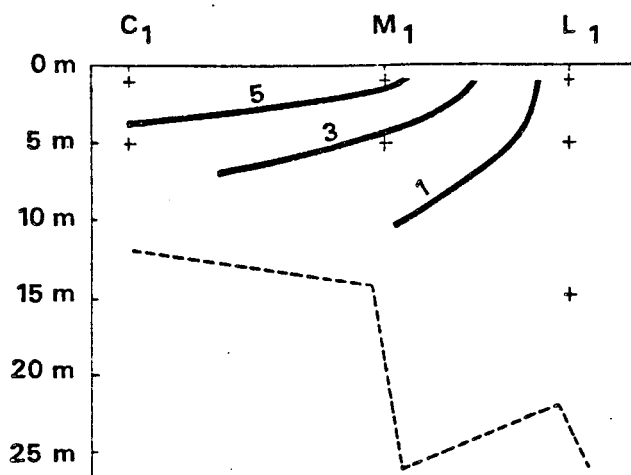
Fig. 99 - Genre *Scenedesmus* dans le port de Dunkerque.



BUS
LILLE

Fig. 100 - Répartition du genre *Scenedesmus* et de la salinité
à Gravelines le 17. 01. 1977.

Scenedesmus spp — % de dominance —



Salinité — % —

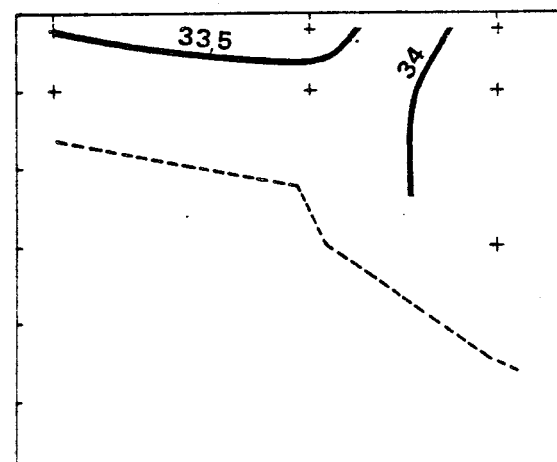
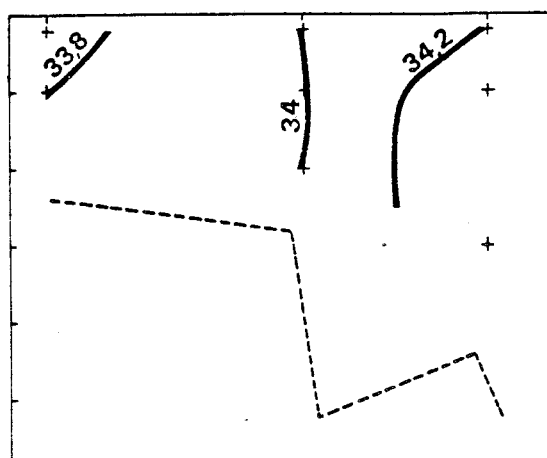


Fig. 101 - Chlorophycées à Gravelines.

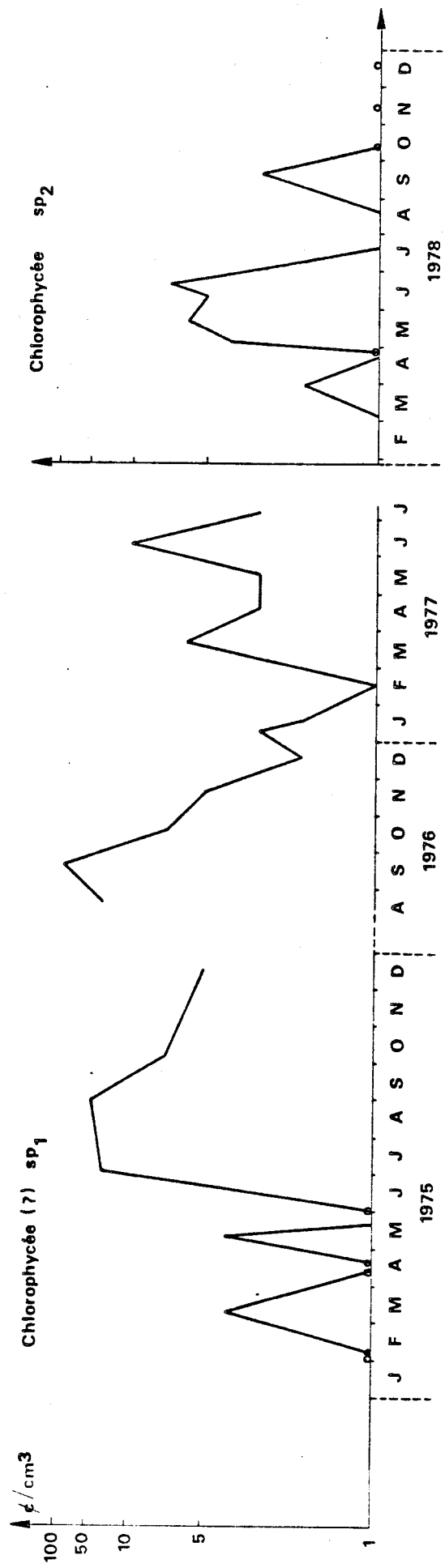
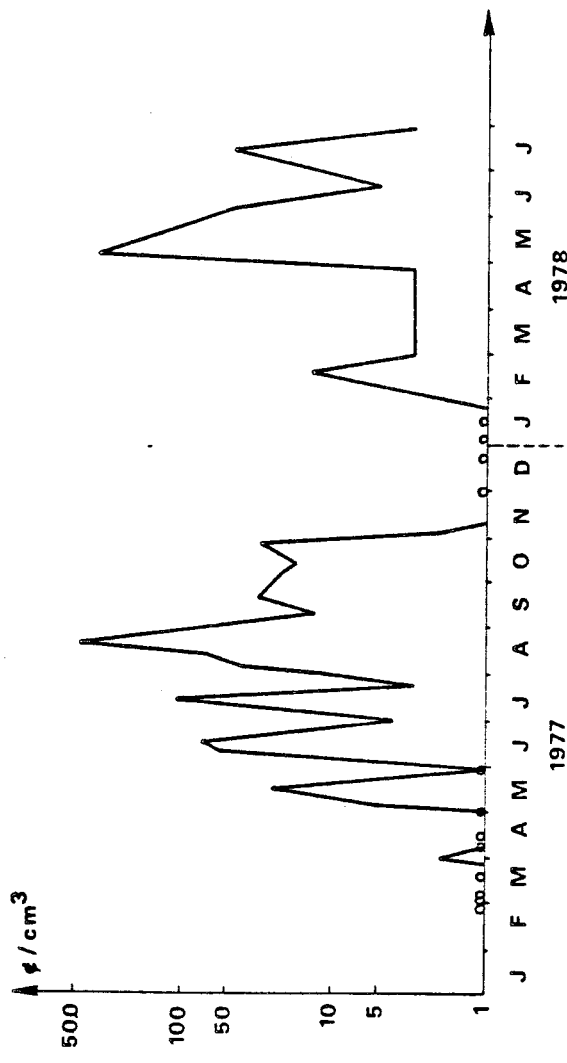


Fig. 102 - Chlorophycée sp2 dans le port de Dunkerque.



885
VILLE

500
5000

Fig. 103 - *Phaeocystis* sp. à Gravelines.

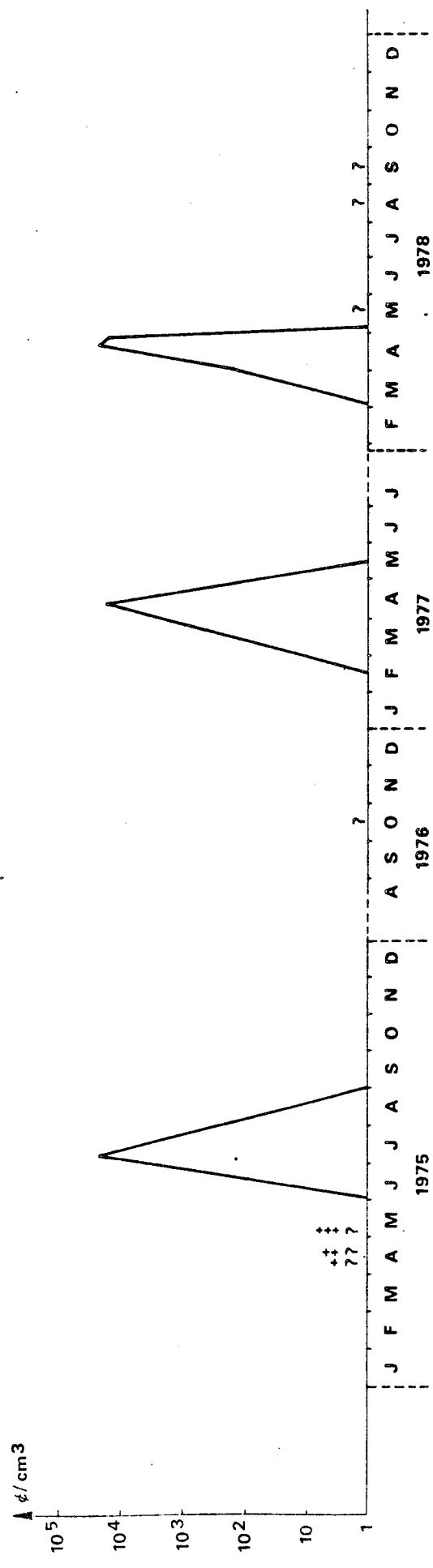


Fig. 104 - Phéopigments dans les eaux de l'Aa en 1978.

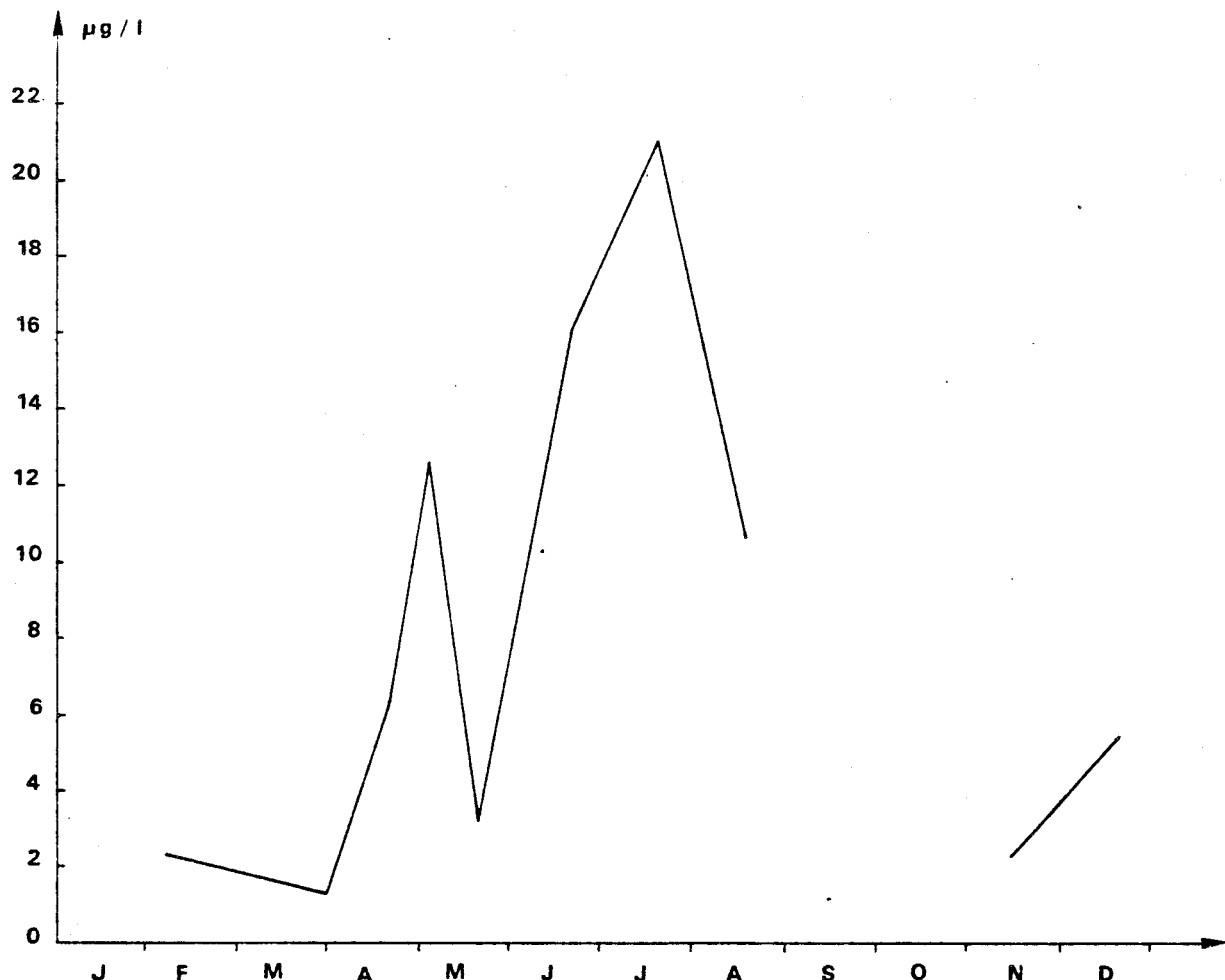
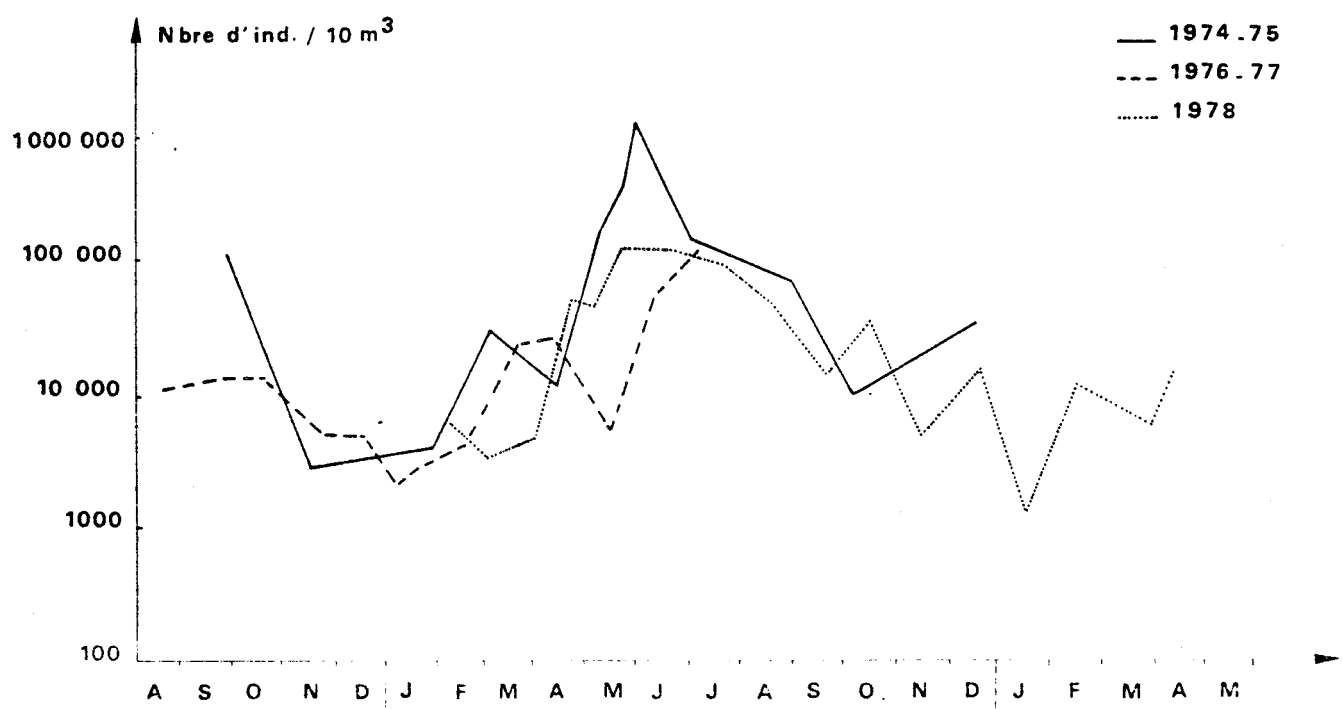
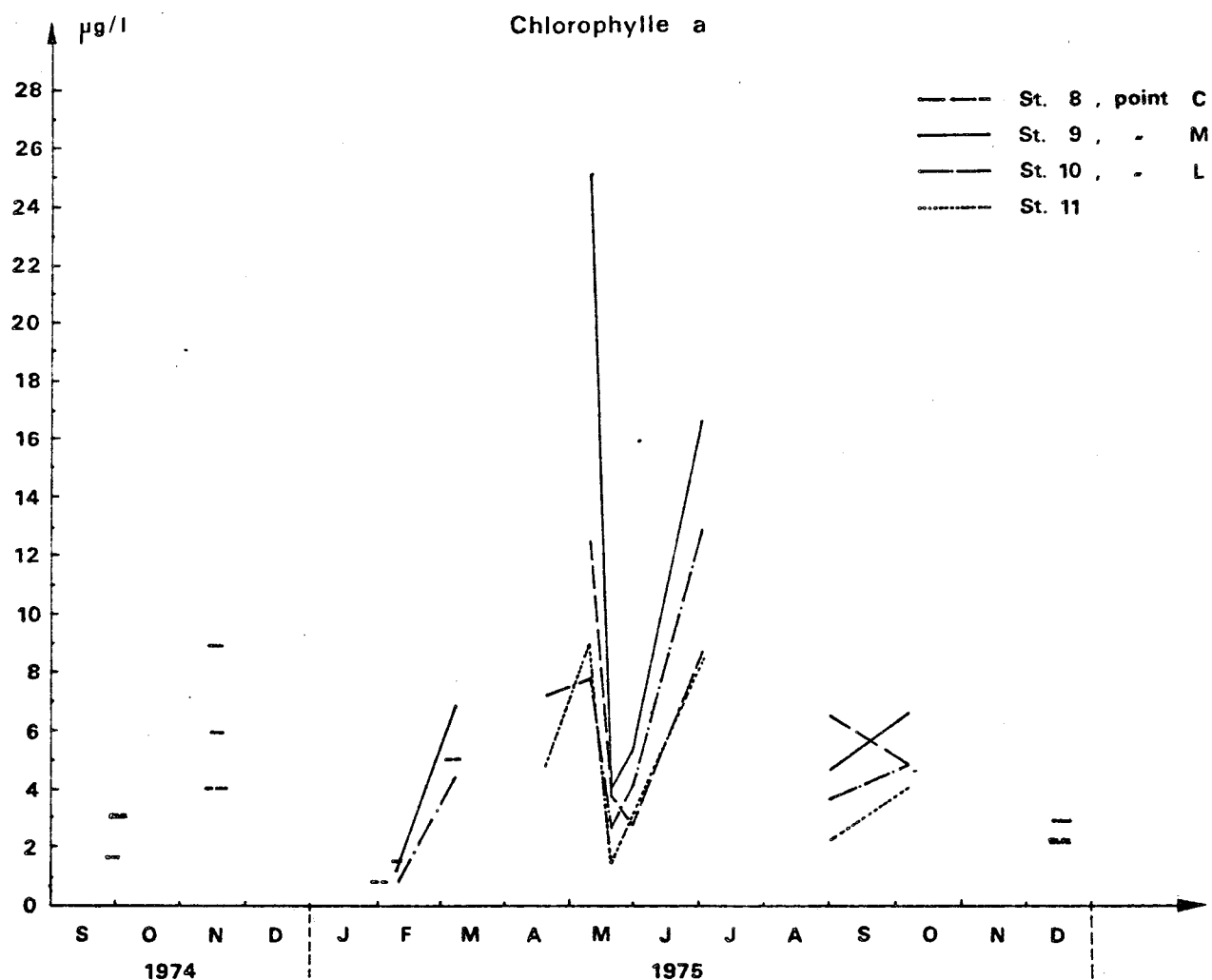


Fig. 105 - Variations du zooplancton (nombre total d'individus) à Gravelines (moyenne par campagne) (Données communiquées par ARNAL, LEFEVRE et TOULARASTEL).



BUS
LILLE

Fig. 106 - Variations des pigments photosynthétiques à Gravelines en 1974-75.



Phéopigments

μg/l

(37,76)

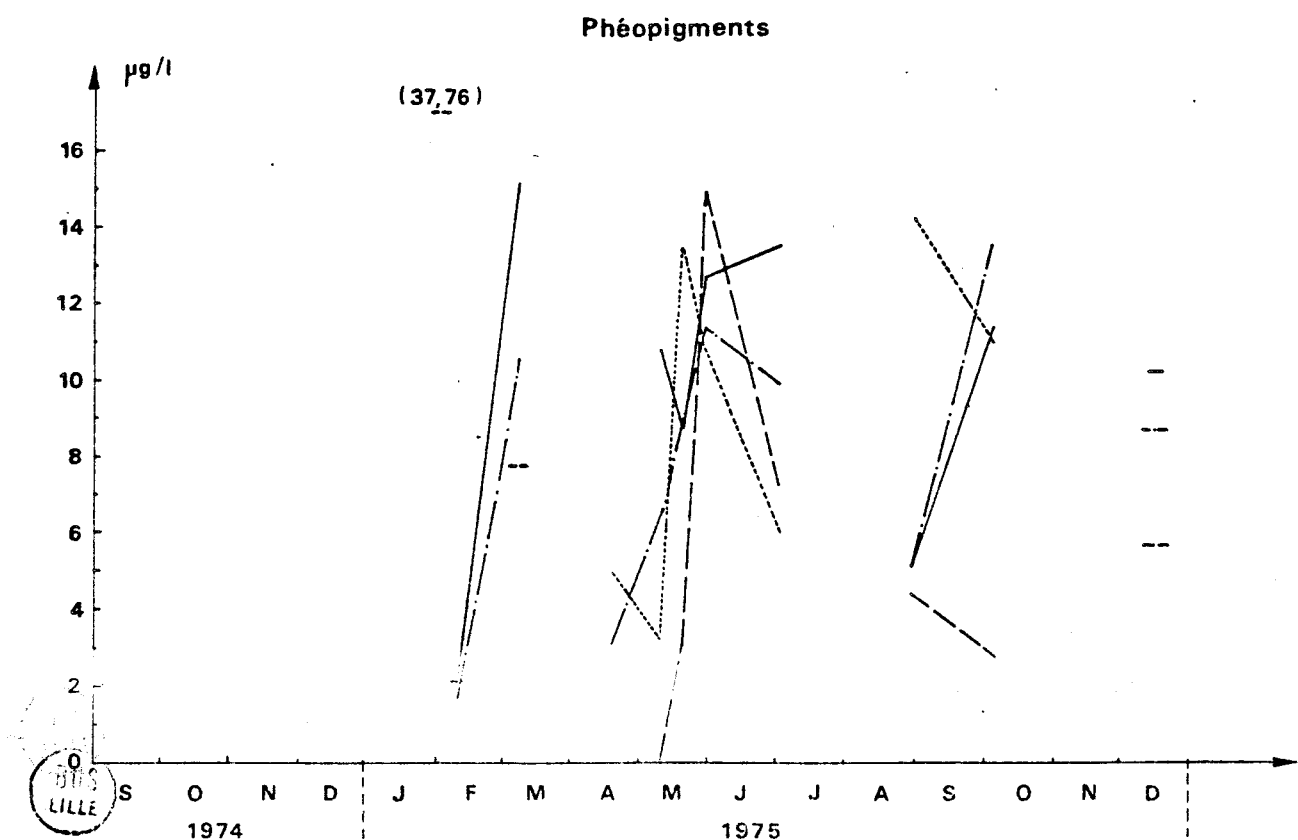


Fig. 107 - Variations du microplancton à Gravelines en 1975.

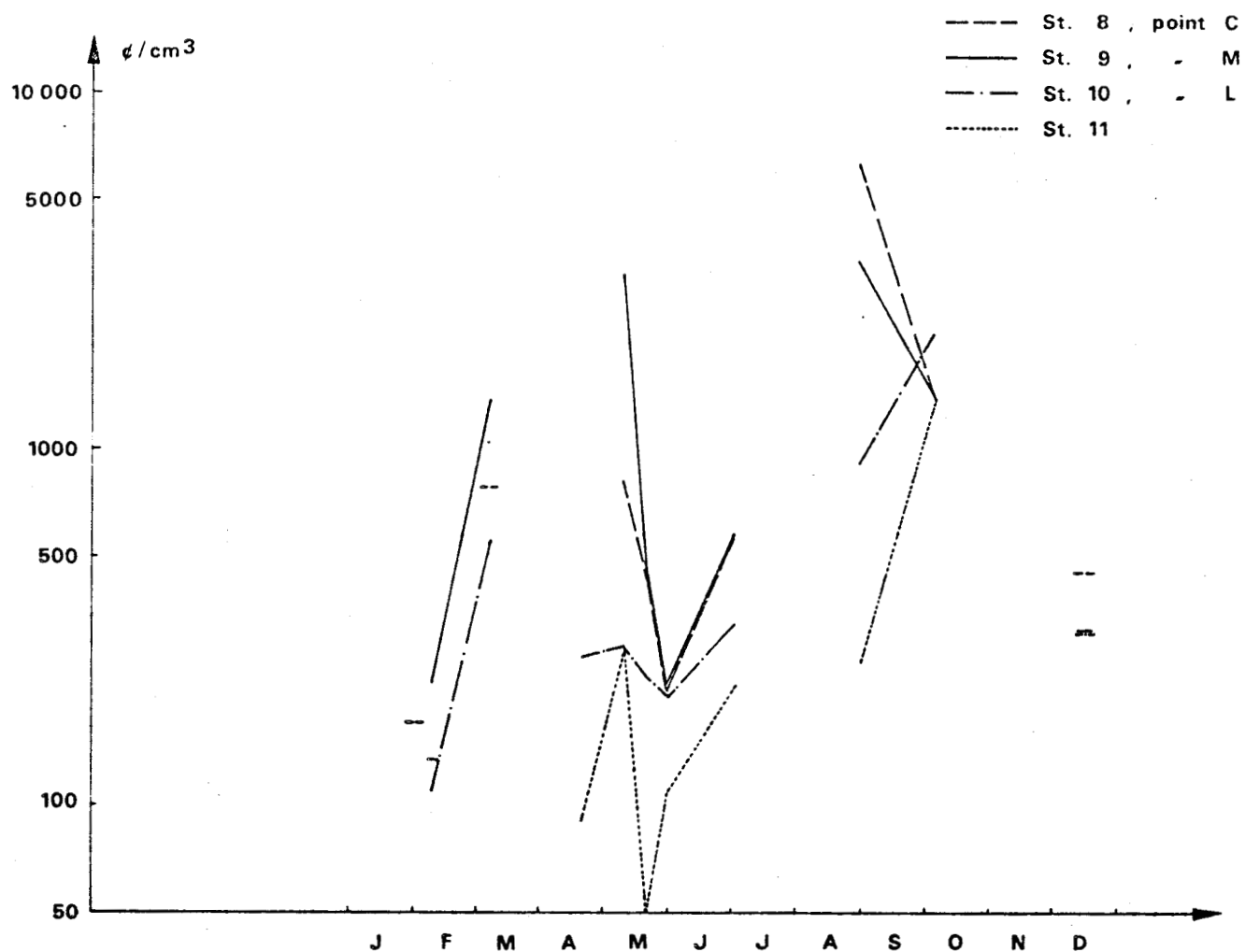


Fig. 108 - Variations de l'indice pigmentaire à Gravelines en 1975.

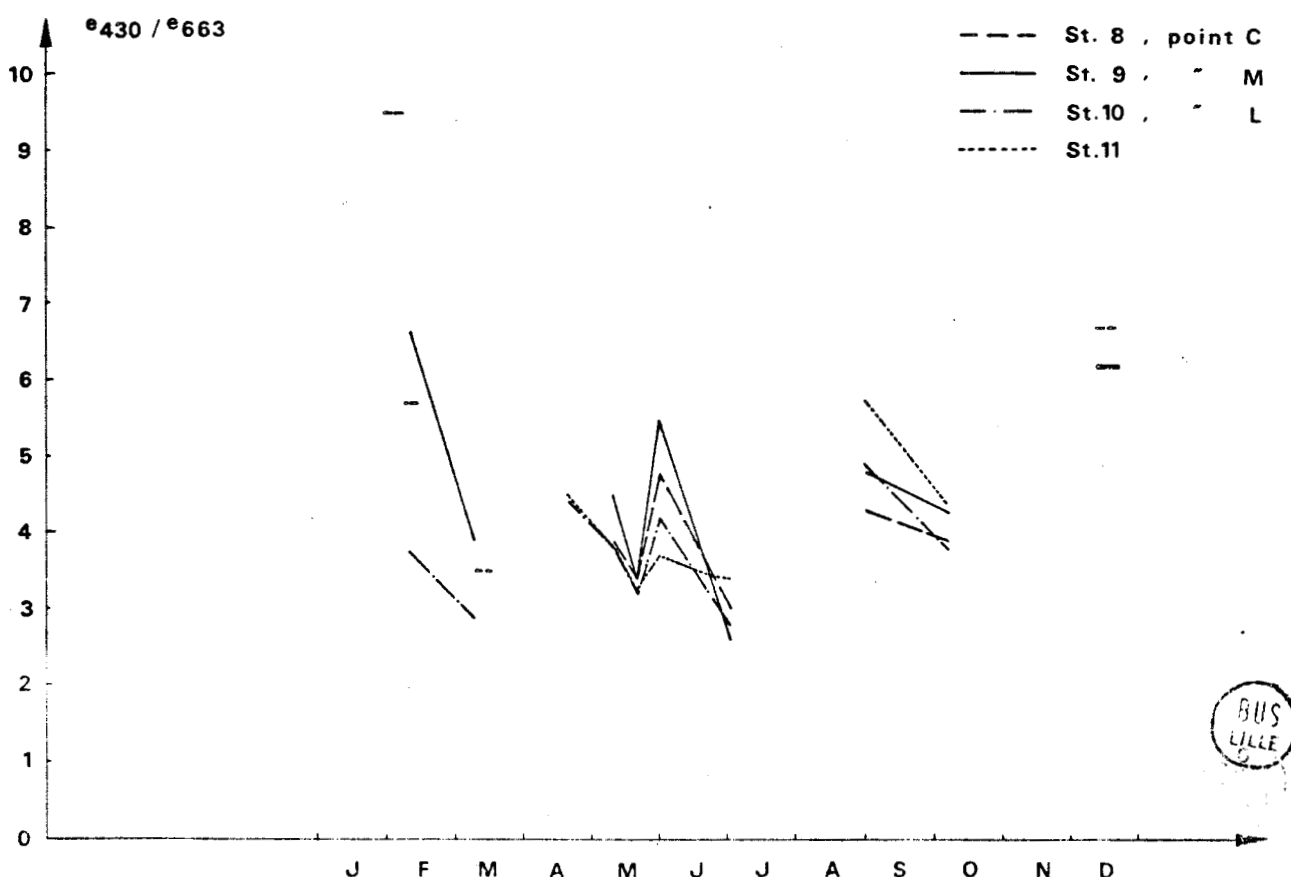


Fig. 109 - Variations des pigments photosynthétiques à Gravelines en 1976-77.

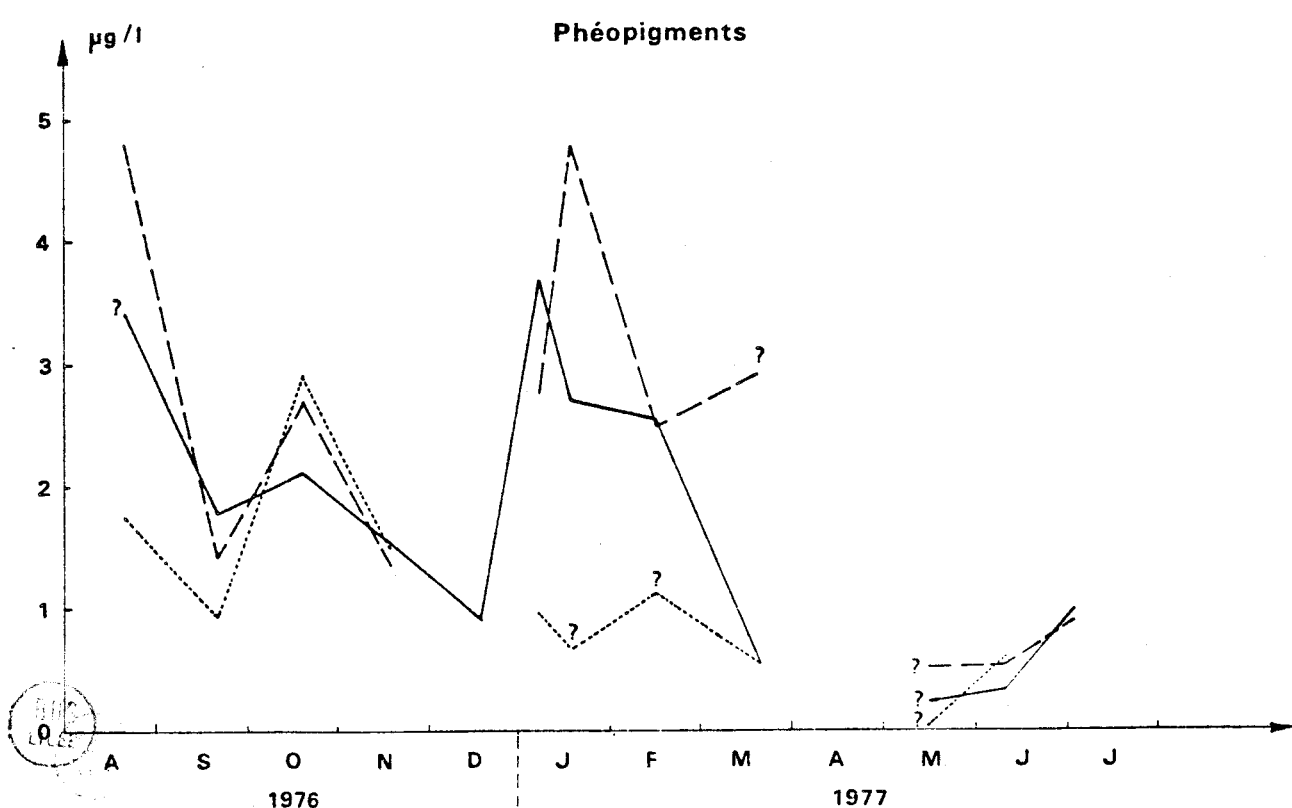
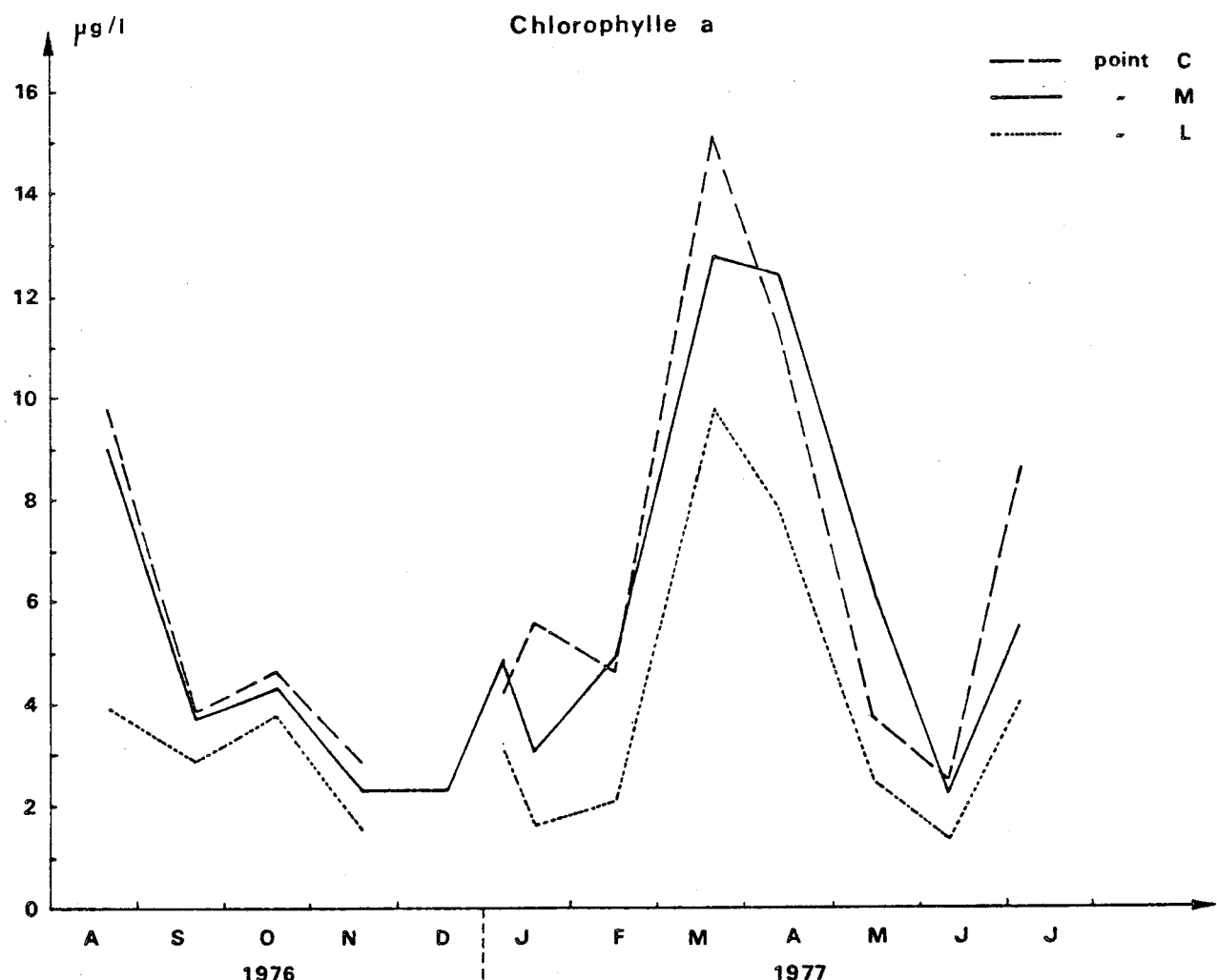


Fig. 110 - Variations du microplancton à Gravelines en 1976-77.

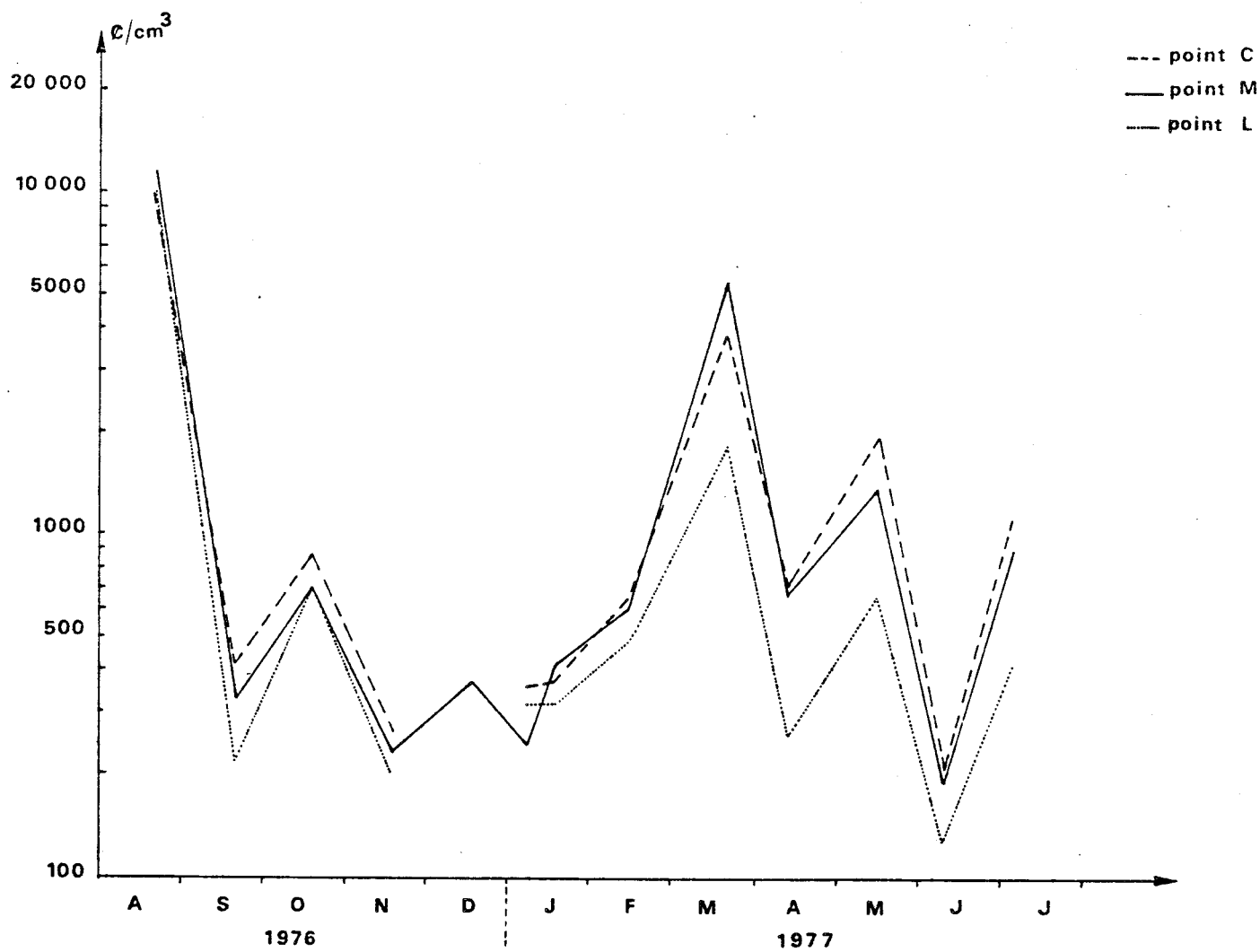


Fig. 111 - Variations de l'indice pigmentaire à Gravelines en 1976-77.

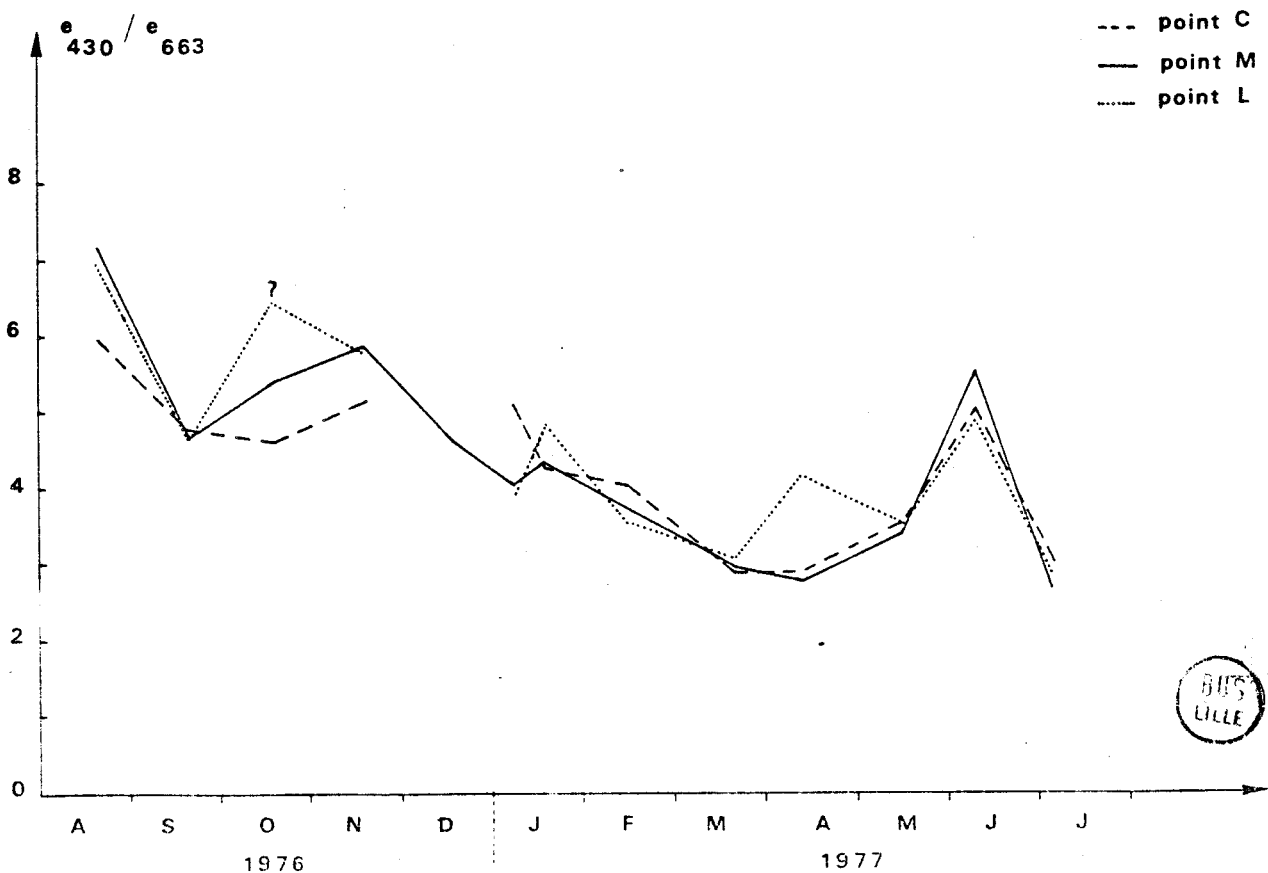
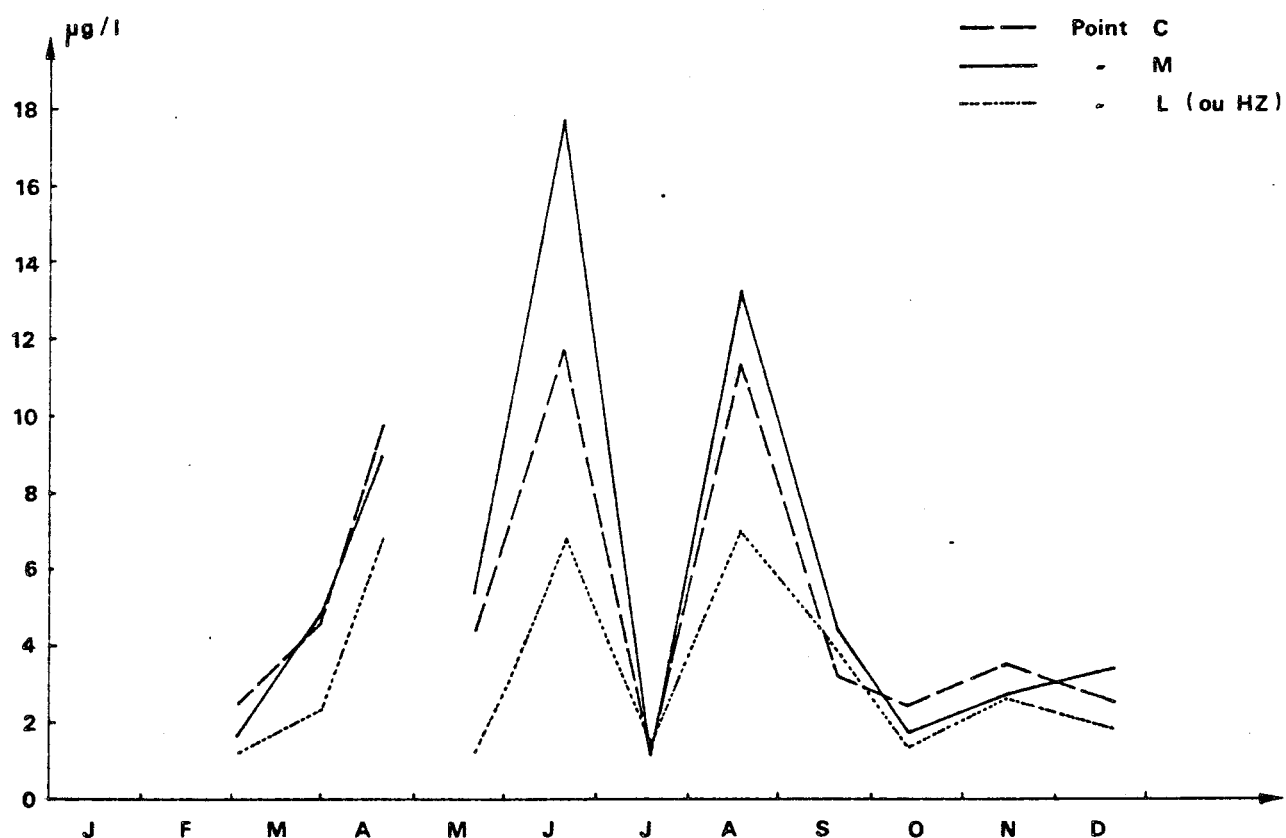
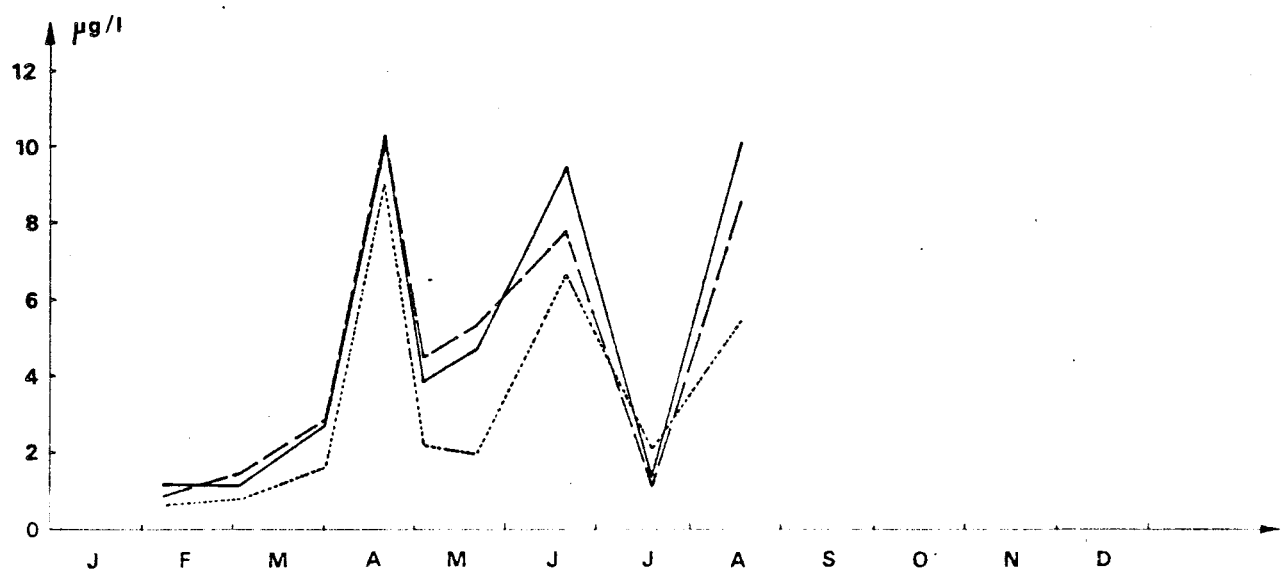


Fig. 112 - Variations des pigments photosynthétiques à Gravelines
en 1978: chlorophylle a.

Spectrophotométrie



Fluorimétrie



BDS
LILLE

Fig. 113 - Variations des pigments photosynthétiques à Gravelines en 1978: phéopigments.

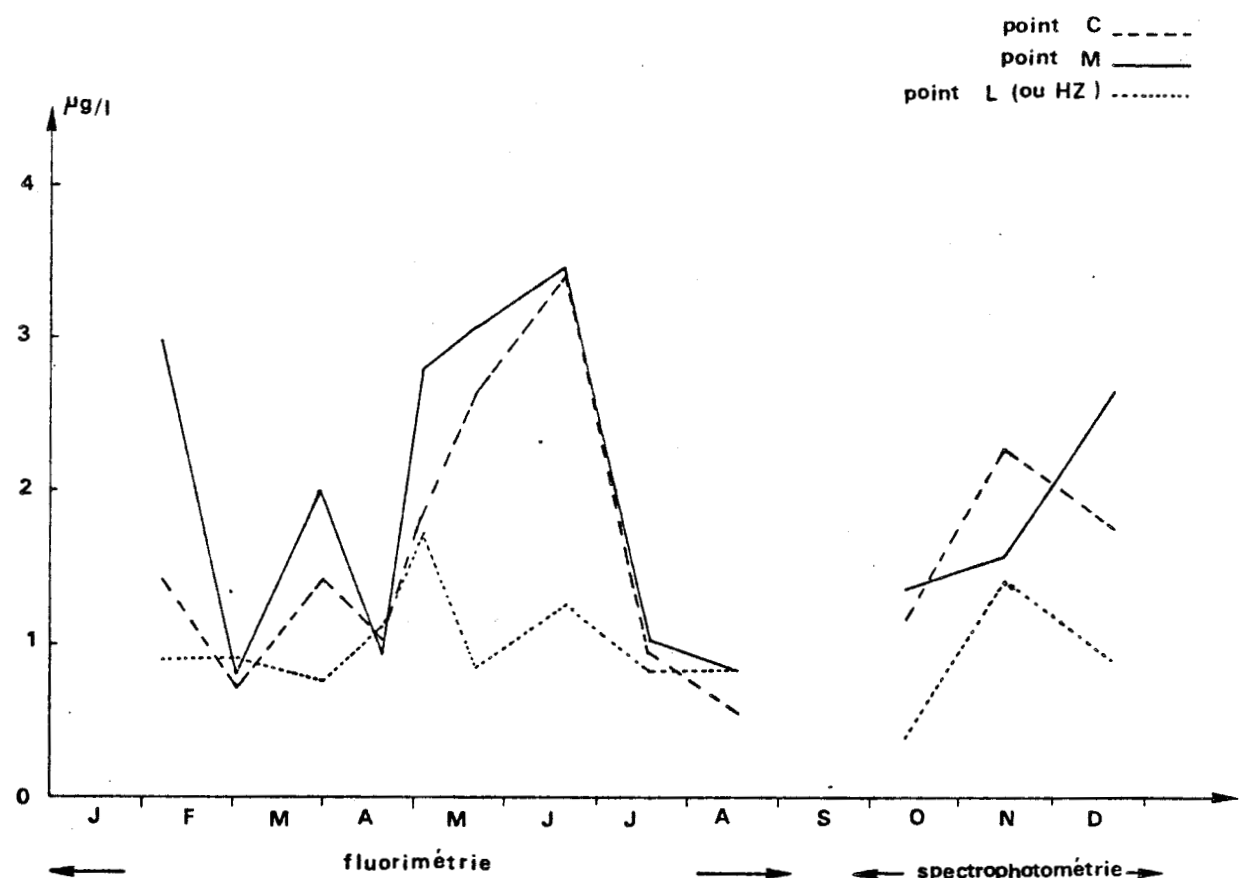
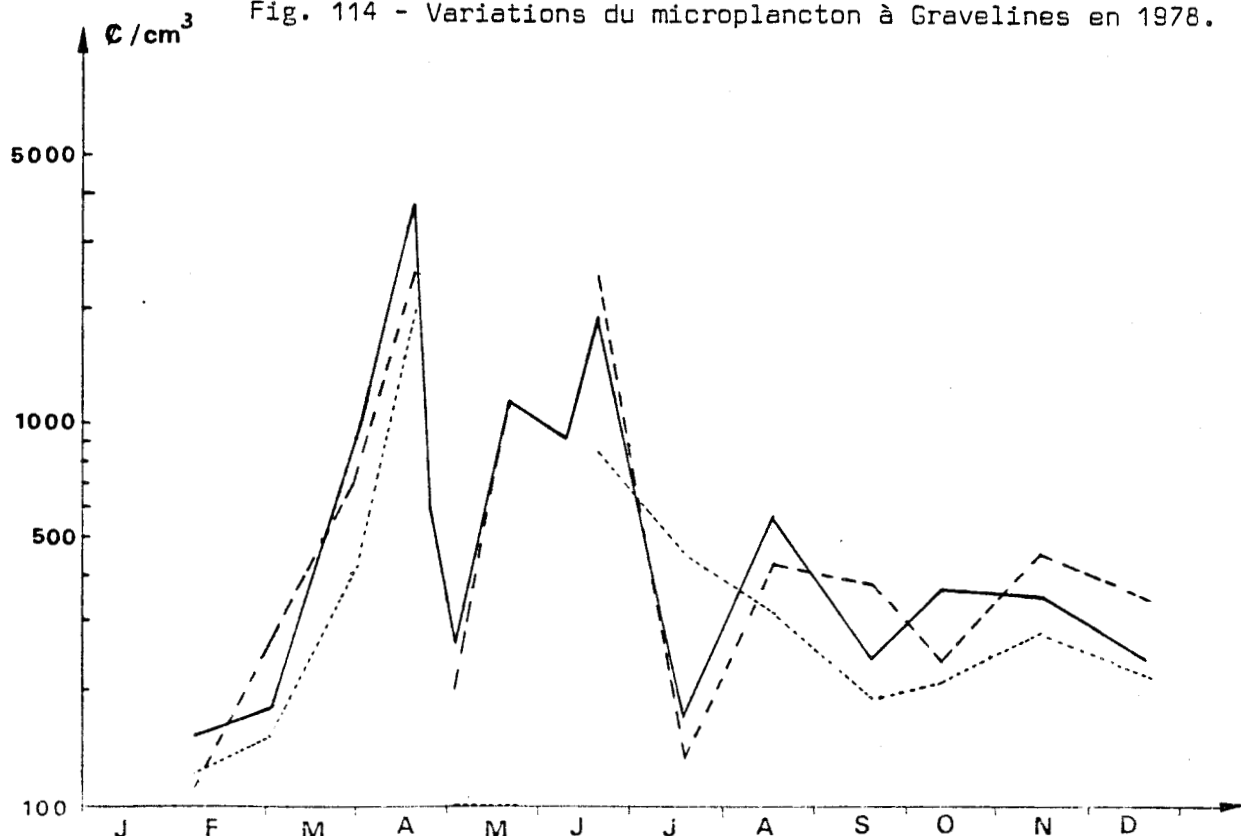


Fig. 114 - Variations du microplancton à Gravelines en 1978.



IBUS
BELLE

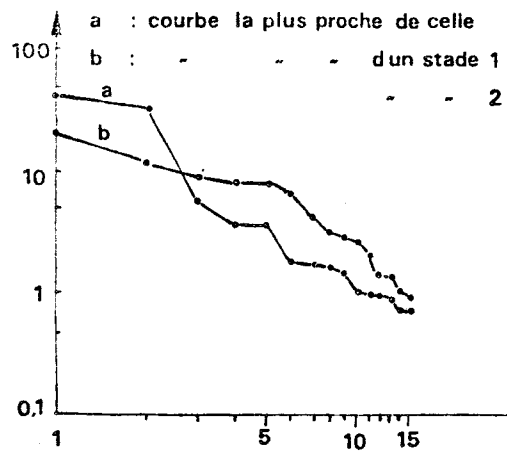
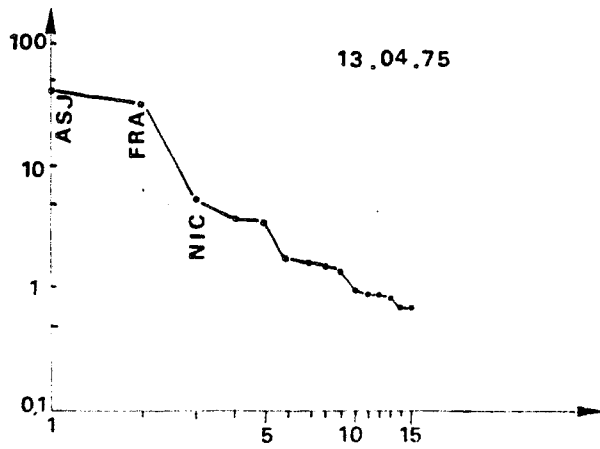
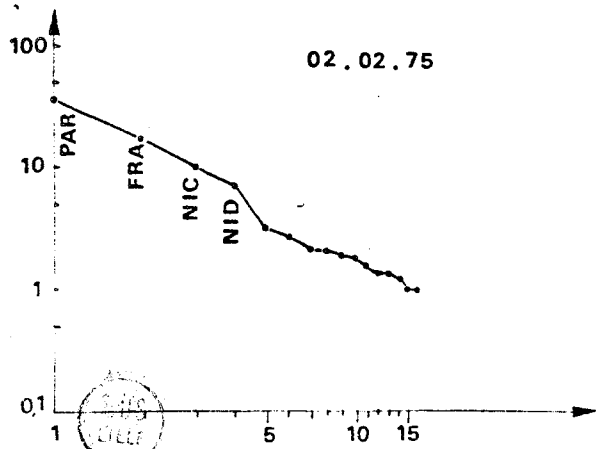
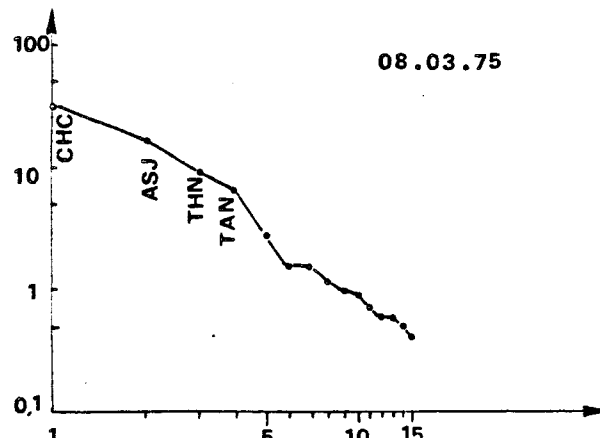
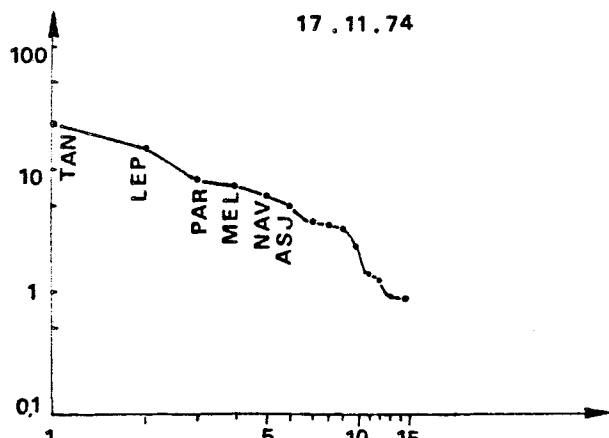
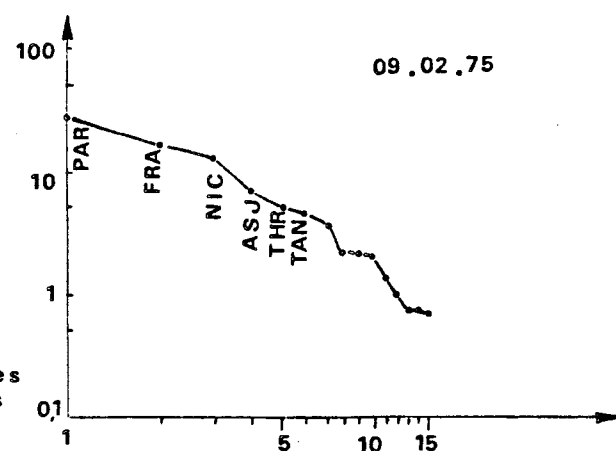
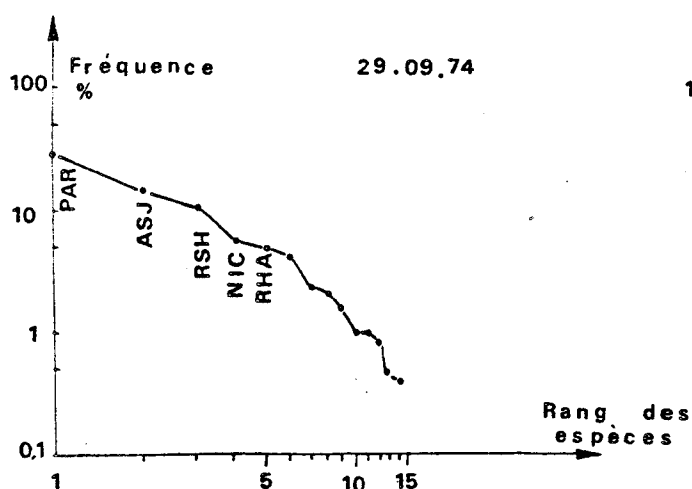


Fig. 116 - Diagrammes rang-fréquence à Gravelines
en 1974-75. (Moyenne de toutes les
stations).

Les abréviations utilisées pour représenter les espèces
sont précisées au début de ce volume.



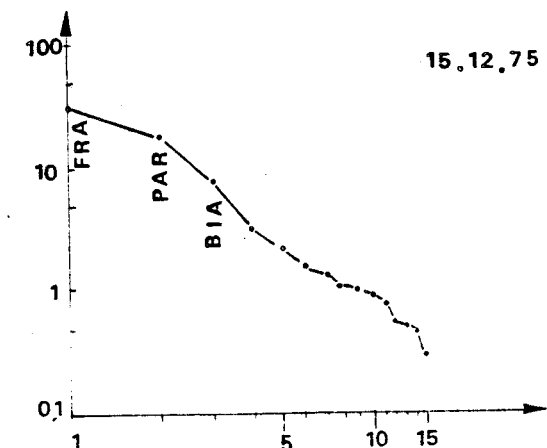
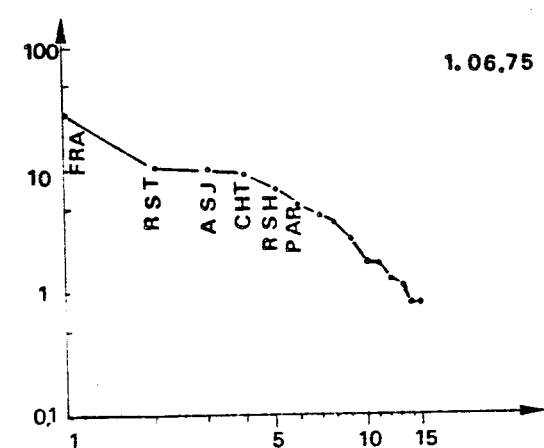
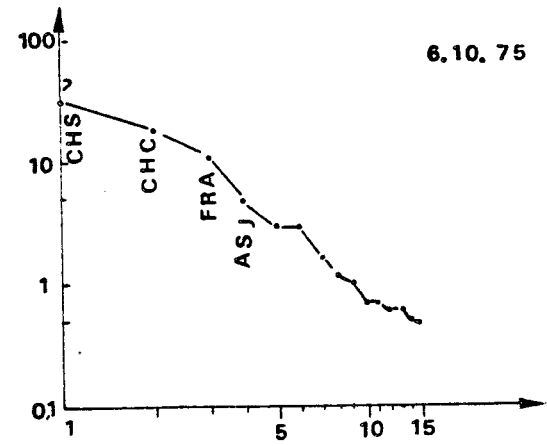
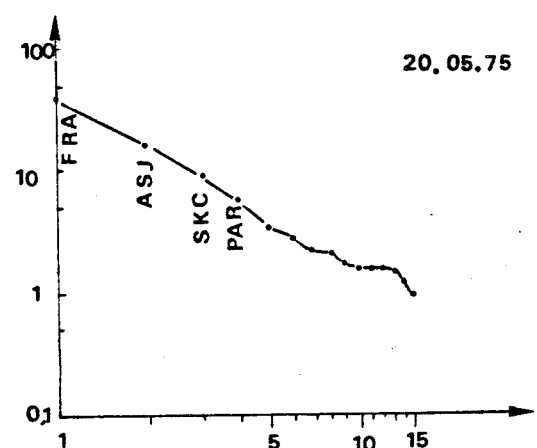
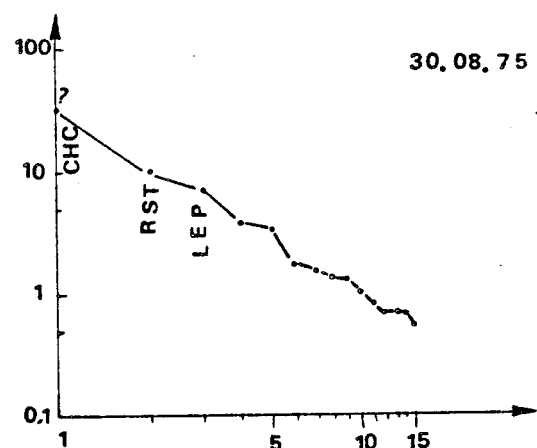
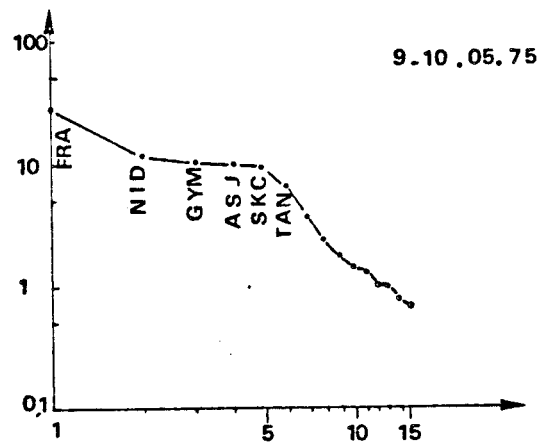
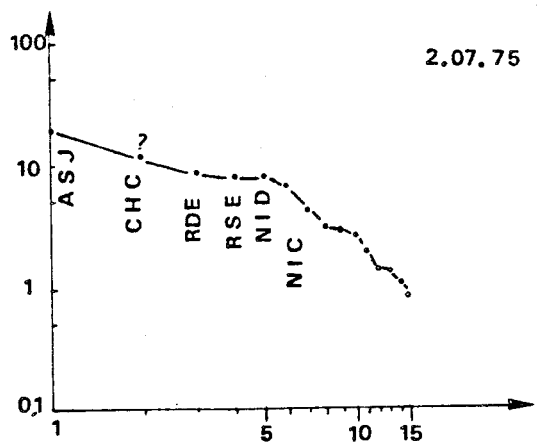
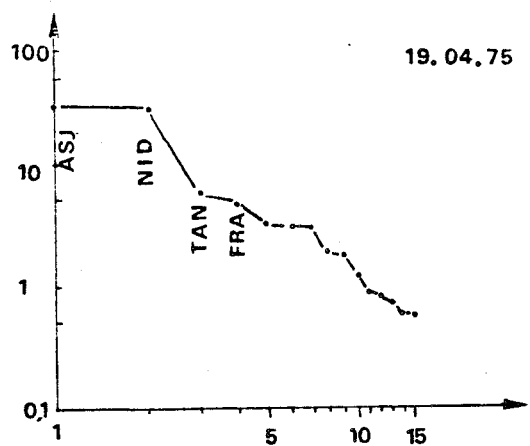


Fig. 117 - Variations de l'indice de diversité (H) et de l'équitabilité (E)
à Gravelines en 1975.

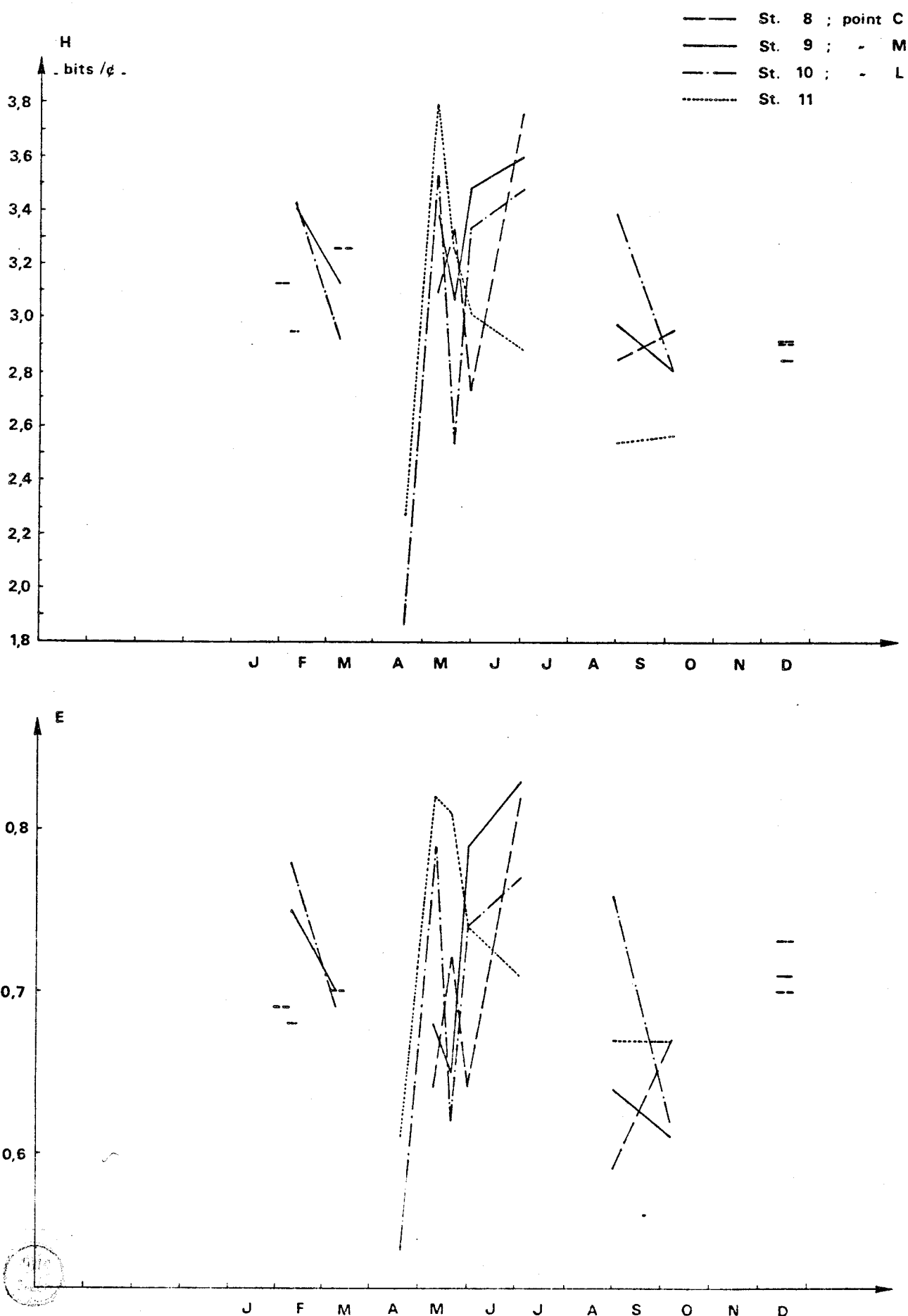
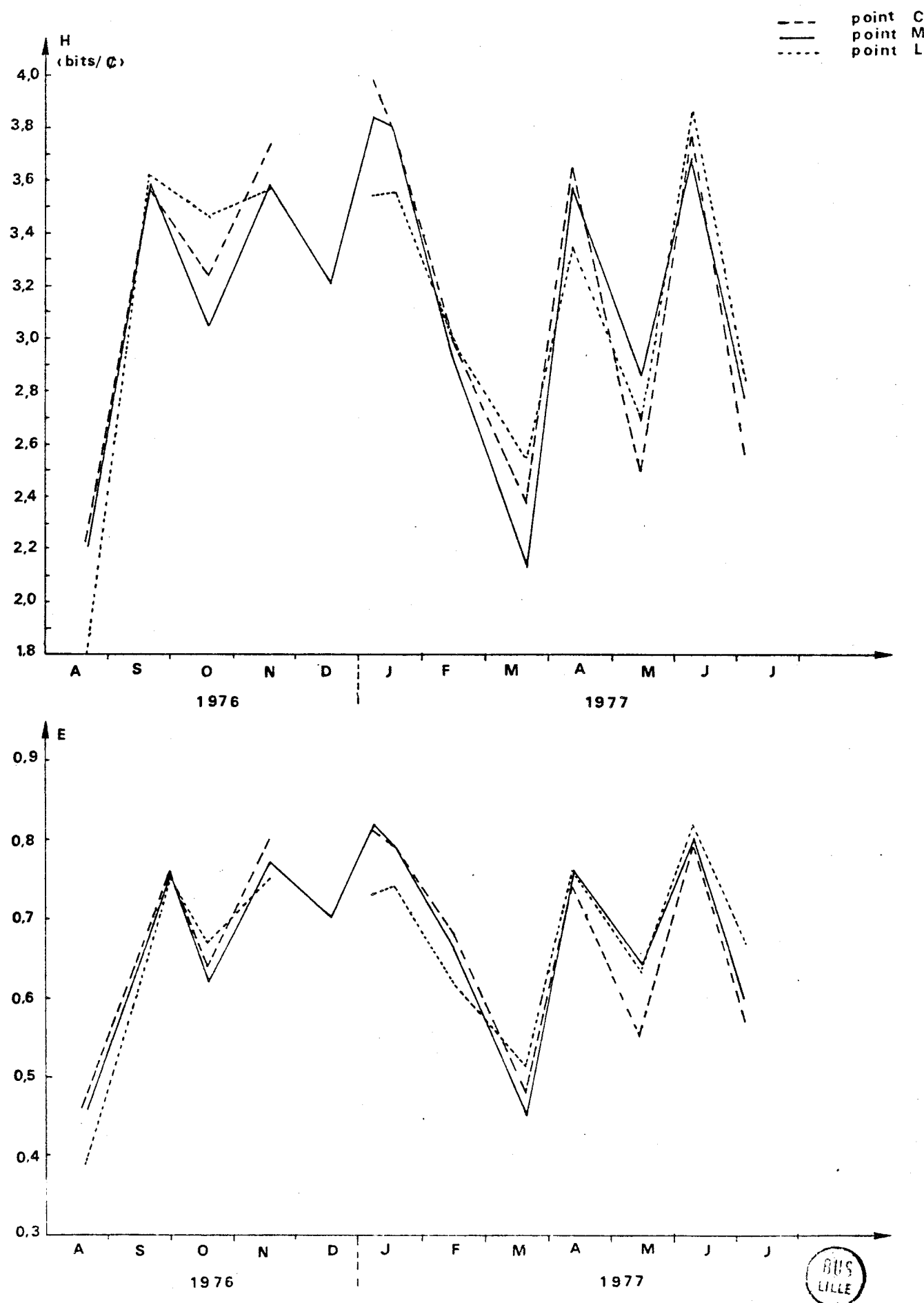


Fig. 118 - Variations de l'indice de diversité (H) et de l'équitabilité (E) à Gravelines en 1976-77.



BUS
LILLE

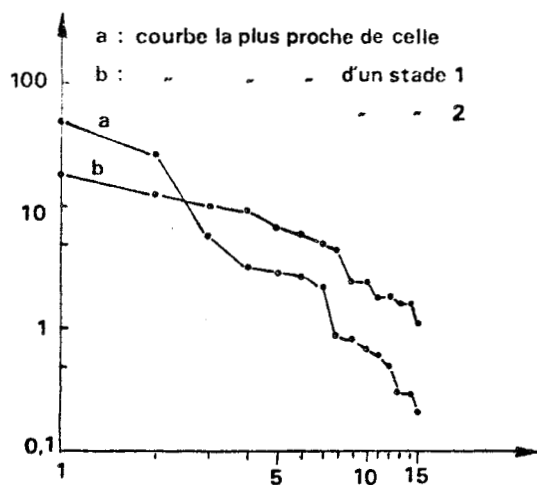
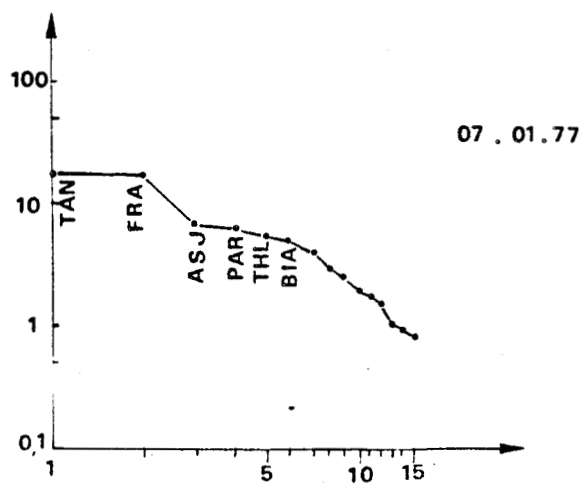
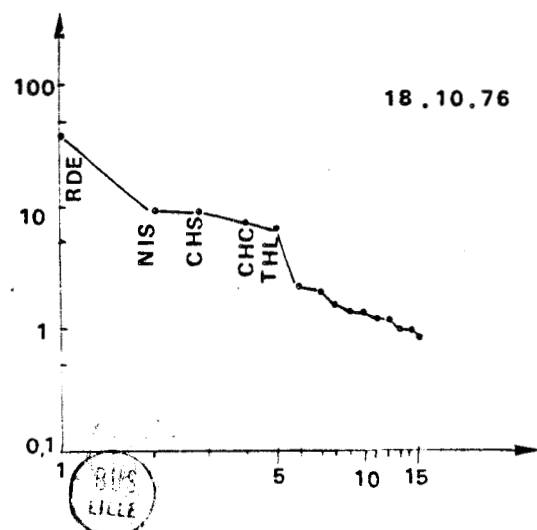
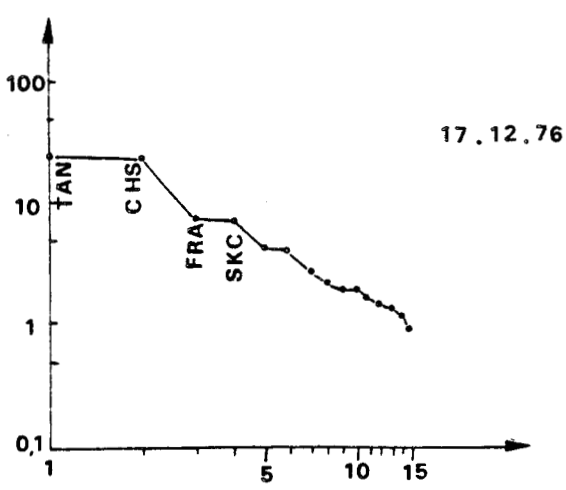
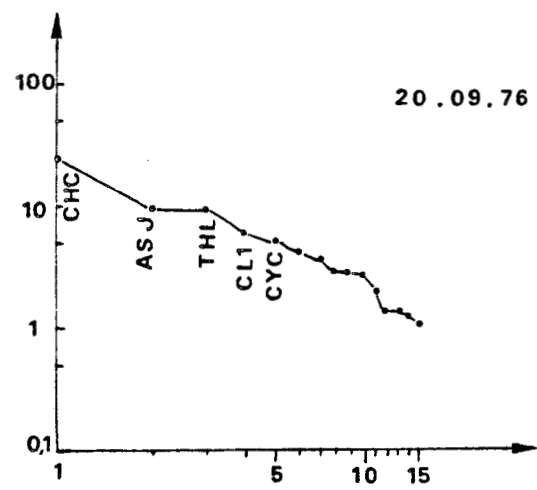
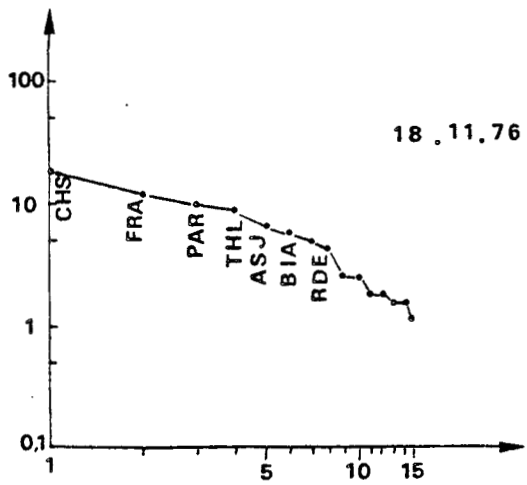
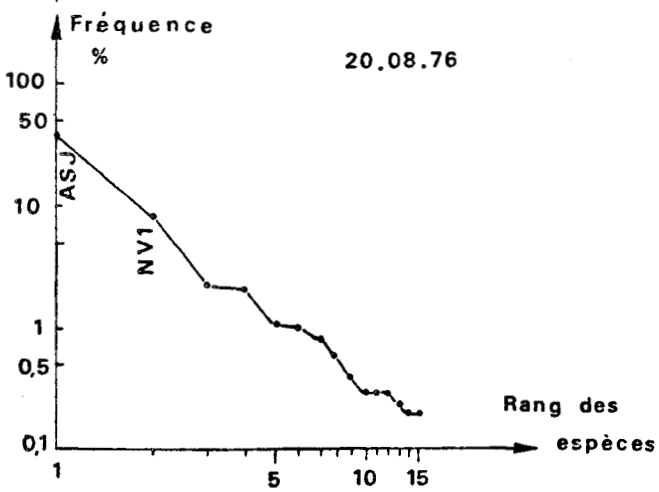


Fig. 119 - Diagrammes rang-fréquence à Gravelines en 1976-77. (Moyenne des stations C₁, M₁, L₁ et C₂, M₃, L₂).

Les abréviations utilisées pour représenter les espèces sont précisées au début de ce volume.



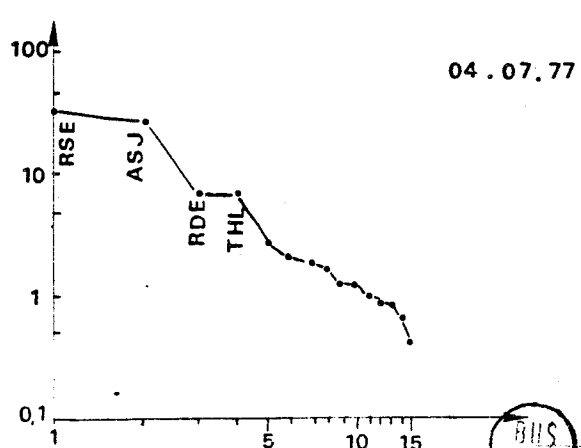
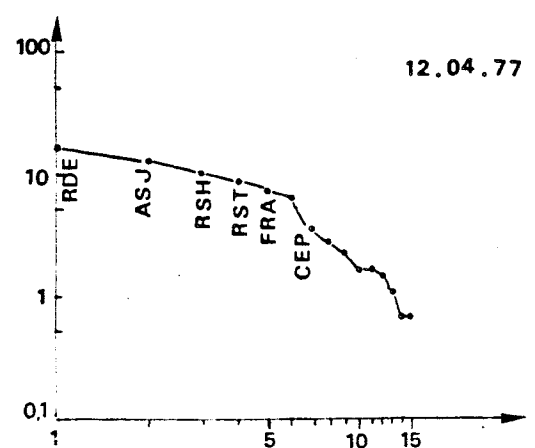
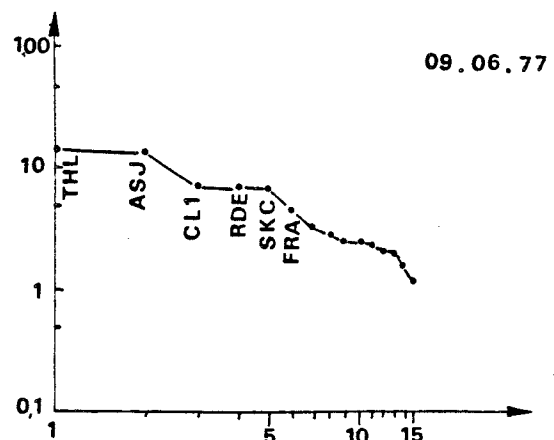
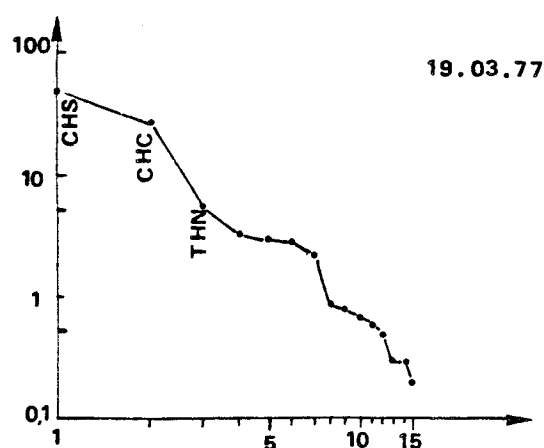
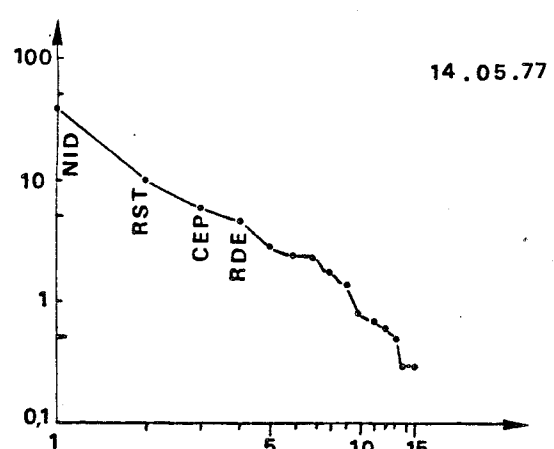
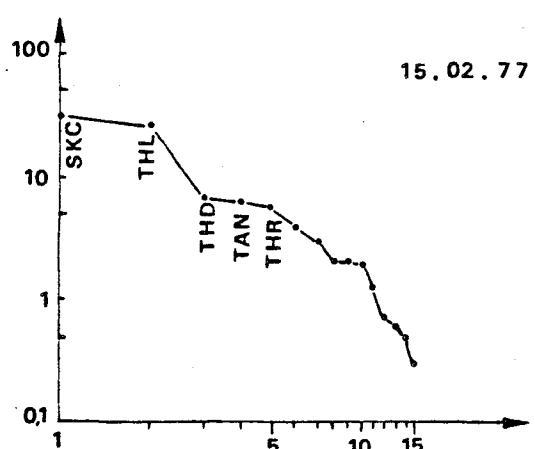
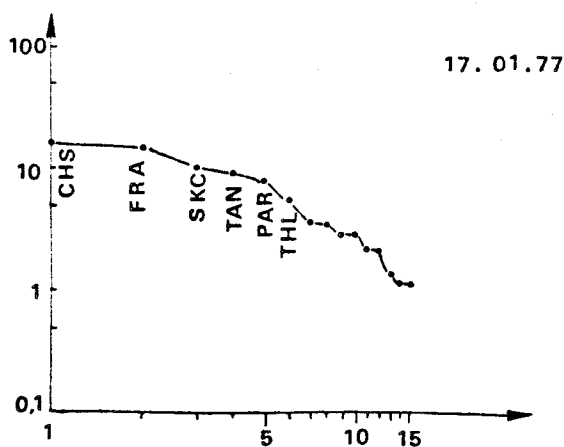
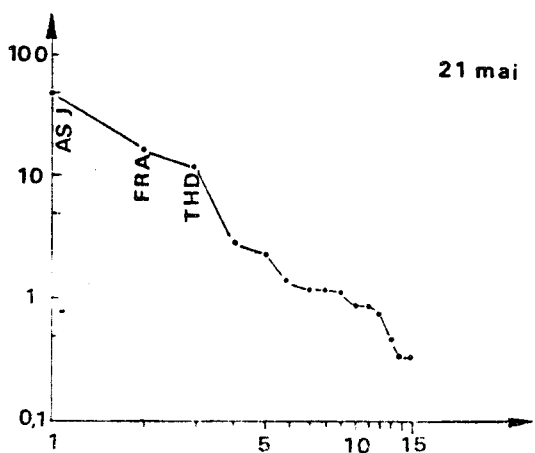
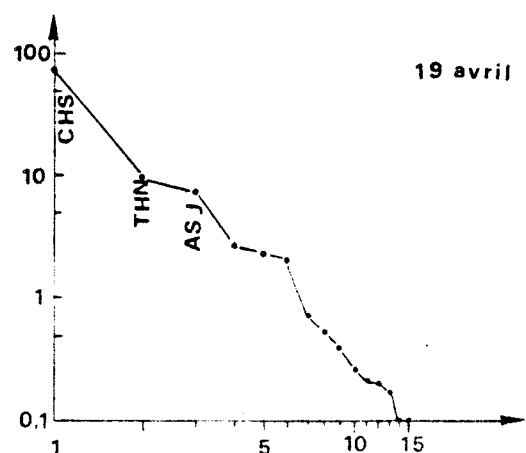
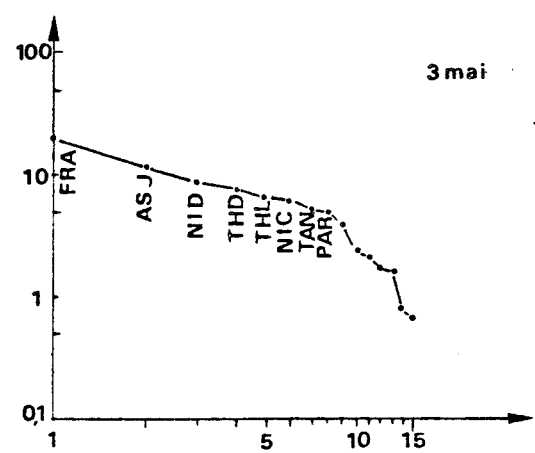
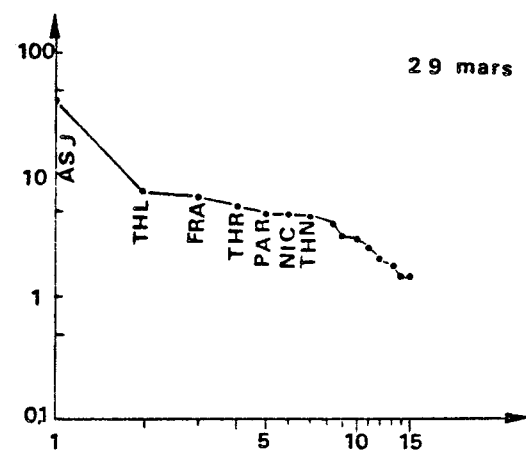
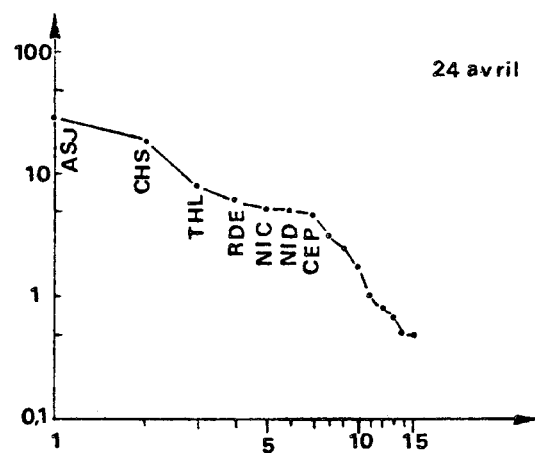
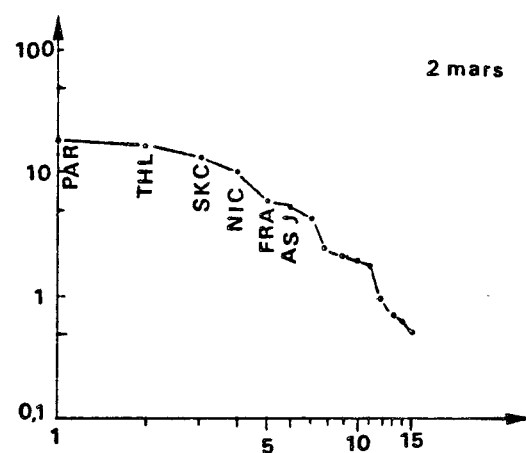
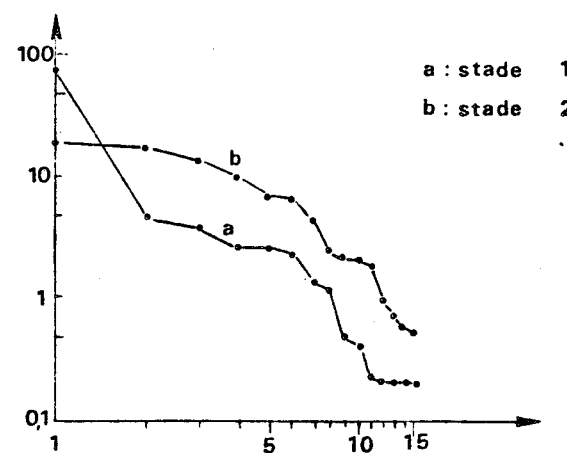
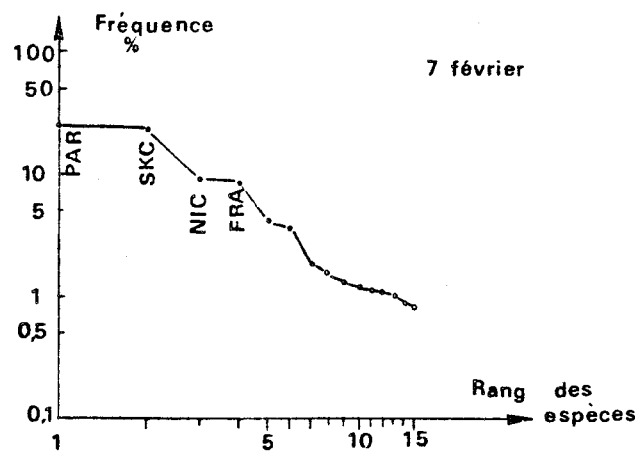


Fig. 120 - Diagrammes rang-fréquence à Gravelines en 1978
 (Moyenne des stations C, M et L (ou HZ)).



Les abréviations utilisées pour représenter les espèces sont précisées au début de ce volume.

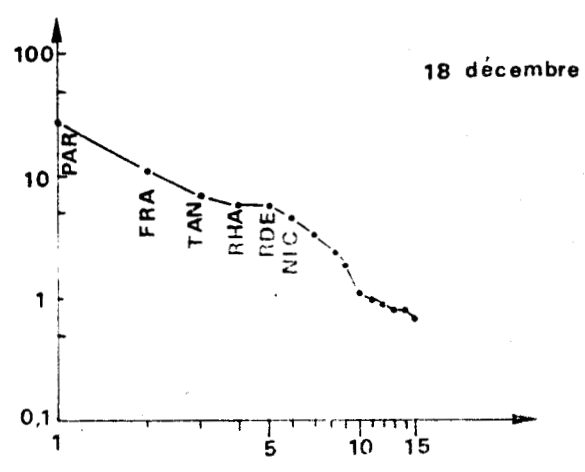
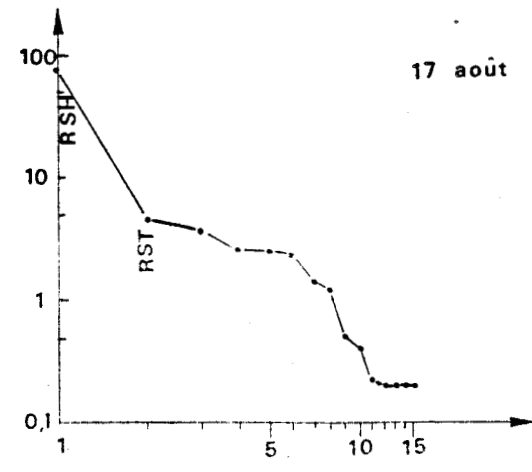
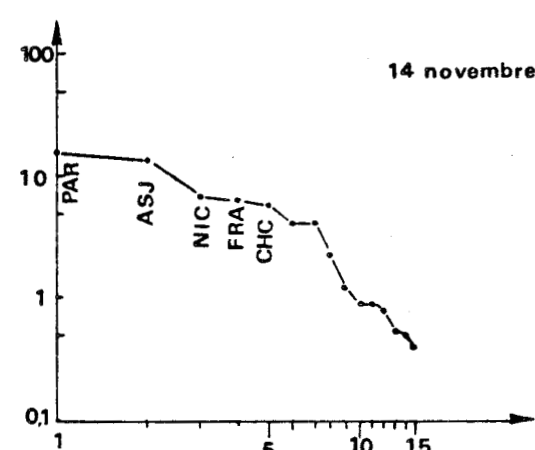
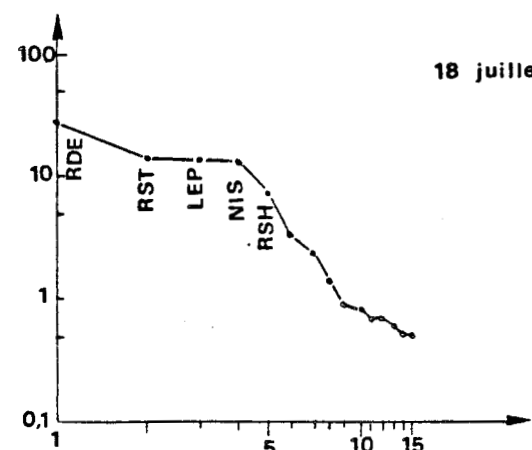
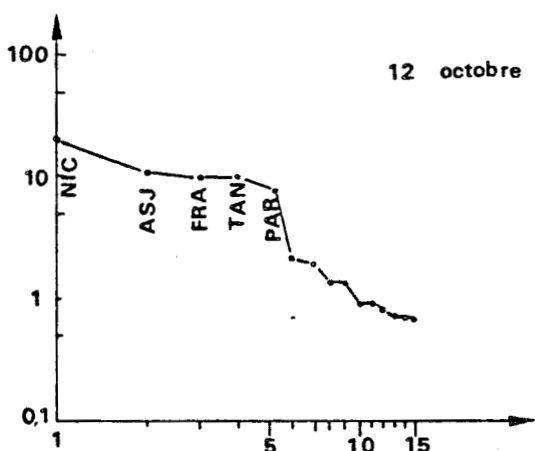
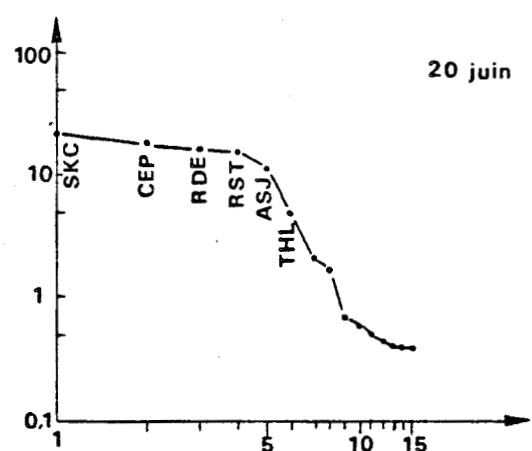
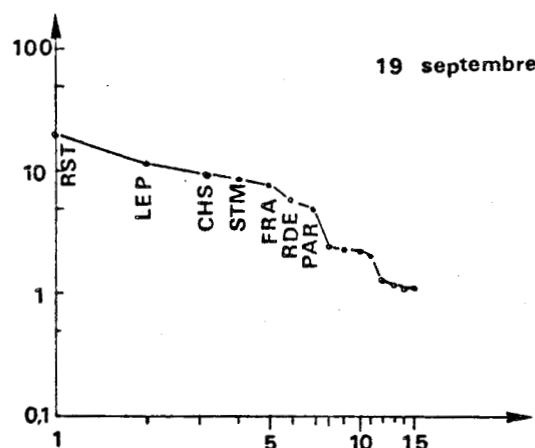
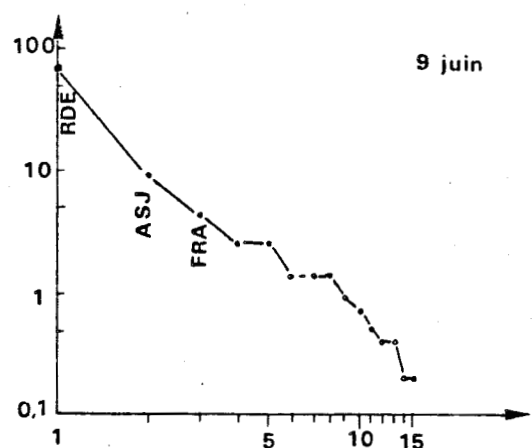


Fig. 121 - Variations de l'indice de diversité (H) et de l'équitabilité (E) à Gravelines en 1978.

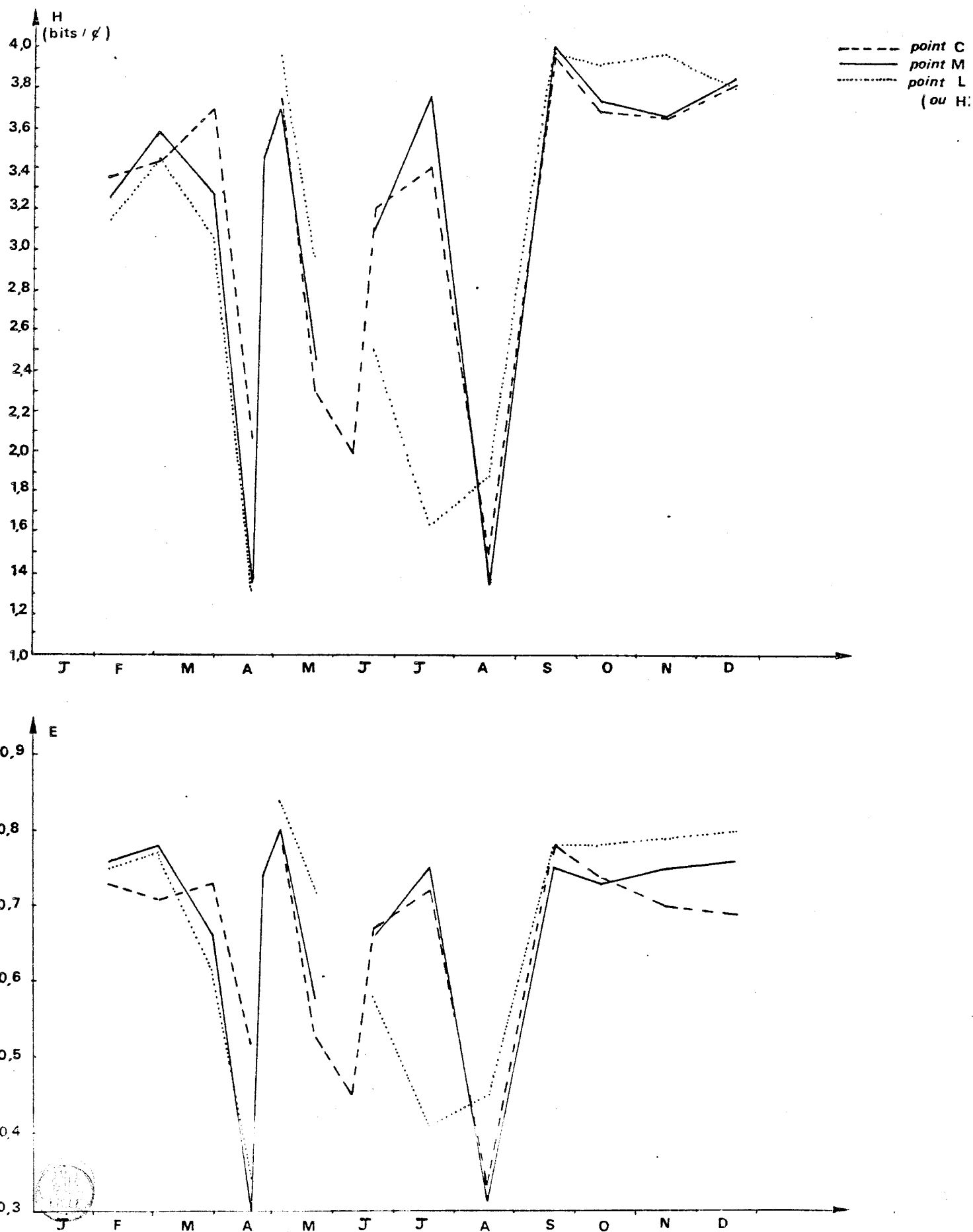
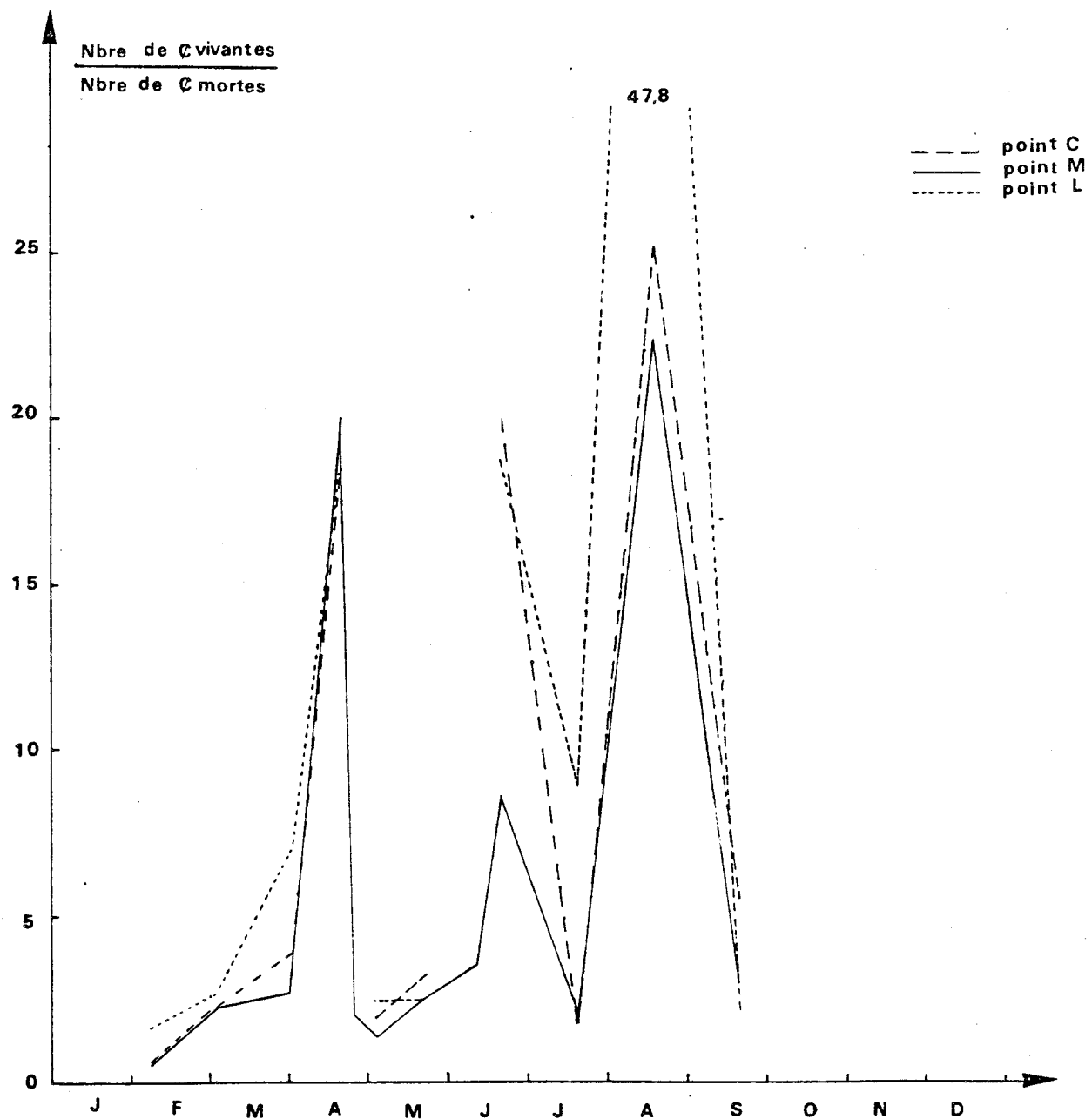
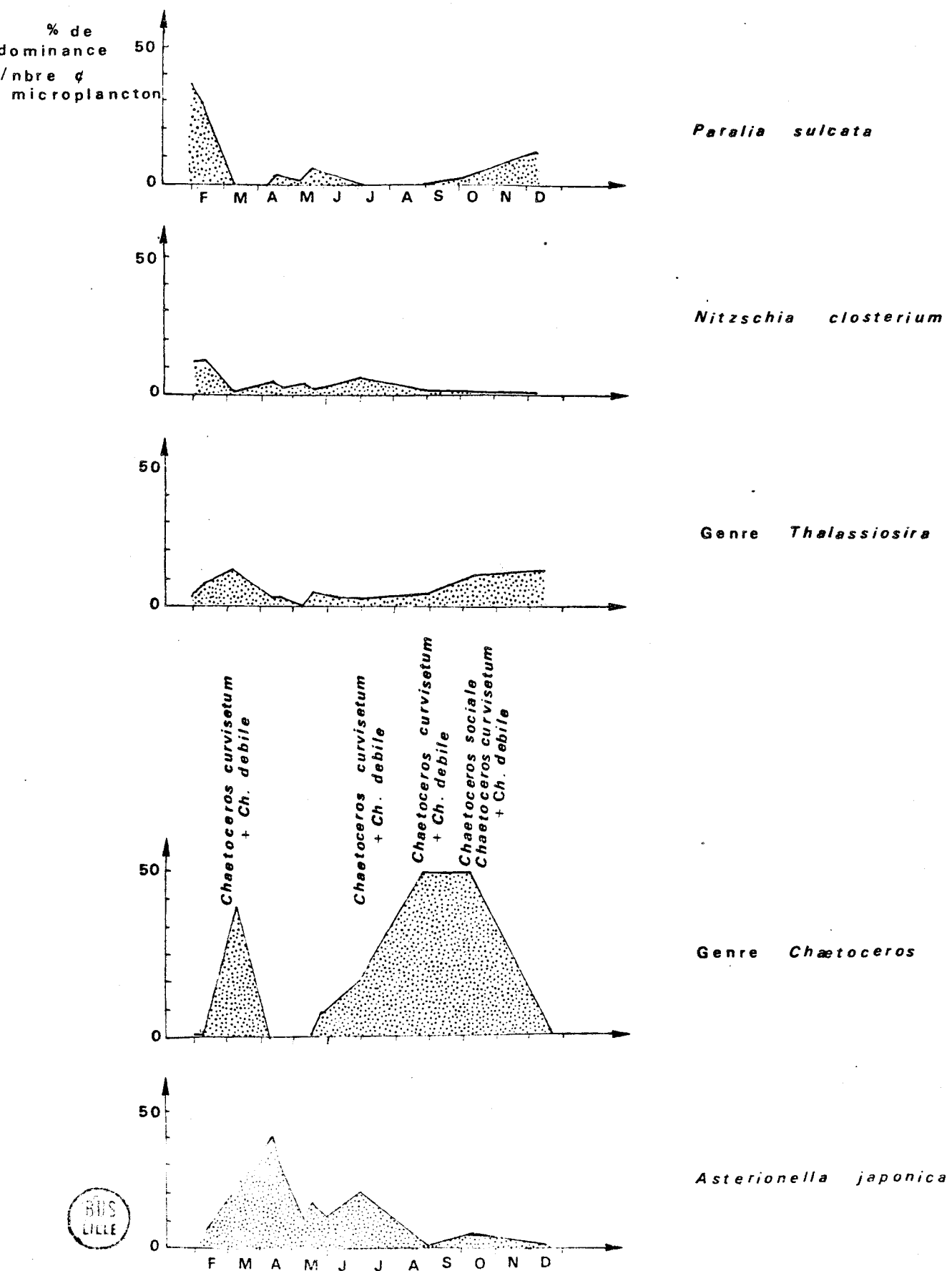


Fig. 122 - Variations du rapport cellules vivantes /
cellules mortes à Gravelines en 1978.



BIIIS
LILLE

Fig. 123 - Succession des populations de Diatomées à Gravelines en 1975 (Espèces principales).



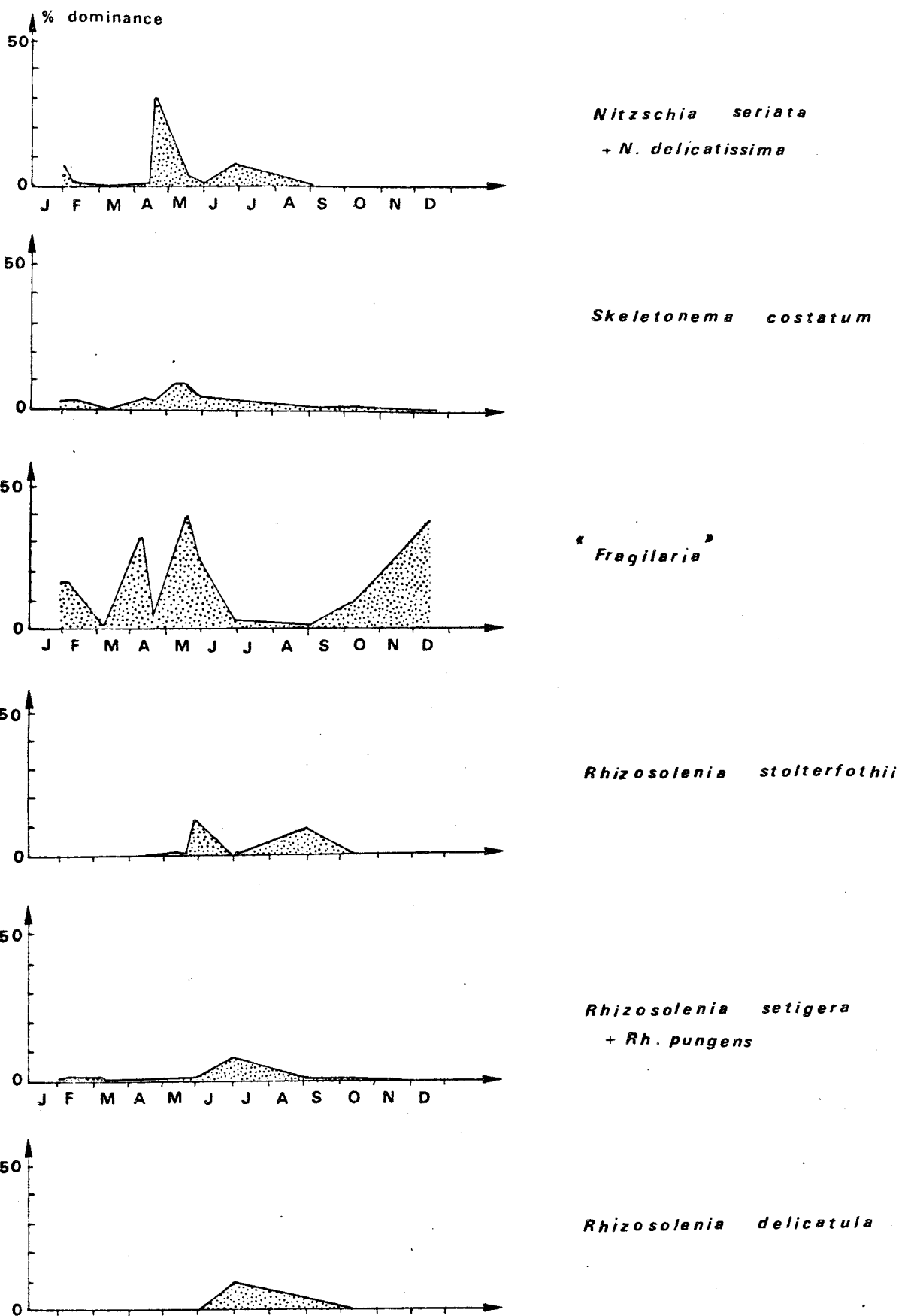
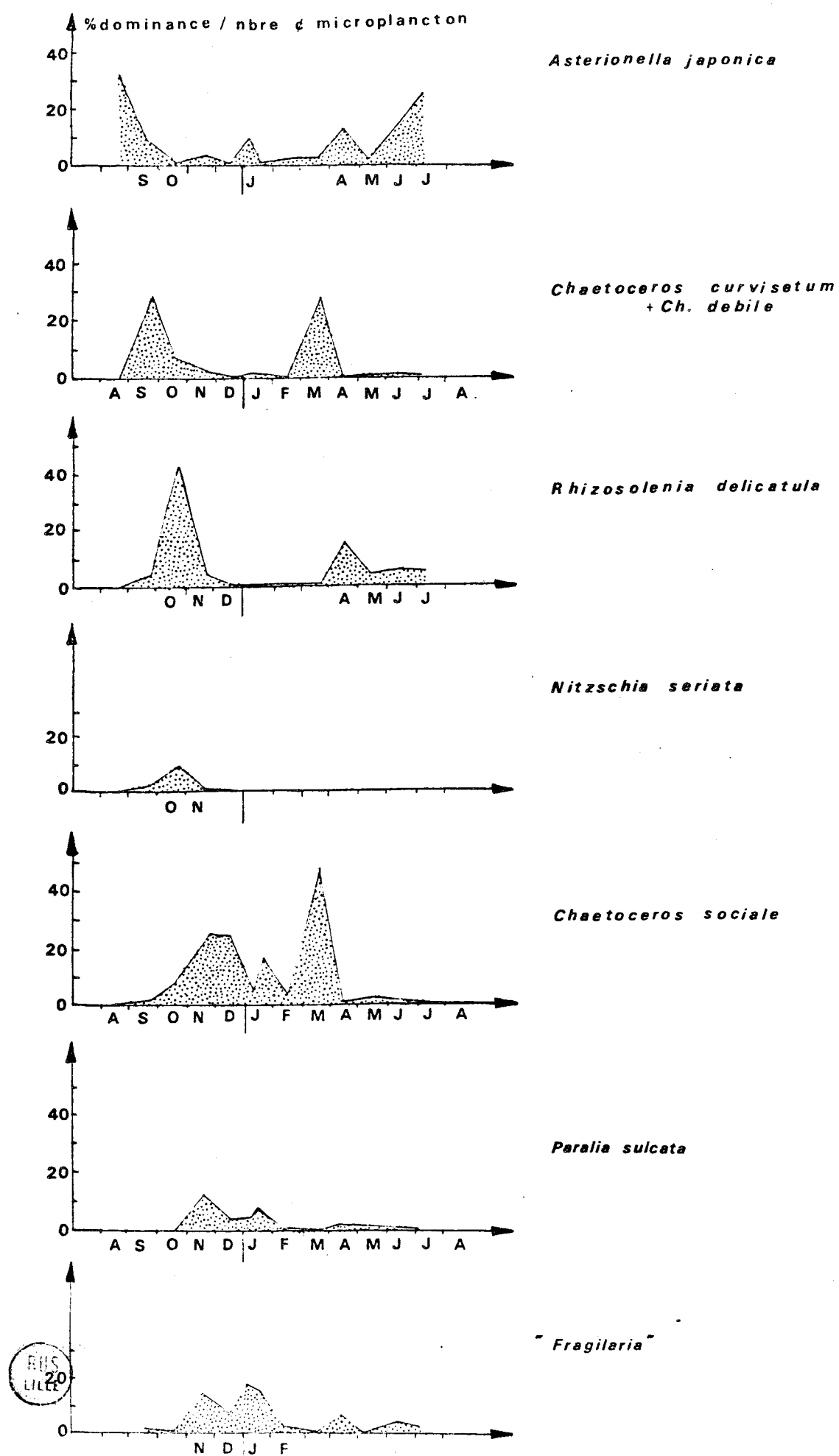


Fig. 124 - Succession des populations de Diatomées à Gravelines en 1976-77 (Espèces principales).



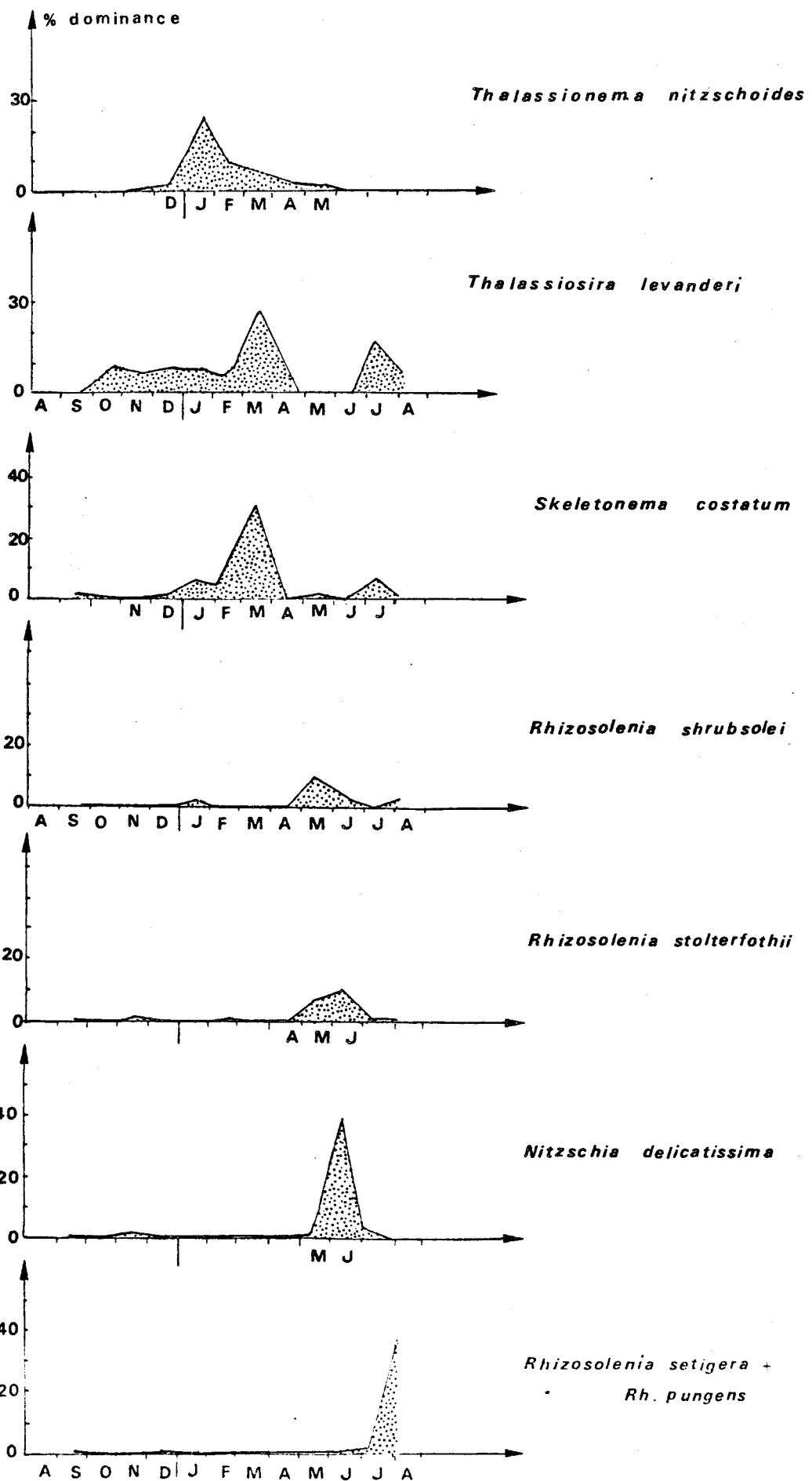
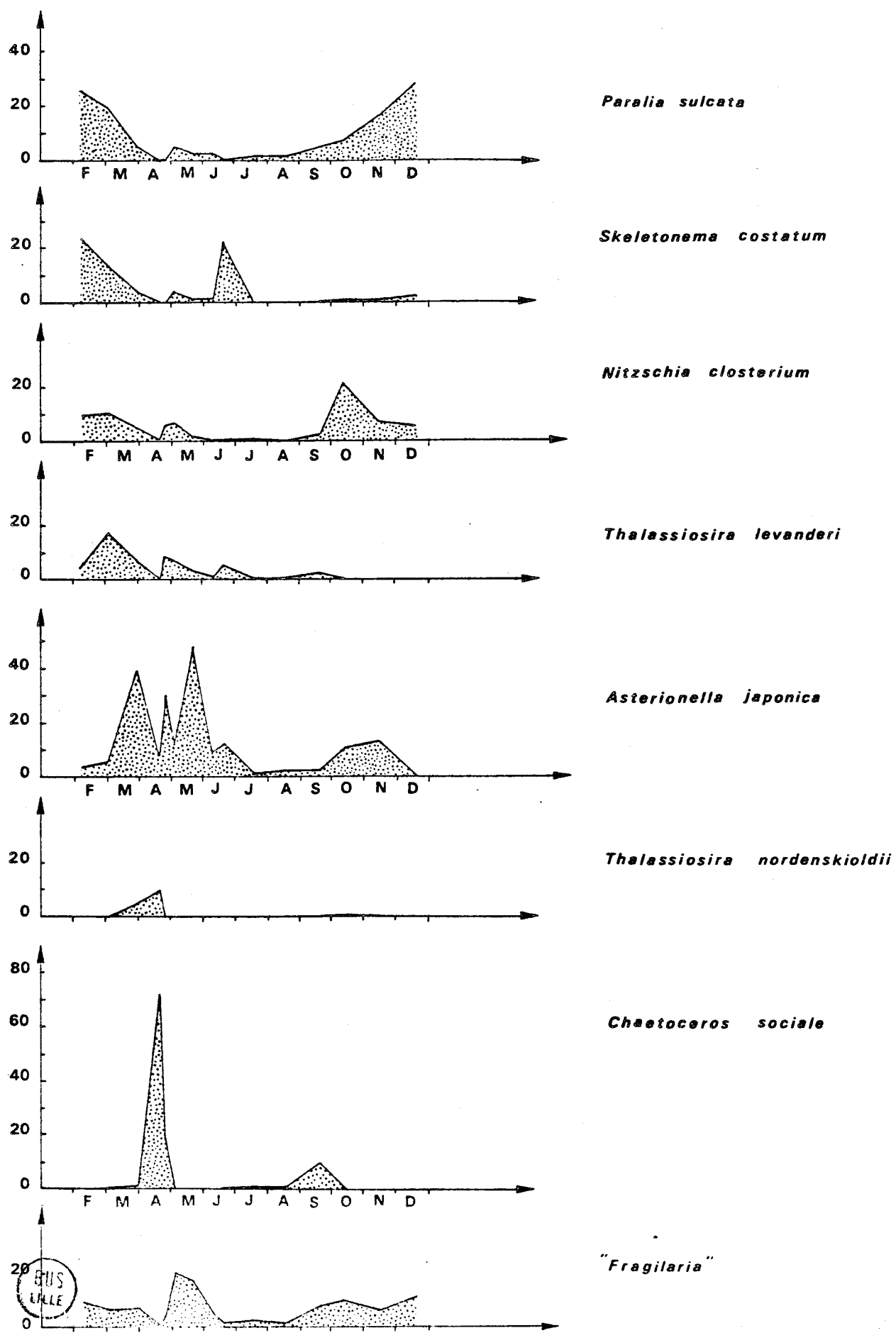


Fig. 125 - Succession des populations de Diatomées à Gravelines en 1978 (Espèces principales).



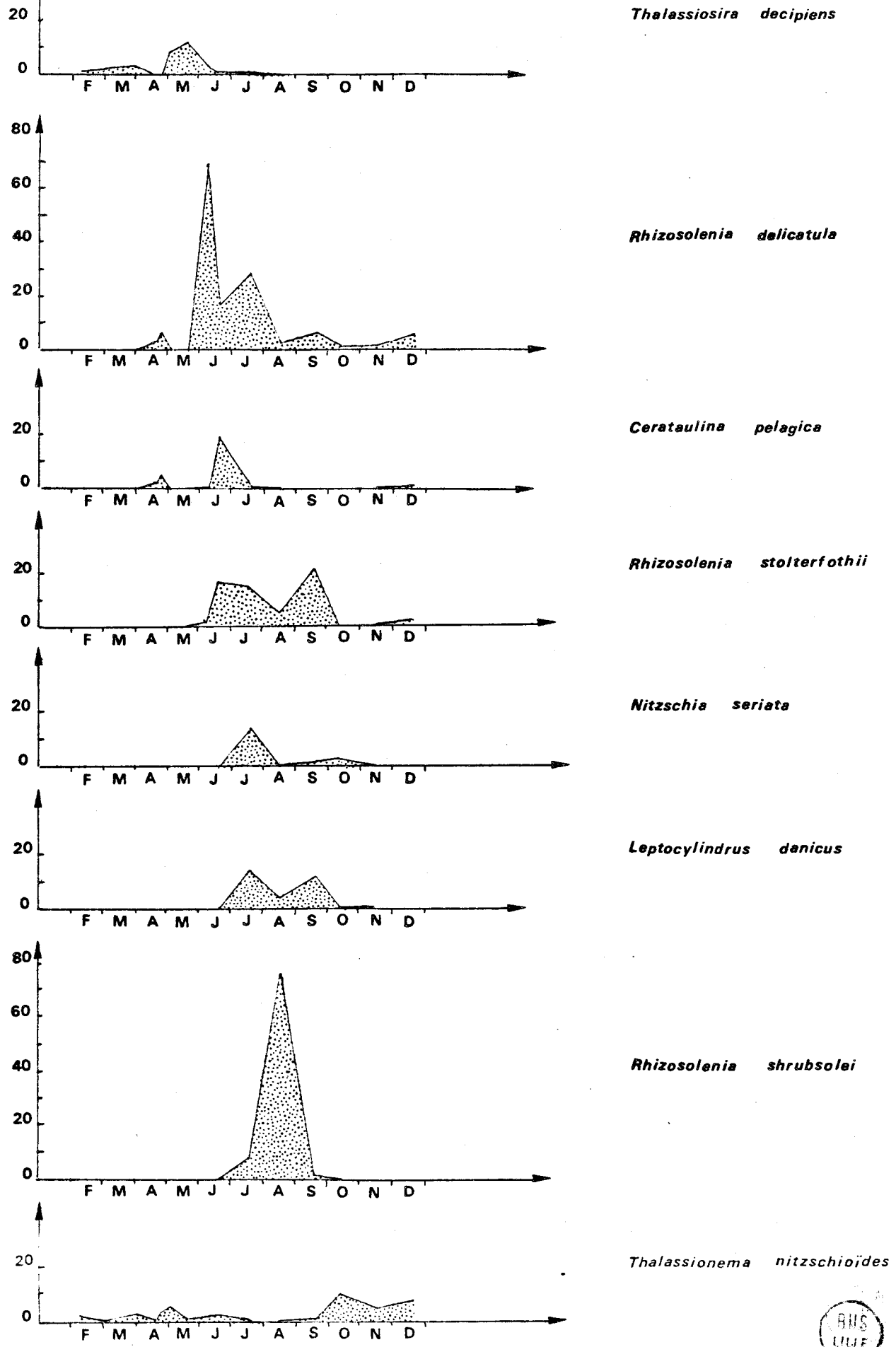
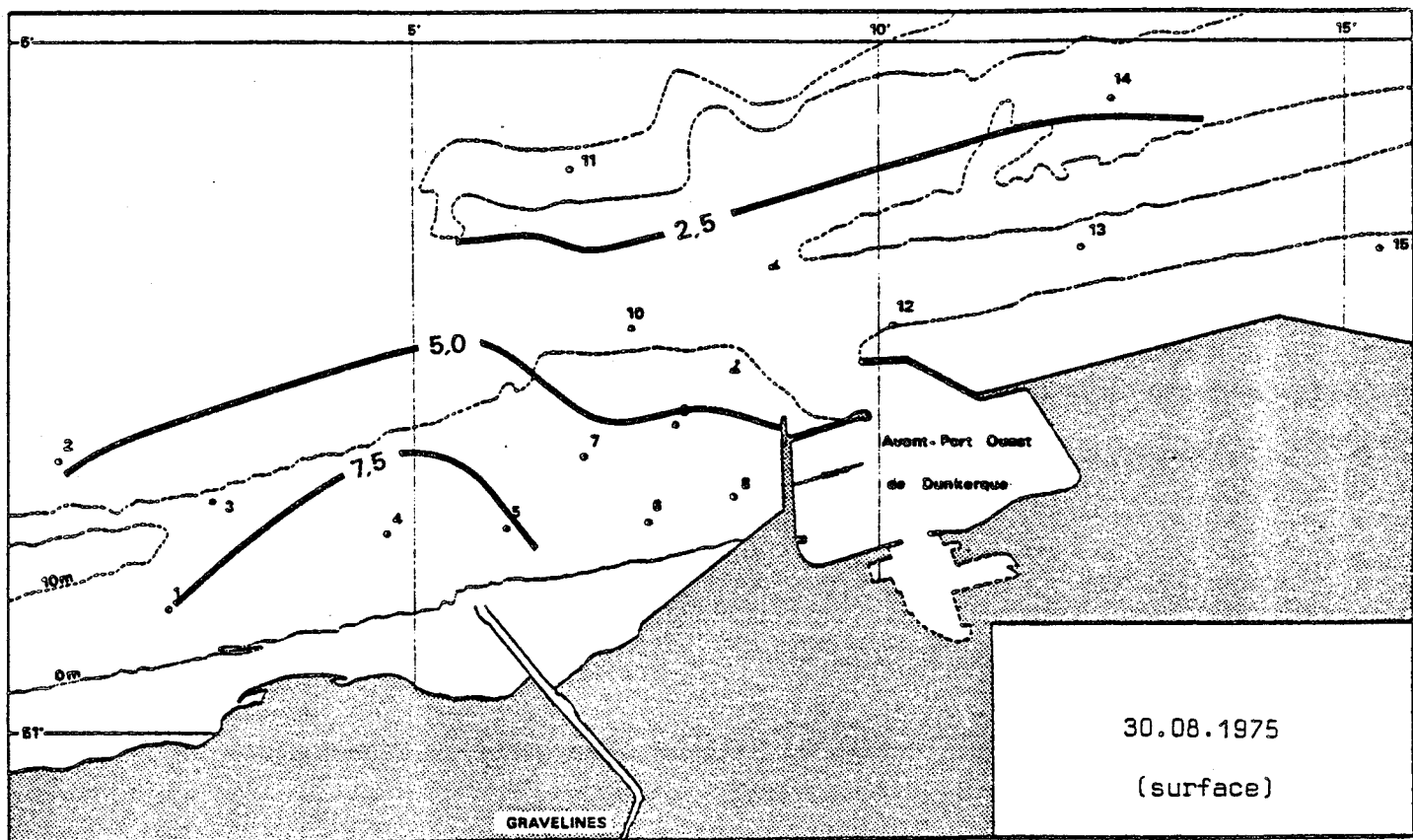
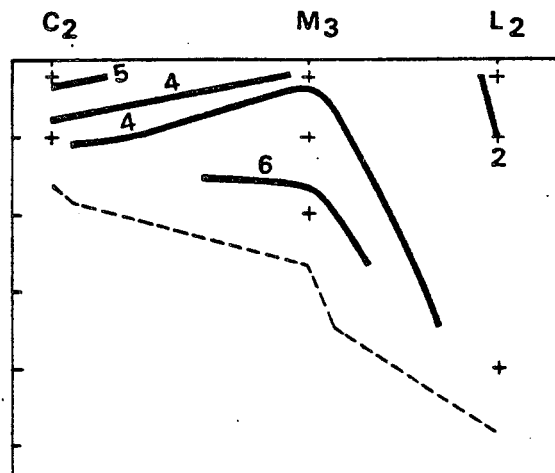
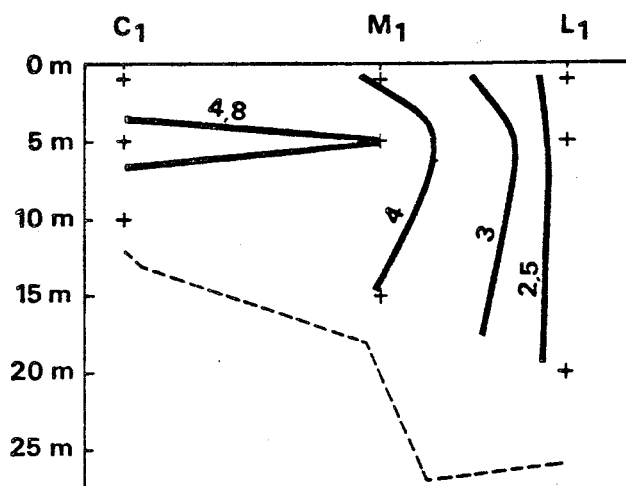


Fig. 126 - Variations spatiales de la chlorophylle a
(μ g/l) à Gravelines.



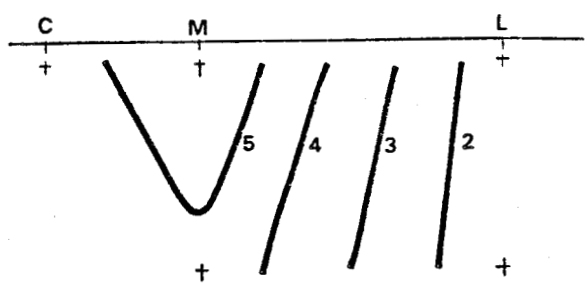
— 15.02.77 —



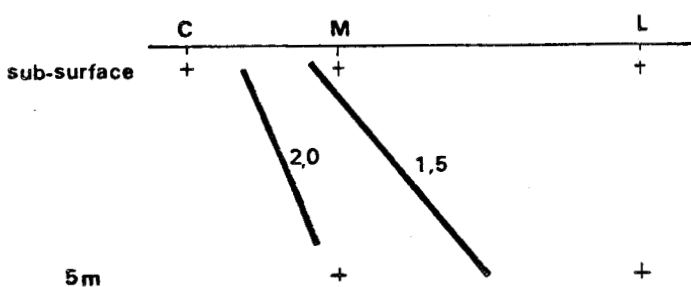
Les tracés correspondants des autres campagnes des cycles 1974-75 et 1976-77 figurent dans le D.E.A. (BOUGARD, 1976) et dans le rapport E.d.F.-C.N.E.X.O.-I.B.M.R.W. (BOUGARD, 1977).

Fig. 127 - Distribution de la chlorophylle a
($\mu\text{g/l}$) au niveau de la radiale à Gravelines
en 1978.

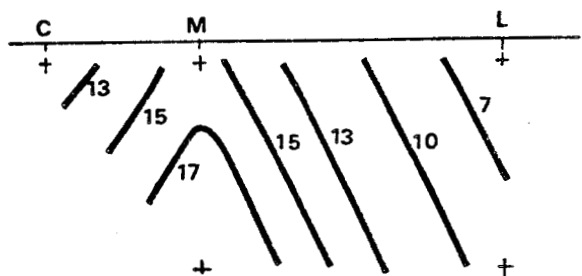
21 mai



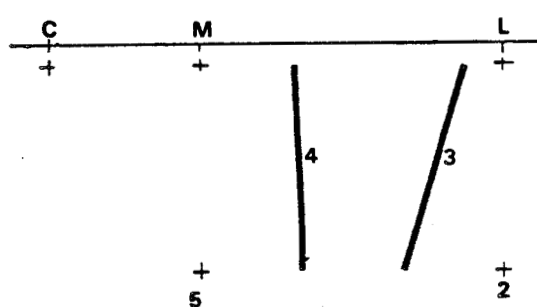
2 mars



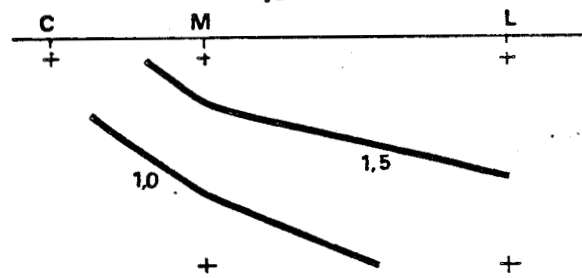
20 juin



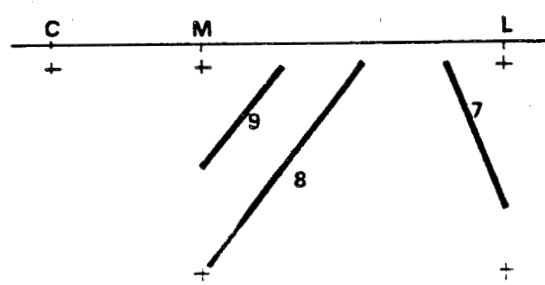
30 mars



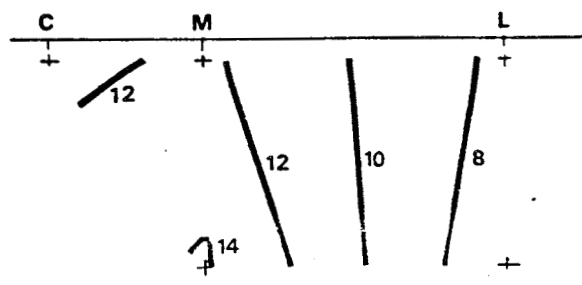
18 juillet



19 avril



17 août



Les tracés correspondants du cycle 1974-75 et ceux du cycle 1976-77
qui manquent ici figurent dans le D.E.A. (BOUGARD, 1976) et dans le
rapport E.d.F. - C.N.E.X.O. - I.B.M.R.W. (BOUGARD, 1977).



Fig. 128 - Distribution du microplancton (nbre μ/cm^3) au niveau de la radiale à Gravelines en 1978.

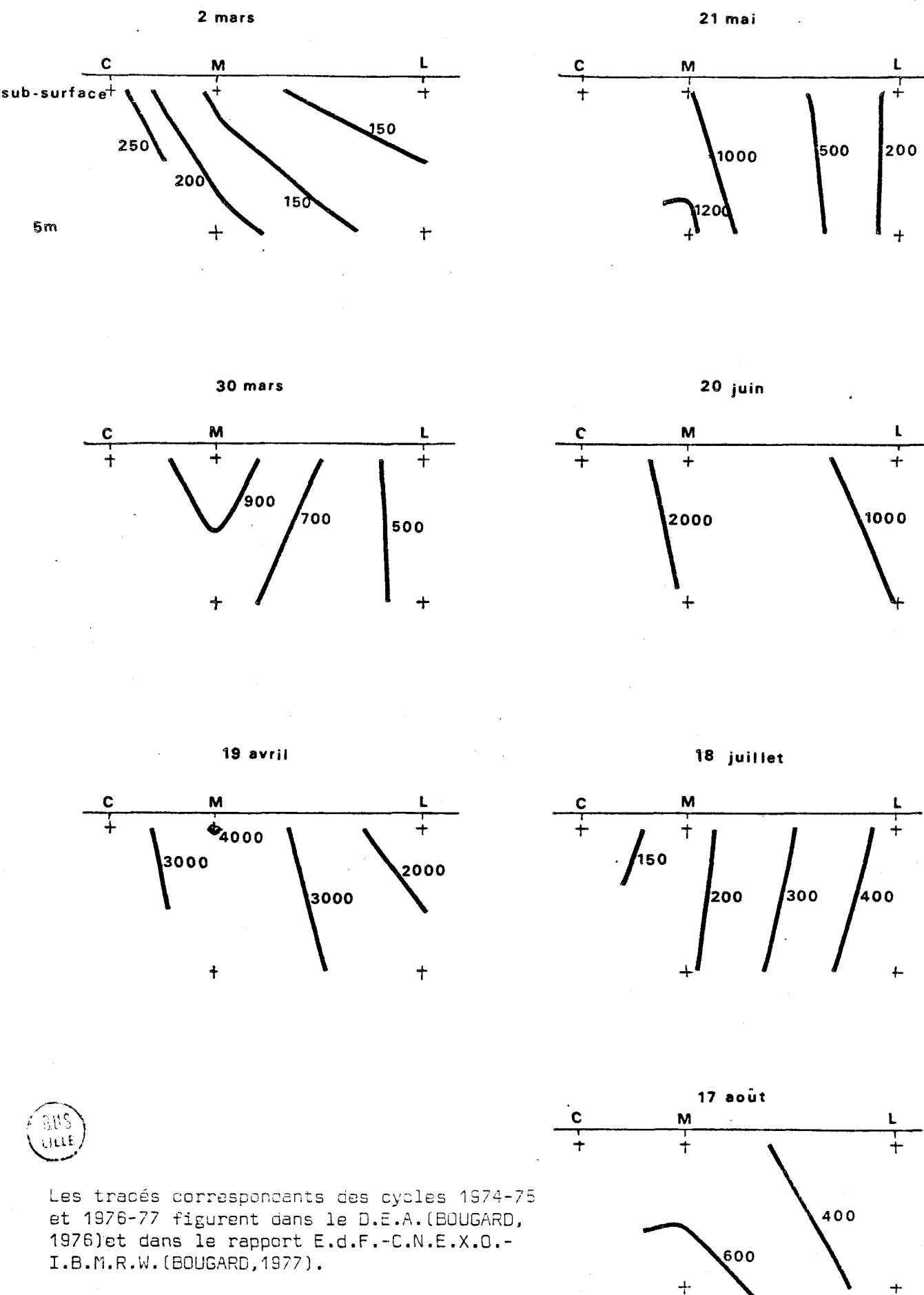
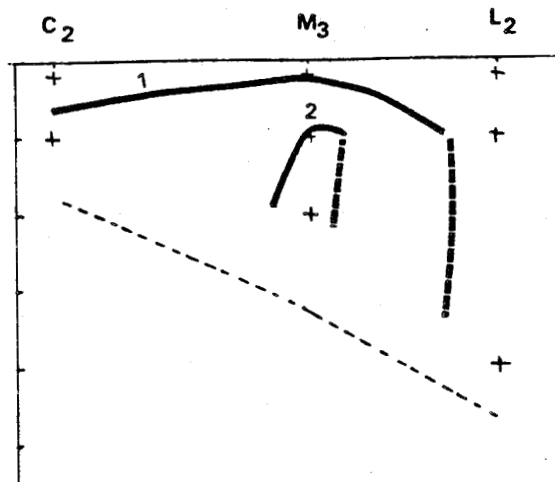
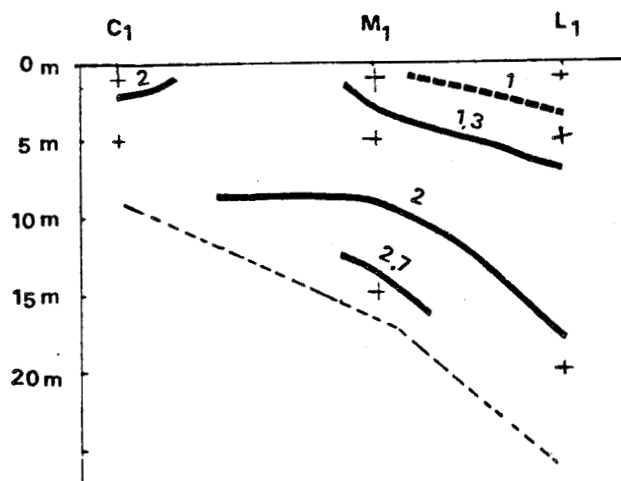
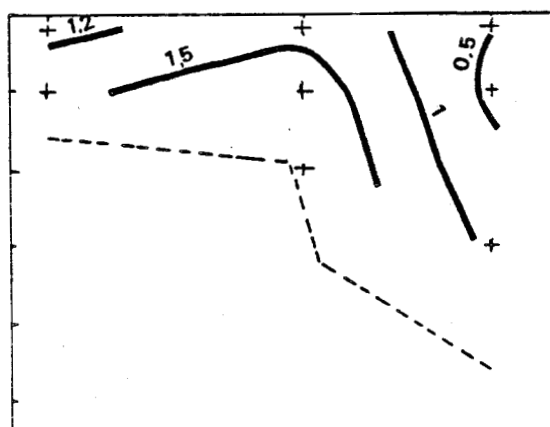
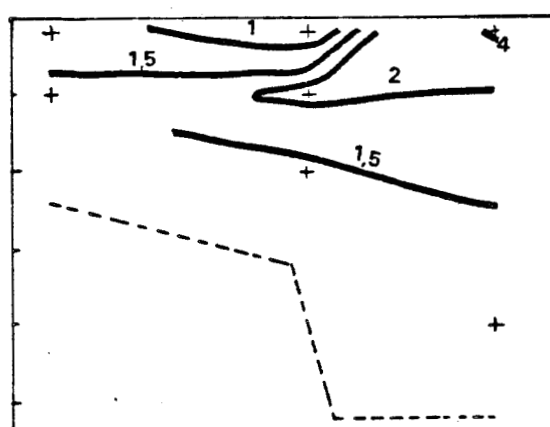


Fig. 129 - Distribution des phéopigments ($\mu\text{g/l}$) au niveau de la radiale à Gravelines en 1976-77.

20.09.76



18.11.76



15.02.77

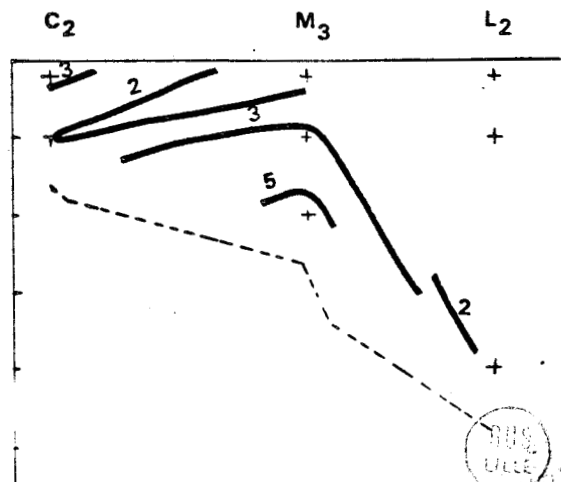
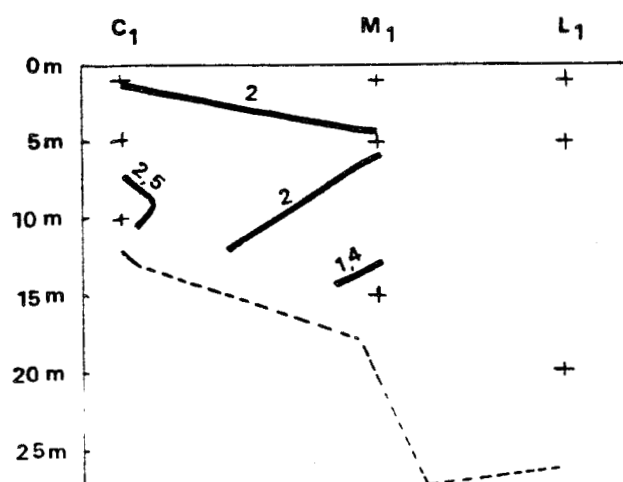
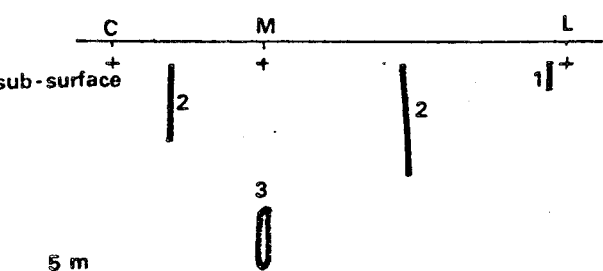
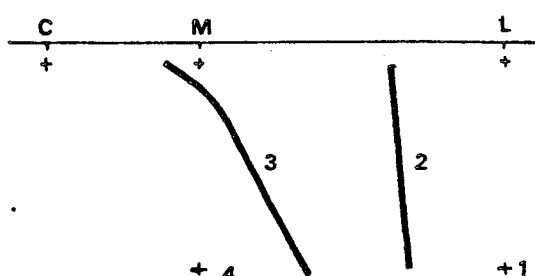


Fig. 130 - Distribution des phéopigments ($\mu\text{g}/\text{l}$) au niveau de la radiale à Gravelines en 1978.

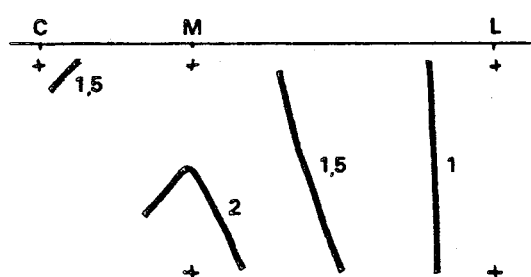
7 février



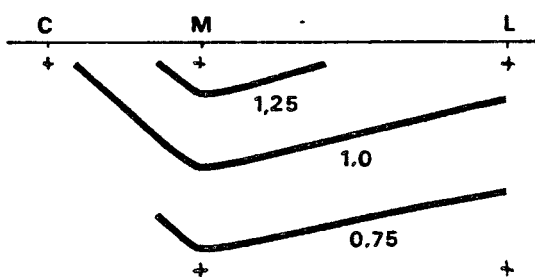
20 juin



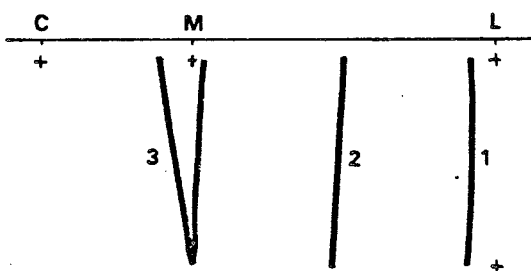
30 mars



18 juillet



21 mai



17 août

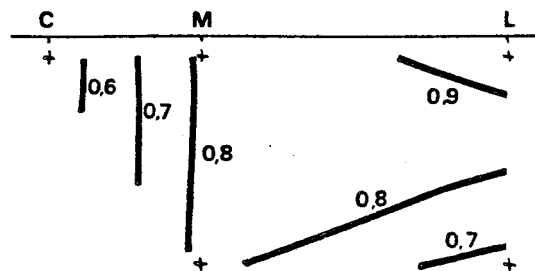


Fig. 131 - Distribution de la salinité, des matières en suspension et des phéopigments le 18 juillet 1978 à Gravelines.

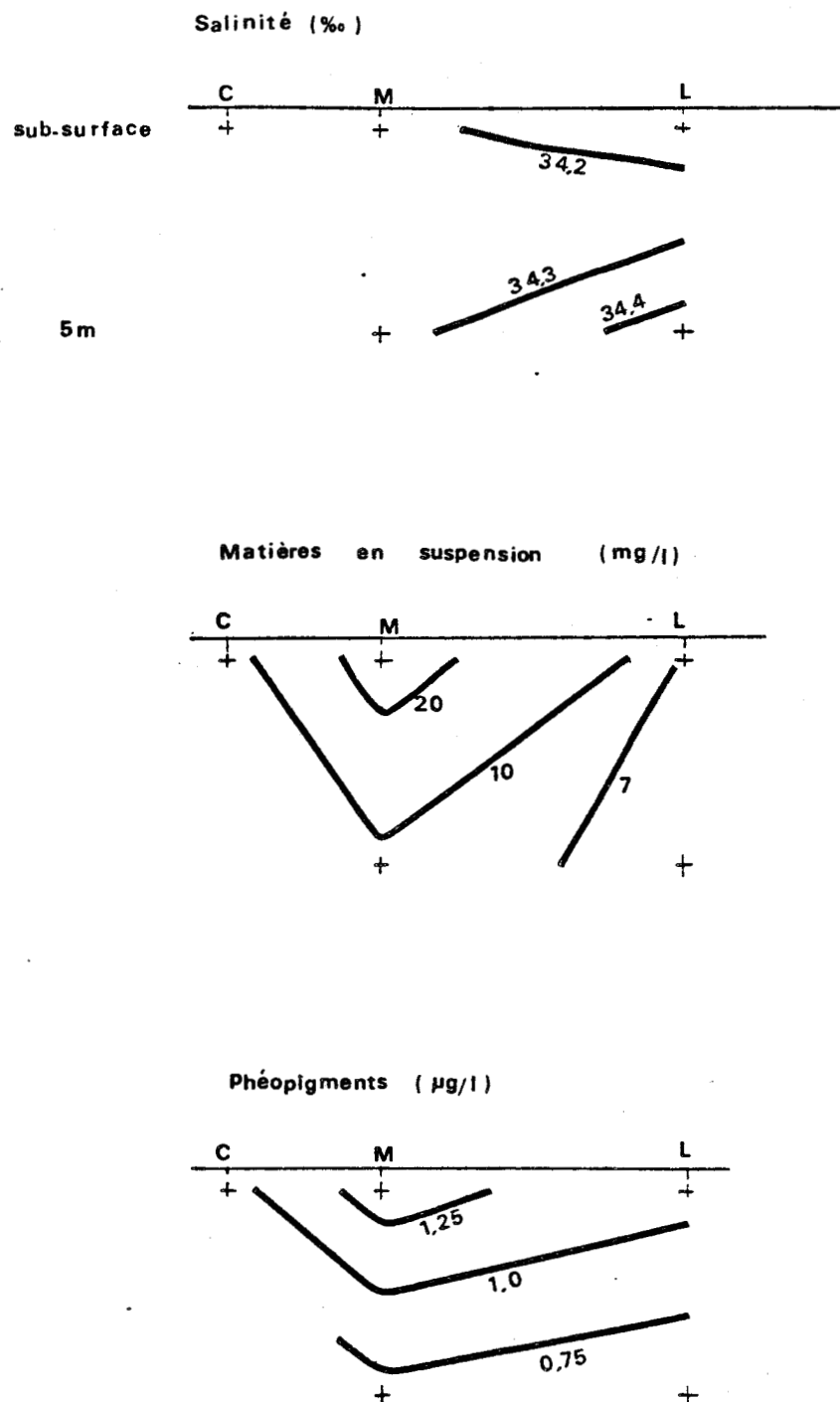
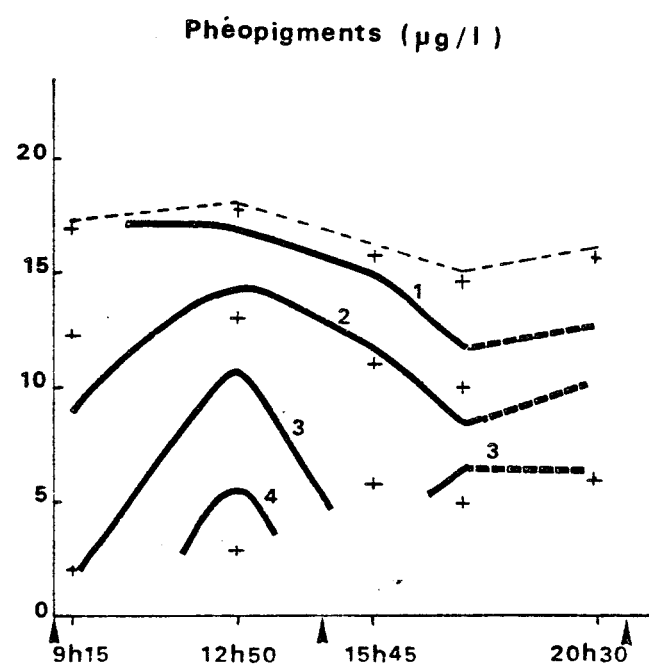
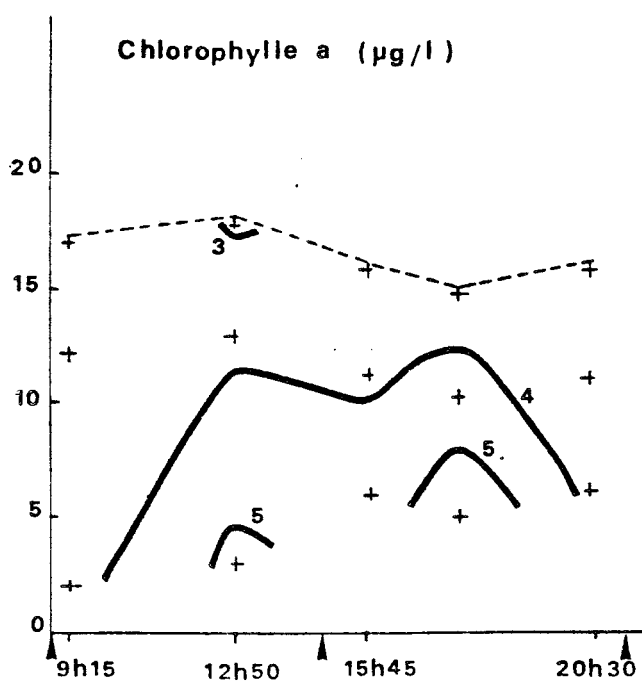
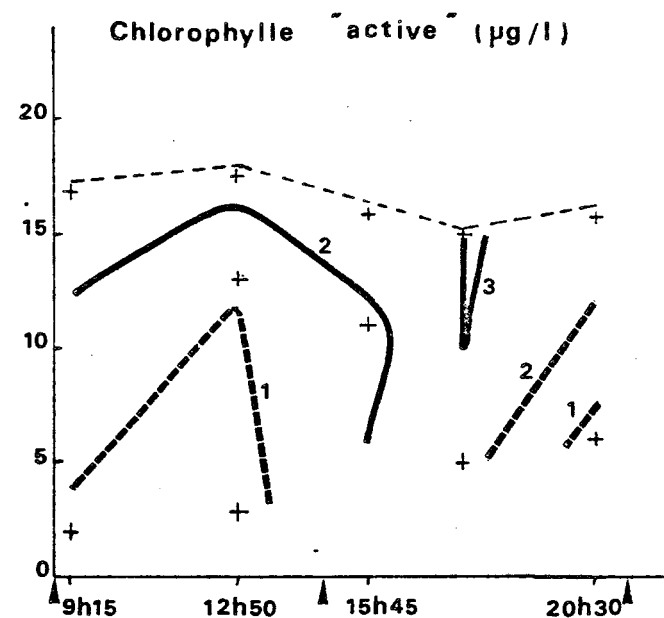
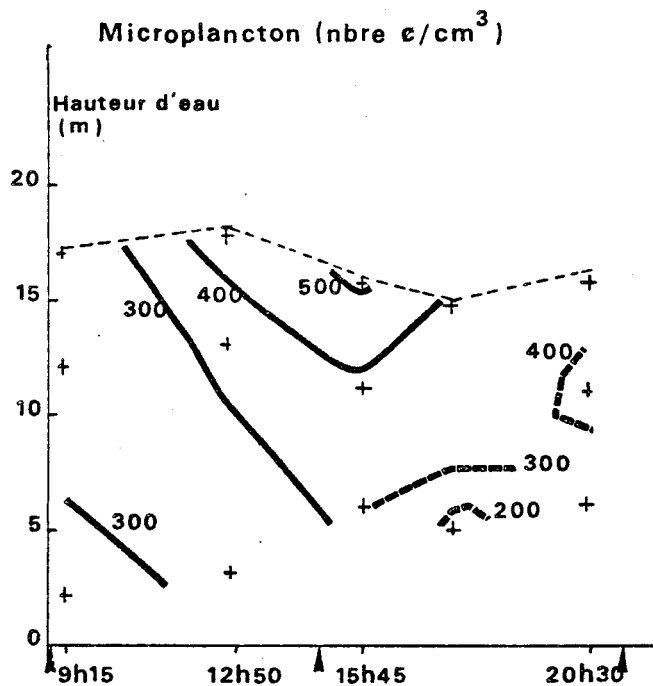
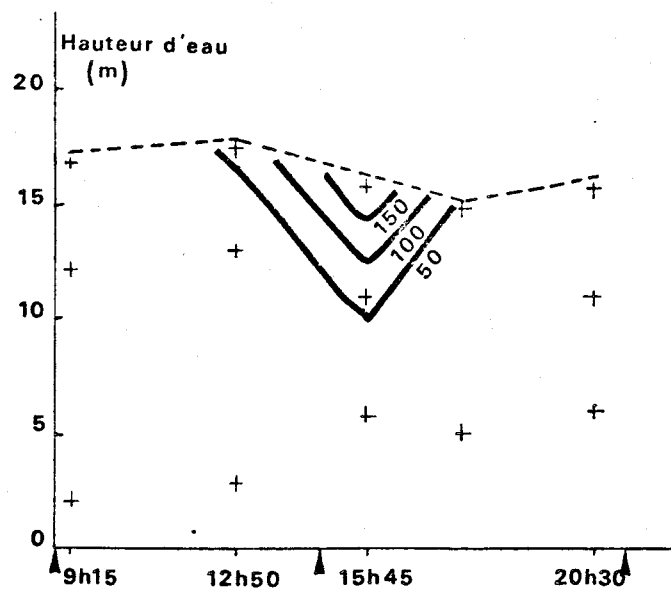


Fig. 132 - Evolution du phytoplancton au point M au cours d'un cycle de marée - 20 septembre 1976 - coeff. 58.
 (P.M. 10h 49 B.M. 17h 46)
 23h 18

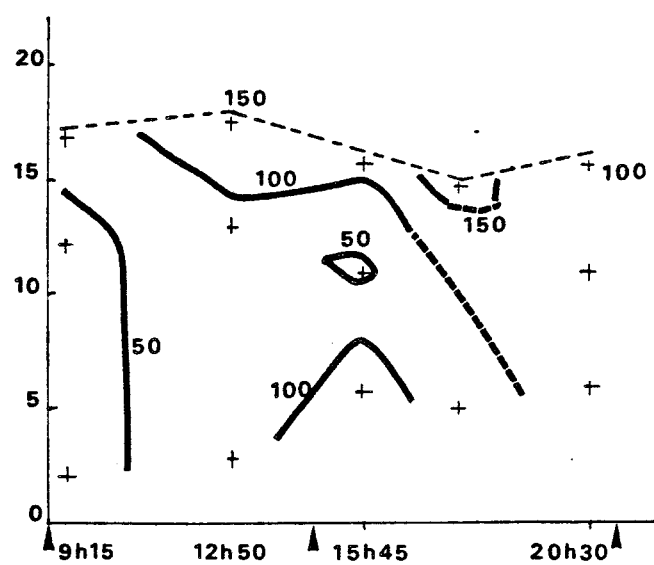
▲ : étale de courant



Thalassiosira levanderi



Chaetoceros curvisetum + Ch. debile



Asterionella japonica

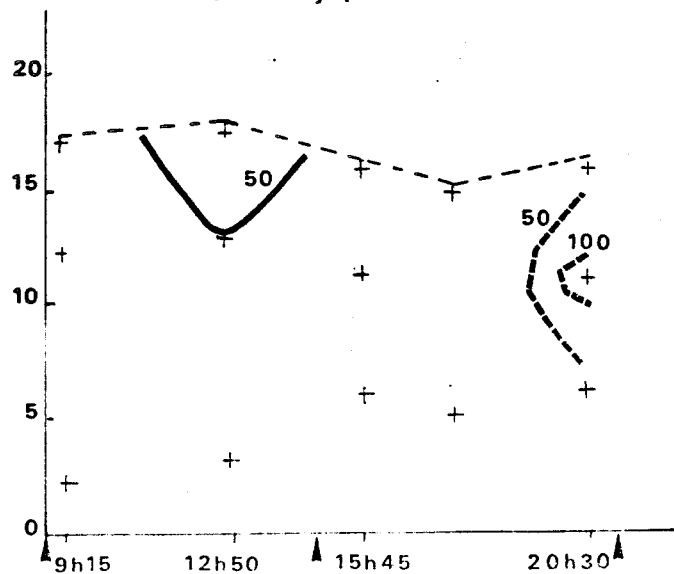


Fig. 133 - Evolution de quelques paramètres hydrologiques au point M
au cours d'un cycle de marée - 20 septembre 1976.

▲ : étalement de courant

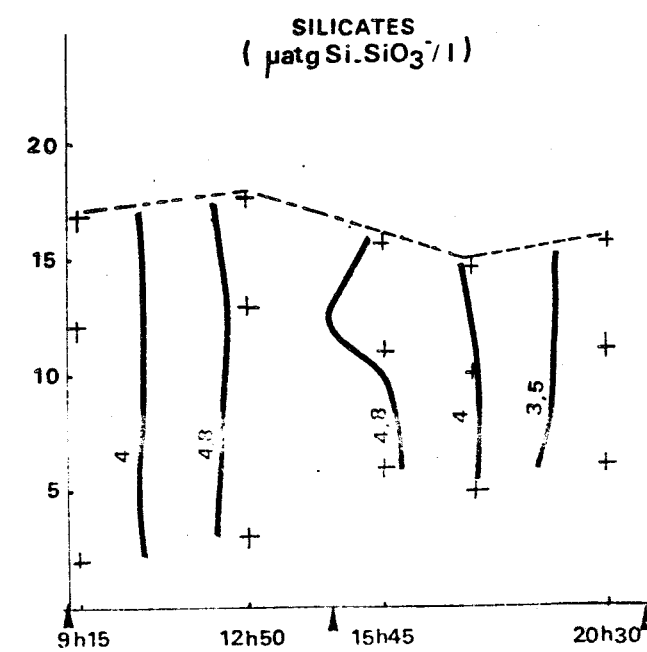
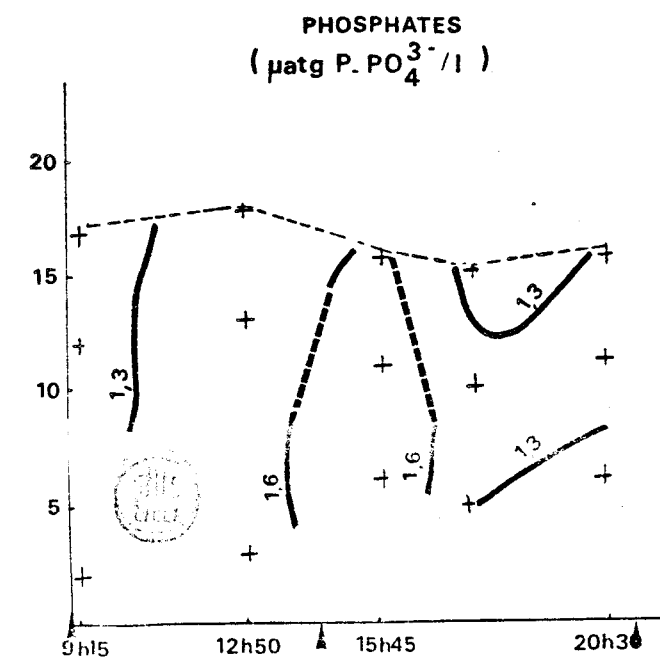
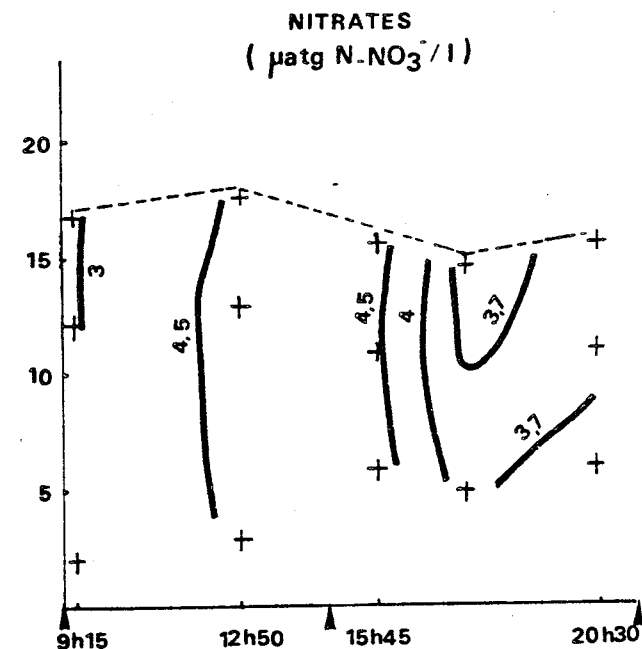
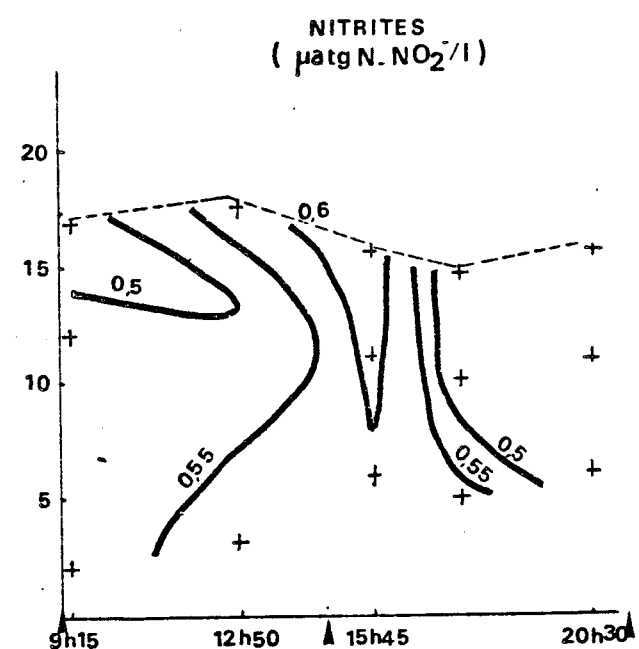
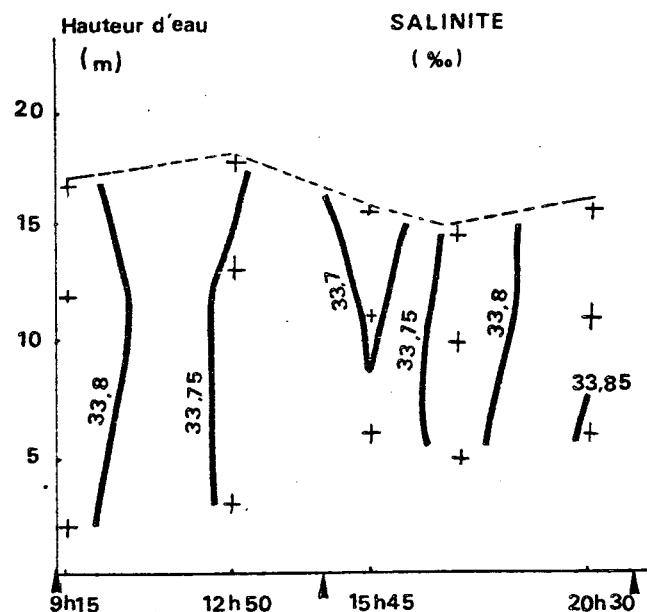
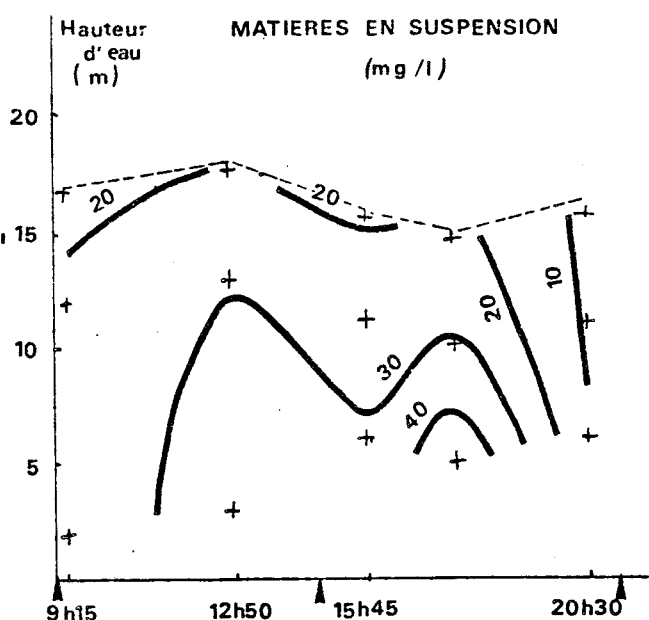


Fig. 134 - Evolution du phytoplancton au point M au cours d'un cycle de marée - 18 octobre 1976 - coeff. 46.

(P.M. 7h49 B.M. 14h49)

20h32

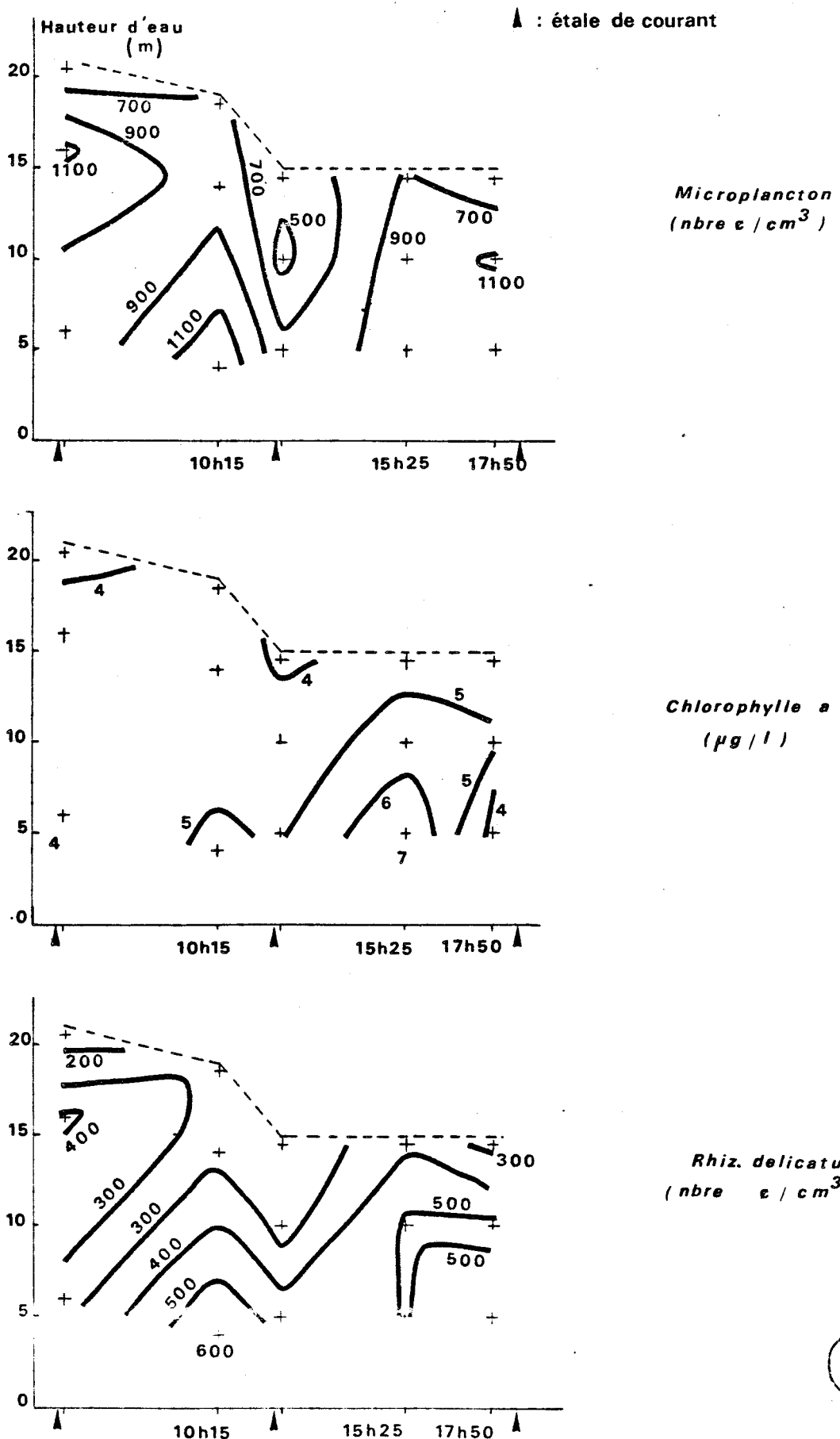
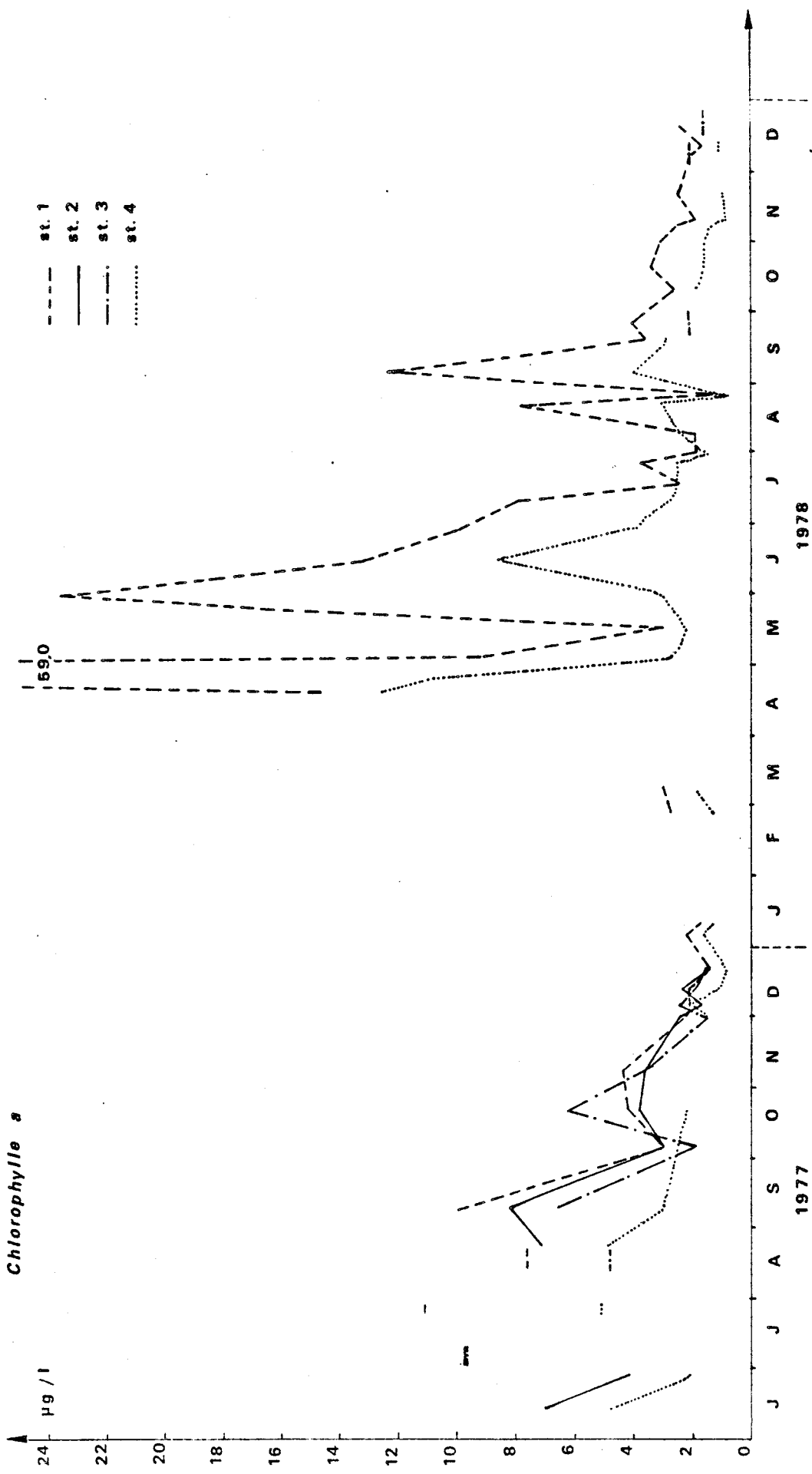
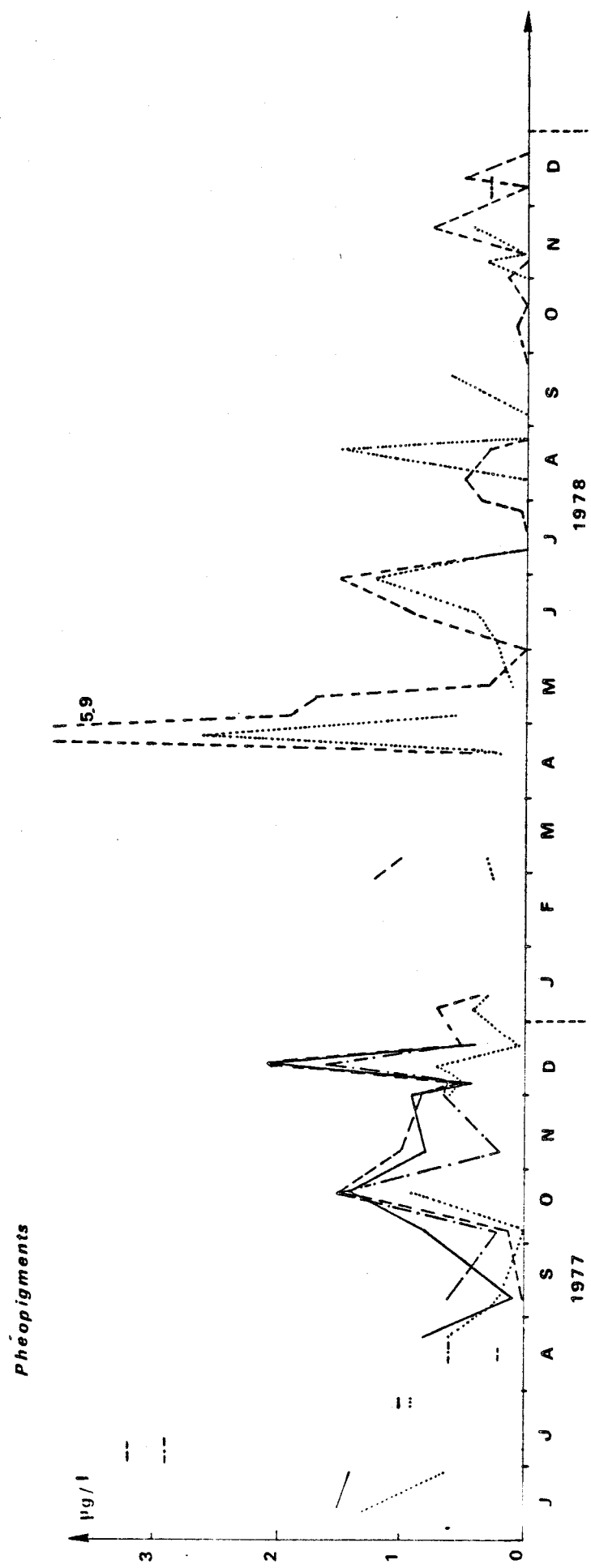


Fig. 135 - Variations des pigments photosynthétiques dans le milieu littoral en face de Dunkerque (R.N.Q.).





ANSES
LILLE

Fig. 136 - Variations de la chlorophylle a dans le port de Dunkerque (station E).

(D'après les résultats de BRYLINSKI , 1979).

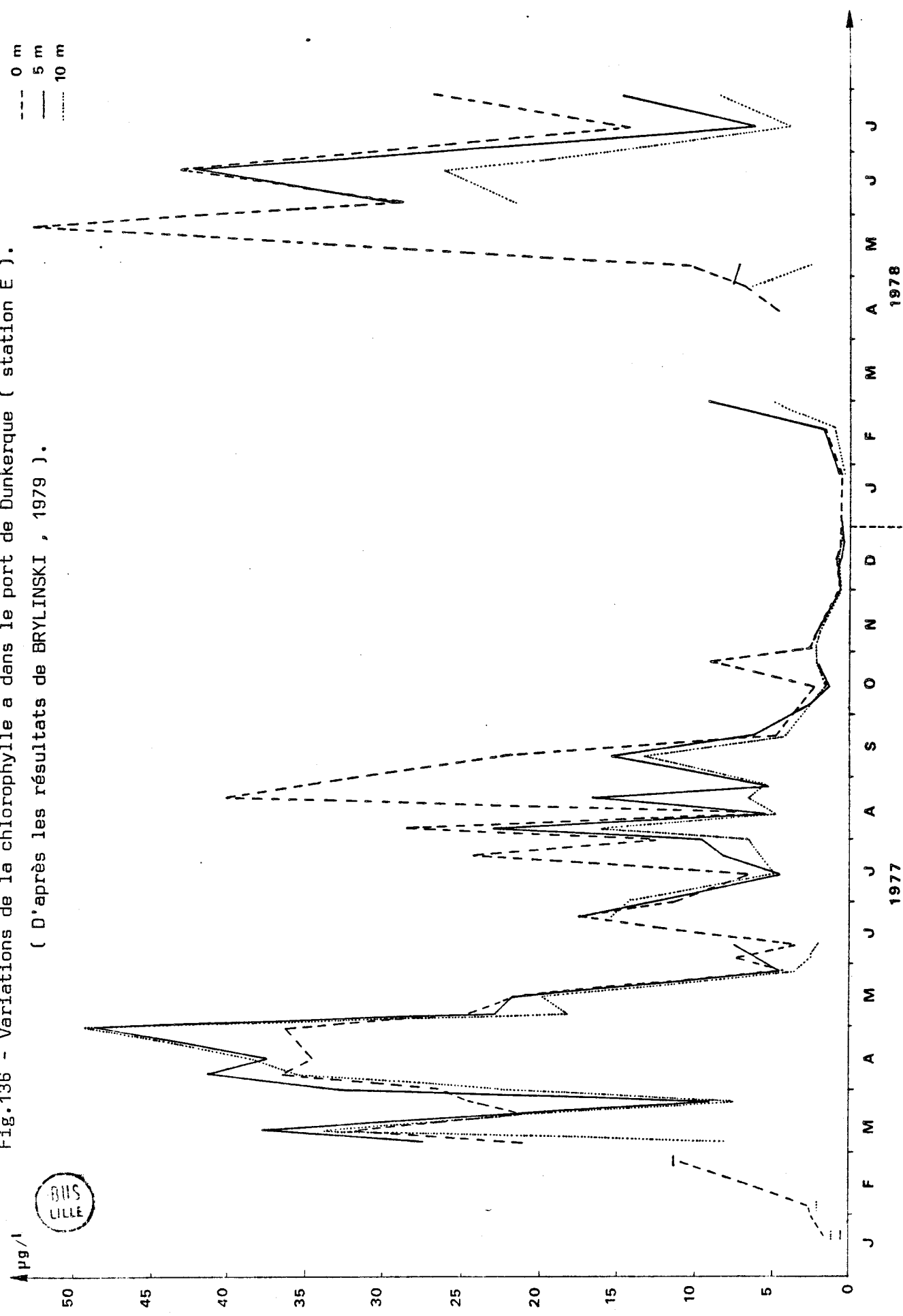
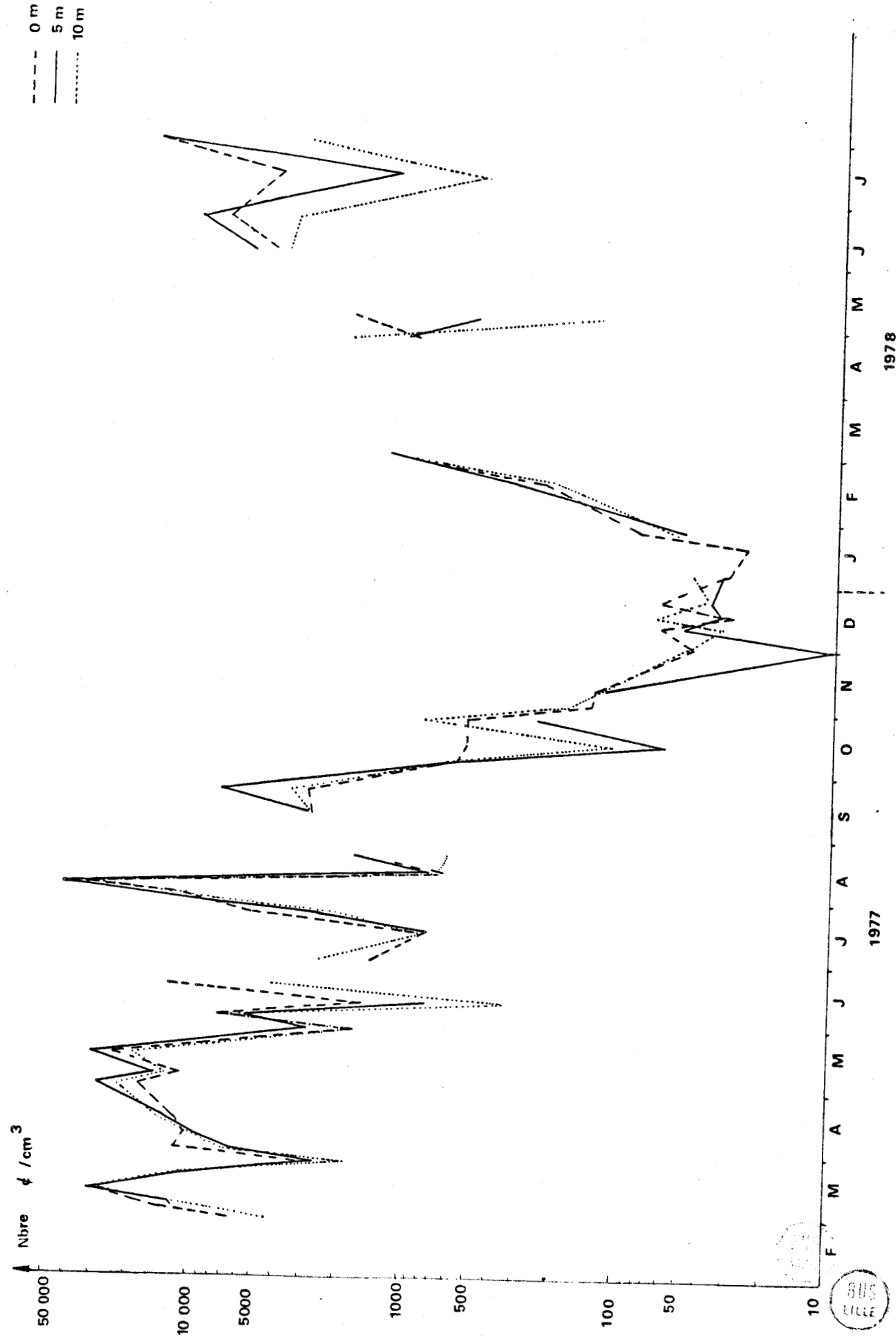


Fig. 137 - Variations du microplancton dans le port de Dunkerque (station E).



BUS
LFF

Fig. 138 - Variations de l'indice pigmentaire dans le port de Dunkerque (station E).
(D'après les résultats de BRYLINSKI , 1979).

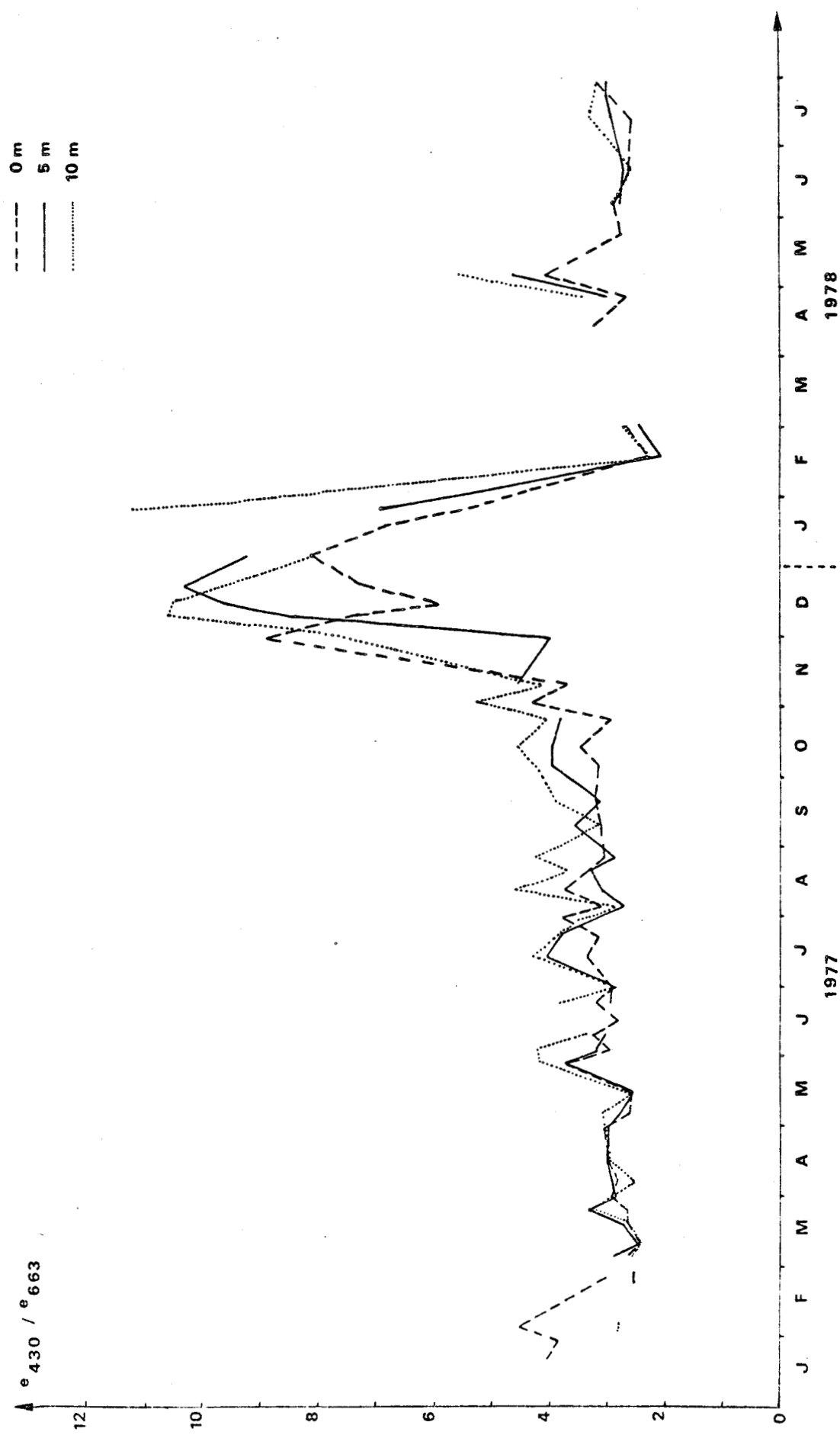


Fig. 139 - Variations saisonnières de la population de Copépodes
(Harpacticoides benthiques exceptés) dans le
port de Dunkerque.
(D'après BRYLINSKI , 1979).

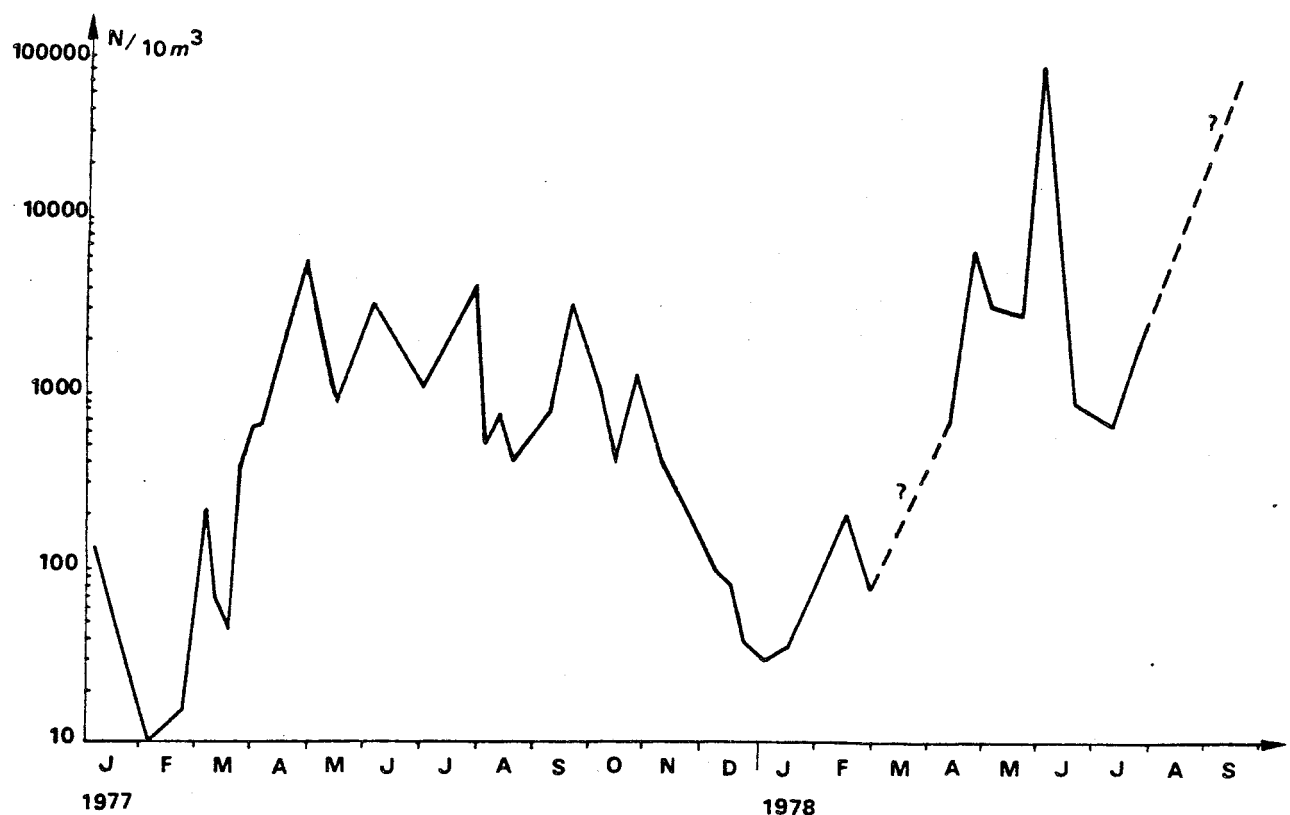
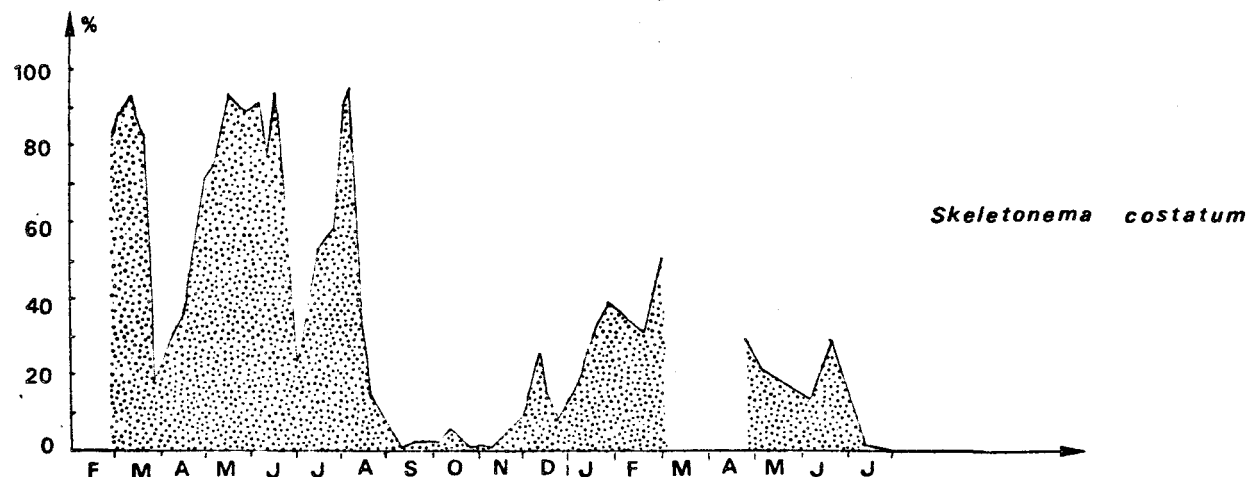


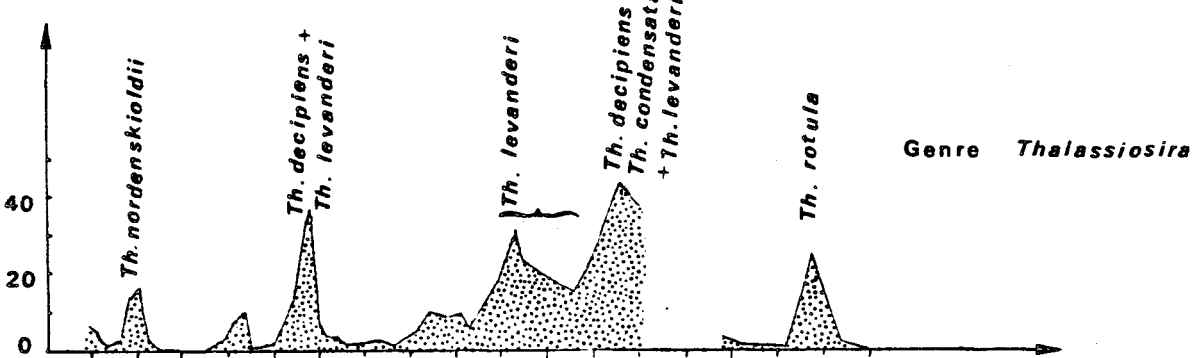
Fig. 140 - Succession des espèces dominantes du microplancton dans

le port de Dunkerque (station E).

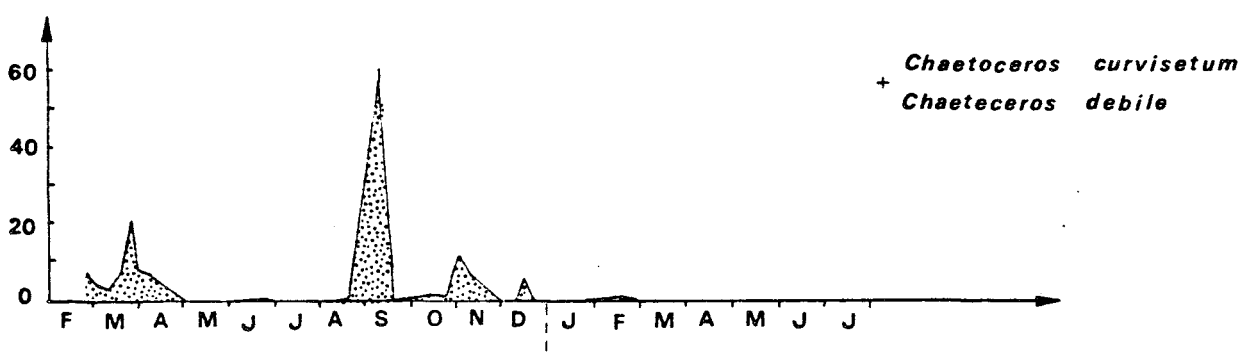
(Pourcentage de dominance/nombre total de cellules du
microplancton). Moyenne des trois niveaux.



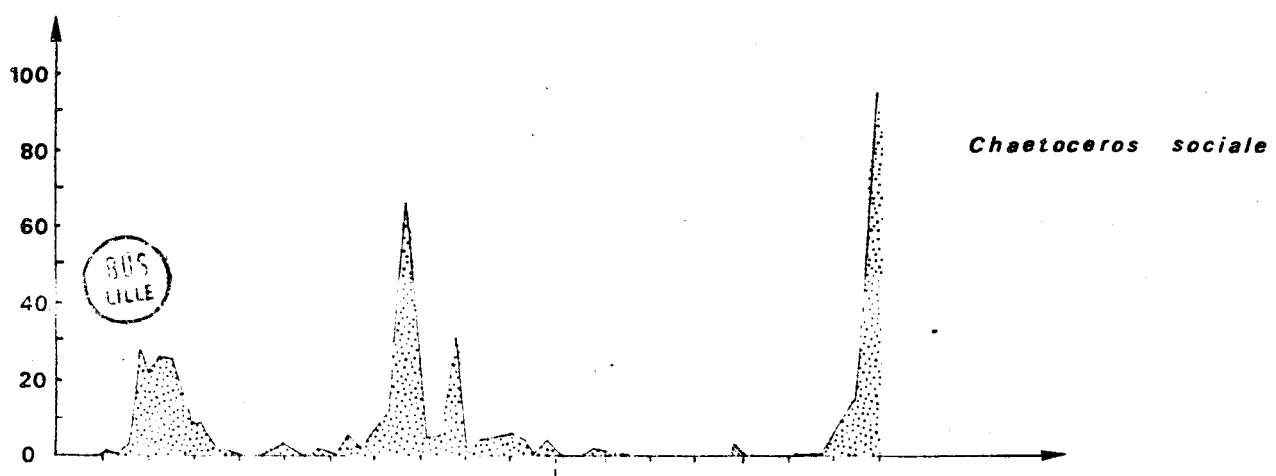
Skeletonema costatum



Genre *Thalassiosira*



+ *Chaetoceros curvisetum*
+ *Chaetoceros debile*

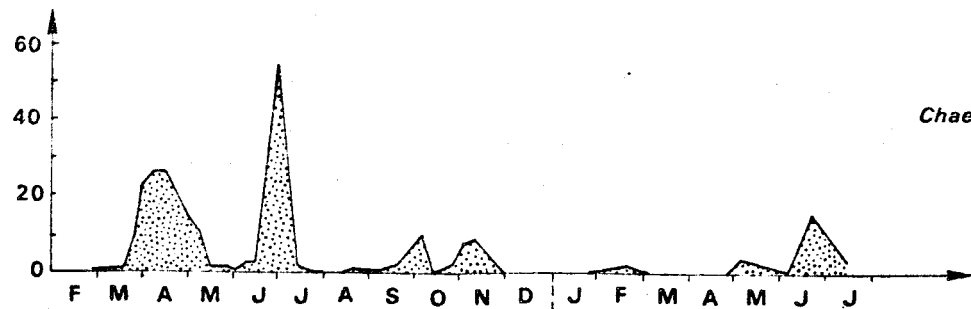


Chaetoceros sociale

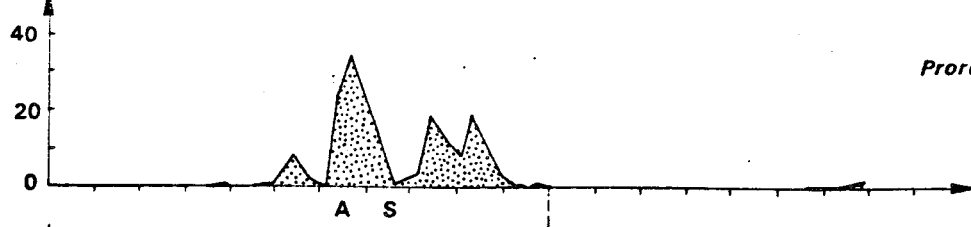
1977

1978

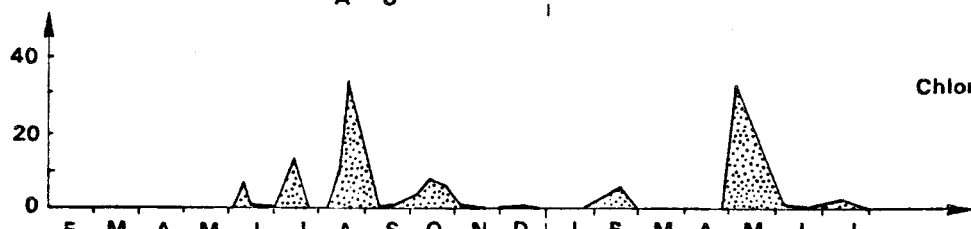
Chaetoceros didymum



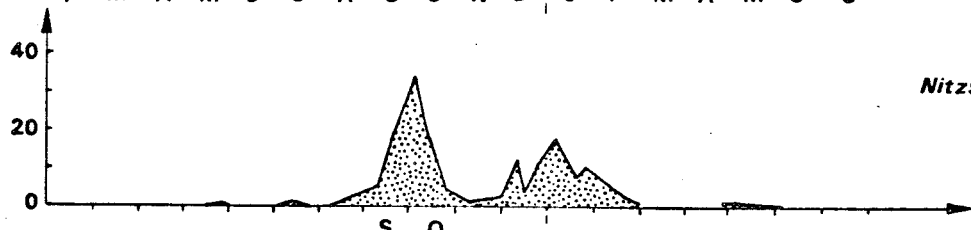
Prorocentrum micans



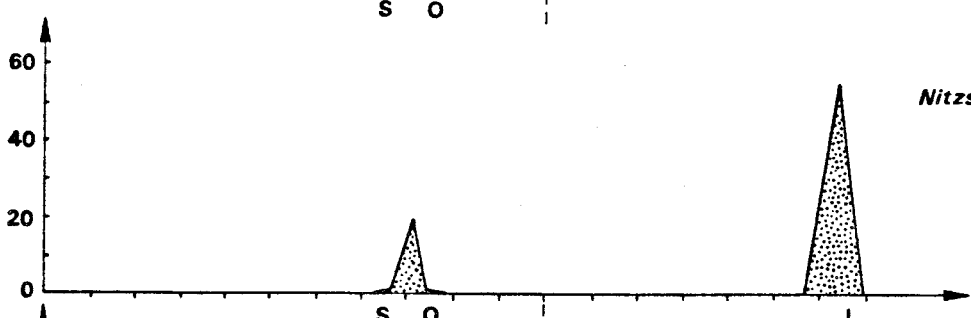
Chlorophycée sp₂



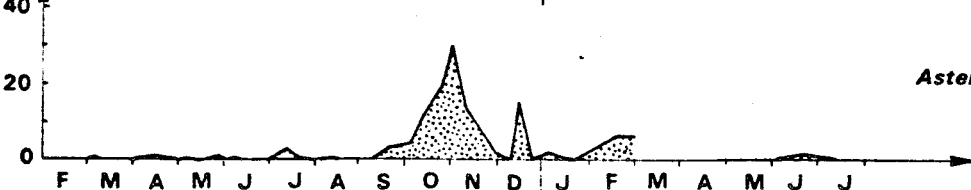
Nitzschia closterium



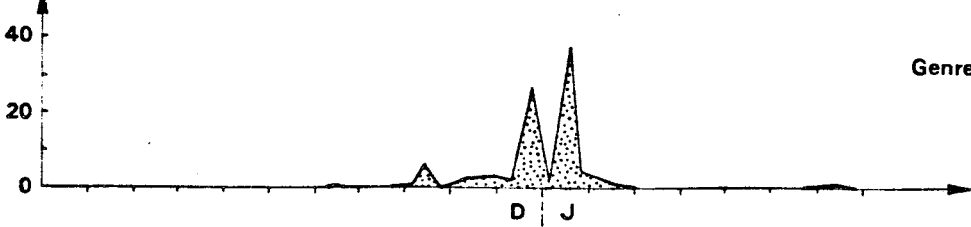
Nitzschia seriata



Asterionella japonica



Genre *Scenedesmus*



Cerataulina pelagica

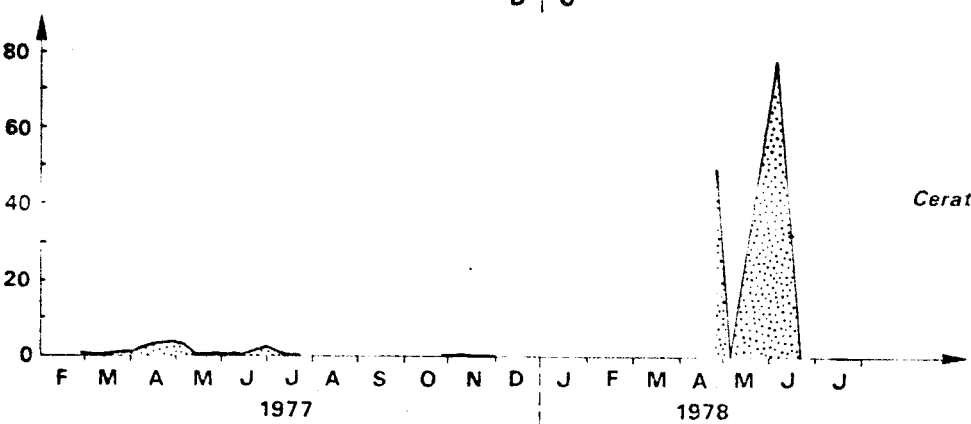


Fig. 141 - Variations de l'indice de diversité (H) et de l'équitabilité (E) dans le port de Dunkerque (station E).

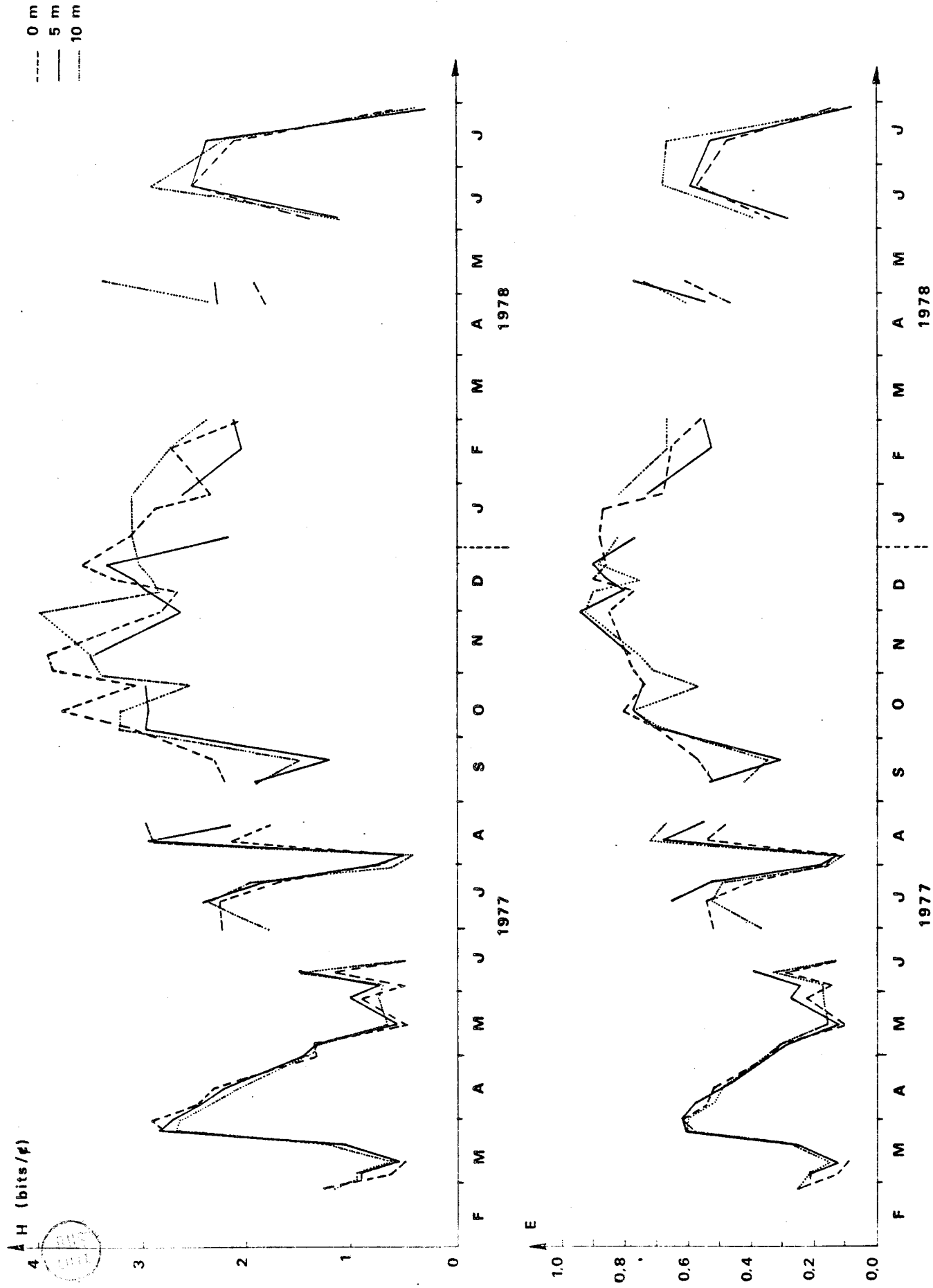
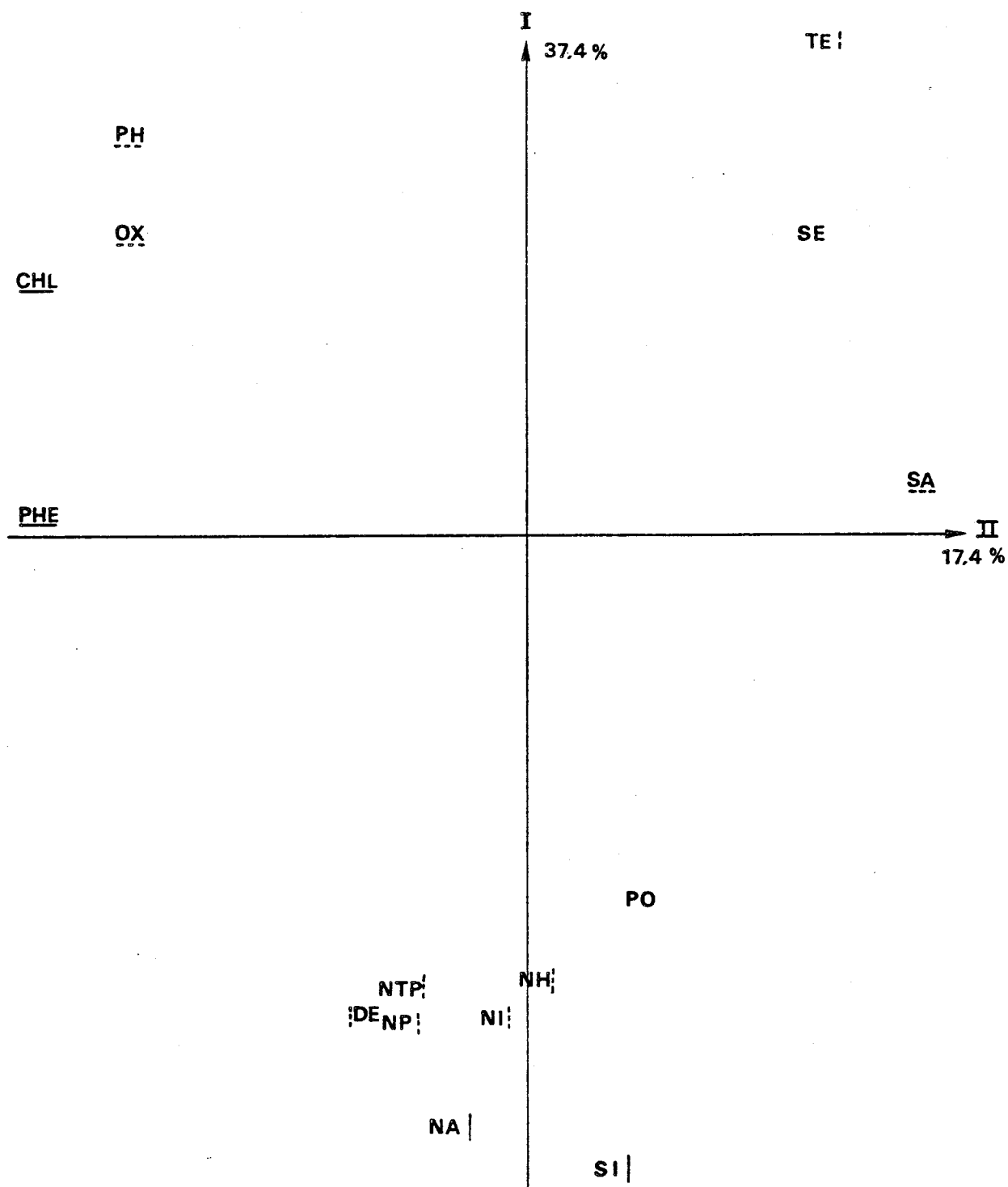


Fig. 142 - Hydrobiologie des zones littorales de Dunkerque et de Gravelines , 1978 . Points-paramètres hydrobiologiques dans le plan I-II de l'analyse en composantes principales.



| Contribution du facteur I à l'inertie de la variable > 70 %

	-	-	I	-	-	-	> 40 %
-	-	-	II	-	-	-	> 50 %
----	-	-	II	-	-	-	> 30 %

Fig. 143 - Hydrobiologie des zones littorales de Dunkerque et de Gravelines , 1970 . Points-stations dans le plan I-II de l'analyse en composantes principales.

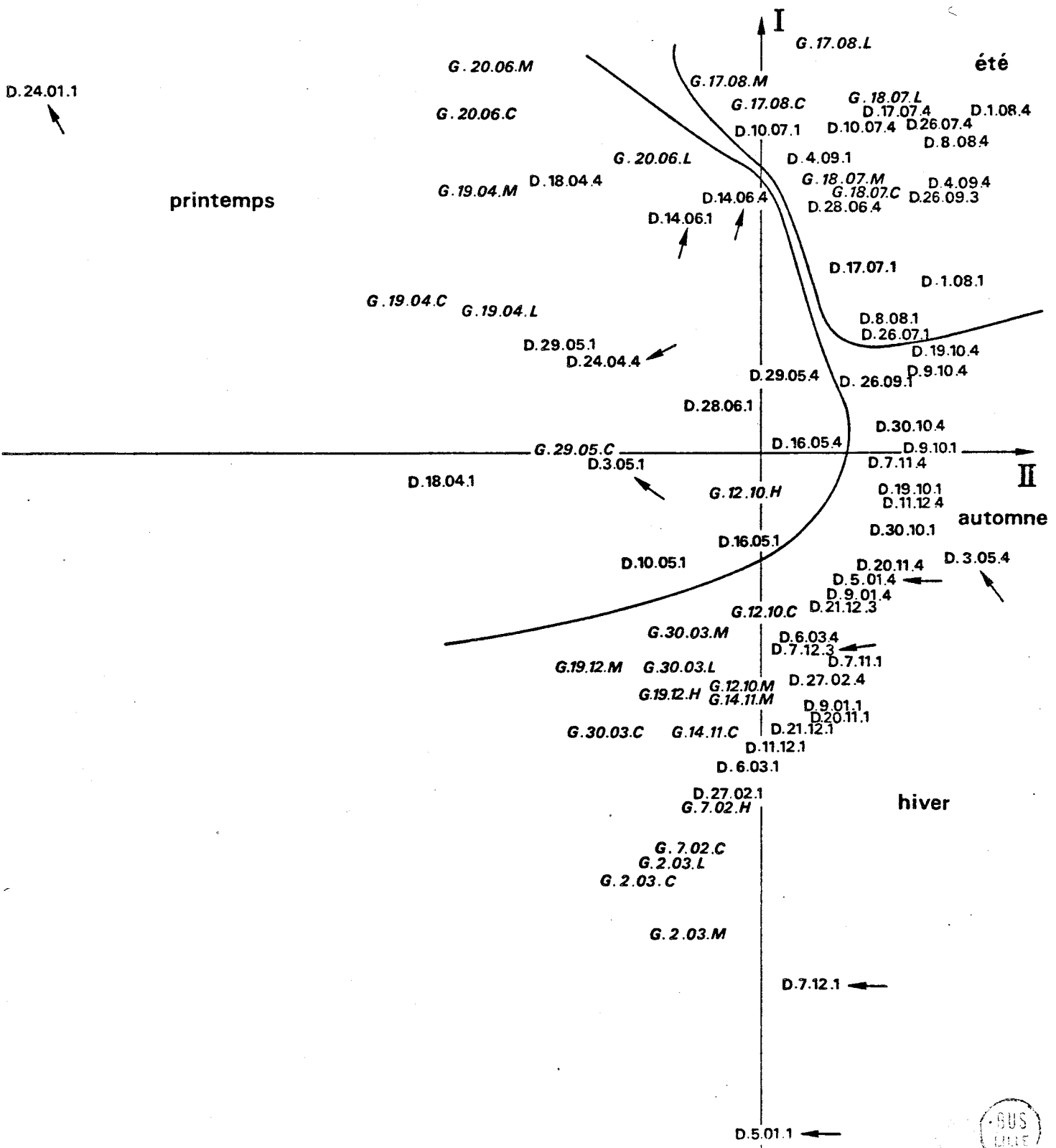
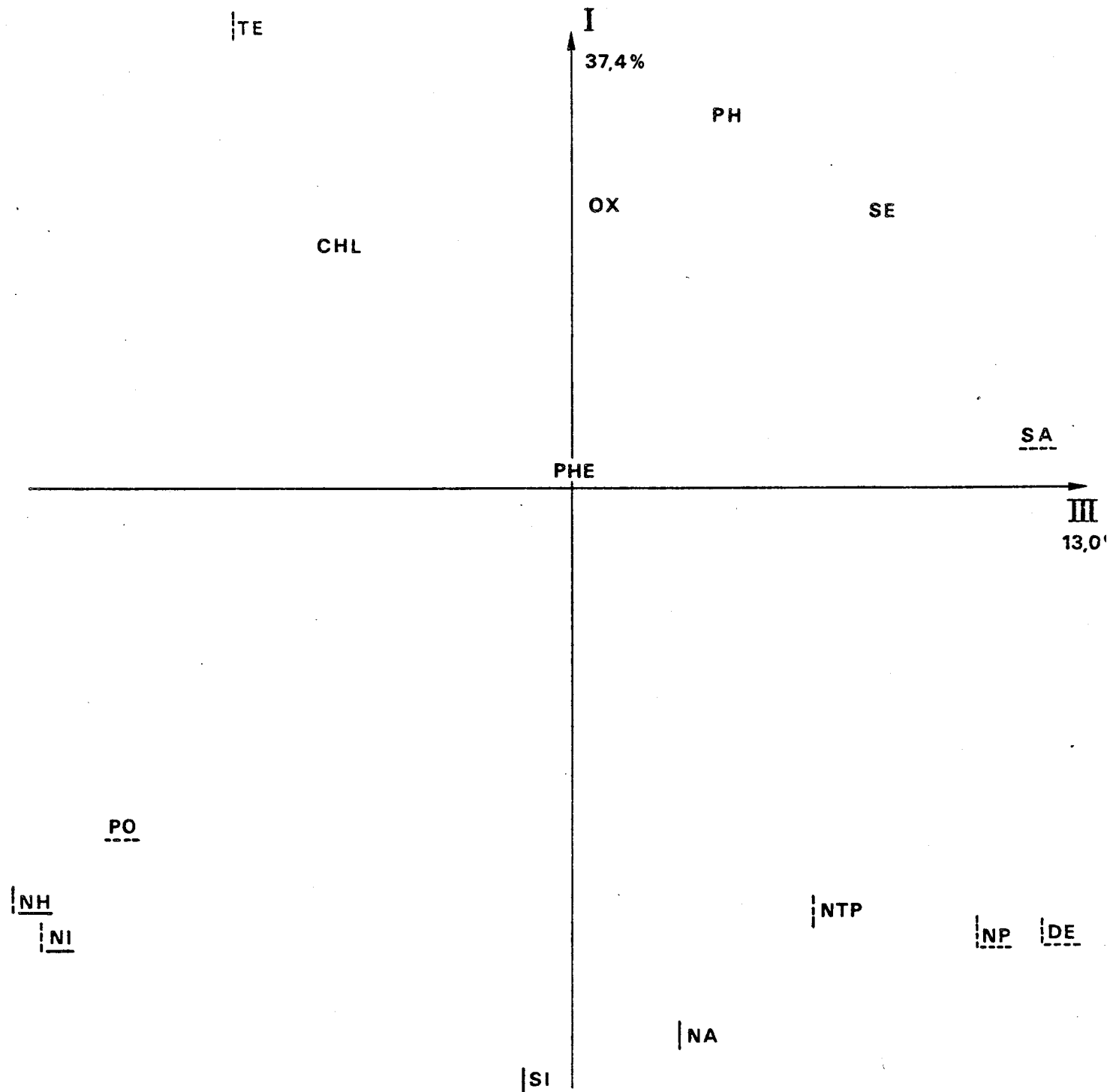


Fig. 144 - Hydrobiologie des zones littorales de Dunkerque et de Gravelines , 1978 .Points-paramètres hydrobiologiques dans le plan I-III de l'analyse en composantes principales.



| Contribution du facteur I à l'inertie de la variable > 70 %

-	-	-	I	-	-	>	40 %
-	-	-	III	-	-	>	28 %
---	-	-	III	-	-	>	20 %

ANNEE
1978

Fig. 145 - Hydrobiologie des zones littorales de Dunkerque et de Gravelines , 1978 . Points-stations dans le plan I-III de l'analyse en composantes en principales.

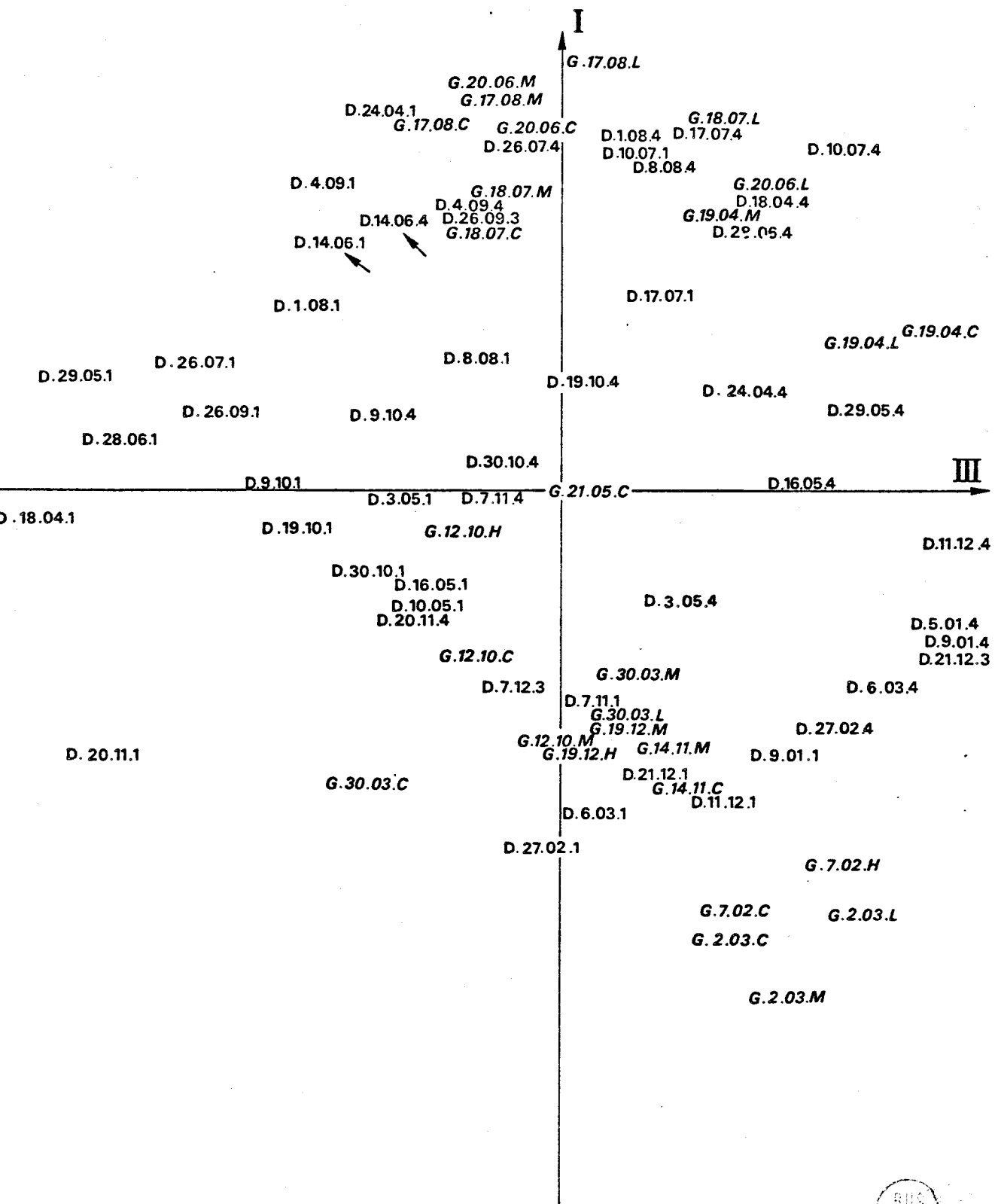




Fig. 146 : ANALYSE DES CORRESPONDANCES DE LA MATRICE
EFFECTIFS DES PRINCIPALES ESPECES PHYTOPLANCTONIQUES -
PARAMETRES HYDROLOGIQUES. PLAN DES AXES I ET II.

- XX Contribution du facteur I à l'inertie de la variable - espèce égale ou supérieure à 5 %
- XX Contribution du facteur I à l'inertie de la variable - espèce comprise entre 3 et 5 %
- XX Contribution du facteur I à l'inertie de la variable - paramètre hydrologique supérieure à 10 %
- XX Contribution du facteur I à l'inertie de la variable - paramètre hydrologique comprise entre 6 et 10 %
- | XX Contribution du facteur II à l'inertie de la variable - espèce supérieure à 5 %
- | XX Contribution du facteur II à l'inertie de la variable - espèce comprise entre 3 et 5 %
- | XX Contribution du facteur II à l'inertie de la variable - paramètre hydrologique supérieure à 10 %
- | XX Contribution du facteur II à l'inertie de la variable - paramètre hydrologique comprise entre 6 et 10 %.

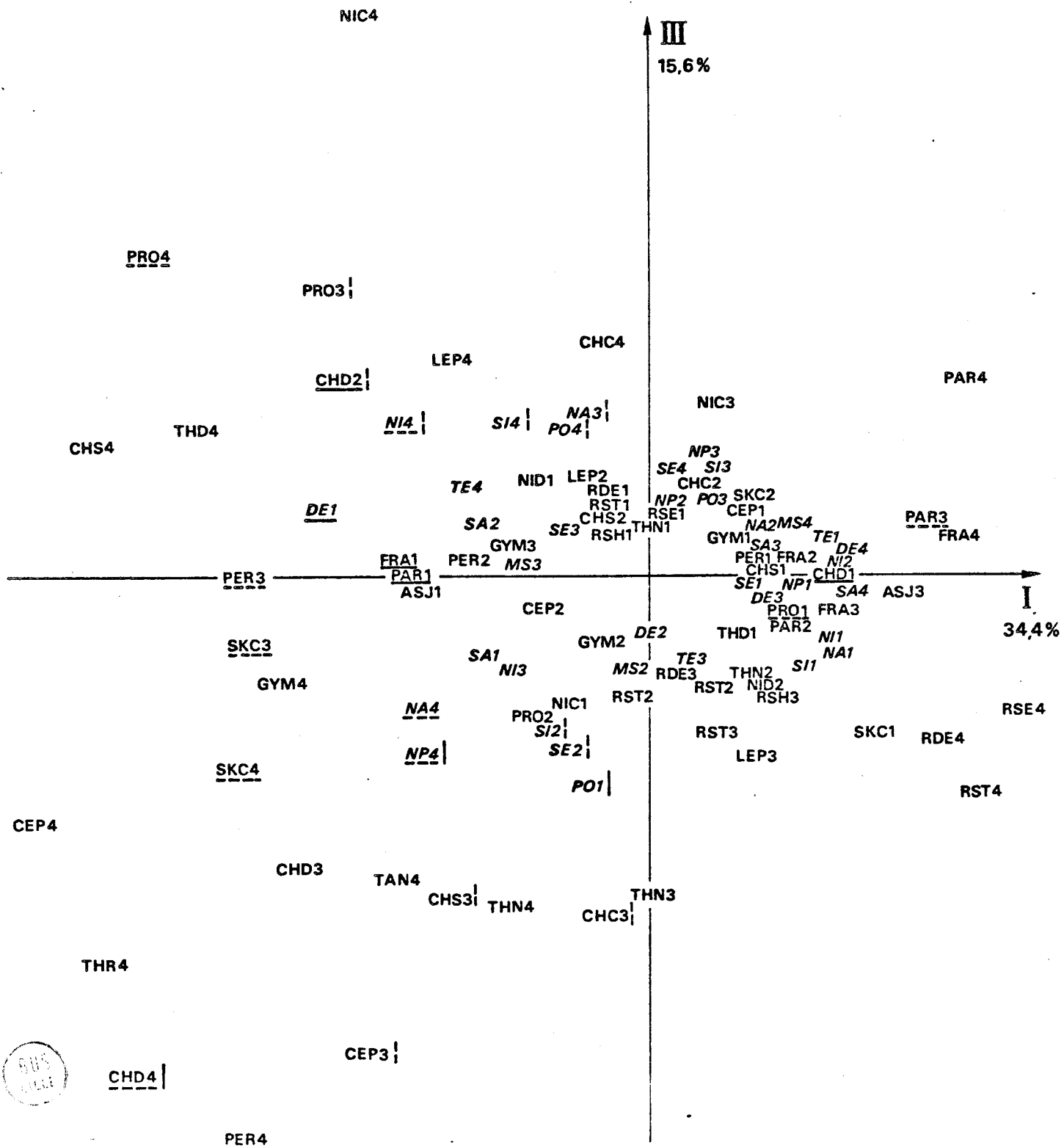


Fig. 147 : ANALYSE DES CORRESPONDANCES DE LA MATRICE
EFFECTIFS DES PRINCIPALES ESPECES PHYTOPLANCTONIQUES -
PARAMETRES HYDROLOGIQUES. PLAN DES AXES I ET III.

- XX Contribution du facteur I à l'inertie de la variable - espèce égale ou supérieure à 5 %
- XX Contribution du facteur I à l'inertie de la variable - espèce comprise entre 3 et 5 %
- XX Contribution du facteur I à l'inertie de la variable - paramètre hydrologique supérieure à 10 %
- XX Contribution du facteur I à l'inertie de la variable - paramètre hydrologique comprise entre 6 et 10 %
- |XX Contribution du facteur III à l'inertie de la variable - espèce supérieure à 8 %
- |XX Contribution du facteur III à l'inertie de la variable - espèce comprise entre 4 et 8 %
- |XX Contribution du facteur III à l'inertie de la variable - paramètre hydrologique supérieure à 8 %
- |XX Contribution du facteur III à l'inertie de la variable - paramètre hydrologique comprise entre 5 et 8 %

ASJ4

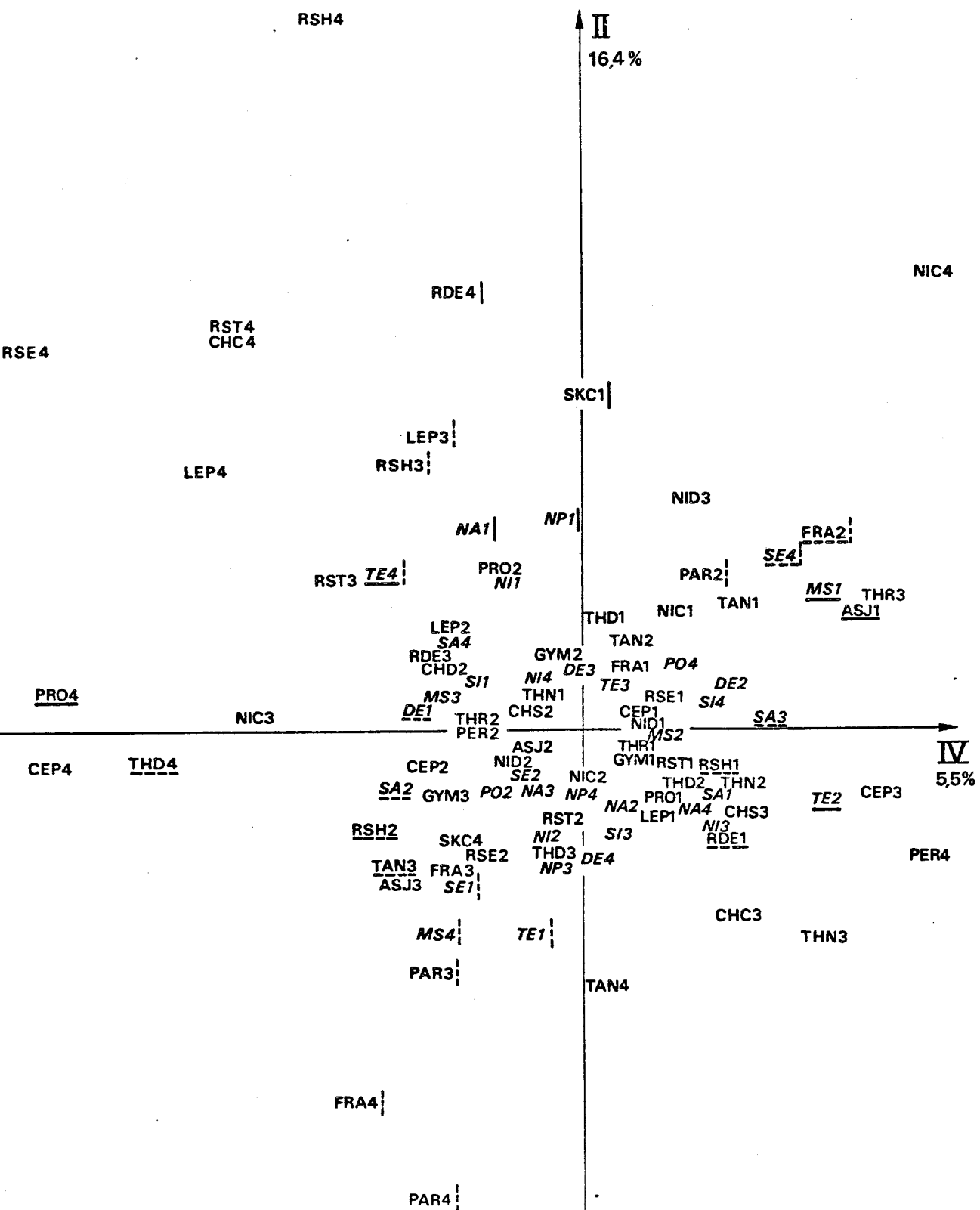


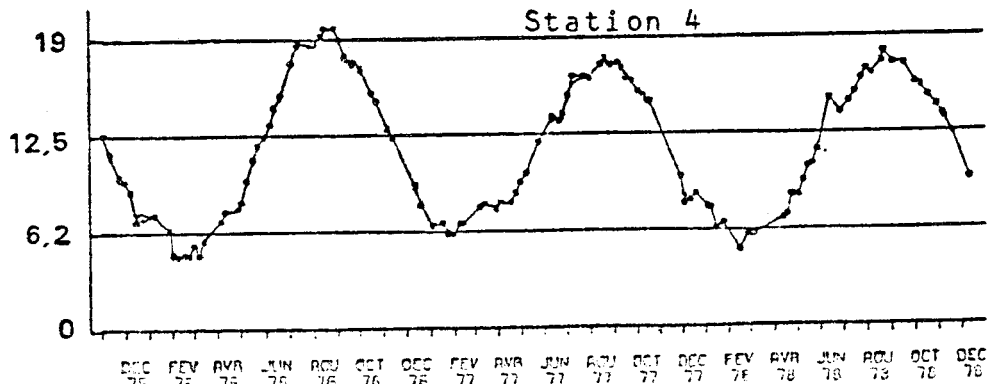
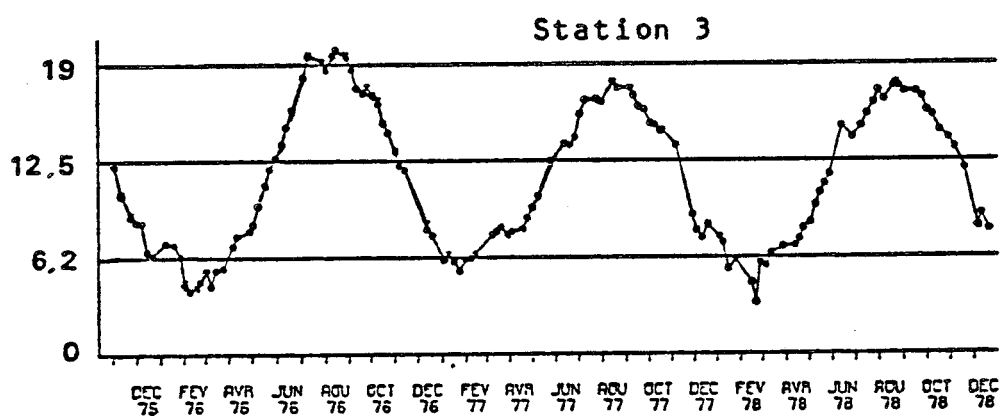
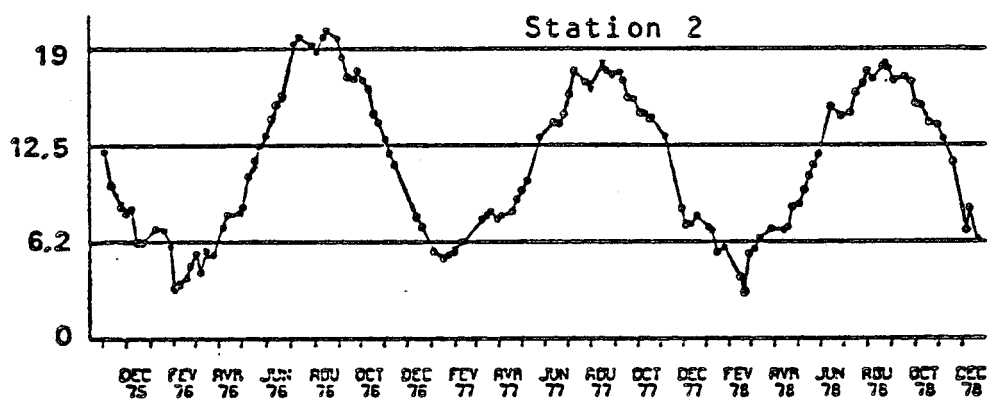
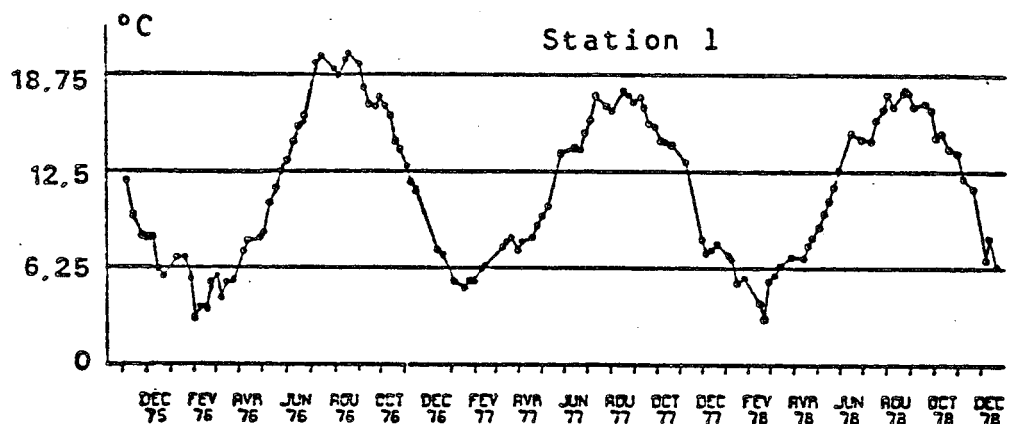
Fig. 148 : ANALYSE DES CORRESPONDANCES DE LA MATRICE
EFFECTIFS DES PRINCIPALES ESPECES PHYTOPLANCTONIQUES -
PARAMETRES HYDROLOGIQUES. PLAN DES AXES II et IV .

- XX Contribution du facteur IV à l'inertie de la variable - espèce
> 5 %
- XX Contribution du facteur IV à l'inertie de la variable - espèce
comprise entre 3 et 5 %
- XX Contribution du facteur IV à l'inertie de la variable - paramètre
hydrologique > 9 %
- XX Contribution du facteur IV à l'inertie de la variable - paramètre
hydrologique comprise entre 5 et 9 %
- |XX Contribution du facteur II à l'inertie de la variable - espèce
> 5 %
- |XX Contribution du facteur II à l'inertie de la variable - espèce
comprise entre 3 et 5 %
- |XX Contribution du facteur II à l'inertie de la variable - paramètre
hydrologique > 10 %
- |XX Contribution du facteur II à l'inertie de la variable - paramètre
hydrologique comprise entre 6 et 10 %

ANNEXE II

Variations des paramètres physicochimiques
dans le milieu littoral en face de Dunkerque
(R.N.O.)

Fig. I - VARIATIONS DE LA TEMPERATURE DE L'EAU
A DUNKERQUE (R.N.O.)



B.I.S.
VILLE

Fig. II - VARIATIONS DE LA SALINITE A DUNKERQUE (R.N.O.)

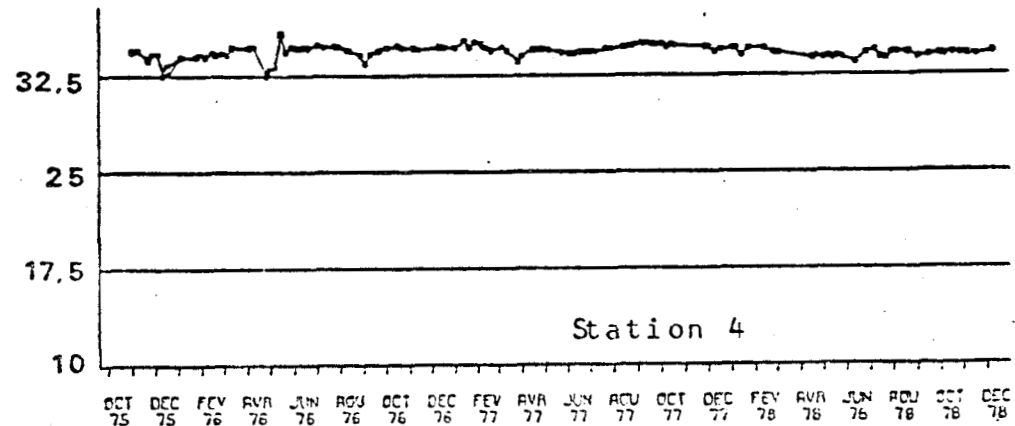
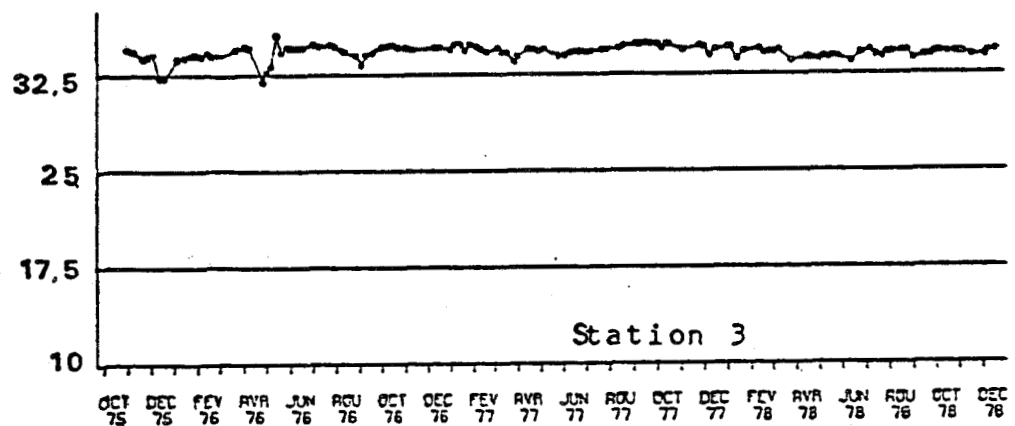
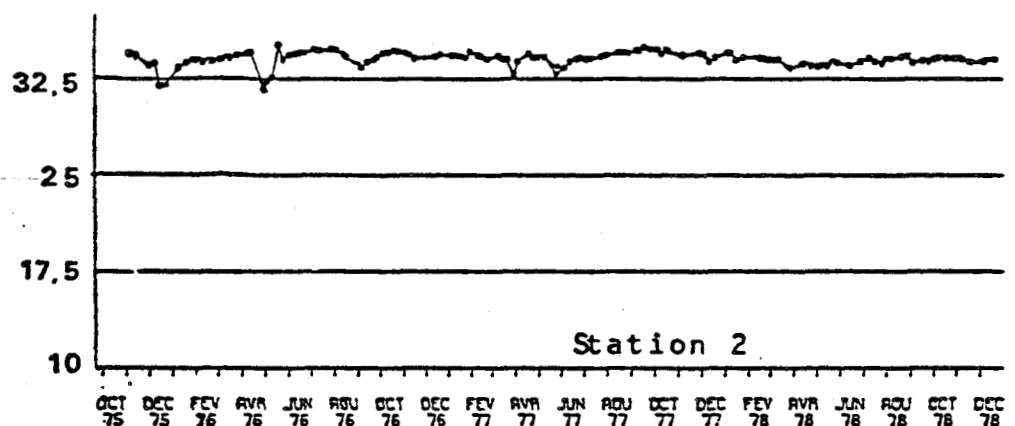
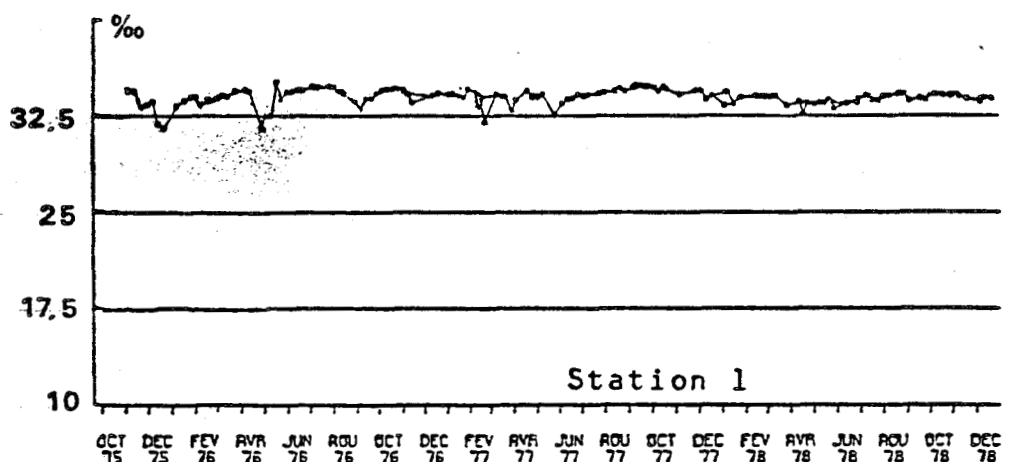


Fig. III-1 - VARIATIONS DE LA DENSITE A DUNKERQUE (R.N.O.) DE NOVEMBRE 1975 A MARS 1978

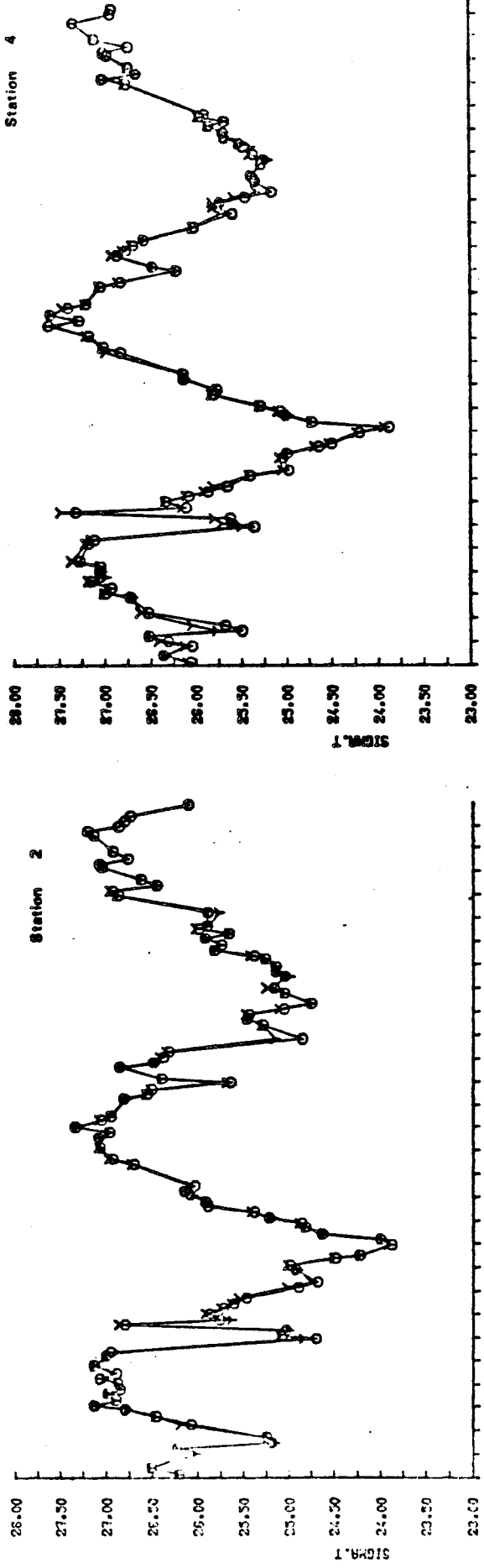
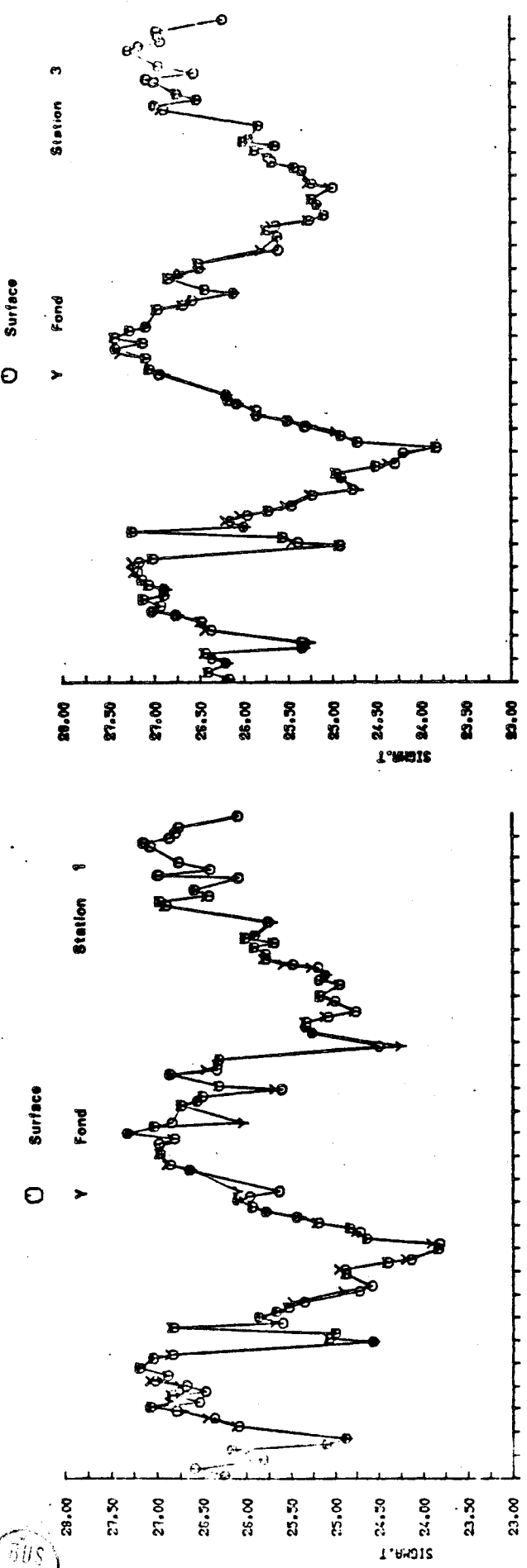
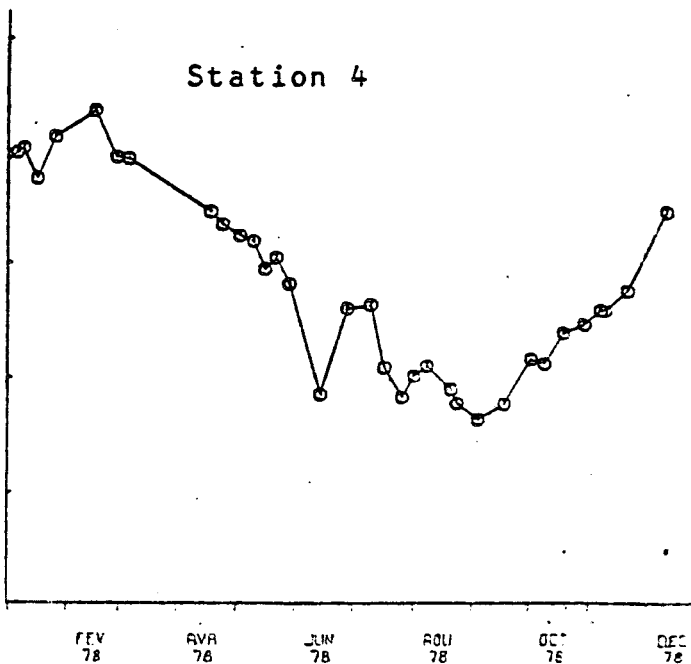
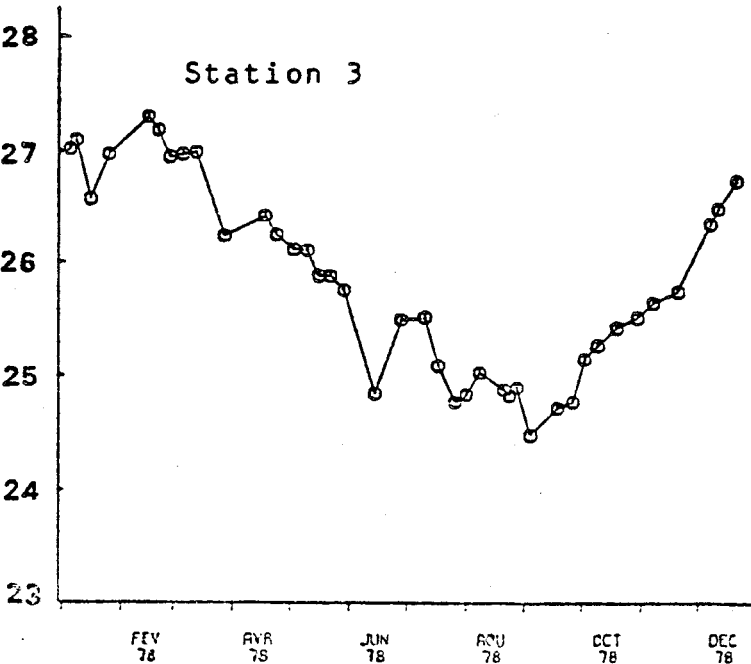
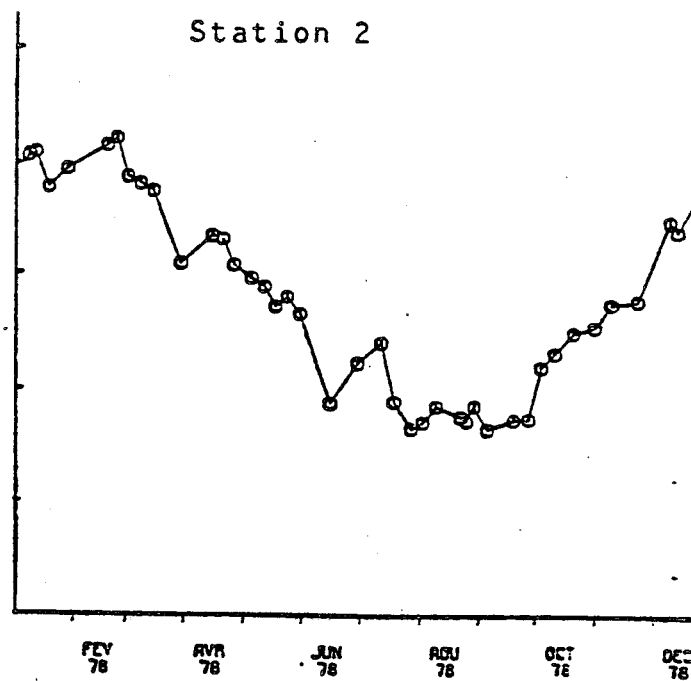
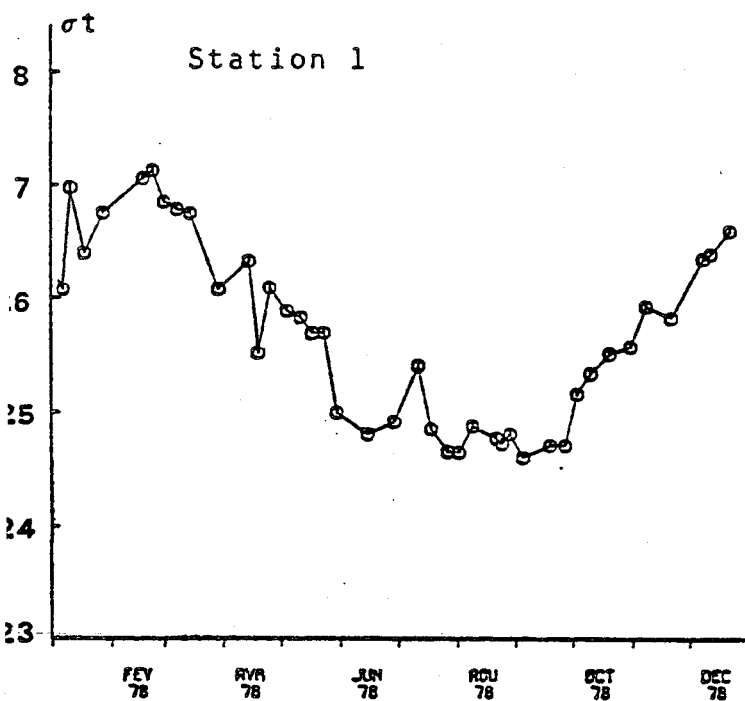


Fig.III-2 - VARIATIONS DE LA DENSITE A DUNKERQUE (R.N.O.)
EN 1978



BUS
LILLE

Fig. IV-1 - PROFONDEUR DE DISPARITION DU DISQUE DE SECCHI
A DUNKERQUE (R.N.O.) EN 1975 ET 1976

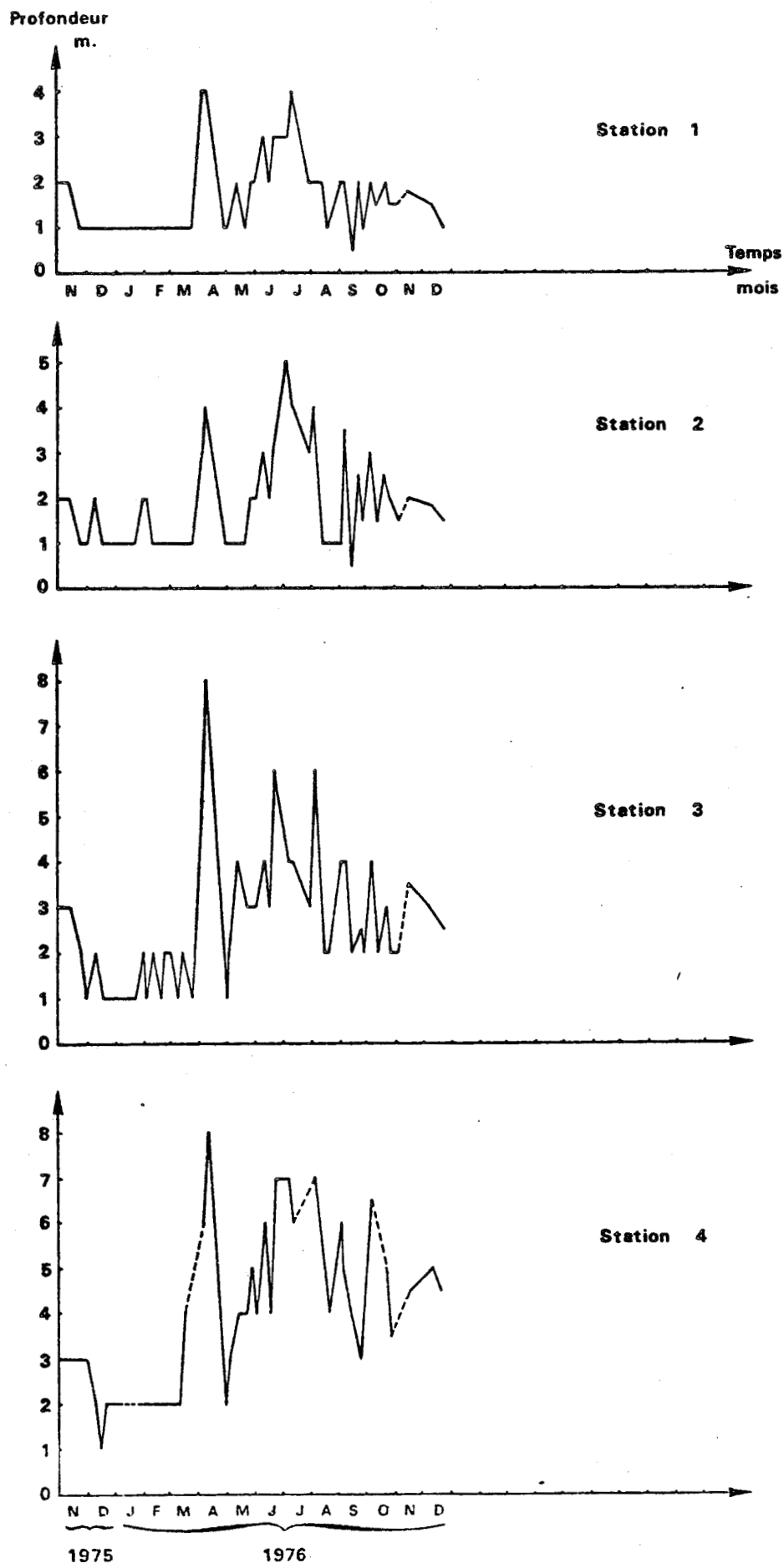


Fig. IV-2 - PROFONDEUR DE DISPARITION DU DISQUE DE SECCHI
A DUNKERQUE (R.N.O.) EN 1978

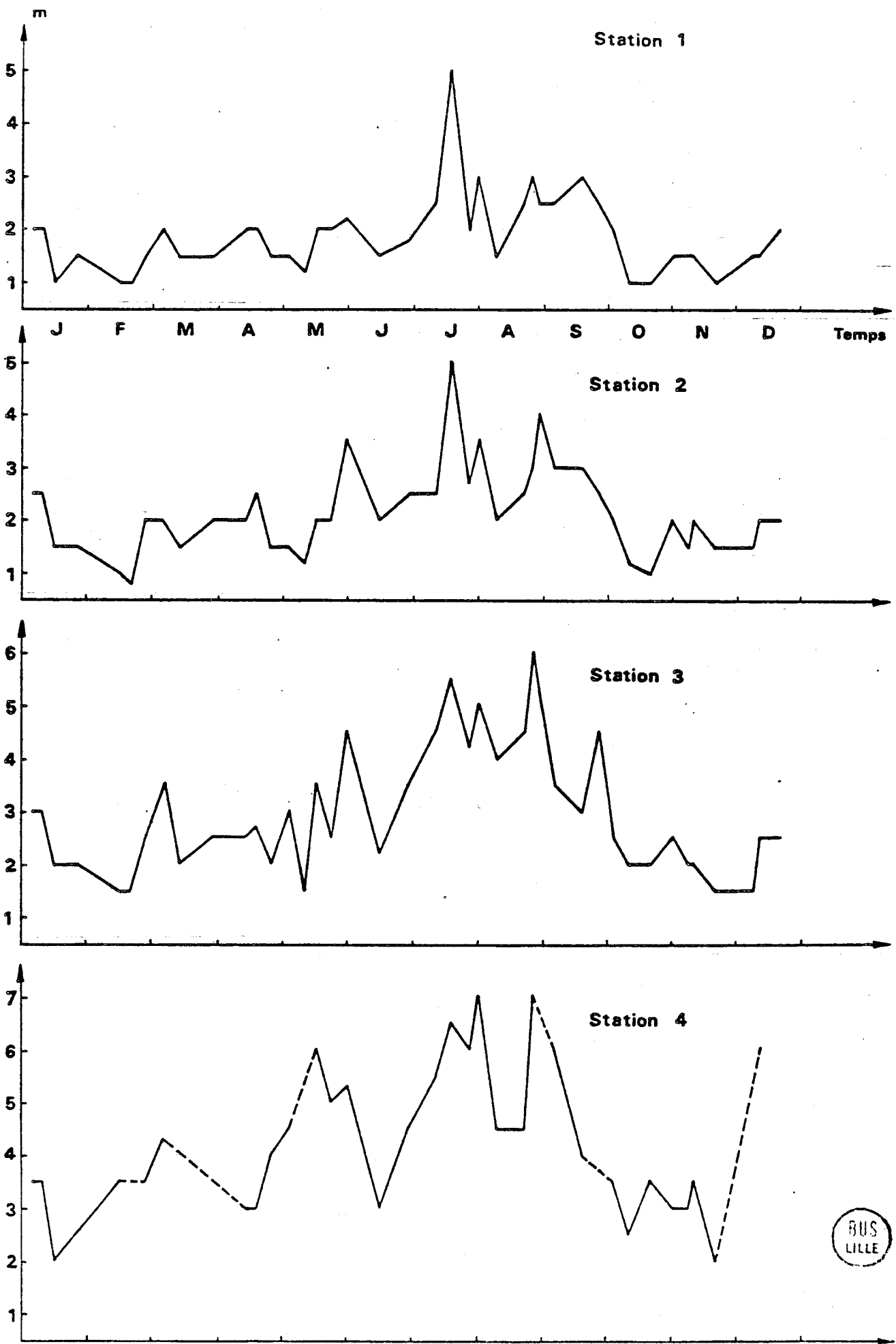


Fig. V - VARIATIONS DES MATIERES EN SUSPENSION
A DUNKERQUE (R.N.O.) - 1978
niveau de sub-surface

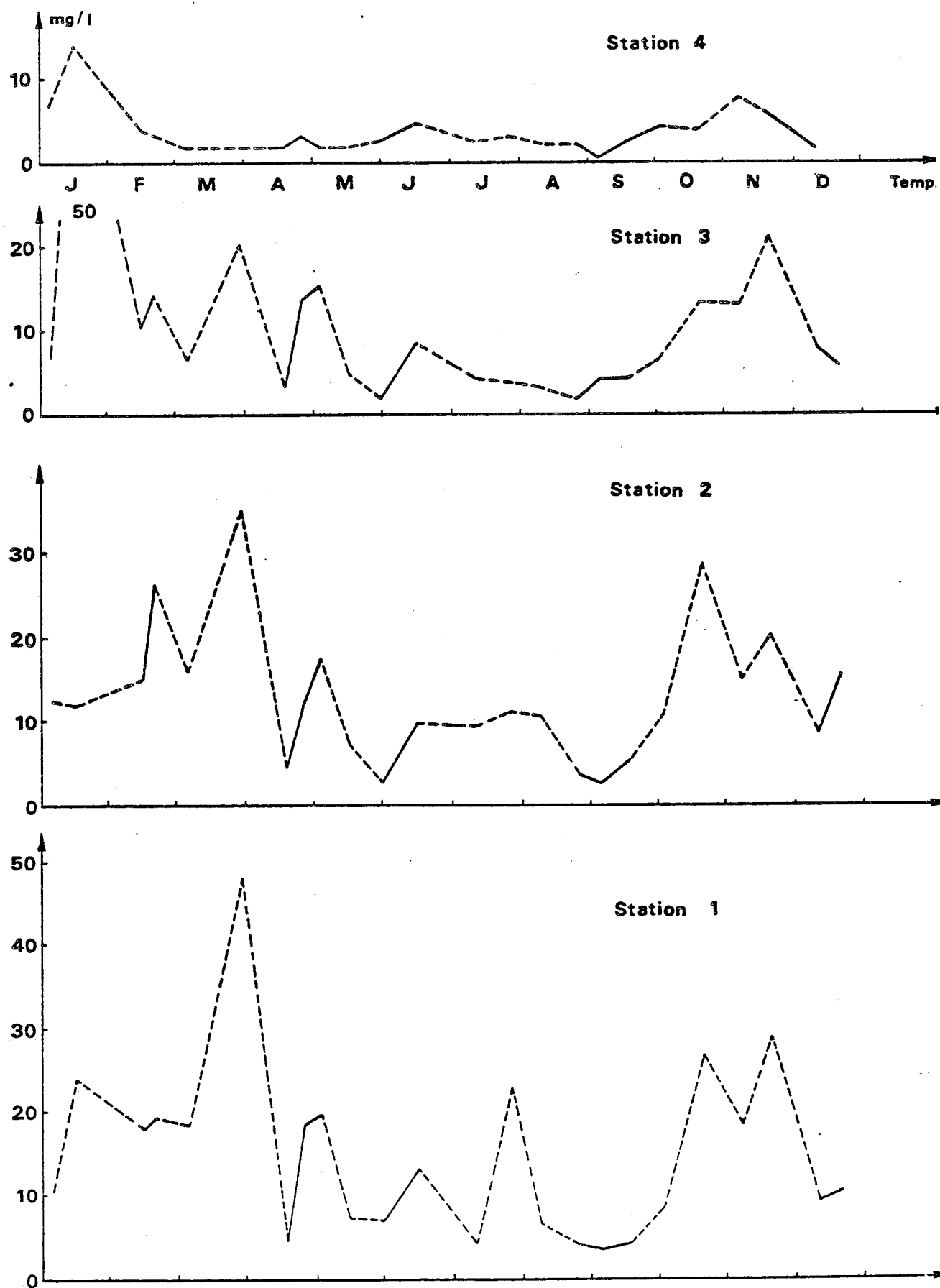
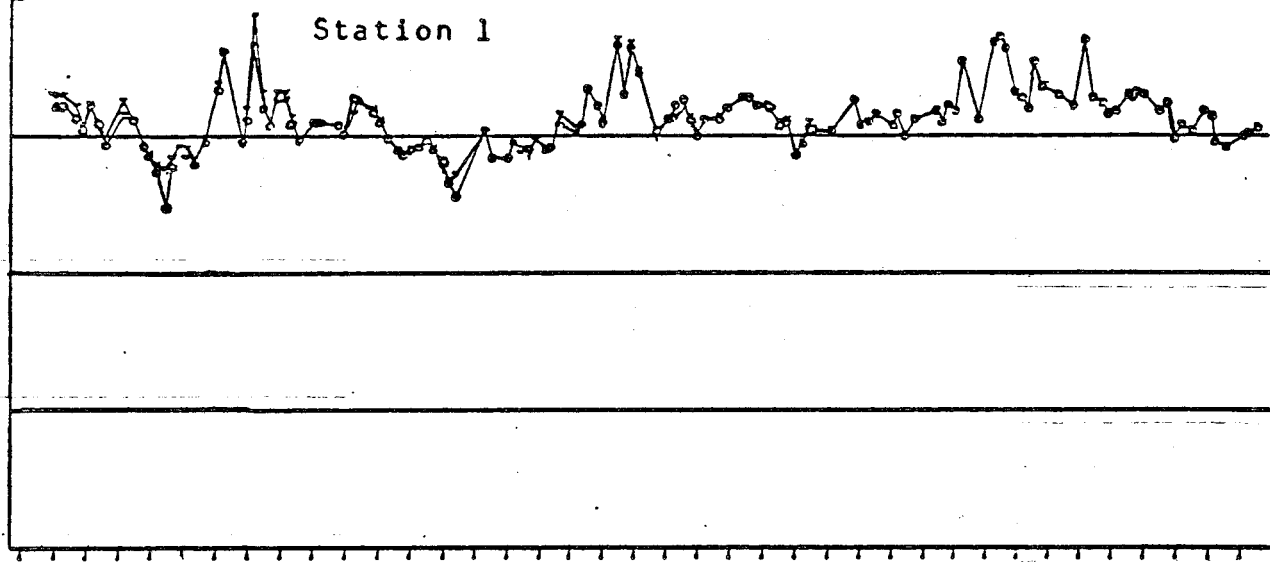


Fig. VI - VARIATIONS DU pH A DUNKERQUE (R.N.O.)

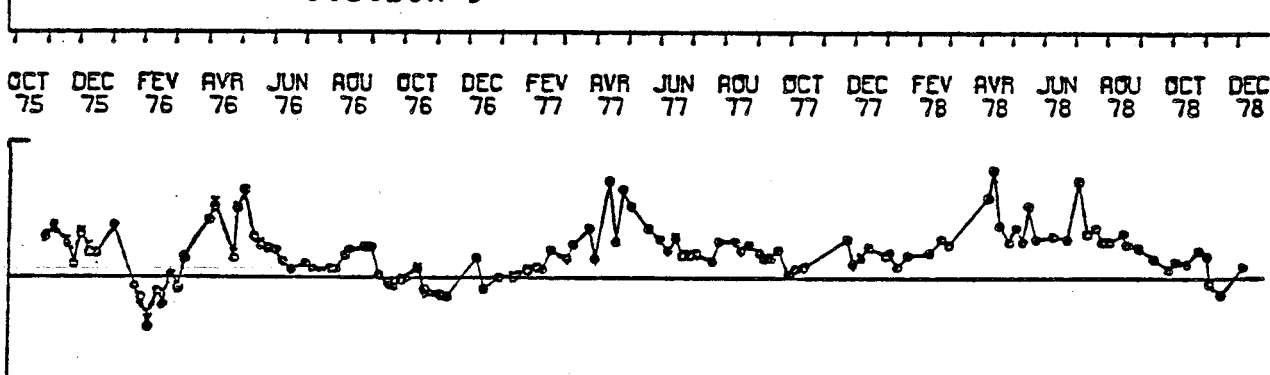
Station 1



OCT DEC FEV AVR JUN AOÛT OCT DEC

75 75 76 76 76 76 76 76 77 77 77 77 77 77 78 78 78 78 78 78 78 78

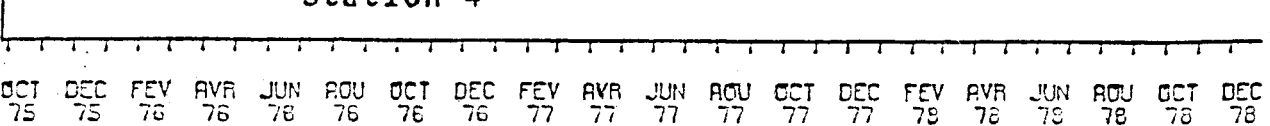
Station 3



OCT DEC FEV AVR JUN AOÛT OCT DEC FEV AVR JUN AOÛT OCT DEC FEV AVR JUN AOÛT OCT DEC

75 75 76 76 76 76 76 76 77 77 77 77 77 77 78 78 78 78 78 78 78

Station 4

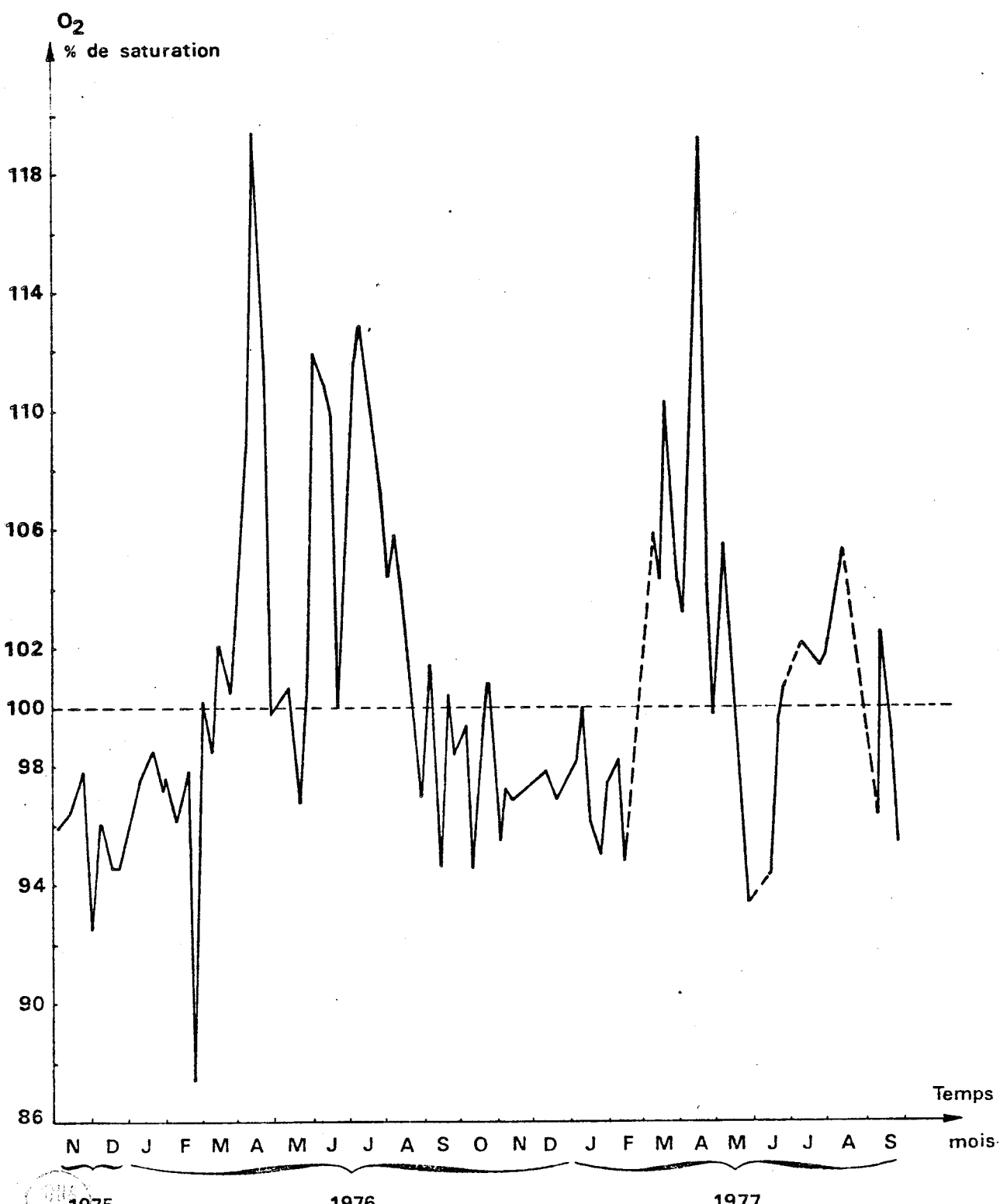


OCT DEC FEV AVR JUN AOÛT OCT DEC FEV AVR JUN AOÛT OCT DEC FEV AVR JUN AOÛT OCT DEC

75 75 76 76 76 76 76 76 77 77 77 77 77 77 78 78 78 78 78 78

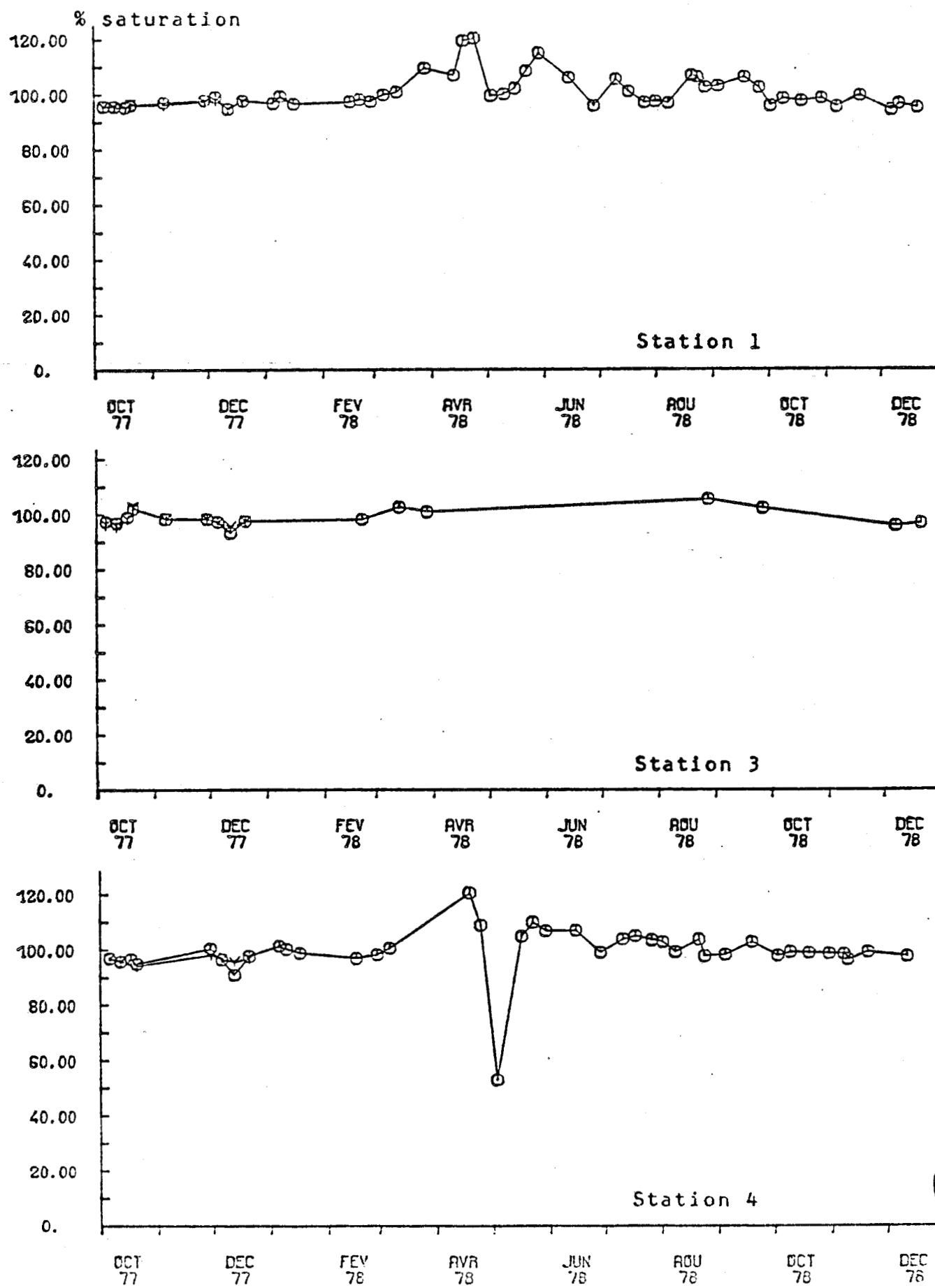
BUS
LILLE

Fig. VII-1 - VARIATIONS DE L'OXYGENE DISSOUS A DUNKERQUE
(R.N.O.) EN 1975-76-77
VALEURS MOYENNES PAR CAMPAGNE



DRA
LILLE

Fig. VII-2 - VARIATIONS DE L'OXYGENE DISSOUS A DUNKERQUE
(R.N.O.) D'OCTOBER 1977 A DECEMBRE 1978



BUS
LILLE

Fig. VIII - VARIATIONS DE L'AMMONIAC A DUNKERQUE (R.N.O.)

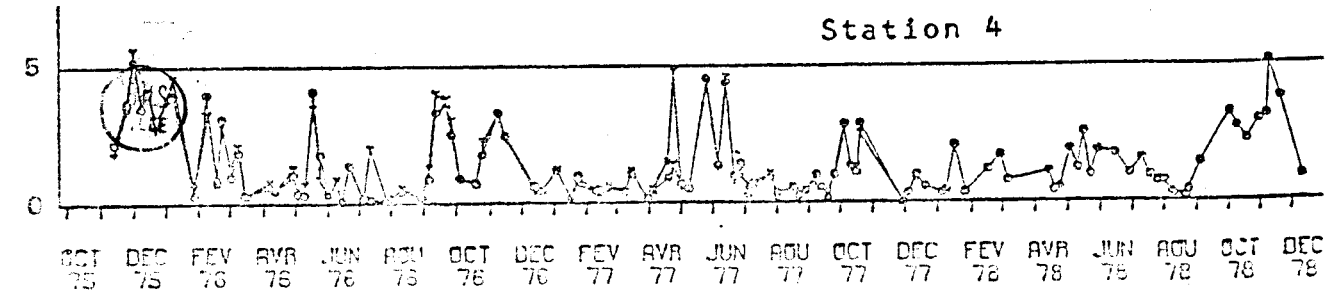
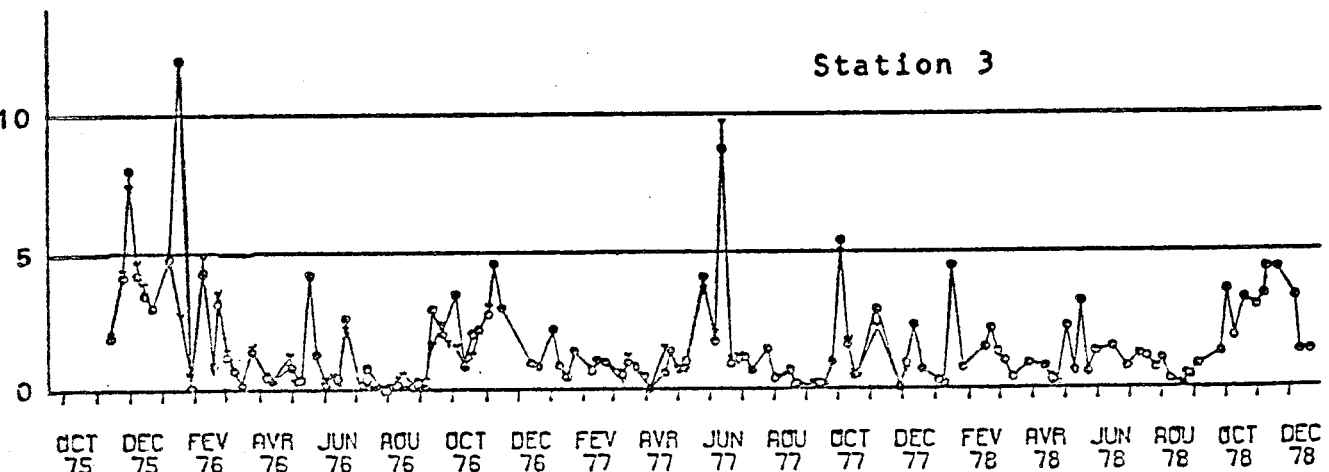
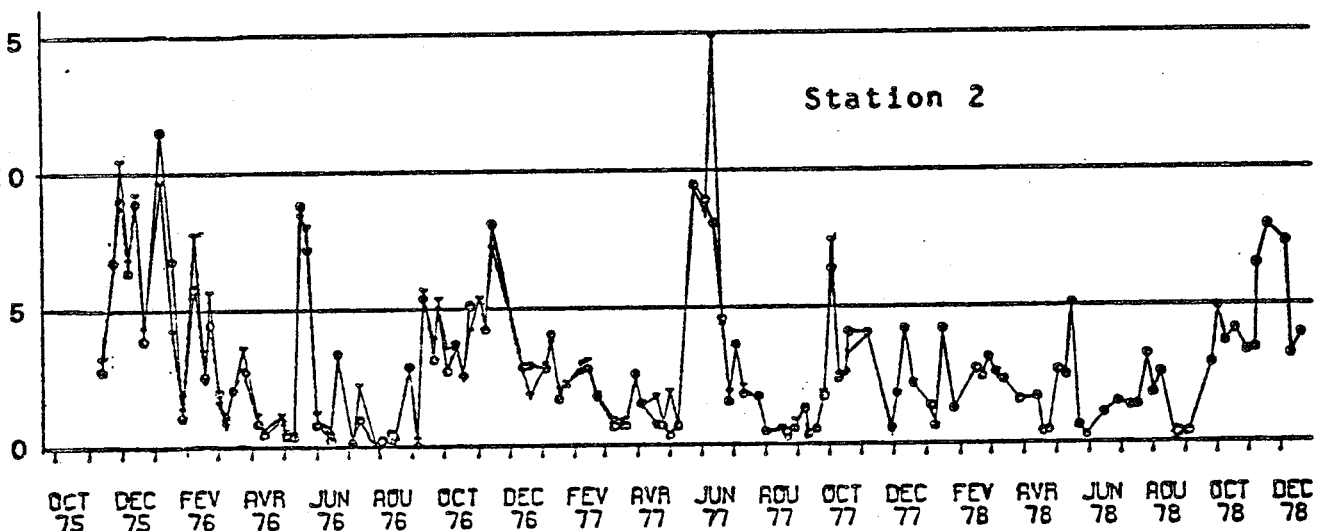
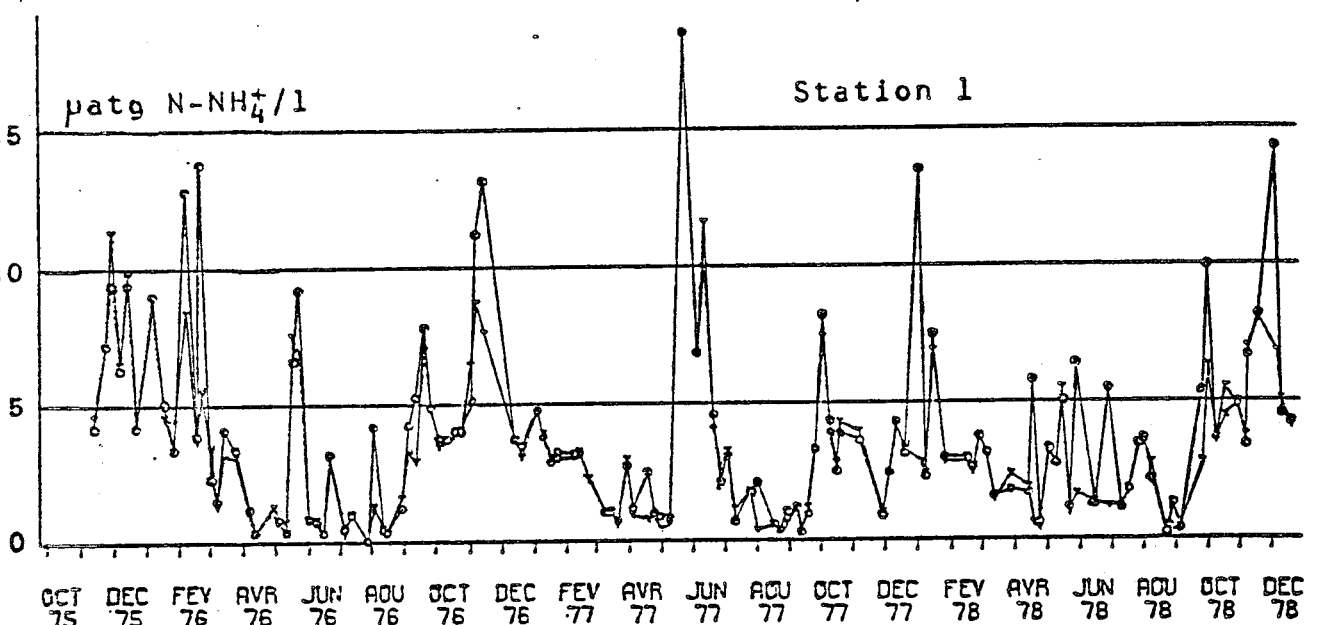


Fig. IX - VARIATIONS DES NITRITES A DUNKERQUE (R.N.O.)

$\mu\text{atg N-NO}_2/1$

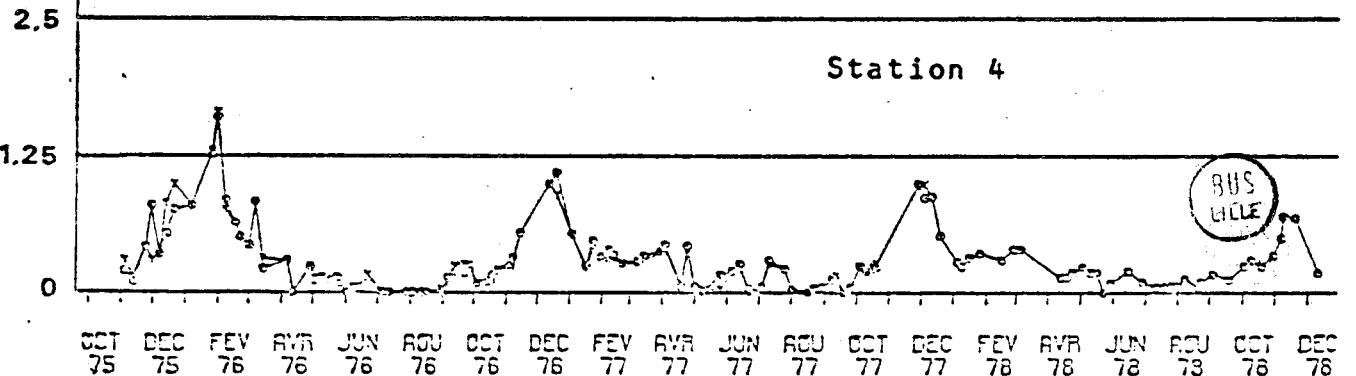
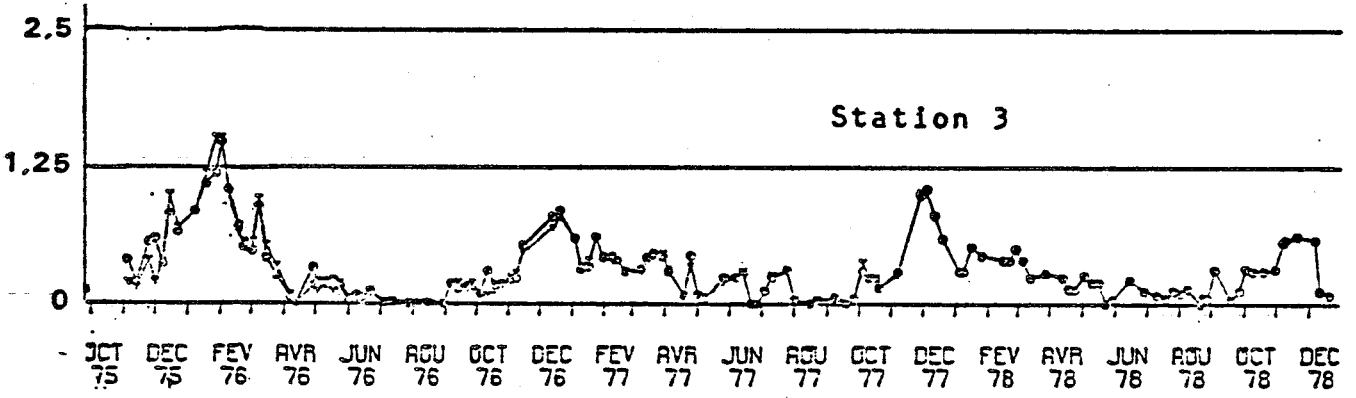
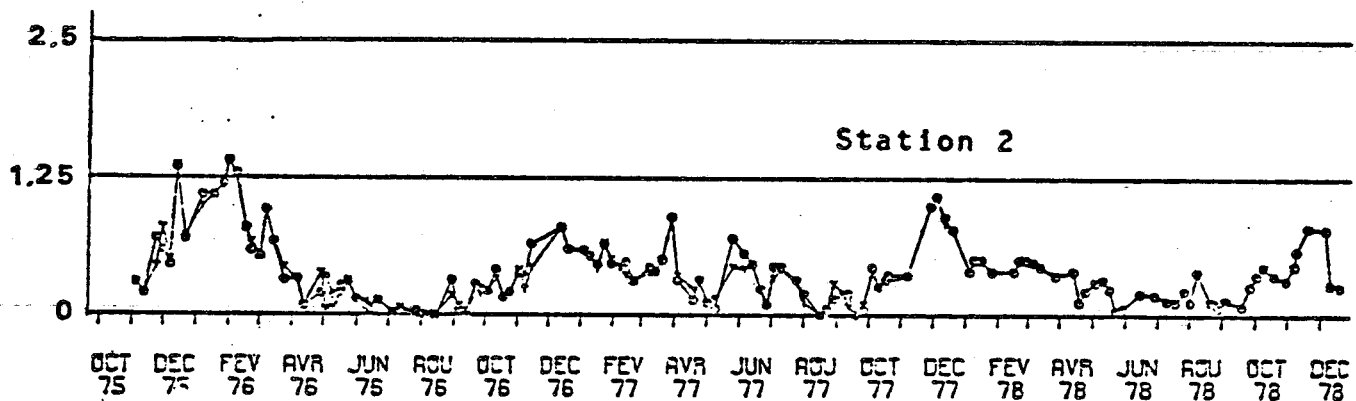
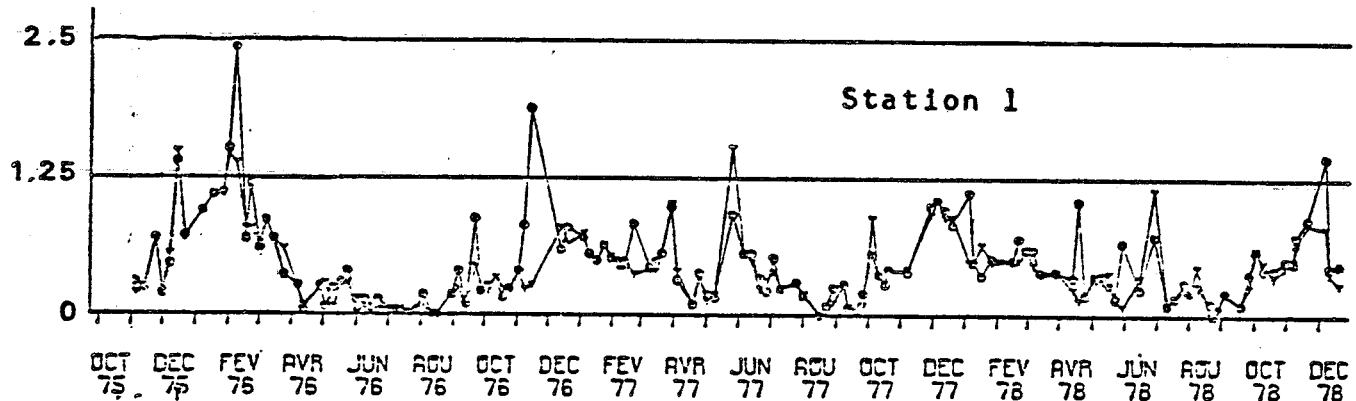


Fig. X - VARIATIONS DES NITRATES A DUNKERQUE (R.N.O.)

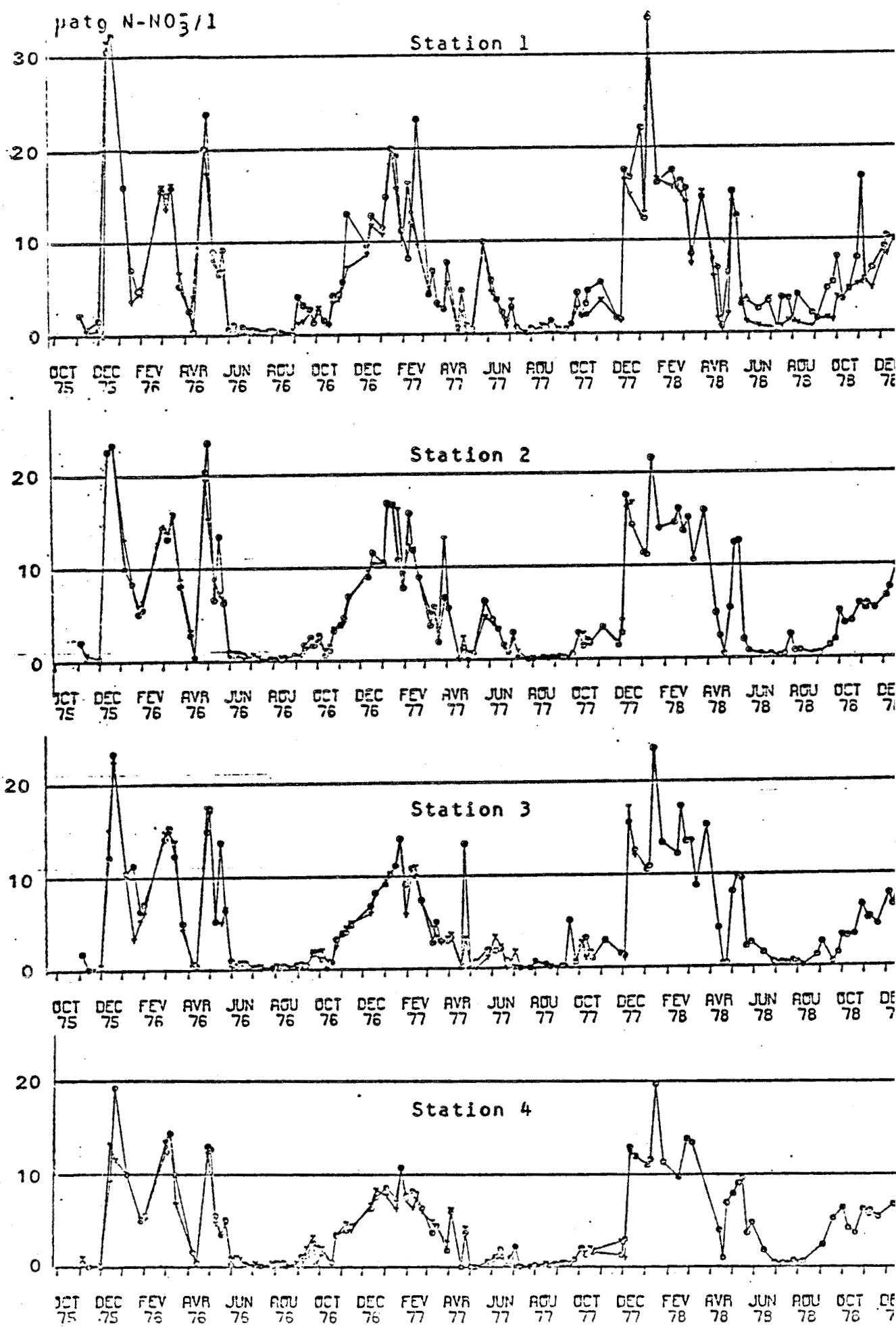


Fig. XI - VARIATIONS DES PHOSPHATES A DUNKERQUE (R.N.O.)

μatg P-PO₄-/l

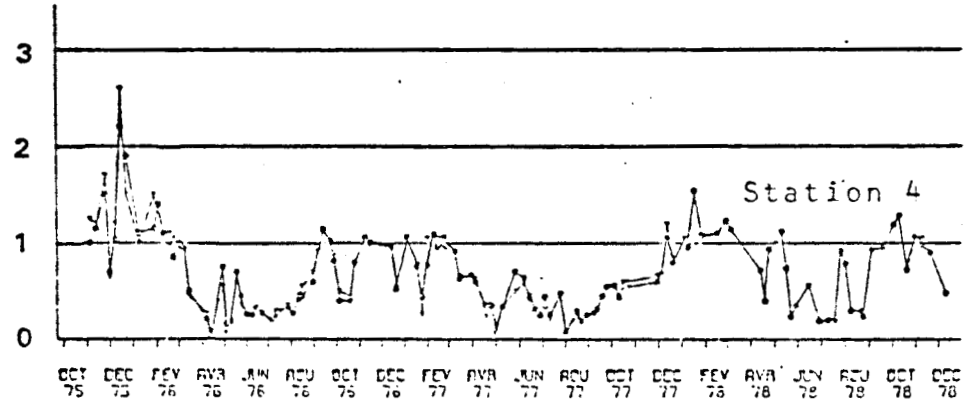
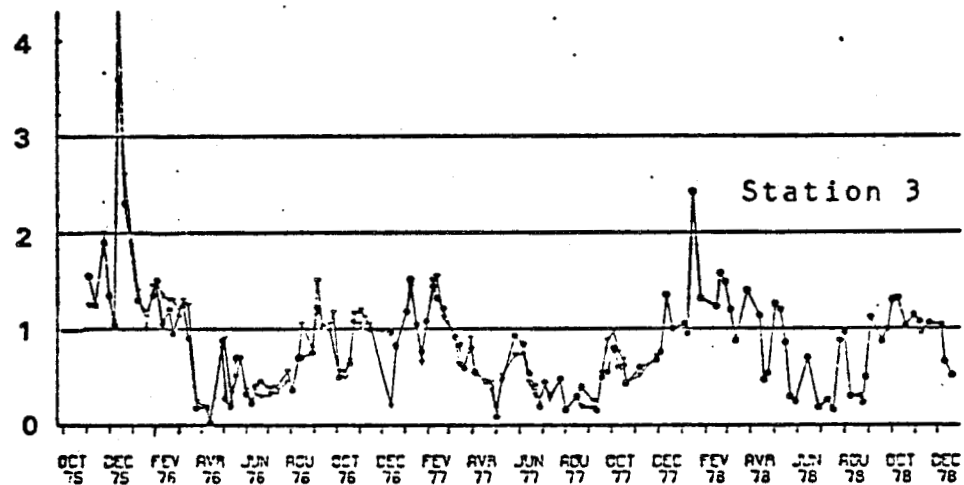
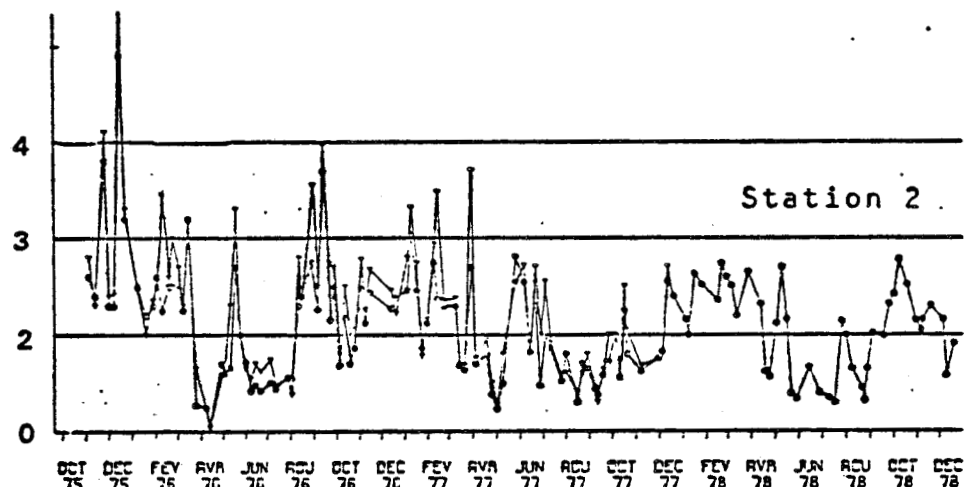
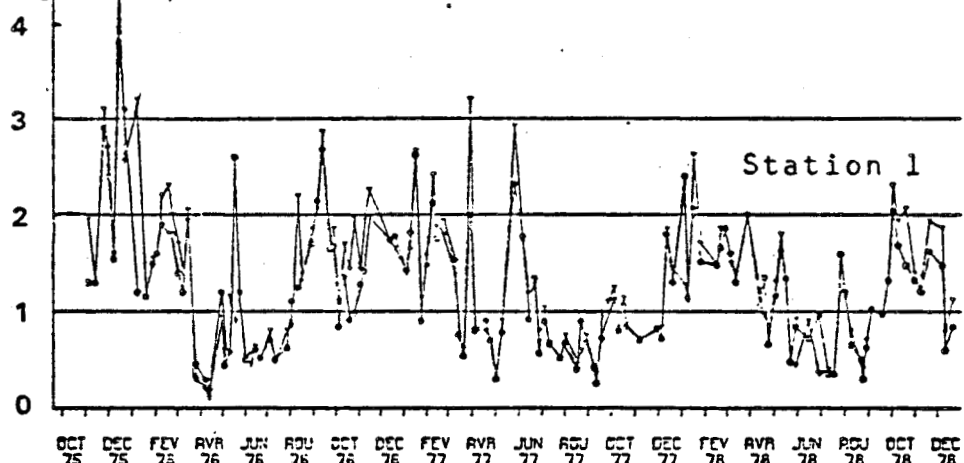


Fig. XII - VARIATIONS DES SILICATES A DUNKERQUE (R.N.O.)

